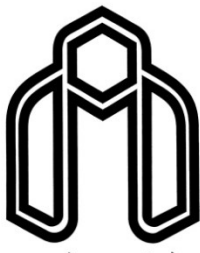


بِسْمِ اللّٰهِ الرَّحْمٰنِ الرَّحِيْمِ



دانشگاه صنعتی شهرود

دانشکده مهندسی عمران

گروه عمران - سازه

بهینه‌یابی سازه‌ها با استفاده از روش‌های فرآابتکاری

ترکیباتی

دانشجو: محمدحسین طالب‌پور

استاد راهنمای:

دکتر وحیدرضا کلات‌جاری

رساله دکتری جهت اخذ درجه دکتری

بهمن ماه ۱۳۹۲



دانشگاه صنعتی شاهرود

شماره: ۱۵۹

تاریخ: ۹۹/۱۱/۰۷

صورت جلسه دفاع از رساله دکتری (Ph.D) مدیریت تحصیلات تکمیلی  
ویرایش: ۱۲

فرم شماره ۱۲

بدینوسیله گواهی می شود آقای محمد حسین طالب پور دانشجوی دکتری رشته عمران به  
شماره دانشجویی ۸۸۱۸۳۱۵ در تاریخ ۱۳۸۸ ماه سال ۹۲/۱۱/۱۶ از رساله خود با  
عنوان: بهینه یابی سازه ها با استفاده از روش های فرا اکتشافی ترکیباتی دفاع و با اخذ  
نمره ..... ۱۹ ..... به درجه: ..... نائل گردید.

الف) درجه عالی: نمره ۱۹-۲۰	<input checked="" type="checkbox"/> ب) درجه بسیار خوب: نمره ۱۸-۹۹
ج) درجه خوب: نمره ۹۹-۱۶	<input type="checkbox"/> د) غیر قابل قبول و نیاز به دفاع مجدد دارد
نیاز به اصلاحات دارد	

ردیف	هیئت داوران	نام و نام خانوادگی	مرتبه علمی	امضاء
۱	دکتر وحیدرضا کلات جاری	استاد راهنمای	استادیار	
۲	دکتر غلامرضا قدرتی امیری	استاد مدعو خارجی	استاد	
۳	دکتر علی کیهانی	استاد مدعو داخلی	استادیار	
۴	دکتر احمد احمدی	استاد مدعو داخلی	دانشیار	
۵	دکتر مهدی عجمی	سرپرست (ناینده) تحصیلات تکمیلی دانشکده	استادیار	

مدیر محترم تحصیلات تکمیلی دانشگاه:

ضمن تأیید مراتب فوق مقرر فرمائید اقدامات لازم بعمل آید.

رئیس دانشکده و رئیس هیأت داوران:

تاریخ و امضاء:

## تقدیم به ساحت مقدس

شش ماهه صحرای کربلا حضرت علی اصغر(ع)

## تشکر و قدردانی

در آغاز سخن خداوند را سپاسگزارم که مرا در اتمام رساله حاضر یاری رساند و همواره با الطاف بی دریغش راهگشای من بود. بی شک این مهم جز با یاری خودش و بندگان صالحش مقدور نبود. لذا بر خود واجب می‌دانم از استاد ارجمند جناب آقای دکتر کلات‌جاری که فراتر از یک استاد دانشگاه، در مسیر پرپیچ و خم زندگی و مسیر حق و حقیقت، سوار بر پیچک دوستی و محبت، راهگشای اینجانب بود؛ صمیمانه تشکر و سپاسگزاری نمایم و از خداوند منان توفیقات روزافزون برای ایشان خواستارم. امیدوارم که شمع وجودشان که از قطره قطراهای آن به من درس زندگی و از پرتو نورش به من راه زندگی آموخت، همواره فروزان و سلامت باشد.

همچنین از کلیه اساتید دانشگاه شاهروд که با خدمت خالصانه و تلاش صادقانه خود در زمینه رشد و تعالی شخصیت علمی و انسانی، گام‌های مؤثری برداشته‌اند و دوستان عزیزم به خصوص جناب آقای علی نقی‌زاده کمال تشکر و قدردانی را دارم و امیدوارم همواره در زندگی پیروز و سر بلند باشند.

در پایان نیز از خانواده محترم، پدر و مادر عزیز و فداکارم، که با نفس گرم مسیحایی خودشان، همواره پشتیبانم در کوچه‌های غربت زندگی بودند، بسیار سپاسگزارم. لذا دستان مبارکشان را که بوى اسپند مهر می‌دهد؛ می‌بوسم و سلامتی و کامیابی را برایشان از خداوند متعال خواستارم.

محمدحسین طالب‌پور

۱۳۹۲ زمستان

دانشجو تأیید می‌نماید که مطالب مندرج در این رساله نتیجه تحقیقات خودش می‌باشد و در صورت استفاده از نتایج دیگران مرجع آن را ذکر نموده است.

کلیه حقوق مادی و مترتب از نتایج مطالعات، آزمایشات و نوآوری ناشی از تحقیق موضوع این رساله متعلق به دانشگاه صنعتی شاهرود می‌باشد.

۱۳۹۲ بهمن ماه

## چکیده

یکی از هنرهای مهندسی، کسب بیشترین بازده با انتخاب یک سیستم مناسب و صرف کمترین هزینه است. این مهم سبب تولد و توسعه علم بهینه‌یابی در حوزه‌های مختلف علوم مهندسی شده است. در این راستا رساله حاضر در پنج محور پژوهشی در جهت توسعه بهینه‌یابی سازه‌ها با استفاده از روش‌های فرآبتكاری و بهبود عملکرد این روش‌ها پی‌ریزی شده و سعی گردیده تا با گام‌هایی هدفمند، دستاوردهای نوینی حاصل شود. بدین منظور در اولین محور پژوهشی، بررسی برخی از رایج‌ترین روش‌های فرآبتكاری در مسائل بهینه‌یابی سازه‌ها مورد توجه قرار گرفته است. بر این اساس سعی شده تا با شناسایی ابعاد و چالش‌های مختلف هر روش و نیز میزان حساسیت الگوریتم‌ها به پارامترهای موجود، پیشنهاداتی در جهت بهبود عملکرد و چگونگی استفاده مناسب از این الگوریتم‌ها ارائه شود. در محور دوم پژوهش، با استعانت از دستاوردهای محور نخستین، روش جستجوی چندمنظوره در جهت افزایش عملکرد الگوریتم‌های فرآبتكاری ارائه شده است. کارآیی این ایده در الگوریتم ژنتیک براساس ساختارهای مختلف موجود، مورد ارزیابی قرار گرفته است. در ادامه روش کاوش چندفرآبتكاری با استفاده از الگوریتم‌های مختلف فرآبتكاری به عنوان ساختار هر جزیره در جهت توسعه روش جستجوی چندمنظوره ارائه شده است. این روش از جمله موفق‌ترین الگوریتم‌ها در کاوش فضاهای طراحی مختلف با میزان دقت ویژه‌ای بوده و می‌توان در زمینه‌های حساس مهندسی از این روش بهره برد. این روش با مطالعه مسائل مختلف در حوزه‌های گوناگون مورد بررسی قرار گرفته است. در محور سوم پژوهش، ایده نوین مشبندی فضای کاوش با الهام از فرآیند انفصال در روش اجزای محدود مطرح شده است. این ایده با افزایش فضای طراحی و جستجوی فضای کاوش در دو مرحله

(جستجوی سراسری و محلی)، توانسته است، سرعت عملیات بهینه‌یابی را افزایش و جواب‌هایی با دقیق مطلوب بدست آورد. در محور چهارم این رساله، الگوریتم ترکیبی HACOHSAGA ارائه شده است که حاصل ترکیب سه روش ACO، HS و GA می‌باشد. این روش نیز دارای سرعت مناسبی در برای فرآیند طراحی بهینه است و از مزایا هر روش به نحو مقتضی استفاده می‌کند. در نهایت در آخرین گام پژوهشی این رساله، روش نقاط متحرک با کسب دید مناسب نسبت به شیوه بهینه‌یابی روش‌های فرآیندکاری، پیشنهاد شده است. این روش با نگاشت اعضا و طرح‌های هر جمعیت به فضای برداری و حرکت براساس ویژگی‌های جمعیت حاضر، عملیات بهینه‌یابی را به صورت فرآیند تکاملی در پیش می‌گیرد. ویژگی روش نقاط متحرک ثبات در اجراهای مختلف بوده و با یک بار اجرا می‌توان به کسب جواب مناسب بهینه اعتماد نمود.

### واژگان کلیدی:

بهینه‌یابی، الگوریتم‌های فرآیندکاری، روش جستجوی چندمنظوره، روش کاوش چندفرآیندکاری، روش مشبندی فضای طراحی، روش HACOHSAGA، روش نقاط متحرک.

## لیست مقالات مستخرج از رساله

### ۱- مقالات پذیرش شده (مجلات معتبر علمی)

۱- کلات جاری، وحیدرضا؛ طالب‌پور، محمدحسین. "بهینه‌یابی سطح مقطع و توپولوژی سازه‌های خرپا‌یی توسط روش اصلاحی جستجوی چندمنظوره"، نشریه تخصصی مهندسی عمران - نقشه‌برداری - دانشکده فنی، دوره ۴۵، شماره ۳، شهریورماه ۱۳۹۰، صفحه ۳۶۳ - ۳۵۱.

2- Kaveh, Ali., Kalatjari, Vahid Reza., Talebpour, Mohammad Hosein., Torkamazadeh, Javad., "Configuration optimization of Trusses Using Multi Heuristic based search Method" International Journal of Optimization in Civil Engineering, 3, 1, 2013, pp. 151-178.

3- Talebpour, Mohammad Hosein., Kaveh, Ali., Kalatjari, Vahid Reza., "Optimization of skeletal structures using a hybridized ACO, HS and GA algorithm" Iranian Journal of Science and Technology, 38, C1, 2014. pp. 1-20.

### ۲- مقالات پذیرش شده (کنفرانس‌های معتبر علمی)

۴- کلات جاری، وحیدرضا؛ طالب‌پور، محمدحسین. "بهینه‌یابی سطح مقطع و توپولوژی سازه‌ها از طریق الگوریتم ژنتیک و بررسی تأثیر روش‌های گوناگون فرآیند انتخاب در روند بهینه‌یابی"، ششمین کنگره ملی مهندسی عمران، دانشگاه سمنان، سمنان، ایران، ۶ و ۷ اردیبهشت ۱۳۹۰.

۵- کلات جاری، وحیدرضا؛ طالب‌پور، محمدحسین؛ رحیمی، وحید. "بهینه‌یابی سطح مقطع و توپولوژی سازه‌ها از طریق الگوریتم ژنتیک و بررسی تأثیر اپراتورهای پیوند در روند

بهینه‌یابی”， ششمین کنگره ملی مهندسی عمران، دانشگاه سمنان، سمنان، ایران، ۶ و ۷ اردیبهشت ۱۳۹۰.

۶- کلات جاری، وحیدرضا؛ طالب‌پور، محمدحسین؛ عابدی، صادق؛ مولایی، علی. ”مقایسه و بررسی روند بهینه‌سازی سازه‌های خرپایی با استفاده از روش جستجوی چندمنظوره و روش جستجوی ذرات باردار”， اولین کنفرانس ملی عمران و توسعه، زیباکنار، ایران، ۲۷ بهمن ۱۳۹۰.

۷- کلات جاری، وحیدرضا؛ طالب‌پور، محمدحسین؛ ترکمان‌زاده، جواد. ”بهینه‌یابی سطح مقطع و تولیدی سازه‌ها از طریق الگوریتم ژنتیک و بررسی تأثیر روش‌های گوناگون اپراتور جهش در روند بهینه‌یابی”， نهمین کنگره بین المللی مهندسی عمران، دانشگاه صنعتی اصفهان، ۱۹ - ۲۱ اردیبهشت ۱۳۹۱.

۸- نوریان، امین؛ کلات جاری، وحیدرضا؛ طالب‌پور، محمدحسین. ”بهینه‌یابی قاب‌های شیبدار غیرمنشوری با استفاده از روش اصلاحی جستجوی چندمنظوره”， نهمین کنگره بین المللی مهندسی عمران، دانشگاه صنعتی اصفهان، ۱۹ - ۲۱ اردیبهشت ۱۳۹۱.

۹- کلات جاری، وحیدرضا؛ عابدی، صادق؛ طالب‌پور، محمدحسین؛ مولایی، علی. ”مقایسه روند بهینه‌یابی سازه‌های خرپایی با استفاده از الگوریتم ترکیبی اجتماع مورچگان و جستجوی هارمونی و روش جستجوی چندمنظوره”， دومین کنفرانس ملی مدیریت بحران: نقش فناوری‌های نوین در کاهش آسیب‌پذیری ناشی از حوادث غیرمتربقه، تهران، ایران، خرداد ۱۳۹۱.

۱۰- کلات جاری، وحیدرضا؛ طالب‌پور، محمدحسین. ”بررسی تأثیر پارامتر *HCMR* در بهینه‌یابی سطح مقطع قاب‌های فولادی براساس روش جستجوی هارمونی”， سومین کنفرانس ملی سازه و فولاد، تهران، ایران، ۴ و ۵ دی ۱۳۹۱.

۱۱- کلات جاری، وحید رضا؛ طالب پور، محمد حسین. "بهینه یابی قاب‌های فولادی بر اساس روش PSO و بررسی تأثیر پارامترهای شناختی و اجتماعی در روند بهینه یابی"، سومین کنفرانس ملی سازه و فولاد، تهران، ایران، ۴ و ۵ دی ۱۳۹۱.

۱۲- کلات جاری، وحید رضا؛ طالب پور، محمد حسین. "بررسی تأثیر ضریب تبخیر فرومون در بهینه یابی سطح مقطع قاب‌های فولادی بر اساس روش کلونی مورچگان"، هفتمین کنگره ملی مهندسی عمران، دانشگاه مهندسی شهید نیکبخت، زاهدان، ایران، ۱۷ و ۱۸ اردیبهشت ۱۳۹۲.

۱۳- کلات جاری، وحید رضا؛ طالب پور، محمد حسین. "بهینه یابی قاب‌های فولادی بر اساس روش جستجوی ذرات باردار و بررسی تأثیر پارامتر بازه زمانی در روند بهینه یابی"، هفتمین کنگره ملی مهندسی عمران، دانشگاه مهندسی شهید نیکبخت، زاهدان، ایران، ۱۷ و ۱۸ اردیبهشت ۱۳۹۲.

۱۴- کلات جاری، وحید رضا؛ طالب پور، محمد حسین. "بهبود الگوریتم ژنتیک در بهینه یابی سازه‌های خرپایی با استفاده از ایده پیشنهادی مشبندی فضای جستجو"، هفتمین کنگره ملی مهندسی عمران، دانشگاه مهندسی شهید نیکبخت، زاهدان، ایران، ۱۷ و ۱۸ اردیبهشت ۱۳۹۲.

صفحة	عنوان
سه	تصویب نامه
چهار	تقدیم اثر
پنج	تقدیر و تشکر
شش	اقرار نامه
هفت	چکیده
نه	لیست مقالات مستخرج از رساله
دوازده	فهرست مطالب
هیجده	فهرست اشکال
بیست و سه	فهرست جداول
بیست و شش	فهرست علائم و پارامترها

فصل اول: مقدمه و کلیات	
۱	
۲	۱-۱ مقدمه
۳	۲-۱ ضرورت بهینه‌یابی در مهندسی عمران
۵	۳-۱ کلیات و مبانی پایه علم بهینه‌یابی
۱۰	۴-۱ شرح کلی فصول

فصل دوم: مروری بر تحقیقات گذشته در روش‌های فرآابتکاری و ...	
۱۳	
۱۴	۱-۲ مقدمه
۱۶	۲-۲ الگوریتم‌های فرآابتکاری
۱۷	۱-۲-۲ الگوریتم ژنتیک
۲۲	۲-۲-۲ الگوریتم شبیه‌سازی بازیخت
۲۶	۳-۲-۲ الگوریتم جستجوی ممنوعه
۲۹	۴-۲-۲ الگوریتم کلونی مورچگان

۳۵	۵-۲-۲ الگوریتم اجتماع ذرات
۳۹	۶-۲-۲ الگوریتم جستجوی هارمونی
۴۳	۷-۲-۲ الگوریتم جستجوی ذرات باردار
۴۸	۳-۲ الگوریتم‌های ترکیباتی
۴۹	۱-۳-۲ الگوریتم ترکیبی ACO و (HPSACO)
۵۱	۲-۳-۲ الگوریتم ترکیبی ACO، PSO و HS
۵۲	۳-۳-۲ الگوریتم ترکیبی GA و (HGAPSO) PSO
<b>۵۵</b>	<b>فصل سوم: روش‌ها و راهکارهای پیشنهادی</b>
۵۶	۱-۳ مقدمه
۵۸	۲-۳ بررسی و بهبود عملکرد الگوریتم‌های فرابتکاری
۵۸	۱-۲-۳ الگوریتم ژنتیک
۵۹	۱-۱-۲-۳ فرآیند انتخاب
۵۹	۱-۱-۱-۲-۳ روش چرخ‌گردان
۶۰	۲-۱-۱-۲-۳ روش رتبه‌بندی
۶۱	۳-۱-۱-۲-۳ روش رقابتی
۶۱	۴-۱-۱-۲-۳ روش پیشنهادی
۶۲	۵-۱-۱-۲-۳ بررسی روش‌های انتخاب
۶۴	۲-۱-۲-۳ عملگر پیوند
۶۵	۱-۲-۱-۲-۳ پیوند تک نقطه‌ای
۶۵	۲-۲-۱-۲-۳ پیوند دو نقطه‌ای
۶۵	۳-۲-۱-۲-۳ پیوند یکنواخت
۶۶	۴-۲-۱-۲-۳ اپراتور معکوس‌سازی
۶۶	۵-۲-۱-۲-۳ اپراتور حذف و تولید مجدد
۶۷	۶-۲-۱-۲-۳ روش پیشنهادی
۶۷	۷-۲-۱-۲-۳ بررسی روش‌های عملگر پیوند

۷۰	۳-۱-۲-۳ عملگر جهش
۷۱	۱-۳-۱-۲-۳ جهش با نرخ ثابت
۷۱	۲-۳-۱-۲-۳ جهش با نرخ صعودی
۷۲	۳-۳-۱-۲-۳ جهش با نرخ نزولی
۷۲	۴-۳-۱-۲-۳ حالت پیشنهادی جهش با نرخ ثابت
۷۳	۵-۳-۱-۲-۳ حالت پیشنهادی جهش با نرخ نزولی
۷۳	۶-۳-۱-۲-۳ بررسی حالات مختلف عملگر جهش
۷۵	۲-۲-۳ الگوریتم شبیه‌سازی بازپخت
۷۶	۱-۲-۲-۳ پارامتر ثابت بولتزمن
۷۶	۱-۱-۲-۲-۳ مقدار ثابت برای پارامتر $k_B$
۷۷	۲-۱-۲-۲-۳ حالت صعودی برای پارامتر $k_B$
۷۷	۳-۱-۲-۲-۳ حالت نزولی برای پارامتر $k_B$
۷۸	۴-۱-۲-۲-۳ بررسی حالات مختلف پارامتر $k_B$
۸۰	۳-۲-۲-۳ الگوریتم جستجوی ممنوعه
۸۱	۱-۳-۲-۳ پارامتر بازه همسایگی
۸۱	۱-۱-۳-۲-۳ مقدار ثابت برای پارامتر $nw$
۸۲	۲-۱-۳-۲-۳ حالت صعودی برای پارامتر $nw$
۸۲	۳-۱-۳-۲-۳ حالت نزولی برای پارامتر $nw$
۸۳	۴-۱-۳-۲-۳ بررسی حالات مختلف پارامتر $nw$
۸۶	۴-۲-۳ الگوریتم کلونی مورچگان
۸۶	۱-۴-۲-۳ ضریب تبخیر فرومون
۸۷	۱-۱-۴-۲-۳ مقدار ثابت برای پارامتر $e_r$
۸۸	۲-۱-۴-۲-۳ حالت صعودی برای پارامتر $e_r$
۸۸	۳-۱-۴-۲-۳ حالت نزولی برای پارامتر $e_r$
۸۹	۴-۱-۴-۲-۳ بررسی حالات مختلف پارامتر $e_r$
۹۱	۵-۲-۳ روش اجتماع ذرات

۹۲	۱-۵-۲-۳ بررسی ضرایب $C_1$ و $C_2$
۹۲	۱-۱-۵-۲-۳ حالت ۱ برای ضرایب $C_1$ و $C_2$
۹۳	۲-۱-۵-۲-۳ حالت ۲ برای ضرایب $C_1$ و $C_2$
۹۳	۳-۱-۵-۲-۳ حالت ۳ برای ضرایب $C_1$ و $C_2$
۹۳	۴-۱-۵-۲-۳ حالت ۴ برای ضرایب $C_1$ و $C_2$
۹۴	۵-۱-۵-۲-۳ بررسی حالات مختلف ضرایب $C_1$ و $C_2$
۹۶	۶-۲-۳ روش جستجوی هارمونی
۹۶	۱-۶-۲-۳ بررسی پارامتر $HCMR$
۹۶	۱-۱-۶-۲-۳ مقادیر ثابت برای پارامتر $HCMR$
۹۷	۲-۱-۶-۲-۳ حالت صعودی برای پارامتر $HCMR$
۹۷	۳-۱-۶-۲-۳ حالت نزولی برای پارامتر $HCMR$
۹۸	۴-۱-۶-۲-۳ بررسی حالات مختلف پارامتر $HCMR$
۱۰۰	۷-۲-۳ روش جستجوی ذرات باردار
۱۰۱	۱-۷-۲-۳ بررسی پارامتر بازه زمانی
۱۰۱	۱-۱-۷-۲-۳ مقادیر ثابت برای پارامتر بازه زمانی
۱۰۲	۲-۱-۷-۲-۳ حالت صعودی برای پارامتر بازه زمانی
۱۰۲	۳-۱-۷-۲-۳ حالت نزولی برای پارامتر بازه زمانی
۱۰۳	۴-۱-۷-۲-۳ بررسی حالات مختلف پارامتر بازه زمانی
۱۰۵	۳-۳ روش نوین جستجوی چندمنظوره
۱۰۶	۱-۳-۳ روش جستجوی چندمنظوره بر پایه الگوریتم‌های ژنتیک
۱۱۲	۱-۱-۳-۳ بهینه‌یابی قاب شیبدار غیرمنشوری با تیرهای یکنواخت
۱۱۴	۲-۳-۳ روش نوین کاوش چندفرابتکاری
۱۱۹	۱-۲-۳-۳ بهینه‌یابی پیکربندی خرپای مستوی ۱۵ میله‌ای
۱۲۱	۴-۳ ایده نوین انفصال فضای کاوش
۱۲۴	۱-۴-۳ ایده نوین انفصال فضای طراحی در الگوریتم ژنتیک
۱۲۵	۱-۱-۴-۳ انتخاب نماینده در ایده انفصال فضای طراحی در GA

۱۲۹	۲-۱-۴-۳ انتخاب تعداد زیرمجموعه‌ها برای ایده انفصل فضای طراحی در GA
۱۳۶	۱-۲-۱-۴-۳ بهینه‌یابی دکل ۴۷ میله‌ای براساس ایده پیشنهادی در GA
۱۳۹	۲-۴-۳ ایده نوین انفصل فضای طراحی در الگوریتم کلونی مورچگان
۱۴۰	۱-۲-۴-۳ انتخاب نماینده در ایده انفصل فضای طراحی برای روش ACO
۱۴۴	۱-۱-۲-۴-۳ بهینه‌یابی دکل ۴۷ میله‌ای براساس ایده پیشنهادی در ACO
۱۴۶	۵-۳ الگوریتم ترکیباتی پیشنهادی HACOHSGA
۱۵۱	۱-۵-۳ بهینه‌یابی قاب فولادی پنج طبقه - دو دهانه براساس روش HACOHSGA
۱۵۴	۶-۳ الگوریتم نوین نقاط متحرک
۱۵۷	۱-۶-۳ فرمولبندی مسئله بهینه‌یابی براساس الگوریتم پیشنهادی نقاط متحرک
۱۶۴	۲-۶-۳ بررسی کارآیی و عملکرد الگوریتم پیشنهادی نقاط متحرک
۱۶۶	۱-۲-۶-۳ بهینه‌یابی قاب فولادی پنج طبقه - دو دهانه براساس روش MP

۱۶۷	فصل چهارم: نتایج و پیشنهادات
۱۶۸	۱-۴ مقدمه
۱۷۱	۲-۴ نتایج
۱۷۱	۳-۴ پیشنهادات برای ادامه پژوهش

۱۷۳	منابع: لیست مراجع
-----	-------------------

۱۸۱	پیوست الف: مثال‌های بهینه‌یابی
۱۸۲	الف-۱ مقدمه
۱۸۲	الف-۲ بهینه‌یابی سطح مقطع و توپولوژی خرپای مستوی ده میله‌ای
۱۸۴	الف-۳ بهینه‌یابی سطح مقطع و توپولوژی خرپای فضایی ۲۵ میله‌ای
۱۸۷	الف-۴ بهینه‌یابی سطح مقطع قاب فولادی هشت طبقه - یک دهانه
۱۸۹	الف-۵ بهینه‌یابی سطح مقطع و توپولوژی شبکه‌های متعامد $2 \times 2$ , $3 \times 3$ و $5 \times 5$
۱۹۲	الف-۶ بهینه‌یابی قاب شیبدار غیرمنشوری با تیرهای غیریکنواخت

- الف-۷ بهینه‌یابی سطح مقطع و هندسه سازه فضاکار تخت دولایه  $8 \times 8$
- الف-۸ بهینه‌یابی سطح مقطع برج فولادی ۷۲ میله‌ای
- الف-۹ بهینه‌یابی سطح مقطع خرپای مستوی ۲۰۰ میله‌ای
- الف-۱۰ بهینه‌یابی پیکربندی خرپای ۱۰ میله‌ای
- الف-۱۱ بهینه‌یابی پیکربندی خرپای فضایی ۲۵ میله‌ای
- الف-۱۲ بهینه‌یابی پیکربندی خرپای ۱۳۱ میله‌ای
- الف-۱۳ بهینه‌یابی سطح مقطع برج فولادی ۹۴۲ میله‌ای
- الف-۱۴ بهینه‌یابی سطح مقطع برج فولادی ۵۸۲ میله‌ای
- الف-۱۵ بهینه‌یابی سطح مقطع دکل انتقال نیرو ۲۴۴ میله‌ای
- الف-۱۶ بهینه‌یابی سطح مقطع دکل انتقال نیرو ۱۶۰ میله‌ای
- الف-۱۷ بهینه‌یابی سطح مقطع خرپای مستوی ۵۲ میله‌ای

صفحة	عنوان
۱۳	<b>فصل دوم: مروری بر تحقیقات گذشته در روش‌های فرآابتکاری و ...</b>
۱۹	شکل (۱-۲) - فرآیند بهینه‌یابی براساس روش GA
۲۴	شکل (۲-۲) - فرآیند بهینه‌یابی براساس روش SA
۲۷	شکل (۳-۲) - فرآیند بهینه‌یابی براساس روش TS
۳۱	شکل (۴-۲) - فرآیند بهینه‌یابی براساس روش ACO
۳۶	شکل (۵-۲) - همکاری گروه ماهیان در تهیه غذا و حفاظت از خود در برابر ...
۳۷	شکل (۶-۲) - فرآیند بهینه‌یابی براساس روش PSO
۴۰	شکل (۷-۲) - مقایسه فرآیند بهینه‌یابی HS و اجرای موسیقی
۴۰	شکل (۸-۲) - فرآیند بهینه‌یابی براساس روش HS
۴۳	شکل (۹-۲) - تولید هارمونی جدید در روش HS
۴۴	شکل (۱۰-۲) - فرآیند بهینه‌یابی براساس روش CSS
۵۱	شکل (۱۱-۲) - فرآیند بهینه‌یابی براساس روش HPSACO
۵۳	شکل (۱۲-۲) - فرآیند بهینه‌یابی براساس روش HGAPSO
۵۵	<b>فصل سوم: روش‌ها و راهکارهای پیشنهادی</b>
۶۰	شکل (۱-۳) - مدلی از چرخ گردان
۶۳	شکل (۲-۳) - سیر فرآیند بهینه‌یابی توسط روش‌های مختلف انتخاب برای ...
۶۳	شکل (۳-۳) - سیر فرآیند بهینه‌یابی توسط روش‌های مختلف انتخاب برای ...
۶۵	شکل (۴-۳) - شیوه پیوند تک نقطه‌ای
۶۵	شکل (۵-۳) - شیوه پیوند دو نقطه‌ای
۶۶	شکل (۶-۳) - شیوه پیوند یکنواخت
۶۶	شکل (۷-۳) - شیوه اپراتور معکوس‌سازی
۶۷	شکل (۸-۳) - شیوه اپراتور حذف و تولید مجدد
۶۸	شکل (۹-۳) - سیر فرآیند بهینه‌یابی توسط شیوه‌های مختلف پیوند برای ...

۶۸	شکل (۱۰-۳) - سیر فرآیند بهینه‌یابی توسط شیوه‌های مختلف پیوند برای ...
۷۴	شکل (۱۱-۳) - سیر فرآیند بهینه‌یابی توسط روش‌های مختلف جهش برای ...
۷۴	شکل (۱۲-۳) - سیر فرآیند بهینه‌یابی توسط روش‌های مختلف جهش برای ...
۷۹	شکل (۱۳-۳) - سیر فرآیند بهینه‌یابی توسط مقادیر حالت ۱ برای قاب پنج طبقه ...
۷۹	شکل (۱۴-۳) - سیر فرآیند بهینه‌یابی توسط حالات مختلف برای قاب پنج طبقه ...
۷۹	شکل (۱۵-۳) - سیر فرآیند بهینه‌یابی توسط مقادیر حالت ۱ برای قاب هشت ...
۷۹	شکل (۱۶-۳) - سیر فرآیند بهینه‌یابی توسط حالات مختلف برای قاب هشت ...
۸۴	شکل (۱۷-۳) - سیر فرآیند بهینه‌یابی توسط مقادیر حالت ۱ برای قاب پنج طبقه ...
۸۴	شکل (۱۸-۳) - سیر فرآیند بهینه‌یابی توسط حالات مختلف برای قاب پنج طبقه ...
۸۵	شکل (۱۹-۳) - سیر فرآیند بهینه‌یابی توسط مقادیر حالت ۱ برای قاب هشت ...
۸۵	شکل (۲۰-۳) - سیر فرآیند بهینه‌یابی توسط حالات مختلف برای قاب هشت ...
۸۹	شکل (۲۱-۳) - سیر فرآیند بهینه‌یابی توسط مقادیر حالت ۱ برای قاب پنج طبقه ...
۸۹	شکل (۲۲-۳) - سیر فرآیند بهینه‌یابی توسط حالات مختلف برای قاب پنج طبقه ...
۹۰	شکل (۲۳-۳) - سیر فرآیند بهینه‌یابی توسط مقادیر حالت ۱ برای قاب هشت ...
۹۰	شکل (۲۴-۳) - سیر فرآیند بهینه‌یابی توسط حالات مختلف برای قاب هشت ...
۹۵	شکل (۲۵-۳) - سیر فرآیند بهینه‌یابی حالات مختلف برای قاب پنج طبقه - دو ...
۹۵	شکل (۲۶-۳) - سیر فرآیند بهینه‌یابی حالات مختلف برای قاب هشت طبقه - یک ...
۹۹	شکل (۲۷-۳) - سیر فرآیند بهینه‌یابی توسط مقادیر حالت ۱ برای قاب پنج طبقه ...
۹۹	شکل (۲۸-۳) - سیر فرآیند بهینه‌یابی توسط حالات مختلف برای قاب پنج طبقه ...
۹۹	شکل (۲۹-۳) - سیر فرآیند بهینه‌یابی توسط مقادیر حالت ۱ برای قاب هشت ...
۹۹	شکل (۳۰-۳) - سیر فرآیند بهینه‌یابی توسط حالات مختلف برای قاب هشت ...
۱۰۴	شکل (۳۱-۳) - سیر فرآیند بهینه‌یابی توسط مقادیر حالت ۱ برای قاب پنج طبقه ...
۱۰۴	شکل (۳۲-۳) - سیر فرآیند بهینه‌یابی توسط حالات مختلف برای قاب پنج طبقه ...
۱۰۴	شکل (۳۳-۳) - سیر فرآیند بهینه‌یابی توسط مقادیر حالت ۱ برای قاب هشت ...
۱۰۴	شکل (۳۴-۳) - سیر فرآیند بهینه‌یابی توسط حالات مختلف برای قاب هشت ...
۱۰۸	شکل (۳۵-۳) - حالت اول روش جستجوی چندمنظوره (MSM-GA-1)

- شکل (۳۶-۳) - حالت دوم روش جستجوی چندمنظوره (MSM-GA-2) ۱۰۹
- شکل (۳۷-۳) - تأیید فنی نرمافزار بهینه‌یاب سازه‌های میله‌ای براساس روش ... ۱۱۱
- شکل (۳۸-۳) - هندسه و بارگذاری قاب شیبدار غیرمنشوری با تیرهای یکنواخت ۱۱۳
- شکل (۳۹-۳) - حالات روش کاوش چندفرابتکاری (MHSM) ۱۱۵
- شکل (۴۰-۳) - سیر فرآیند بهینه‌یابی برج فولادی ۵۸۲ میله‌ای ۱۱۸
- شکل (۴۱-۳) - سیر فرآیند بهینه‌یابی دکل انتقال نیرو ۲۴۴ میله‌ای ۱۱۸
- شکل (۴۲-۳) - سیر فرآیند بهینه‌یابی دکل انتقال نیرو ۱۶۰ میله‌ای ۱۱۸
- شکل (۴۳-۳) - سیر فرآیند بهینه‌یابی برج فولادی ۷۲ میله‌ای ۱۱۸
- شکل (۴۴-۳) - خرپای ۱۵ میله‌ای ۱۱۹
- شکل (۴۵-۳) - طرح بهینه توپولوژی و هندسی خرپای ۱۵ میله‌ای ۱۲۰
- شکل (۴۶-۳) - سیر همگرایی خرپای ۵۲ میله‌ای توسط حالات مختلف پیشنهادی ... ۱۲۷
- شکل (۴۷-۳) - سیر همگرایی برج ۷۲ میله‌ای توسط حالات مختلف پیشنهادی ... ۱۲۸
- شکل (۴۸-۳) - سیر همگرایی دکل ۴۷ میله‌ای توسط حالات مختلف پیشنهادی ... ۱۳۳
- شکل (۴۹-۳) - سیر همگرایی خرپای ۵۲ میله‌ای توسط حالات مختلف پیشنهادی ... ۱۳۴
- شکل (۵۰-۳) - سیر همگرایی برج ۷۲ میله‌ای توسط حالات مختلف پیشنهادی ... ۱۳۵
- شکل (۵۱-۳) - سیر همگرایی قاب ۸ طبقه - یک دهانه توسط حالات مختلف ... ۱۳۵
- شکل (۵۲-۳) - دکل ۴۷ میله‌ای ۱۳۷
- شکل (۵۳-۳) - سیر همگرایی بهینه‌یابی دکل ۴۷ میله‌ای توسط حالات ... ۱۴۲
- شکل (۵۴-۳) - سیر همگرایی بهینه‌یابی خرپای ۵۲ میله‌ای توسط حالات ... ۱۴۳
- شکل (۵۵-۳) - سیر همگرایی بهینه‌یابی برج ۷۲ میله‌ای توسط حالات ... ۱۴۳
- شکل (۵۶-۳) - سیر همگرایی قاب ۸ طبقه - یک دهانه توسط حالات مختلف ... ۱۴۴
- شکل (۵۷-۳) - روش نوین ترکیباتی و پیشنهادی HACOHSGA ۱۴۹
- شکل (۵۸-۳) - سیر فرآیند بهینه‌یابی خرپای ۵۲ میله‌ای ۱۵۰
- شکل (۵۹-۳) - سیر فرآیند بهینه‌یابی برج فولادی ۷۲ میله‌ای ۱۵۰
- شکل (۶۰-۳) - سیر فرآیند بهینه‌یابی خرپای ۲۰۰ میله‌ای ۱۵۰
- شکل (۶۱-۳) - سیر فرآیند بهینه‌یابی قاب هشت طبقه - یک دهانه ۱۵۱

- شکل (۶۲-۳) - سیر فرآیند بهینه‌یابی قاب پنج طبقه - دو دهانه  
 شکل (۶۳-۳) - قاب پنج طبقه - دو دهانه  
 شکل (۶۴-۳) - روش نوین پیشنهادی نقاط متحرک (MP)  
 شکل (۶۵-۳) - سیر فرآیند بهینه‌یابی قاب هشت طبقه - یک دهانه  
 شکل (۶۶-۳) - سیر فرآیند بهینه‌یابی قاب پنج طبقه - دو دهانه  
 شکل (۶۷-۳) - سیر فرآیند بهینه‌یابی برج فولادی ۷۲ میله‌ای  
 شکل (۶۸-۳) - سیر فرآیند بهینه‌یابی خرپای ۵۲ میله‌ای

- پیوست الف: مثال‌های بهینه‌یابی**
- شکل (الف-۱) - خرپای مستوی ده میله‌ای  
 شکل (الف-۲) - توپولوژی بهینه برای خرپای مستوی ده میله‌ای  
 شکل (الف-۳) - خرپای فضایی ۲۵ میله‌ای  
 شکل (الف-۴) - توپولوژی بهینه برای خرپای فضایی ۲۵ میله‌ای  
 شکل (الف-۵) - قاب هشت طبقه - یک دهانه  
 شکل (الف-۶) - شبکه متعامد  $2 \times 2$   
 شکل (الف-۷) - شبکه متعامد  $3 \times 3$   
 شکل (الف-۸) - شبکه متعامد  $5 \times 5$   
 شکل (الف-۹) - طرح بهینه شبکه متعامد  $2 \times 2$   
 شکل (الف-۱۰) - طرح بهینه شبکه متعامد  $3 \times 3$   
 شکل (الف-۱۱) - طرح بهینه شبکه متعامد  $5 \times 5$   
 شکل (الف-۱۲) - هندسه و بارگذاری قاب شیبدار غیرمنشوری با تیرهای غیریکنواخت  
 شکل (الف-۱۳) - نمای دوبعدی و سه بعدی سازه فضاکار تخت دو لایه  $8 \times 8$   
 شکل (الف-۱۴) - نمای دوبعدی و سه بعدی طرح هندسی بهینه سازه فضاکار ...  
 شکل (الف-۱۵) - نمای دوبعدی و سه بعدی برج فولادی ۷۲ میله‌ای  
 شکل (الف-۱۶) - خرپای مستوی ۲۰۰ میله‌ای  
 شکل (الف-۱۷) - طرح بهینه توپولوژی و هندسی خرپای ۱۰ میله‌ای

- ۲۱۰ شکل (الف-۱۸) - طرح بهینه توپولوژی و هندسی خرپای ۲۵ میله‌ای در حالات ...
- ۲۱۲ شکل (الف-۱۹) - سازه مبنا خرپای ۱۳۱ میله‌ای
- ۲۱۴ شکل (الف-۲۰) - طرح بهینه خرپای ۱۳۱ میله‌ای
- ۲۱۷ شکل (الف-۲۱) - برج فولادی ۹۴۲ میله‌ای
- ۲۲۰ شکل (الف-۲۲) - برج فولادی ۵۸۲ میله‌ای
- ۲۲۲ شکل (الف-۲۳) - دکل انتقال نیرو ۲۴۴ میله‌ای
- ۲۲۵ شکل (الف-۲۴) - دکل انتقال نیرو ۱۶۰ میله‌ای
- ۲۳۰ شکل (الف-۲۵) - خرپای مستوی ۵۲ میله‌ای

صفحة	عنوان
٥٥	<b>فصل سوم: روش‌ها و راهکارهای پیشنهادی</b>
١١٣	جدول (١-٣) محدوده متغیرهای طراحی برای قاب شیب‌دار غیرمنشوری با تیرهای ...
١١٤	جدول (٢-٣) نتایج طرح بهینه قاب شیب‌دار با تیرهای یکنواخت به روش MSM-GA
١٢٠	جدول (٣-٣) مجموعه لیست مقاطع برای پیکربندی خرپای ١٥ میله‌ای
١٢١	جدول (٤-٣) نتایج طرح بهینه پیکربندی خرپای ١٥ میله‌ای براساس روش ...
١٢٦	جدول (٥-٣) اعضای لیست مقاطع برای هر زیرمجموعه در ایده انفصال فضای ...
١٣٧	جدول (٦-٣) بارگذاری مؤثر بر دکل ٤٧ میله‌ای
١٣٨	جدول (٧-٣) نتایج طرح بهینه دکل ٤٧ میله‌ای براساس ایده نوین انفصال فضای ...
١٤١	جدول (٨-٣) تقسیم‌بندی اعضای لیست مقاطع قاب ٨ طبقه - یک دهانه در ...
١٤١	جدول (٩-٣) اعضای لیست مقاطع در حالات ١، ٢ و ٣ پیشنهادی برای قاب ...
١٤٥	جدول (١٠-٣) نتایج طرح بهینه دکل ٤٧ میله‌ای براساس ایده نوین انفصال فضای ...
١٥٢	جدول (١١-٣) بارگذاری مؤثر بر قاب پنج طبقه - دو دهانه
١٥٣	جدول (١٢-٣) اعضای لیست مقاطع برای طراحی بهینه قاب پنج طبقه - دو دهانه
١٥٣	جدول (١٣-٣) نتایج طرح بهینه قاب پنج طبقه - دو دهانه براساس روش نوین ...
١٦٦	جدول (١٤-٣) نتایج طرح بهینه قاب پنج طبقه - دو دهانه براساس روش نوین ...
١٨١	<b>پیوست الف: مثال‌های بهینه‌یابی</b>
١٨٣	جدول (الف-١) اعضای لیست مقاطع برای بهینه‌یابی سطح‌مقطع و توپولوژی ...
١٨٤	جدول (الف-٢) نتایج طرح بهینه سطح‌مقطع و توپولوژی خرپای ١٠ میله‌ای به ...
١٨٤	جدول (الف-٣) نتایج طرح بهینه سطح‌مقطع و توپولوژی خرپای ١٠ میله‌ای به ...
١٨٥	جدول (الف-٤) تنش‌های مجاز کششی و فشاری و گروه‌بندی اعضای خرپای ...
١٨٦	جدول (الف-٥) بارگذاری مؤثر بر خرپای فضایی ٢٥ میله‌ای
١٨٦	جدول (الف-٦) نتایج طرح بهینه سطح‌مقطع و توپولوژی خرپای ٢٥ میله‌ای ...
١٨٦	جدول (الف-٧) اعضای لیست مقاطع برای قاب هشت طبقه - یک دهانه

۱۸۸	جدول (الف-۸) نتایج طرح بهینه قاب هشت طبقه - یک دهانه براساس روش‌های ...
۱۸۸	جدول (الف-۹) نتایج طرح بهینه قاب هشت طبقه - یک دهانه براساس ایده‌ها و ...
۱۹۲	جدول (الف-۱۰) نتایج طرح بهینه سطح مقطع و توپولوژی شبکه متعامد $2 \times 2$ به ...
۱۹۲	جدول (الف-۱۱) نتایج طرح بهینه سطح مقطع و توپولوژی شبکه متعامد $3 \times 3$ به ...
۱۹۲	جدول (الف-۱۲) نتایج طرح بهینه سطح مقطع و توپولوژی شبکه متعامد $5 \times 5$ به ...
۱۹۳	جدول (الف-۱۳) محدوده متغیرهای طراحی برای قاب شبیدار غیرمنشوری با ...
۱۹۴	جدول (الف-۱۴) نتایج طرح بهینه قاب شبیدار با تیرهای غیریکنواخت به روش ...
۱۹۶	جدول (الف-۱۵) نتایج طرح بهینه متغیر هندسی سازه فضاکار تخت دولایه $8 \times 8$ ...
۱۹۷	جدول (الف-۱۶) نتایج طرح بهینه سطح مقطع سازه فضاکار تخت دولایه $8 \times 8$ به ...
۲۰۳	جدول (الف-۱۷) بارگذاری مؤثر بر برج فولادی ۷۲ میله‌ای
۲۰۳	جدول (الف-۱۸) مجموعه لیست مقاطع
۲۰۴	جدول (الف-۱۹) نتایج طرح بهینه برج فولادی ۷۲ میله‌ای براساس روش‌های ...
۲۰۴	جدول (الف-۲۰) نتایج طرح بهینه برج فولادی ۷۲ میله‌ای براساس ایده‌ها و ...
۲۰۶	جدول (الف-۲۱) مجموعه لیست مقاطع برای خرپای مستوی ۲۰۰ میله‌ای
۲۰۶	جدول (الف-۲۲) نتایج طرح بهینه خرپای ۲۰۰ میله‌ای براساس روش نوین ...
۲۰۸	جدول (الف-۲۳) نتایج طرح بهینه پیکربندی خرپای ۱۰ میله‌ای براساس روش ...
۲۰۹	جدول (الف-۲۴) بارگذاری مؤثر بر خرپای فضایی ۲۵ میله‌ای
۲۱۱	جدول (الف-۲۵) نتایج طرح بهینه پیکربندی خرپای ۲۵ میله‌ای براساس روش ...
۲۱۵	جدول (الف-۲۶) نتایج طرح بهینه پیکربندی خرپای ۱۳۱ میله‌ای براساس روش ...
۲۱۶	جدول (الف-۲۷) اعضای لیست مقاطع بر طبق آیین‌نامه AISC-ASD برای برج ...
۲۱۸	جدول (الف-۲۸) نتایج طرح بهینه برج فولادی ۹۴۲ میله‌ای براساس روش MHSM
۲۲۱	جدول (الف-۲۹) نتایج طرح بهینه برج فولادی ۵۸۲ میله‌ای براساس روش MHSM
۲۲۲	جدول (الف-۳۰) تغییر مکان مجاز و بارگذاری مؤثر بر دکل انتقال نیرو ۲۴۴ میله‌ای
۲۲۳	جدول (الف-۳۱) لیست مجموعه مقاطع برای دکل انتقال نیرو ۲۴۴ میله‌ای
۲۲۳	جدول (الف-۳۲) مختصات گرهی دکل انتقال نیرو ۲۴۴ میله‌ای - $mm$
۲۲۴	جدول (الف-۳۳) نتایج طرح بهینه دکل انتقال نیرو ۲۴۴ میله‌ای براساس روش ...

- جداول (الف-۳۴) گروه‌بندی و همبندی اعضای دکل انتقال نیرو ۱۶۰ میله‌ای ۲۲۶
- جداول (الف-۳۵) بارهای مؤثر بر دکل انتقال نیرو ۱۶۰ میله‌ای ۲۲۷
- جداول (الف-۳۶) لیست مقاطع موجود برای دکل انتقال نیرو ۱۶۰ میله‌ای ۲۲۷
- جداول (الف-۳۷) مختصات گرهی دکل انتقال نیرو ۱۶۰ میله‌ای - *cm* ۲۲۸
- جداول (الف-۳۸) نتایج طرح بهینه دکل انتقال نیرو ۱۶۰ میله‌ای براساس روش ... ۲۲۹
- جداول (الف-۳۹) نتایج طرح بهینه خرپای ۵۲ میله‌ای براساس روش‌های مراجع ... ۲۳۰
- جداول (الف-۴۰) نتایج طرح بهینه خرپای ۵۲ میله‌ای براساس ایده‌ها و روش‌های ... ۲۳۱

پارامتر	عنوان	پارامتر	عنوان
$R$	فضای طراحی	$[A_\theta]$	طرح بهینه
$g_i(A)$	نامین قید نامساوی	$F(A)$	تابع هدف
$a$	متغیر طراحی	$k_i(A)$	نامین قید مساوی
$LS$	تعداد بیت‌های هر زیرشته	$Nos$	تعداد متغیرهای طراحی
$IR_i$	عدد صحیح متناظر با زیرشته $\alpha$	$b$	بیت
$\phi(A)$	تابع هدف اصلاح شده	$\{S\}$	مجموعه لیست مقاطع موجود
$nlc$	تعداد ترکیبات بارگذاری	$K$	ثابت جریمه
$Fit(A)$	تابع شایستگی	$G_q$	میزان نقض قیود
$P_m$	نرخ جهش	$P_c$	نرخ پیوند
$\Delta E$	تغییرات انرژی	$T$	دماي سистем
$T_f$	دماي نهايی سистем	$T_s$	دماي أوليه سистем
$nw$	بازه همسایگی	$\eta$	ضریب سردشدن
$k_B$	ثابت بولتزمن	$P(\Delta\phi)$	احتمال پذیرفتن طرح جدید
$P_{ij}$	احتمال انتخاب (احتمال جذب)	$[Ph]$	ماتریس فرومون
$\rho_0$	ضریب بهنگام‌سازی محلی	$v_i$	ضریب پدیداری برای نامین حالت
$\omega$	ضریب اینرسی وزنی	$e_r$	نرخ تبخیر سراسری فرومون
$C_2$	پارامتر اجتماعی	$C_1$	پارامتر شناختی
$HCMR$	نرخ درنظرگیری حافظه	$HMS$	اندازه حافظه هارمونی
$bw$	پهنهای باند همسایگی	$PAR$	نرخ تنظیم نت
$NP$	تعداد ذرات (تعداد نقاط)	$[HM]$	ماتریس حافظه هارمونی
$a^{CSS}$	شعاع هر ذره در روش CSS	$\Delta t$	پارامتر بازه زمانی
$m_j$	جرم زمین ذره	$CM$	حافظه بار
$k_v$	ضریب سرعت	$k_a$	ضریب شتاب
$iter_{max}$	تعداد کل تکرارها	$iter$	شماره تکرار
$C_3$	ضریب تأثیر جمعیت	$r_{ij}$	فاصله بین ذرات $i$ و $j$

پارامتر	عنوان
$IS_i$	مقدار متناظر با زیرشته $i$ ام در لیست مقاطع
$Q$	تعداد کل قیود حاکم بر مسئله بهینه‌یابی
$\Delta\phi$	اختلاف توابع هدف اصلاح شده طرح کاندید و طرح مبنا
$i_c$	تعداد تکرارهای موجود در هر سیکل سردشدن تدریجی
$i_f$	حداکثر تکرارهای موجود در هر سیکل سردشدن تدریجی
$i_s$	حداقل تکرارهای موجود در هر سیکل سردشدن تدریجی
$Ns$	تعداد حالات ممکن برای هر متغیر طراحی
$\bar{P}_i^j$	مقدار احتمال تجمعی $i$ امین حالت برای $j$ امین متغیر طراحی
$\alpha$	ضریب اهمیت نسبی اثر فرومون
$\beta$	ضریب اهمیت نسبی اطلاعات اکتشافی
$\mu$	مجموعه کوچک بهترین طرح ها در ACO
${}_r\lambda$	تعداد اعضای مجموعه $\mu$
$\Delta P_{ij}$	مقدار فرومون لازم برای بجای گذاری در مسیر $ij$
$X_i$	موقعیت $i$ امین ذره در فضای برداری
$V_i$	سرعت $i$ امین ذره در فضای برداری
$P_i^k$	بهترین موقعیت ذره $i$ ام از ابتدا تا $k$ امین تکرار
$P^g$	بهترین موقعیت یک ذره از ابتدا تا تکرار جاری
$Ran_{1,2,3}$	اعداد تصادفی یکنواخت در محدوده صفر تا یک
$q_j$	بار الکتریکی هر ذره
$CMS$	مجموعه کوچک بهترین ذرات
$F_j$	نیروی برآیند وارد بر ذره $j$ ام
$R_i^k$	موقعیت $i$ امین ذره انتخابی از جمعیت حاضر در $k$ امین تکرار
$Z_i^k$	$i$ امین مسیر در $k$ امین تکرار
$P_i$	مقدار احتمال متناظر با هر طرح
$MNP$	شماره هر عضو از جمعیت

پارامتر	عنوان
$P_{Cu}$	مقدار احتمال برای تخصیص بیت والد شایسته به فرزندان
${}^{MP}\lambda$	ضریب استانداردسازی در روش MP
$Ncp$	تعداد اعضای جمعیت منتخب
$MNP$	شماره هر طرح در جمعیت
$r_{0, 1, 2, 3}$	ضرایب حرکت در روش MP
$E$	مدول الاستیسیته
$\rho$	جرم مخصوص
$\gamma$	وزن مخصوص
$\sigma_{all\ (Ten)}$	تنش مجاز کششی
$\sigma_{all\ (com)}$	تنش مجاز فشاری
$\delta$	تغییرمکان مجاز
$DL$	بار مرده
$LL$	بار زنده
$WL$	بار باد
$S_{x, y}$	اساس مقطع حول محورهای $x$ و $y$
$I_{x, y}$	ممان اینرسی حول محورهای $x$ و $y$
$r_{x, y}$	شعاع ژیراسیون حول محورهای $x$ و $y$
$F_y$	تنش تسلیم
$\lambda_{max}$	lagri حداکثر
$C_c$	lagri مرزی بین کمانش ارجاعی و غیرارجاعی
$k$	ضریب طول مؤثر
$l$	طول عضو
$P_{x,y}$	نیرو در جهات $x$ و $y$
$\sigma^{cr}$	تنش مجاز کمانشی



# فصل اول

## مقدمہ و

## کلیات

## ۱-۱ مقدمه

انسان بطور غریزی تمام فعالیت‌هایش را به شکلی انجام می‌دهد، که ناراحتی و دردش حداقل باشد و در صورت امکان انرژی را صرفه‌جویی نماید. این تمایل و اراده باید به نحوی باشد که با توجه به منابع محدود، بیشینه خروجی یا سود حاصل گردد [۱]. مثال‌های بی‌شماری در تاریخ زندگی بشر یافت می‌شود که هدف تمامی آن‌ها دستیابی به بیشترین سود همراه با کمترین مصرف انرژی است. این مهم امروزه با عنوان فرآیند بهینه‌یابی به صورت استاندارد و توسعه یافته در بسیاری از علوم مورد بحث بوده و زمینه تحقیقات بسیاری از محققین در علوم مختلف می‌باشد. کمبود فضا و امکانات، کمبود منابع انرژی، محدودیت‌های مصالح، سیطره اقتصاد بر علوم مختلف و نیز ذات تکامل‌گرایی انسان سبب افزایش اهمیت و تخصیص جایگاه ویژه فرآیند بهینه‌یابی در علوم مختلف شده است. فرآیند بهینه‌یابی را می‌توان بطور مختصر بشرح زیر تعریف نمود [۱]:

”ارائه بهترین مدل و طراحی قابل قبول بر اساس معیارهای کیفی و کمی از پیش تعریف شده“  
بر اساس این تعریف فرآیند بهینه‌یابی در هر علمی می‌باشد منجر به تولید بهترین محصول و یا جواب ممکن در شرایط موجود گردد. در این راستا عموماً ارائه مدل و طرحی با بالاترین بازدهی و خروجی همراه با کمترین هزینه براساس شرایط سیستم، با تعبیر بهترین حالت عنوان می‌گردد. کمترین هزینه به صورت‌های مختلفی همچون کمترین مصرف انرژی، کمترین مواد اولیه، کمترین فضا و ... متناسب با شرایط سیستم تعریف می‌شود. این شرایط مبتنی بر معیارهای کیفی و کمی

مختص سیستم در قالب علم مربوطه بیان خواهد شد. برای نیل به این هدف در قدیم عموماً از روش سعی و خطأ جهت یافتن مدل و طرح بهینه استفاده می‌گردید. در این روند مدل و یا طرح اولیه بصورت تجربی و با استفاده از درک و تجربه تعیین و سپس براساس عملیات سعی و خطأ، مدل و طرح اولیه در جهت افزایش بازدهی و کاهش هزینه بهبود داده می‌شد. بر اساس این شیوه، طرح نهایی بیش از حد به مدل و حالت اولیه وابسته بوده و عموماً مدلی مشابه حالت اولیه با تغییرات اندک نتیجه می‌گردید. بعدها با پیشرفت علوم رایانه و امکان محاسبات پیچیده و حجمی، روش‌های متعدد بهینه‌یابی پیشنهاد گردید که سبب تحولی عظیم و توسعه‌ای شگرف در فرآیند بهینه‌یابی شد. بدین ترتیب فرآیند بهینه‌یابی با روش‌های مختلف بر پایه رایانه‌ها برای انجام محاسبات مختلف بصورت علم بهینه‌یابی مطرح گردید. این علم فصل مشترک بسیاری از علوم کاربردی بوده و اهمیت ویژه‌ای در علوم مختلف دارد. در این راستا مهندسی عمران<sup>۱</sup> نیز از این قاعده مستثنی نبوده و علم بهینه‌یابی زمینه پژوهش را برای بسیاری از محققین عمران فراهم ساخته است. بدین منظور در فصل حاضر ابتدا به بررسی ضرورت علم بهینه‌یابی در مهندسی عمران پرداخته شده است. سپس کلیات و مبانی پایه علم بهینه‌یابی برای مسائل مهندسی مورد توجه و شرحی مختصر برای روش‌های بهینه‌یابی مطرح گردیده است. در انتهای این فصل نیز شرحی کلی از فصول رساله ارائه خواهد شد.

## ۱-۲ ضرورت بهینه‌یابی در مهندسی عمران

امروزه دنیای علم با سرعتی شگرف در تمامی زمینه‌ها رو به پیشرفت نهاده و در این مسیر، ابداعات و اکتشافات نقش بسیار مهمی را ایفا می‌نمایند. اما همواره در این مسیر تلاش‌های علمی بر پایه استفاده بهینه از امکانات پی‌ریزی شده است و قسمت عمده‌ای از تلاش‌های بشر بر طبق قاعده افزایش بازدهی همراه با صرف کمترین هزینه استوار است. عرصه مهندسی عمران نیز در کلیه زمینه‌ها به خصوص طراحی سازه‌های کاربردی، خارج از این قاعده نبوده و همواره تلاش مهندسین عمران بر

<sup>۱</sup>. Civil Engineering

طبق اصل طراحی‌های بهینه بنا نهاده شده است. در این راستا یکی از مهم‌ترین زمینه‌های مهندسی عمران طراحی سازه‌های مختلف برای کاربردهای گوناگون می‌باشد. بدین منظور همواره تلاش مهندسین بر قاعده طراحی ایمن و در عین حال اقتصادی استوار است. به بیان دیگر دو اصل مهم در طراحی سازه‌های مهندسی، اقتصاد و ایمنی می‌باشد و اساساً طراحی می‌بایست مبتنی بر اقتصاد باشد. چراکه نبود توجه به اقتصاد در روند طراحی، منجر به استفاده از مدلی بسیار قوی برای هر سازه جهت تأمین ایمنی می‌شود. به عبارت دیگر در فرآیند طراحی، حالات و مدل‌های مختلفی برای ساختن سازه مورد نظر قابل ارائه است؛ اما از میان تمامی حالات، بهترین حالت در برگیرنده بالاترین عملکرد برای سازه در عین کمترین هزینه می‌باشد. بدین ترتیب تلاش‌ها در فرآیند طراحی در جهت رسیدن به چنین حالتی پی‌ریزی می‌شود. هرچند امروزه در برخی مواقع فرآیند طراحی سازه‌ها براساس ارائه مدلی تجربی و بهبود آن براساس عملیات سعی و خطاب انجام می‌شود. اما این روال ذات نهفته بهینه‌یابی را در فرآیند طراحی حذف نمی‌نماید. به عبارت دیگر اساساً فرآیند طراحی سازه از دیدگاه منطق مهندسی، می‌بایست منجر به مدلی با حداقل هزینه و حداکثر عملکرد شود. این مهم بیانی شیوا برای فرآیند بهینه‌یابی در قالب مهندسی عمران است. در این راستا همواره بالاترین عملکرد و بیشترین بازدهی بحث ایمنی طرح را براساس آیین‌نامه‌های طراحی کنترل و کمترین هزینه بحث اقتصاد طرح را برای سازه مورد نظر تأمین می‌نماید. بدین‌سان دو اصل مهم علم بهینه‌یابی هم‌ارز با دو اصل مهم فرآیند طراحی قرار می‌گیرد. فرآیندی که می‌بایست منجر به سازه‌ای با بالاترین عملکرد همراه با کمترین هزینه شود. در این راستا مفهوم بالاترین عملکرد در قالب‌هایی همچون استفاده از تمام توان اعضا و ... مطرح می‌شود. از سوی دیگر نیز مفهوم کمترین هزینه در طراحی سازه در بیان‌هایی همچون کمترین مصرف مصالح، کمترین فضا برای سازه و ... دیده می‌شود.

توجهی بهینه‌یابی در فرآیند طراحی سازه‌های کاربردی، تنها دلیل برای جایگاه علم بهینه‌یابی در مهندسی عمران نیست. به عبارت دیگر مفهوم بهینه‌یابی به صورت‌های دیگر نیز در مهندسی عمران خودنمایی می‌نماید. نگرش به تاریخچه پیشرفت مهندسی عمران، بیانگر موقعیت ویژه علم بهینه‌یابی و

توجه به آن در سیر تکاملی علم عمران و سازه می‌باشد. امروزه سازه‌های مهندسی در جهت استفاده بهینه از فضا در بعد سوم یعنی همان ارتفاع رشد نموده‌اند. صالح سبک جایگزین صالح سنگین گذشته شده‌اند. پانل‌های بسیار نازک و سبک، امروزه به جای دیوارهای باربر و عریض گذشته مورد استفاده قرار می‌گیرند. مشابه این تغییرات در سیر تکاملی مهندسی عمران، تأییدی بر جایگاه ویژه علم بهینه‌یابی می‌باشد. اگرچه برخی از این تغییرات، به طور غیر مستقیم با علم بهینه‌یابی مربوط می‌باشد، اما در نهایت به سوی ارائه طرحی بهینه منجر شده است. به عنوان نمونه اصلی‌ترین هدف در سبک‌سازی سازه، کاهش تأثیر نیروی زلزله می‌باشد. اما در حقیقت با کاهش وزن سازه، گامی مؤثر در جهت کاهش هزینه همراه با افزایش عملکرد سازه برداشته شده است که این مهم در واقع تعریف علم بهینه‌یابی به زبان مهندسی عمران است.

در هر صورت نکته حائز اهمیت توجه به علم بهینه‌یابی و جایگاه آن در مهندسی عمران می‌باشد که این مهم نیازمند تحقیقات برنامه‌ریزی شده‌ای است. خوشبختانه در این راستا پژوهشگران مهندسی عمران نیز تحقیقات ارزشمندی را از سالیان گذشته آغاز نموده و تا به امروز ادامه دارد. به همین سبب در این رساله نیز سعی شده است تا گامی در جهت پیشبرد علم بهینه‌یابی در مهندسی عمران برداشته شود. بدین‌منظور در بخش بعدی به ارائه کلیات و مبانی پایه علم بهینه‌یابی و دسته‌بندی روش‌های بهینه‌یابی پرداخته شده است.

### ۱-۳ کلیات و مبانی پایه علم بهینه‌یابی

امروزه علم بهینه‌یابی<sup>۱</sup> مورد توجه بسیاری از محققین و مهندسین قرار دارد. با توجه به تاریخچه واژه بهینه‌یابی می‌توان اذعان داشت که اولین تکنیک بهینه‌سازی توسط کارل فردریش گاووس ابداع گردید. اما عمدۀ اصطلاحات مورد استفاده در این حوزه به دوره معاصر برمی‌گردد.

<sup>1</sup>. Optimization

اصطلاح برنامه‌ریزی خطی<sup>۱</sup> به عنوان یکی از ابتدایی‌ترین تکنیک‌های بهینه‌یابی، نخستین بار توسط جرج برنارد دانتزیگ در سال ۱۹۴۰ میلادی به کار گرفته شد [۲]. واژه برنامه، در کلمه برنامه‌ریزی اشاره به طرح‌های لجستیکی و آموزشی ارتش ایالات متحده امریکا دارد که دانتزیگ آن را مورد مطالعه قرار داد [۳-۴]. البته بایستی توجه داشت که قدمت علم بهینه‌یابی با توجه به تعریف واژه بهینه‌یابی بسیار طولانی‌تر می‌باشد. به عنوان نمونه مصریان باستان با استفاده از تکنیک‌های به خصوصی سعی در طراحی و ساخت کشتی‌های بادبانی با محسن ویژه‌ای نموده و بدین ترتیب بیشترین بازدهی همراه با کمترین هزینه و انرژی را نتیجه می‌گرفتند. مشابه این فعالیت‌ها در دوران‌های مختلف زندگی بشر قابل مشاهده می‌باشد [۳]. این فعالیت‌ها در حوزه‌های مختلف ارائه شده و تحت عنوان فرآیند بهینه‌یابی توصیف می‌شود. چراکه همواره در فرآیند بهینه‌یابی سعی در کسب بهترین طرح و حداکثر خروجی همراه با حداقل ورودی می‌باشد. این مهم در مهندسی عمران نیز به وضوح در زمینه‌های مختلف به خصوص فرآیند طراحی سازه‌های گوناگون قابل مشاهده است. بر این اساس همان‌طور که پیشتر بیان شد، در حوزه مهندسی عمران همواره تلاش‌ها بر پایه ارائه بهترین طرح با کمترین مصرف مصالح و هزینه با توجه به شرایط و محدودیت‌های طراحی همراه می‌باشد. بدین ترتیب فرآیند بهینه‌یابی در حوزه طراحی سازه‌ها، می‌بایست منجر به بهترین طرح به ازای محدودیت‌های موجود شود. در این راستا عواملی از قبیل تعداد متغیرهای طراحی، بزرگی فضای جستجو و قیود کنترل‌کننده طرح، سبب شکل‌گیری محدودیت‌های مختلف شده و از جمله عوامل بازدارنده برای نیل به طرح بهینه در زمان قابل قبول می‌باشند. برای این منظور عموماً مبانی علم بهینه‌یابی در فرآیند طراحی بهینه سازه‌های مختلف برای بیان عوامل مذکور ثابت بوده و به شکل استاندارد بشرح زیر تعریف می‌شود [۵]:

یافتن مقدار  $A_0$  از میان کلیه حالات و طرح‌های موجود، بطوری که

$$\begin{aligned} \forall A_0 \in R & \Rightarrow F(A_0) \leq F(A) \\ A_0 = [a_0^1, a_0^2, \dots, a_0^{N_{os}}] \end{aligned} \tag{1-1}$$

---

<sup>۱</sup>. Linear Programming

مشروط بر آن که

$$\begin{aligned} g_i(A_0) &\leq 0 & i = 1, \dots, m_g \\ k_j(A_0) &= 0 & j = 1, \dots, m_k \end{aligned}$$

باشد.

در تعریف فوق  $R$  بیانگر کلیه حالات ممکن و غیرممکن برای طراحی سازه موردنظر

می‌باشد که می‌بایست بهترین حالت یعنی  $A_0$  از میان کلیه حالات مختلف پیدا شود. طرح  $A_0$  براساس

متغیرهای طراحی قابل تعریف بوده و بیانگر نقطه‌ای در فضای طراحی<sup>۱</sup>  $Nos$  بعدی  $R$  می‌باشد. بدین

ترتیب مقادیر<sup>۲</sup>  $a^1$  تا  $a^{Nos}$  بیانگر متغیرهای طراحی<sup>۳</sup> مسئله می‌باشند که عموماً بهترین مقادیر برای هر

یک از آن‌ها متناسب با بازه تغییرات، سبب تشکیل بهترین طرح یعنی  $[a_0^1, a_0^2, \dots, a_0^{Nos}]$  می‌باشد.

می‌شود. از سوی دیگر براساس تعداد متغیرهای طراحی، فضای طراحی یعنی  $R$  قابل تعریف می‌باشد.

یک فضای  $Nos$  بعدی متناسب با بازه تغییرات متغیرهای طراحی است. نقطه  $A_0$  در فضای طراحی  $R$

بهترین موقعیت را داشته و بیانگر بهترین طرح برای سازه موردنظر می‌باشد. بنابراین  $A_0$  دارای

بیشترین بازدهی همراه با کمترین هزینه برای سازه موردنظر بوده و این مهم سبب برتری آن نسبت

به سایر حالات موجود در  $R$  شده است. معیارهای بررسی بیشترین بازدهی همراه با کمترین هزینه در

قالب تابع یا توابع هدف<sup>۳</sup> بیان می‌شود. به عبارت دیگر میزان شایستگی هر طرح برای سازه، براساس

توابع هدف ارزیابی می‌شود. اما در این راستا تعریف توابع هدف چندگانه برای طراحی بهینه سازه

سبب پیچیدگی مسئله خواهد شد. بدین ترتیب برای اجتناب از این موضوع، مهم‌ترین تابع را به عنوان

تابع هدف و سایر توابع را در قالب محدودیتها یی برای فرآیند طراحی تعریف می‌نمایند. این راهکار

ساده‌ترین حالت می‌باشد. راه حل دیگر تعریف یک تابع هدف مرکب می‌باشد که اهداف مسئله

براساس ضرایب وزنی در قالب آن تعریف می‌شوند. در هر صورت راه حل اول مرسوم‌تر بوده و در

ادبیات بهینه‌یابی بیشتر استفاده می‌شود [۵]. بر این اساس در فرمولبندی مسئله بهینه‌یابی تابع  $F$  به

<sup>۱</sup>. Design Space

<sup>۲</sup>. Design Variable

<sup>۳</sup>. Objective Functions

عنوان هدف اصلی فرآیند بهینه‌یابی و توابع  $g$  و  $k$  به عنوان قیود<sup>۱</sup> و محدودیت تعریف خواهند شد.

برای طراحی بهینه سازه، تابع  $F$  وزن<sup>۲</sup> سازه و یا حجم<sup>۳</sup> مصالح مصرفی و ... است. بنابراین در نتیجه

فرآیند بهینه‌یابی براساس حالت  $A_0$  بهترین مقدار برای تابع  $F$  حاصل می‌گردد. توابع  $g$  و  $k$  نیز که از

اهداف کلی مسئله می‌باشند، بصورت قیود و محدودیت تعریف می‌شوند. براساس این توابع حالات

ممکن و غیرممکن در بین کلیه حالات یعنی فضای  $R$  مشخص می‌شود. به عبارت دیگر توابع  $g$  و  $k$

بطور غیرمستقیم در بررسی طرح‌های مختلف برای طراحی سازه موردنظر مؤثر بوده و شایستگی

بهترین حالت یعنی  $A_0$  براساس توابع  $g$  و  $k$  نیز مورد ارزیابی قرار می‌گیرد. در این راستا  $g$  بیانگر قیود

نامساوی و  $k$  بیانگر قیود مساوی می‌باشند. این قیود عموماً در طراحی سازه بر اساس آیین‌نامه<sup>۴</sup> تعیین

شده و ایمنی سازه را کنترل می‌نمایند. قید نسبت تنش برای اعضای سازه، مقدار تغییرمکان مجاز

گره‌های فعال سازه و ... از جمله قیود مرسوم در فرآیند طراحی بهینه سازه بوده که براساس

آیین‌نامه‌های طراحی تعریف و ایمنی طرح نهایی را تأمین می‌نمایند.

بدین ترتیب در فرآیند طراحی بهینه سازه، سعی می‌شود سازه‌ای با کمترین وزن و کمترین

مصالح همراه با مناسب‌ترین ایمنی مطابق آیین‌نامه حاصل گردد. این مهم با یافتن طرح  $A_0$  از میان

دیگر طرح‌های موجود در فضای طراحی  $R$  نتیجه می‌شود. این مسئله سبب شده است تا در دهه‌های

اخیر محققین مختلف، روش‌های گوناگونی را برای فرآیند بهینه‌یابی و نیل به طرح بهینه در زمان قابل

قبول ارائه دهند. بدین منظور تنوع خاصی در زمینه الگوریتم‌های بهینه‌یابی شکل گرفته است [۷-۶].

در این راستا دو دسته کلی و رایج برای طراحی بهینه سازه‌ها وجود دارد.

دسته اول بهینه‌یابی براساس روش‌های قطعی و یا به تعبیر صحیح‌تر روش‌های ریاضی است که

با نام روش‌های کلاسیک شناخته می‌شود. روش برنامه‌ریزی خطی، برنامه‌ریزی غیرخطی<sup>۵</sup>، روش

<sup>1</sup>. Constraints

<sup>2</sup>. Weight

<sup>3</sup>. Volume

<sup>4</sup>. Code

<sup>5</sup>. Nonlinear Programming

نیوتن<sup>۱</sup>، شبه نیوتن و روش‌های گرادیان از جمله روش‌های کلاسیک می‌باشند [۱، ۶]. این روش‌ها بر اساس اصول و قواعد ریاضی پیریزی شده و عموماً نیازمند محاسبه مشتق و دیگر اپراتورهای ریاضیات در روند بهینه‌یابی می‌باشند. اکثر روش‌های کلاسیک قابلیت بهینه‌یابی براساس متغیرهای پیوسته<sup>۲</sup> را داشته و بدین ترتیب نیازمند راهکارهای ویژه‌ای برای استفاده در بهینه‌یابی مبتنی بر متغیرهای گسسته<sup>۳</sup> می‌باشند. از سوی دیگر اغلب این روش‌ها نیازمند نقطه‌ای اولیه برای شروع فرآیند بهینه‌یابی بوده و تا حدودی مسیر بهینه‌یابی جهت کسب طرح بهینه، وابسته به موقعیت نقطه اولیه<sup>۴</sup> می‌باشد. در هر صورت روش‌های کلاسیک که به طور رسمی از دهه ۴۰ آغاز شده است، امروزه نیز در روند طراحی بهینه برخی از سازه‌ها مورد استفاده قرار می‌گیرد و برخی از محققین علم بهینه‌یابی به کارآیی آن‌ها اعتقاد فراوانی دارند.

دسته دوم روش‌های بهینه‌یابی، روش‌های هوشمند تصادفی<sup>۵</sup> است که از تئوری احتمالات و نیز پدیده‌های طبیعی بهره می‌گیرد. این روش‌ها در ادبیات بهینه‌یابی با عنوان روش‌های فرالبتکاری<sup>۶</sup> معرفی می‌گردند [۸-۷]. در سالیان گذشته استفاده از روش‌های فرالبتکاری به سبب گریز از مشتقات تابع هدف و قیود، محاسبات سنگین ریاضی و عوامل دیگر گسترش زیادی یافته و مورد توجه بسیاری از محققین واقع شده است. به همین دلیل تحقیقات مختلف و الگوریتم‌های گوناگونی بر پایه روش‌های فرالبتکاری ارائه شده است. الگوریتم ژنتیک<sup>۷</sup> (GA)، جستجوی ممنوعه<sup>۸</sup> (TS)، الگوریتم کلونی مورچگان<sup>۹</sup> (ACO)، اجتماع ذرات<sup>۱۰</sup> (PSO)، الگوریتم شبیه‌سازی بازیخت<sup>۱۱</sup> (SA) و جستجوی هارمونی<sup>۱۲</sup> (HS) از جمله روش‌های فرالبتکاری می‌باشند. این روش‌ها با ترکیب قوانین طبیعی و

<sup>1</sup>. Newton

<sup>2</sup>. Continuous Variable

<sup>3</sup>. Discrete Variable

<sup>4</sup>. Initial Point

<sup>5</sup>. Random Intelligent

<sup>6</sup>. Meta-heuristic Algorithm

<sup>7</sup>. Genetic Algorithm (GA)

<sup>8</sup>. Tabu Search (TS)

<sup>9</sup>. Ant Colony Optimization (ACO)

<sup>10</sup>. Particle Swarm Optimization (PSO)

<sup>11</sup>. Simulated Annealing (SA)

<sup>12</sup>. Harmony Search (HS)

احتمالات تصادفی در طبیعت، فرآیند جستجو را در پیش گرفته و با تولید طرح‌های ارتقاء یافته متعدد، فضای طراحی را بررسی و کاوش می‌نمایند. به بیان دیگر الگوریتم‌های فرالبتکاری، روش‌های هوشمند تصادفی می‌باشند که با کمک نقاط مختلف فضای طراحی را جستجو می‌نمایند. منطق اکثر این الگوریتم‌ها با الهام از فرآیندهای طبیعی شکل گرفته است. به عنوان نمونه الگوریتم‌های استراتژی تکاملی<sup>۱</sup> (ES) و ژنتیک با الهام از فرآیندهای بیولوژیکی در طبیعت و ساختار ژن<sup>۲</sup> ها و کروموزوم<sup>۳</sup> ها شکل گرفته است. الگوریتم‌هایی همچون کلونی مورچگان، اجتماع پرندگان و زنبور عسل<sup>۴</sup> (BA) نیز براساس منطق رفتار حیوانات تشکیل شده است. الگوریتم شبیه‌سازی بازپخت با الهام از فرآیندهای فیزیکی فلزات در زمان حرارت شکل گرفته است. در سایر الگوریتم‌های فرالبتکاری نیز هر یک سعی شده است تا با شبیه‌سازی فرآیندهای طبیعی، مسائل بهینه‌یابی مدل‌سازی و حل شود.

تحقیقات در زمینه الگوریتم‌های فرالبتکاری همچنان ادامه داشته و فرآیند بهینه‌یابی براساس روش‌های فرالبتکاری در هر علمی از جمله حوزه مهندسی عمران به عنوان یکی از زمینه‌های تحقیقاتی به شمار می‌رود [۹-۷]. به همین سبب در این رساله سعی شده است تا با کسب دید مناسب نسبت به تحقیقات گذشته، روند توسعه و گسترش روش‌های فرالبتکاری در طراحی بهینه سازه‌های مهندسی، در پیش گرفته شود. بدین ترتیب برای این رساله در فصول متمادی بشرح زیر گام‌های مؤثری در راستای بهبود و توسعه شیوه‌های بهینه‌یابی سازه‌ها با استفاده از روش‌های فرالبتکاری برداشته و پیشنهاداتی در جهت افزایش کارآیی این الگوریتم‌ها ارائه شده است.

## ۴-۱ شرح کلی فصول

در این راستا در فصل دوم الگوریتم‌های فرالبتکاری مورد توجه قرار گرفته و با ارائه ویژگی‌های کلی این روش‌ها، به بررسی برخی از جزئیات لازم از روش‌های فرالبتکاری پرداخته شده است. در این

<sup>1</sup>. Evolutionary Strategies (ES)

<sup>2</sup>. Gene

<sup>3</sup>. Chromosome

<sup>4</sup>. Bee Algorithm (BA)

فصل شیوه بهینه‌یابی براساس برخی از رایج‌ترین الگوریتم‌های فرالبتکاری در زمینه طراحی بهینه سازه‌ها از قبیل الگوریتم ژنتیک، الگوریتم شبیه‌سازی بازیخت، روش جستجوی ممنوعه، الگوریتم کلونی مورچگان و ... قابل مشاهده می‌باشد. در نهایت در انتهای فصل دوم، با توجه به گسترش امروزی روش‌های ترکیباتی بر پایه الگوریتم‌های فرالبتکاری، شرح مختصراً برای این روش‌ها ارائه و به عنوان نمونه، چند الگوریتم ترکیبی بر پایه روش‌های فرالبتکاری مورد بررسی و مطالعه قرار گرفته است.

در فصل سوم که بخش اصلی این رساله می‌باشد، راهکارهای پیشنهادی در جهت توسعه و بهبود عملکرد روش‌های فرالبتکاری در طراحی بهینه سازه‌ها ارائه شده است. این راهکارها در پنج بخش دسته‌بندی شده و براساس برنامه‌ای هدفمند با گام‌های متوالی به سرانجام رسیده است. در این راستا در اولین بخش به بررسی جزئیات برخی از رایج‌ترین الگوریتم‌های فرالبتکاری پرداخته شده است. در این راستا سعی شده است تا با ارائه پیشنهاداتی کاربردی برای هر یک از روش‌های موردنظر، کارآیی الگوریتم‌های مذکور افزایش یابد. این مهم مستلزم دقیق و شناسایی ابعاد مختلف هر روش است که براساس بررسی‌های انجام شده در فرآیند بهینه‌یابی سازه‌ها حاصل شده است. سپس با کسب دید مناسب نسبت به شیوه الگوریتم‌های فرالبتکاری موردنظر، در دومین بخش به ارائه روش نوین جستجوی چندمنظوره پرداخته شده است. این روش بر پایه ایده جستجوی جزیره‌ای، فرآیند کاوش فضای طراحی را به شیوه‌ای کارآمد در پیش گرفته و عملکرد الگوریتم موردنظر را به طور چشمگیری افزایش می‌دهد. کارآیی این ایده براساس فرآیند طراحی بهینه سازه‌های مختلف مورد بررسی قرار گرفته است. در راستای توسعه ایده جستجوی چندمنظوره، روش کاوش چندفرالبتکاری نیز در این بخش ارائه و در فرآیند طراحی بهینه سازه‌ها مورد ارزیابی قرار گرفته است. در بخش بعدی ایده نوین تقسیم‌بندی فضای طراحی با الهام از فرآیند انفصال در روش اجزای محدود ارائه شده است. این ایده گامی مؤثر در جهت بهبود عملکرد الگوریتم‌های مختلف بهینه‌یابی می‌باشد. کارآیی ایده پیشنهادی در بهبود عملکرد برخی از روش‌های فرالبتکاری در فصل سوم مورد آزمایش قرار گرفته و نتایج دلالت بر

تأثیر مثبت آن دارد. در بخش چهارم، در راستای توسعه الگوریتم‌های فرالبتکاری با پیروی از روند گسترش روش‌های ترکیبی بر پایه الگوریتم‌های فرالبتکاری، روش پیشنهادی HACOHSGA که حاصل ترکیب الگوریتم کلونی مورچگان، روش جستجوی هارمونی و الگوریتم ژنتیک می‌باشد، ارائه شده است. در این روش سعی شده تا محسن و ویژگی‌های مثبت الگوریتم‌های پایه تقویت و معایب هر یک کمرنگ شود. کارآیی این روش نیز در فرآیند طراحی بهینه سازه‌ها مورد ارزیابی قرار گرفته است. در بخش پنجم با کسب دید کلی از شیوه روش‌های فرالبتکاری در جستجوی فضای طراحی، الگوریتم نوین نقاط متحرک پیشنهاد شده است. این روش با استفاده از فرآیند تکاملی براساس ویژگی‌های جمعیت حاضر، به سوی تولید طرح‌های شایسته در فضای طراحی گام برمی‌دارد. بدین منظور با نگاشت طرح‌های مختلف سازه‌ای به مجموعه نقاط فعل و متحرک، فرآیند کاوش براساس جستجوی تصادفی هوشمند در پیش گرفته می‌شود. براین اساس جمعیت‌های متوالی براساس خصوصیات مجموعه نقاط جمعیت پیشین با استفاده از فرآیند تکاملی بهبود و تا کسب طرح بهینه براساس معیار خاتمه الگوریتم ادامه می‌یابد. کارآیی الگوریتم پیشنهادی نقاط متحرک نیز همانند سایر ایده‌های پیشنهادی در فرآیند طراحی بهینه سازه‌ها بررسی شده است. نتایج دلالت بر عملکرد مناسب این روش دارد.

در پیوست الف این رساله، مفروضات و شرایط مثال‌های مختلف بهینه‌یابی به همراه نتایج حاصل براساس راهکارهای پیشنهادی فصل سوم قابل مشاهده است. بدین ترتیب برای بررسی کارآیی ایده‌ها و روش‌های پیشنهادی فصل سوم از مثال‌های این پیوست استفاده شده و نتایج حاصل در جداول مختلف در قیاس با دیگر مراجع ارائه شده است.

## فصل دوم

مروزی بر تحقیقات

گذشته در روش‌های

فرآابتکاری و

الگوریتم‌های ترکیباتی

## ۱-۲ مقدمه

همان طور که در فصل قبل اشاره شد، الگوریتم‌های فرالبتکاری، دسته‌ای از روش‌های بهینه‌یابی می‌باشند که بر پایه تئوری احتمالات و نیز پدیده‌های طبیعی شکل گرفته‌اند. این روش‌ها فضای طراحی را به صورت نقطه به نقطه جستجو نموده و در سیر فرآیند بهینه‌یابی با پیروی از منطق الگوریتم به سوی نقطه بهینه حرکت می‌نمایند. عموماً منطق الگوریتم‌های فرالبتکاری، براساس قوانین موجود در طبیعت و رفتارهای تکاملی محیط پیرامون در زمینه‌های مختلف شکل گرفته است. همین مهم سبب تفاوت‌های عمدی در شیوه جستجوی الگوریتم‌های فرالبتکاری می‌شود [۹]. بدین ترتیب الگوریتم‌های فرالبتکاری گوناگون همراه با مزایای خاص، توسط محققین مختلف ابداع شده است. نکته حائز اهمیت و مشترک بین اکثر الگوریتم‌های فرالبتکاری، پیروی از دو اصل تنوع<sup>۱</sup> و تشدید<sup>۲</sup> در روند بهینه‌یابی است. در این راستا، هر یک از الگوریتم‌های فرالبتکاری، می‌بایست ضمن جستجوی کل فضای طراحی، همسایگی طرح‌های مستعد را با دقت بیشتری کاوش نمایند. این دو هدف براساس اصول تنوع و تشدید در هر الگوریتم قابل مشاهده می‌باشد. بدین منظور هر الگوریتم برای کسب جواب‌های متنوع و طرح‌های مناسب، نیازمند راهکاری برای جستجوی سراسری<sup>۳</sup> در کل فضای طراحی می‌باشد. این مهم براساس اصل تنوع در هر الگوریتم متناسب با شیوه جستجو نتیجه

<sup>1</sup>. Diversification

<sup>2</sup>. Intensification

<sup>3</sup>. Global Search

می‌شود. از سوی دیگر شیوه جستجوی الگوریتم می‌باشد که پتانسیل کاوش در اطراف و همسایگی طرح‌های مناسب را داشته باشد. بدین منظور همواره در الگوریتم‌های فرآبتكاری، راهکارهای ویژه‌ای برای جستجوی محلی<sup>۱</sup> اطراف طرح‌های مناسب ارائه می‌شود. این مهم در الگوریتم‌های فرآبتكاری با تعبیر اصل تشدید مشاهده می‌گردد [۱۰]. استفاده از نخبه‌گرایی<sup>۲</sup> (شاپرته سالاری)، حافظه جستجو و ... نمونه‌ای از راهکارهای الگوریتم‌های فرآبتكاری برای ارائه مفاهیم اصل تشدید می‌باشد.

بدین ترتیب همواره در الگوریتم‌های فرآبتكاری، راهکارهایی مبتنی بر اصل تنوع با جستجوی کل فضای طراحی، سبب تشکیل مجموعه طرح‌های مستعد در نواحی مختلف فضای کاوش می‌شود. از سوی دیگر راهکارهایی بر پایه اصل تشدید نیز سبب جستجو در اطراف طرح‌های مستعد حاصل از راهکارهای اصل تنوع خواهد شد. نکته حائز اهمیت در این فرآیند، برقراری تعادل و توازن بین راهکارهای مربوط به اصول تنوع و تشدید می‌باشد. به بیان دیگر شیوه جستجوی هر الگوریتم می‌باشد که با ترکیب دو اصل تنوع و تشدید، جستجوی محلی و سراسری به صورت معادل در فرآیند بهینه‌یابی ظاهر شوند. اگر الگوریتم دارای راهکارهای قدرتمندی در اصل تنوع باشد، سبب افزایش ماهیت تصادفی الگوریتم در فرآیند بهینه‌یابی می‌شود. بدین ترتیب سرعت همگرایی الگوریتم به نقطه بهینه کاوش یافته و فضای طراحی بصورت تصادفی جستجو می‌شود. از سوی دیگر اگر الگوریتم دارای راهکارهای ضعیفی در اصل تنوع باشد، نمی‌تواند فضای کاوش را به طور نسبتاً جامع جستجو نماید. در مورد اصل تشدید نیز مشابه اصل تنوع حساسیت خاصی وجود دارد. بدین ترتیب که اگر الگوریتم دارای راهکارهای قدرتمندی برای اصل تشدید باشد، احتمال گرفتاری در نقاط بهینه محلی افزایش یافته و سرعت الگوریتم جهت کسب بهینه عمومی کاوش می‌یابد. از سوی دیگر اگر الگوریتم با راهکارهای خود اصل تشدید را پوشش ندهد، احتمال کسب طرح بهینه کاوش می‌یابد و فضای طراحی به خوبی جستجو نمی‌شود. به بیان دیگر در این شرایط همسایگی طرح‌های مستعد

## <sup>1</sup>. Local Search

## 2. Elitism

جستجو نشده و اساساً احتمال کسب بهینه سراسری<sup>۱</sup> اندک است. در این راستا نکته حائز اهمیت، انجام راهکارهای مناسب برای ایجاد توازن و تعادل بین اصول تنوع و تشدید در هر تکرار از الگوریتم‌های فرآبتكاری است. اجرای راهکارهایی در جهت افزایش شدت اصل تنوع در تکرارهای اولیه و اصل تشدید در تکرارهای نهایی از راه حل‌های مرسوم در الگوریتم‌های فرآبتكاری برای جستجوی مناسب‌تر فضای کاوش می‌باشد که به صورت نهفته در شیوه جستجوی برخی از الگوریتم‌های فرآبتكاری قابل مشاهده است.

در هر صورت با توجه به اصول مطرح، در چند دهه اخیر الگوریتم‌های فرآبتكاری گوناگونی توسط محققین مختلف با الهام از فرآیندهای تکاملی محیط پیرامون ارائه شده است. در برخی مواقع نیز تعدادی از محققین سعی نموده‌اند تا با ترکیب الگوریتم‌های فرآبتكاری، روش جدیدی مبتنی بر اصول تنوع و تشدید ارائه دهند و بدین‌سان الگوریتم ترکیبی کارآمدی برای بهینه‌یابی پیشنهاد نمایند. بدین‌منظور در فصل حاضر سعی شده است تا ابتدا شرحی مختصر برای مرسوم‌ترین الگوریتم‌های فرآبتكاری در بهینه‌یابی سازه‌های مهندسی ارائه شود. سپس در ادامه برخی از الگوریتم‌های ترکیبی<sup>۲</sup> بر پایه الگوریتم فرآبتكاری ارائه شده است.

## ۲-۲ الگوریتم‌های فرآبتكاری

همان‌طور که پیشتر بیان گردید، اکثر الگوریتم‌های فرآبتكاری بر پایه الهام از فرآیندهای طبیعی شکل گرفته و کل فضای طراحی را به صورت نقطه به نقطه بررسی می‌نمایند و می‌توانند بدون محدودیتی در نوع متغیرهای طراحی، بر روی هر نوع فضای طراحی با هر نوع قیدی، کار کنند. این خواص سبب شده است تا این روش‌ها جایگاه ویژه‌ای در حل مسائل بهینه‌یابی یافته و در سالیان اخیر بطور چشمگیری توسعه یابند. ایده اصلی روش‌های فرآبتكاری نخستین بار توسط فوگل در سال ۱۹۷۵ با الگوریتم استراتژی تکاملی مطرح گردید [۱۱]. پس از وی جان هولند در سال ۱۹۶۶

<sup>۱</sup>. Global Optimum

<sup>۲</sup>. Hybrid Algorithm

دانشگاه میشیگان بهینه‌یابی مبتنی بر الگوریتم ژنتیک را بر پایه ساختار ژن‌ها و کروموزوم‌ها مطرح کرد [۱۲]. نظریه وی توسط دانشجویانش توسعه یافته و گلدبُرگ در سال ۱۹۸۹ الگوریتم ژنتیک فعلی را ارائه داد [۱۳]. در سال ۱۹۸۳، کیرکپاتریک براساس الگوریتم محاسباتی متropolیس [۱۴] که بر پایه نظریه سرد شدن تدریجی استوار بود، یک روش بهینه‌یابی با نام شبیه‌سازی بازیخت را ارائه نمود [۱۵]. سپس در سال ۱۹۸۶ گلاور روش بهینه‌یابی جستجوی ممنوعه را مطرح نمود [۱۶]. کلورنی و دوریگو در سال ۱۹۹۱ روش بهینه‌یابی بر پایه زندگی دسته جمعی مورچگان را با نام سیستم مورچه<sup>۱</sup> ارائه دادند [۱۷]. در سال ۱۹۹۵، ابرهارت و کندی با الهام از نظریه اجتماع پرندگان و ماهی‌ها روش اجتماع ذرات را ارائه دادند [۱۸]. جیم و همکاران در سال ۲۰۰۱ روش جستجوی هارمونی را براساس هماهنگی گروه موسیقی ارائه نمودند [۱۹]. در سال ۲۰۰۶ ارول روش بیگ بنگ<sup>۲</sup> را مطرح نمود [۲۰]. در سال ۲۰۰۹، راشدی براساس قوانین فیزیک روش جستجوی گرانشی<sup>۳</sup> را ارائه نمود [۲۱]. کاوه در سال ۲۰۱۰ روش جستجوی ذرات باردار<sup>۴</sup> را در بهینه‌یابی سازه‌ها بر پایه قوانین فیزیک و قوانین نیوتون و نیز روش جستجوی گرانشی مطرح نمود [۲۲]. روش بهینه‌یابی براساس رفتار پرتو نور در گذر از اجسام مختلف<sup>۵</sup>، نیز در سال ۲۰۱۲ توسط کاوه ارائه شد [۲۳]. البته سیر توسعه و ارائه الگوریتم‌های فرآبتكاری مختلف، جامع‌تر از فرآیند مذکور می‌باشد و در این بحث، بخشی از رایج‌ترین الگوریتم‌های فرآبتكاری مطرح شده است.

## ۱-۲-۲ الگوریتم ژنتیک

الگوریتم ژنتیک (GA) یکی از روش‌های فرآبتكاری است که از قوانین بیولوژیکی طبیعت پیروی می‌کند. این الگوریتم یک روش جستجوی هوشمند است که براساس ساختار ژن‌ها و کروموزوم‌ها شکل گرفته است. GA نخستین بار توسط جان هولند در سال ۱۹۷۵ در دانشگاه

<sup>1</sup>. Ant System (AS)

<sup>2</sup>. Big Bang-Big Crunch

<sup>3</sup>. Gravitational Search Algorithm (GSA)

<sup>4</sup>. Charged System Search (CSS)

<sup>5</sup>. Ray Optimization (RO)

میشیگان مطرح شد [۱۲] و پس از وی توسط جمعی از دانشجویانش مثل گلدبُرگ توسعه یافت [۱۳] و [۲۴]. از نخستین مقالات در زمینه بهینه‌یابی سیستم‌های سازه‌ای با استفاده از GA می‌توان به کارهای جنکینز [۲۵]، راجیو و کریشنامورتی [۲۶]، لین و هاجلا [۲۷] و گریسون و پک [۲۸] اشاره کرد. سپس بسیاری از محققین مقالات متنوعی درباره بسط دامنه کاربرد GA، بهبود نتایج و افزایش سرعت محاسبات در فرآیند طراحی بهینه سازه‌ها تا به امروز ارائه نمودند [۳۲-۳۹]. الگوریتم ژنتیک براساس اصل ادامه حیات بهترین‌ها و تکثیر نوع برتر پیریزی شده است. این روش هوشمند بطور موفقیت‌آمیزی طرح بهینه عمومی را بدون در نظر گرفتن فرضیات محدود کننده‌ای از قبیل پیوسته بودن فضای جستجو و یا وجود مشتقات پیدا می‌کند. الگوریتم GA در ابتدا با مجموعه‌ای از جواب‌های تصادفی (رشته‌ها<sup>۱</sup>) که به آن جمعیت<sup>۲</sup> گفته می‌شود، آغاز می‌گردد. از این جواب‌ها برای ساخت جمعیت بعدی استفاده می‌شود، به این امید که جمعیت‌های جدید بهتر از جمعیت قدیم باشند. روش‌هایی که برای ایجاد جمعیت جدید مطرح می‌شوند، براساس انتخاب رشته‌های مناسب بنا نهاده شده‌اند. بنابراین بهترین‌ها شانس بیشتری برای تولیدممثل و ادامه حیات خواهند داشت. این فرآیند آنقدر تکرار می‌شود تا براساس معیار همگرایی طرح مناسب و بهینه حاصل شود. فلوچارت شکل (۱-۲) چگونگی و ترتیب فرآیند بهینه‌یابی از طریق GA را نشان می‌دهد.

همان‌طور که در شکل (۱-۲) مشاهده می‌شود، اولین گام تولید جمعیت اولیه است. از آنجا که GA با متغیرهای طراحی رمزشده کار می‌کند، لذا ضروری است که متغیرهای طراحی به صورت یک رشته رمز بیان شوند. شیوه‌های متنوعی برای بیان متغیرهای طراحی به صورت یک رشته رمز وجود دارد. مرسوم‌ترین حالت، شیوه رمز کردن دودویی<sup>۳</sup> می‌باشد. در این حالت هر رشته متشکل از یک سری بیت<sup>۴</sup>‌های دودویی است که در کنار یکدیگر چیده شده‌اند. بنابراین برای تولید جمعیت اولیه در

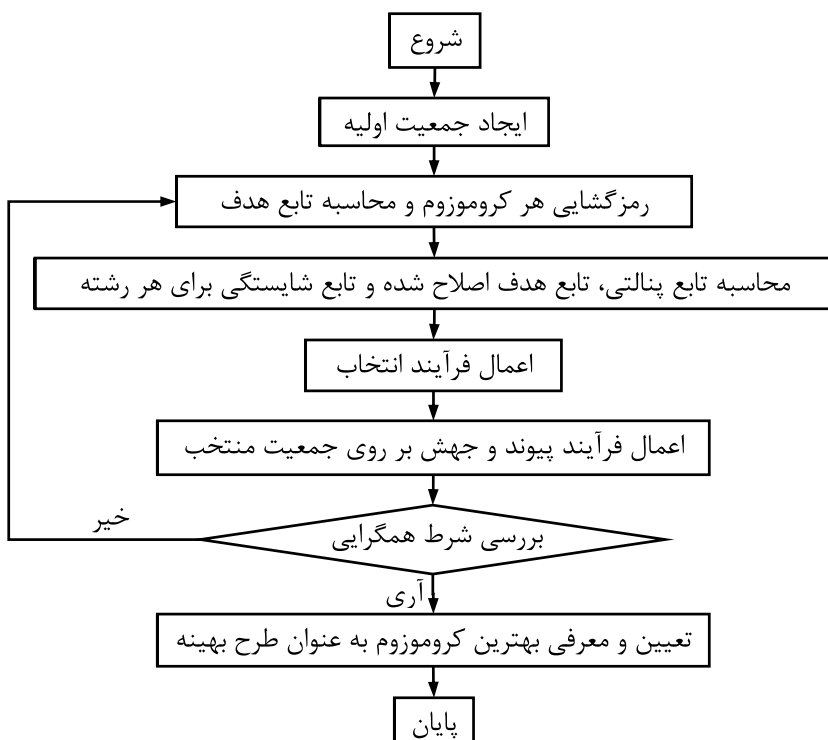
<sup>۱</sup>. Strings

<sup>۲</sup>. Population

<sup>۳</sup>. Binary

<sup>۴</sup>. Bit

فرآیند بهینه‌یابی براساس GA، به تعداد زیررسته‌های<sup>۱</sup> متناظر با متغیر طراحی اعداد تصادفی دوددویی تولید می‌شود [۳۳]. بدین ترتیب می‌توان به تعداد اعضای جمعیت، رشته‌های مختلفی تولید نمود. هر یک از رشته‌های حاصل، معادل طرحی در فضای جستجو<sup>۲</sup> و هر زیررسته در هر رشته بیانگر متغیر طراحی متناظر می‌باشد.



شکل (۱-۲) - فرآیند بهینه‌یابی براساس روش GA

با توجه به آن که یک زیررسته  $LS$  بیتی اعداد صفر تا  $1-2^{LS}$  را کد می‌نماید، مقدار متناظر زیررسته نام بشرح زیر محاسبه می‌شود:

$$b_{LS-1} \cdots b_2 b_1 b_0 \Leftrightarrow IR_i = \sum_{j=0}^{LS-1} 2^j b_j \quad (1-2)$$

در رابطه (۱-۲)، هر بیت  $b$  می‌تواند اعداد صفر تا یک را اختیار نماید.  $IR_i$  عدد صحیح متناظر با زیررسته نام می‌باشد که در محدوده صفر تا  $1-2^{LS}$  قرار دارد. حال برای آن که  $IR_i$  به شماره لیست

<sup>1</sup>. Substring

<sup>2</sup>. Search Space

{S} مربوط به مقادیر مجاز گستته متغیرهای طراحی ارتباط داده شود، از رابطه (۲-۲) استفاده

خواهد شد.

$$IS_i = \text{Int}\left(IR_i * \frac{(Nos - 1)}{(2^{LS} - 1)}\right) + 1 \quad 1 \leq IS_i \leq Nos \quad ; \quad 0 \leq IR_i \leq 2^{LS} - 1 \quad (2-2)$$

براساس رابطه (۲-۲) مقدار رمزگشایی شده هر زیررسته متناظر با یکی از اعضای مجموعه {S} قرار می‌گیرد. با رمزگشایی هر رشتہ، مقدار تابع هدف اصلاح شده<sup>۱</sup> مبتنی بر تابع هدف و تابع جریمه<sup>۲</sup> برای هر رشتہ (طرح) قابل محاسبه است. برای این منظور می‌توان از رابطه کلی زیر برای محاسبه تابع هدف اصلاح شده یعنی  $\phi(A)$  استفاده نمود.

$$\phi(A) = F(A) \left[ 1 + K \left( \sum_{q=1}^{nlc} \sum_{q=1}^Q \max[0, G_q] \right) \right] \quad (3-2)$$

در رابطه (۳-۲)،  $F(A)$  تابع هدف مسئله بهینه‌یابی می‌باشد که عموماً در طراحی بهینه سازه‌ها وزن و یا حجم مصالح مصرفی سازه است.  $G_q$  میزان نقص قیود و  $Q$  تعداد کل قیود حاکم بر مسئله می‌باشد. ثابت جریمه و  $nlc$  تعداد ترکیبات بارگذاری در فرآیند طراحی بهینه سازه است. براساس رابطه (۳-۲) می‌توان به هر رشتہ یک مقدار شایستگی<sup>۳</sup> اختصاص داد. برای این منظور می‌توان از تابع شایستگی بشرح رابطه (۴-۲) استفاده نمود [۲۶].

$$Fit(A) = [\phi_{\max}(A) + \phi_{\min}(A)] - \phi(A) \quad (4-2)$$

در رابطه فوق  $\phi_{\max}(A)$  و  $\phi_{\min}(A)$  بترتیب حداکثر و حداقل مقدار تابع هدف اصلاح شده در جمعیت جاری می‌باشد. بر اساس رابطه (۴-۲) رشتہ‌ای با کمترین مقدار تابع هدف اصلاح شده دارای بیشترین مقدار شایستگی می‌باشد.

با محاسبه شایستگی اعضای جمعیت، نوبت به اعمال فرآیند انتخاب<sup>۴</sup> برای تشکیل جمعیت والدین<sup>۵</sup> می‌رسد. روش‌های متنوعی برای انتخاب رشتہ‌های شایسته وجود دارد. اما هدف اصلی در همه

<sup>1</sup>. Modified Objective Function

<sup>2</sup>. Penalty Function

<sup>3</sup>. Fitness

<sup>4</sup>. Selection

<sup>5</sup>. Parents

آن‌ها انتخاب رشته‌هایی (طرح‌هایی) با میزان شایستگی بالا از جمعیت جاری و تکثیر<sup>۱</sup> آن‌ها، طی قرارگیری در مکانی به نام استخر تولیدمثل<sup>۲</sup> است. روش چرخ‌گردان<sup>۳</sup>، روش رتبه‌بندی<sup>۴</sup>، روش مسابقه‌ای<sup>۵</sup> و ... از جمله روش‌های رایج در GA برای اعمال فرآیند انتخاب می‌باشد [۳۳-۳۴]. در هر صورت براساس هر یک از روش‌های فرآیند انتخاب، می‌بایست رشته‌های شایسته از میان جمعیت به عنوان والد انتخاب شوند.

پس از انتخاب والدین نوبت به اعمال عملگرهای GA همچون عملگر پیوند<sup>۶</sup>، عملگر جهش<sup>۷</sup> و ... برای تولید جمعیت فرزندان<sup>۹</sup> می‌رسد. عملگر پیوند از رایج‌ترین اپراتورهای GA است. برای عملگر پیوند نیز راهکارهای متنوعی توسط محققین مختلف ارائه شده است. پیوند تک نقطه‌ای<sup>۱۰</sup>، پیوند دونقطه‌ای<sup>۱۱</sup>، پیوند یکنواخت<sup>۱۲</sup> و ... از راهکارهای مرسوم در GA برای اعمال فرآیند پیوند بر روی جمعیت والدین می‌باشد. براساس عملگر پیوند با تخصیص نرخ پیوند<sup>۱۳</sup> ( $P_c$ ) رشته‌های واجد شرایط برگزیده می‌شوند. بدین منظور با تولید یک عدد تصادفی و مقایسه آن با مقدار  $P_c$  می‌توان رشته‌های والد را از میان استخر تولیدمثل انتخاب نمود. در صورتی که عدد تصادفی از نرخ پیوند کوچک‌تر باشد، رشته مربوطه برای پیوند انتخاب می‌شود. با تکرار این روند برای تمامی اعضاء، رشته‌های واجد شرایط برگزیده می‌شوند. سپس براساس یکی از روش‌های عملگر پیوند، رشته‌های منتخب با یکدیگر ترکیب خواهند شد [۳۳-۳۴]. بدین ترتیب جمعیت فرزندان براساس عملگر پیوند قابل تشکیل می‌باشد. اما از دیگر مراحل رایج در GA که تکامل جمعیت برای نسل بعد را به دنبال دارد، استفاده از عملگر جهش می‌باشد. هدف از بکارگیری اپراتور جهش، کاوش بهتر فضای طراحی و ایجاد پراکندگی بیشتر در

<sup>1</sup>. Reproduction

<sup>2</sup>. Mating Pool

<sup>3</sup>. Roulette Wheel

<sup>4</sup>. Rank

<sup>5</sup>. Tournament

<sup>6</sup>. Operator GA

<sup>7</sup>. Crossover

<sup>8</sup>. Mutation

<sup>9</sup>. Offspring

<sup>10</sup>. Single Sight Crossover

<sup>11</sup>. Two Point Crossover

<sup>12</sup>. Uniform Crossover

<sup>13</sup>. Crossover Rate

محدوده فضای طراحی است. در فرآیند جهش برای کدگذاری دودویی، با تخصیص نرخ جهش<sup>۱</sup> ( $P_m$ ) برای تک تک بیت های فرزندان، اعداد تصادفی تولید می شود. در صورتی که این اعداد از نرخ جهش کوچکتر باشد، مقدار بیت مربوطه از صفر به یک یا بالعکس تبدیل می شود [۳۴-۳۳]. با اعمال عملگر جهش، جمعیت فرزندان برای نسل بعدی آماده خواهد شد. اما قبل از آن می بایست شرط خاتمه<sup>۲</sup> الگوریتم بررسی شود. روش های متنوعی برای شرط خاتمه در الگوریتم ژنتیک وجود دارد. مرسوم ترین حالت، کنترل تعداد مراحل نسل سازی می باشد [۳۴-۳۳]. به بیان دیگر GA مراحل فوق را با تولید جمعیت جدید و ارزیابی شایستگی رشته های آن تا تکمیل تعداد نسل سازی پیش بینی شده تکرار می کند. زمانی که شرط خاتمه برقرار شود، الگوریتم بهترین رشته را به عنوان طرح بهینه معرفی می نماید.

## ۲-۲-۲ الگوریتم شبیه سازی باز پخت

هنگام انجام فلزات یا شکل گیری ساختمان بلوری، ممکن است به یک حالت جامد با چندین ساختمان اتمی داخلی یا بلوری متفاوت، متناسب با سطوح مختلف انرژی رسید که این مهم به نرخ سرد شدن بستگی دارد. اگر مجموعه به سرعت سرد شود، حالت جامد حاصل به احتمال زیاد حاشیه کوچکی از پایداری خواهد داشت. برای رسیدن به پایداری بیشتر فرآیند سرد شدن تدریجی انجام می شود که در آن فلز تا یک دمای بالا مجدداً حرارت داده شده و به آرامی سرد می شود تا به اتم ها فرصت کافی برای یافتن موقعیت هایی مناسب مبتنی بر اصل کمینه سازی انرژی پتانسیل، داده شود. از سوی دیگر در فرآیند سرد شدن تدریجی طبیعی مشاهده می شود که در فاصله زمانی که فلز در یک دمای خاص نگه داشته می شود، امکان جهش به حالت انرژی بالاتر قبل از رسیدن به حالت یکنواخت، وجود دارد [۱].

---

<sup>۱</sup>. Mutation Rate

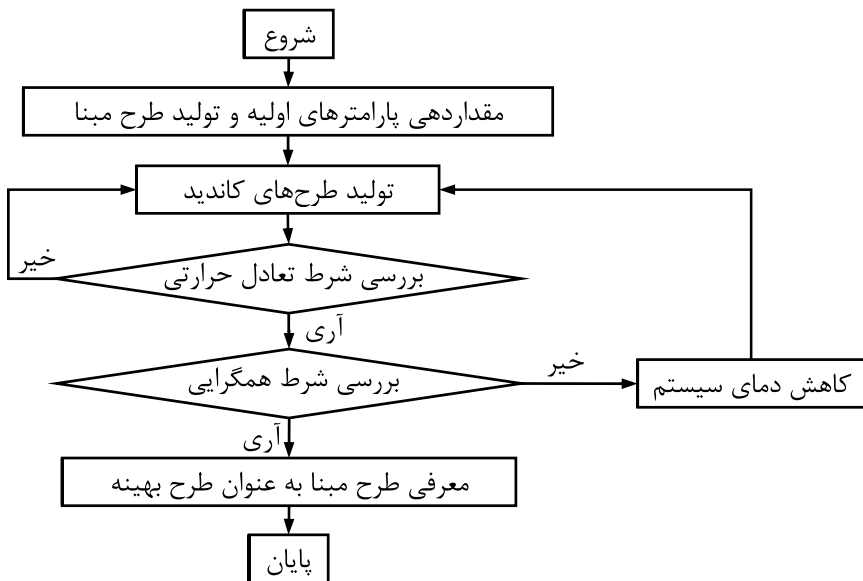
<sup>۲</sup>. Termination Criterion

الگوریتم محاسباتی که فرآیند سرد شدن تدریجی را شبیه‌سازی می‌کند توسط متropolیس و همکاران در سال ۱۹۵۳<sup>۱</sup> پیشنهاد شده و به الگوریتم متropolیس<sup>۲</sup> معروف است [۱۴]. بر اساس الگوریتم متropolیس، در یک دمای  $T$ ، محل یک اتم را به شکل اتفاقی دچار اختلال کرده و میزان تغییر حاصل در انرژی سیستم  $\Delta E$  را محاسبه می‌کند. اگر حالت انرژی جدید از حالت اولیه پایین‌تر باشد، آنگاه ساختار جدید اتم‌ها پذیرفته می‌شود. از طرف دیگر اگر  $\Delta E > 0$  باشد، حالت اختلالی سبب افزایش انرژی شده است. در این شرایط، حالت جدید براساس یک نصیم احتمالی ممکن است پذیرفته یا رد شود. در هر دما، انبوی از ساختارهای اتمی با موقعیت‌های اتفاقی متفاوت بوجود می‌آید تا به یک سطح انرژی یکنواخت برسند که معمولاً به آن تعادل حرارتی می‌گویند. آن گاه دما کاسته می‌شود و چرخه دوباره شروع می‌شود. این گام‌ها در حالی که دما به آهستگی کاهش می‌یابد، به صورت پی در پی تکرار می‌شود تا حالت انرژی کمینه حاصل گردد.

کیرکپاتریک بر اساس الگوریتم متropolیس، فرآیند بهینه‌یابی را ارائه داده است [۱۵]. بر این اساس با جایگزین نمودن حالت انرژی با تابع هدف اصلاح شده  $(A)\phi$  و نیز با استفاده از متغیر طراحی  $a$  برای ساختار ذرات، الگوریتم متropolیس در مسائل بهینه‌یابی قابل اجرا است. در این الگوریتم حرکت از یک نقطه  $a$  به موقعیت دیگر  $a'$  در فضای طراحی سبب تغییر در  $(A)\phi$  می‌شود. دمای  $T$  نیز یک پارامتر کنترلی است که همگرایی فرآیند را تنظیم کرده و در طی فرآیند بهینه‌یابی متناسب با مقدار اولیه دما<sup>۳</sup> ( $T_s$ ) بروزرسانی می‌شود. از سوی دیگر تعداد چرخه‌های موردنیاز برای رسیدن به تعادل حرارتی نیز باید قبل از کاهش  $T$  مشخص شده باشد. شکل (۲-۲) فلوچارت روش SA را نمایش می‌دهد [۳۵-۳۶].

<sup>۱</sup>. Metropolis Algorithm

<sup>۲</sup>. Starting Temperature



شکل (۲-۲) - فرآیند بهینه‌یابی براساس روش SA

براساس شکل (۲-۲) الگوریتم SA با مقداردهی پارامترهای اولیه همچون دمای اولیه ( $T_s$ ), دمای نهایی<sup>۱</sup> ( $T_f$ ), ضریب سرد شدن<sup>۲</sup> ( $\eta$ ) و ... شروع می‌شود. سپس طرحی بصورت تصادفی در فضای جستجو با نام طرح مبنا تولید می‌شود. برای این منظور مقادیر متغیرهای طراحی به صورت تصادفی و متناسب با بازه مجاز مقداردهی می‌شود. برخی از محققین توصیه می‌نمایند که طرح مبنا، عاری از هرگونه نقض قیود باشد [۳۵-۳۶]. در هر صورت با تولید طرح مبنا مقدار تابع هدف اصلاح شده برای آن براساس رابطه (۳-۲) قابل محاسبه است.

در الگوریتم شبیه‌سازی بازیخت، فرآیند جستجو با تولید طرح کاندید<sup>۳</sup> در همسایگی<sup>۴</sup> طرح مبنا در پیش گرفته می‌شود. برای این منظور یک متغیر طراحی از طرح مبنا انتخاب و مقدار آن متناسب با بازه مجاز متغیر طراحی و محدوده همسایگی ( $nw$ ) بصورت تصادفی تغییر می‌نماید. سپس  $(A)\phi$  برای طرح جدید محاسبه می‌شود. در صورتی که طرح جدید شایستگی بیشتری نسبت به طرح مبنا داشته باشد، جایگزین طرح مبنا خواهد شد، در غیر این صورت طرح جدید براساس یک تصمیم احتمالی

<sup>1</sup>. Final Temperature

<sup>2</sup>. Cooling Factor

<sup>3</sup>. Candidate Design

<sup>4</sup>. Neighborhood

ممکن است پذیرفته و یا رد شود. احتمال پذیرفتن طرح جدید  $P(\Delta\phi)$  بشرح رابطه زیر محاسبه می‌شود [۳۵-۳۶].

$$P(\Delta\phi) = e^{\left(\frac{-\Delta\phi}{Tk_B}\right)} \quad (5-2)$$

در رابطه (۵-۲)  $\Delta\phi$  اختلاف توابع هدف اصلاح شده متناظر با طرح جدید و طرح مبنا می‌باشد که مقداری مثبت است.  $k_B$  ثابت بولتزمن<sup>۱</sup> و  $T$  دمای فعلی سیستم است. تصمیم قبول یا رد طرح جدید با تولید عدد تصادفی در محدوده صفر تا یک و مقایسه آن با  $P(\Delta\phi)$  صورت می‌پذیرد. اگر عدد تصادفی تولید شده از مقدار  $P(\Delta\phi)$  کمتر باشد، آن گاه طرح جدید علی رغم شایستگی کمتر، جایگزین طرح مبنا می‌شود. اما اگر عدد تصادفی تولیدی بیشتر از  $P(\Delta\phi)$  باشد، طرح جدید رد شده و طرح مبنا بدون تغییر باقی می‌ماند.

فرآیند تولید طرح‌های کاندید در محدوده طرح مبنای جاری به تعداد متغیرهای طراحی انجام می‌شود. به بیان دیگر در هر تکرار از یک سیکل سرد شدن<sup>۲</sup> تدریجی، تمامی متغیرهای طراحی می‌باشد تغییر نموده و در اصطلاح الگوریتم SA، دچار آشفتگی<sup>۳</sup> شوند. تعداد تکرارها در هر سیکل سرد شدن تدریجی قبل از کاهش دما براساس رابطه زیر تعیین می‌شود [۳۵-۳۶].

$$i_c = i_f + (i_f - i_s) \left( \frac{T - T_f}{T_f - T_s} \right) \quad (6-2)$$

در رابطه فوق،  $i_c$  تعداد تکرارهای موجود در هر سیکل سردشدن تدریجی است.  $i_f$  و  $i_s$  بترتیب مقادیر حداقل و حداقل تکرارها در هر سیکل فرآیند سرد شدن تدریجی است که در مرحله اول توسط کاربر مشخص می‌شود. براساس رابطه (۶-۲) متغیرهای طراحی طرح مبنا در هر سیکل سرد شدن، به تعداد  $n$  دچار آشفتگی خواهند شد و بدین ترتیب تعادل حرارتی قبل از کاهش دما حاصل می‌گردد.

<sup>1</sup>. Boltzmann Constant

<sup>2</sup>. Cooling Cycle

<sup>3</sup>. Perturbation

هنگامی که تمامی تکرارها برای هر سیکل سرد شدن انجام پذیرفت، تعادل در دمای جاری برای ساختار متغیرهای موجود حاصل می‌شود. سپس مقدار دما برای سیکل بعدی بصورت زیر تغییر می‌نماید [۳۵-۳۶].

$$T^{j+1} = T^j \cdot \eta \quad (7-2)$$

در رابطه (7-2)، بالا نویس زدالت بر شماره هر تکرار در کل فرآیند بهینه‌یابی دارد. به بیان دیگر در پایان هر تکرار، مقدار دما با ضریب  $\eta$  کاهش یافته و سیکل بعدی با دمای جدید آغاز می‌شود.

فرآیند فوق تا زمانی که دمای سیستم از دمای نهایی ( $T_f$ ) بیشتر باشد، انجام می‌پذیرد. هنگامی که دمای جاری سیستم از دمای نهایی کمتر شود، الگوریتم خاتمه یافته و طرح مبنای حاضر به عنوان طرح بهینه معرفی می‌گردد. به بیان دیگر در الگوریتم شبیه‌سازی بازپخت، شرط خاتمه با کنترل میزان دمای جاری سیستم ( $T$ ) بررسی و ارزیابی می‌شود.

### ۲-۲-۳ الگوریتم جستجوی ممنوعه

همان طور که پیشتر بیان شد، الگوریتم جستجوی ممنوعه (TS) نخستین بار توسط گلاور در سال ۱۹۸۶ مطرح گردید [۱۶]. وی با الهام از معنای کلمه تابو<sup>۱</sup> در فرهنگ لغت زبان تنگا<sup>۲</sup> فرآیند بهینه‌یابی براساس الگوریتم TS را پیشنهاد نمود. فرهنگ لغت زبان تنگا مربوط به مردم جزایر پلینزیا<sup>۳</sup> در اقیانوس آرام است که در آن واژه تابو به معنای ماده مقدسی است که لمس کردن آن به سبب قداست ماده، ممنوع می‌باشد. بر اساس این معنا، در الگوریتم TS نیز ماهیتی با عنوان لیست ممنوعه<sup>۴</sup> وجود دارد که حرکت‌های ممنوع در آن ذخیره می‌شوند. بدین ترتیب الگوریتم بهینه‌یابی مجاز به انجام حرکت‌های موجود در لیست ممنوعه نیست. این روش با استفاده از لیست ممنوعه و نیز انتخاب طرح‌هایی در همسایگی<sup>۵</sup> طرح مبنای یک تکنیک ساده بهینه‌یابی را پدید می‌آورد که فرآیند جستجو

<sup>1</sup>. Tabu

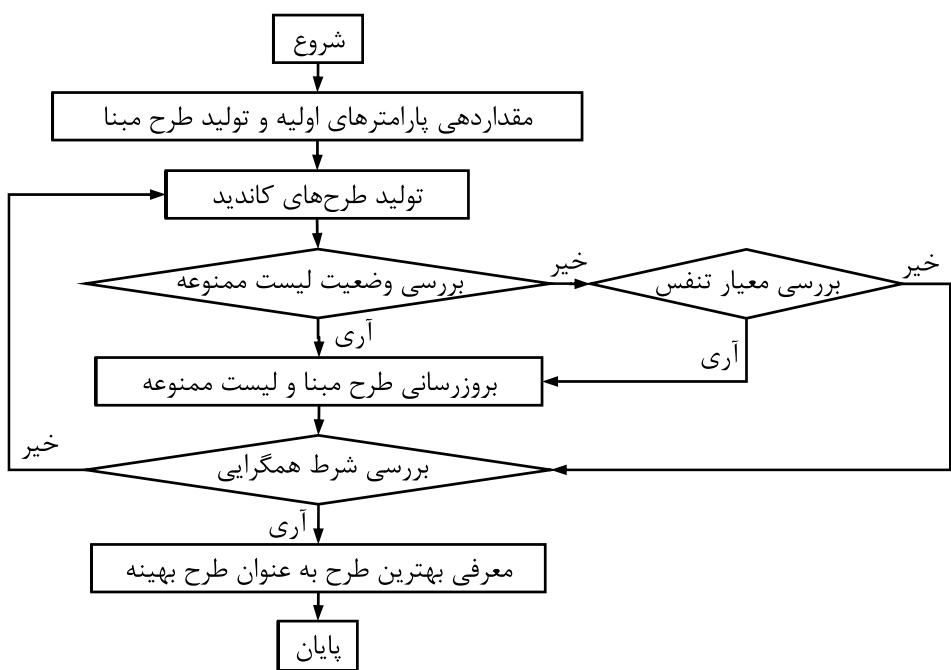
<sup>2</sup>. Tonga

<sup>3</sup>. Polynesia

<sup>4</sup>. Tabu List

<sup>5</sup>. Vicinity

در فضای کاوش را بصورت محلی و موضعی انجام می‌دهد. برای این منظور الگوریتم با انتخاب جوابی قابل قبول در فضای طراحی آغاز می‌شود. سپس بهترین طرح در همسایگی طرح مبنا مناسب با بازه همسایگی انتخاب خواهد شد. در گام بعدی الگوریتم بهترین طرح همسایه را در صورتی که مجاز باشد، جایگزین طرح مبنا می‌نماید. اجازه این عمل براساس لیست ممنوعه و در صورت لزوم براساس معیار تنفس<sup>۱</sup> صادر خواهد شد. برای این منظور الگوریتم حرکتی که منجر به بهترین طرح کاندید شده است را کنترل می‌نماید. اگر این حرکت<sup>۲</sup> در لیست ممنوعه قرار نداشته باشد، طرح موردنظر جایگزین طرح مبنا شده و حرکت مربوطه در لیست ممنوعه ذخیره می‌شود. اما اگر حرکت موردنظر در لیست ممنوعه قرار داشته باشد، الگوریتم معیار تنفس را کنترل می‌نماید. در صورت برقراری معیار تنفس، طرح موردنظر یعنی بهترین طرح همسایه، جایگزین طرح مبنا خواهد شد. در نهایت لیست ممنوعه بروزرسانی شده و فرآیند جستجو تا برقراری شرط خاتمه مجددأ تکرار می‌شود [۳۷-۳۹].  
براساس این مفاهیم، فرآیند بهینه‌یابی مبتنی بر روش TS بشرح شکل (۳-۲) قابل اجرا می‌باشد.



شکل (۳-۲) - فرآیند بهینه‌یابی براساس روش TS

<sup>۱</sup>. Aspiration Criterion

<sup>۲</sup>. Move

همان‌طور که در شکل (۳-۲) مشاهده می‌شود، الگوریتم TS نیز با مقداردهی برخی از پارامترها همچون بازه همسایگی ( $nw$ )، پارامتر بروزرسانی لیست ممنوعه و ... شروع می‌شود. سپس طرح مبنا با تولید تصادفی مقادیر متغیرهای طراحی مبتنی بر بازه مجاز برای هر متغیر، تشکیل و مقدار ( $A$ ) $\phi$  برای آن براساس رابطه (۳-۳) محاسبه خواهد شد. در ادامه با تولید طرح‌های کاندید در همسایگی طرح مبنا، فرآیند بهینه‌یابی براساس TS در پیش گرفته می‌شود. برای این منظور یک متغیر طراحی انتخاب و مقدار آن با توجه به  $nw$  و نیز محدوده مجاز دچار تغییر می‌شود. این تغییرات در مقدار متغیرهای طراحی سبب تولید طرح‌های کاندید خواهد شد. بدین ترتیب به تعداد  $2nw$  طرح کاندید می‌توان تولید نمود که بستگی به شرایط مقدار متغیر طراحی دارد. به بیان دیگر اگر مقدار متغیر طراحی در نزدیکی و یا مرز محدوده مجاز برای متغیر طراحی نباشد، می‌توان به تعداد  $2nw$  طرح کاندید تولید نمود [۳۵]. سپس طرح‌های کاندید تولید شده براساس رابطه (۳-۲) ارزیابی شده و بهترین طرح در همسایگی طرح مبنا انتخاب می‌شود. در این فرآیند می‌بایست حرکتی که سبب تولید طرح منتخب (بهترین طرح بین طرح‌های کاندید در همسایگی طرح مبنا) شده است را نیز در نظر گرفت [۳۷-۳۸].

پس از مشخص شدن طرح منتخب، ابتدا لیست ممنوعه کنترل می‌شود. این لیست حاوی حرکت‌های مختلف در فضای کاوش می‌باشد که در تکرارهای پیشین در تولید بهترین طرح همسایه انجام شده است. اگر حرکتی که منجر به تولید طرح منتخب شده، در لیست ممنوعه نباشد، طرح موردنظر جایگزین طرح مبنا می‌شود، حتی اگر میزان تابع هدف اصلاح شده برای آن بیشتر از مقدار تابع هدف اصلاح شده طرح مبنا باشد. به بیان دیگر در روش جستجوی ممنوعه، بدون توجه به مقدار ( $A$ ) $\phi$  برای طرح منتخب، در صورتی که حرکت موردنظر در فضای طراحی در لیست ممنوعه نباشد، طرح موردنظر جایگزین طرح مبنا می‌شود. سپس حرکتی که منجر به تولید طرح منتخب شده در لیست ممنوعه با احتمال خروج صفر ذخیره می‌شود. اما در صورتی که حرکت مورد نظر در لیست

ممنوعه باشد، الگوریتم معیار تنفس را بررسی می‌نماید. براساس معیار تنفس، در صورتی طرح منتخب جایگزین طرح مبنا خواهد شد، که میزان تابع هدف اصلاح شده برای آن کمتر از مقدار تابع هدف اصلاح شده طرح مبنا باشد. در غیر این صورت طرح مبنا بدون تغییر باقی می‌ماند. به بیان دیگر در بررسی معیار تنفس در صورتی که  $(A) \neq$  طرح منتخب بیشتر از طرح مبنا باشد، طرح مبنا تغییری نمی‌نماید. اما اگر  $(A) \neq$  آن کمتر از طرح مبنا باشد، جایگزین طرح مبنا می‌شود [۳۵]. در هر صورت در ادامه محتوی لیست ممنوعه بروزرسانی می‌شود. به بیان دیگر پارامتر زمانی لیست ممنوعه برای حرکت‌های موجود افزایش می‌یابد. این مهم می‌تواند احتمال خروج برخی از حرکت‌ها را افزایش داده و یا سبب خروج برخی از حرکت‌ها از لیست ممنوعه شود [۳۷-۳۹]. در نهایت شرط خاتمه برای الگوریتم بررسی می‌شود. در الگوریتم TS می‌توان شرط خاتمه را با تکمیل تعداد مراحل تکرار کنترل نمود. برای این منظور مراحل فوق با تولید طرح‌های کاندید در اطراف طرح مبنا آغاز و تا تکمیل تعداد دفعات پیش‌بینی شده تکرار می‌شود. زمانی که شرط خاتمه محقق شود، الگوریتم بهترین طرح را به عنوان طرح بهینه معرفی می‌نماید.

#### ۴-۲-۲ الگوریتم کلونی مورچگان

یکی از روش‌های فرالبتکاری که کارآیی مناسبی در بهینه‌یابی سازه‌ها دارد، روش کلونی مورچگان (ACO) می‌باشد. این روش نخستین بار توسط کولورنی و همکاران و دوریگو با عنوان سیستم مورچه (AS) برای حل مسئله فروشنده دوره‌گرد<sup>۱</sup> مطرح شد [۴۰ و ۱۷]. سپس توسط سایر محققین در دیگر علوم کاربردی مورد استفاده قرار گرفت. در این راستا روش‌های مختلفی بر پایه اصول الگوریتم کلونی مورچگان با عنوانی همچون سیستم جامعه مورچه<sup>۲</sup>، سیستم مورچه حداکثر و حداقل<sup>۳</sup>، سیستم مورچه رتبه‌بندی شده<sup>۴</sup>، سیستم مورچه بهترین و بدترین<sup>۱</sup> و ... پیشنهاد شده است

<sup>1</sup>. Traveling Salesman Problem (TSP)

<sup>2</sup>. Ant Colony System (ACS)

<sup>3</sup>. Max-Min Ant System (MMAS)

<sup>4</sup>. Rank-Based Ant System (RBAS)

[۴۱]. تئوری این روش‌ها با الهام از رفتار مورچگان در جستجوی غذا شکل گرفته است. مورچه‌ها حشرات اجتماعی نابینایی هستند که در یک جامعه با همکاری متقابل، رفتارهای مختلفی از جمله یافتن غذا از خود نشان می‌دهند. مورچه‌ها کوتاهترین مسیر<sup>۲</sup> بین لانه و منبع غذایی را بطور موفقیت‌آمیزی با استفاده از ماده شیمیایی به نام فرومون<sup>۳</sup> کشف می‌نمایند. هر مورچه هنگام حرکت از محلی به محل دیگر، مقداری فرومون برای تشخیص راه برگشت و نیز تعیین مسیر توسط سایر مورچگان، از خود به جای می‌گذارد. هر چه میزان فرومون یک مسیر بیشتر باشد، شанс انتخاب مسیر توسط سایر مورچگان افزایش می‌یابد. لذا مسیری که منجر به منبع غذایی شده، شанс بیشتری برای انتخاب توسط سایر مورچگان و نیز فرومون‌گذاری<sup>۴</sup> مجدد دارد. مقدار فرومون هر مسیر همواره متناسب با عبور دیگر مورچه‌ها و نیز فرآیند تبخر<sup>۵</sup> در حال تغییر می‌باشد. پارامتر تبخر سبب می‌شود تا در فرآیند جستجو غذا توسط مورچگان، مسیرهای طولانی و نافرجام، حذف شوند. بنابراین در طی فرآیند جستجو، کوتاهترین مسیر تا منبع غذایی، توسط مورچه‌ها کشف می‌شود. بدین ترتیب با الهام از رفتار مورچگان در جستجوی غذا فرآیند بهینه‌یابی مبتنی بر روش ACO بشرح شکل (۴-۲) قابل اجرا می‌باشد [۴۲-۴۳].

همان‌طور که در شکل (۴-۲) مشاهده می‌شود، الگوریتم ACO نیز همانند سایر الگوریتم‌های فرالبتکاری نیازمند مقداردهی پارامترهای روش می‌باشد. بدین‌منظور پارامترهای اولیه الگوریتم کلونی مورچگان همچون تعداد اعضای جمعیت، نرخ تبخر<sup>۶</sup>، پارامتر بهنگام‌سازی محلی<sup>۷</sup> و ... مقداردهی می‌شود.

<sup>1</sup>. Best and Worst Ant System (BWAS)

<sup>2</sup>. Path

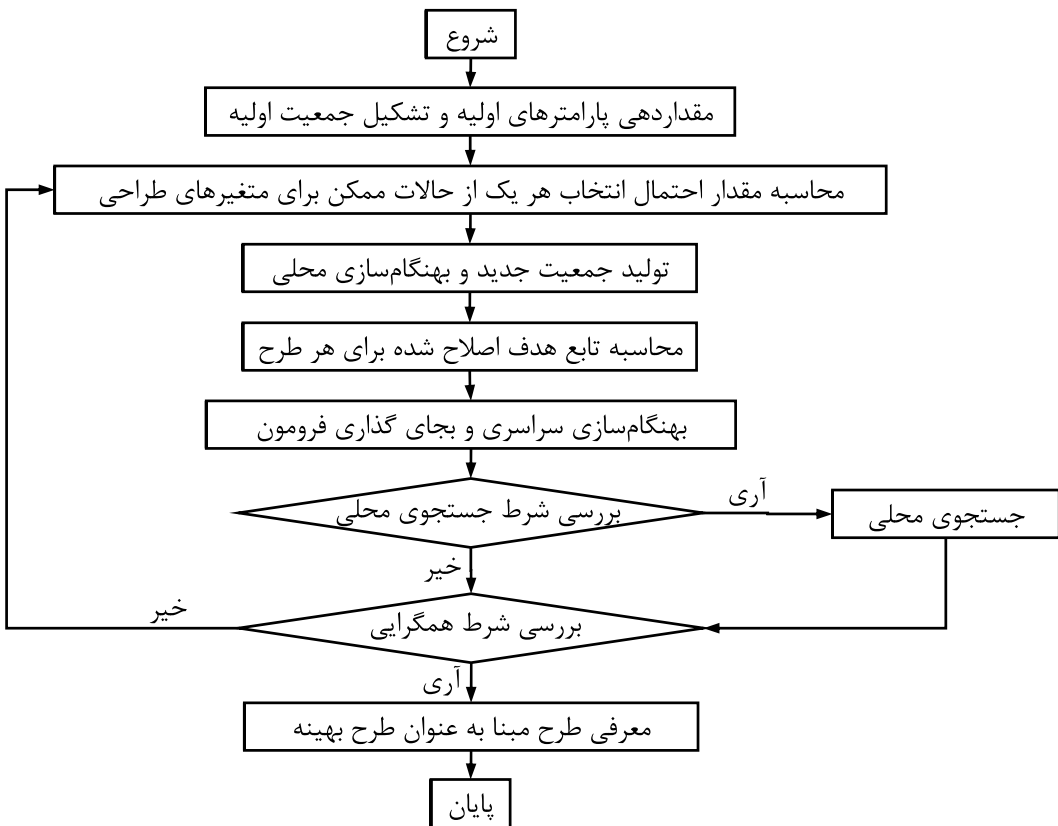
<sup>3</sup>. Pheromone

<sup>4</sup>. Deposit

<sup>5</sup>. Evaporation

<sup>6</sup>. Deposit Rate

<sup>7</sup>. Local Update Parameter



شکل (۴-۲) - فرآیند بهینه‌یابی براساس روش ACO

در نخستین مرحله میزان فرومون اولیه<sup>۱</sup> برای تمامی حالات ممکن نیز مقداردهی می‌شود. بدین ترتیب با توجه به آن که برای هر متغیر طراحی به تعداد حالات ممکن، حق انتخاب وجود دارد؛ ماتریسی به نام  $Ph$  به ابعادی متناسب با تعداد متغیرهای طراحی و حالات ممکن برای متغیرهای طراحی بشرح رابطه (۸-۲) ایجاد می‌گردد. در این ماتریس هر درایه ( $Ph_{ij}$ ) دلالت بر میزان فرومون زمین حالت از حالات ممکن برای زمین متغیر طراحی دارد [۳۵].

$$Ph = \begin{bmatrix} Ph_{11} & Ph_{12} & \dots & Ph_{1N_{os}} \\ Ph_{21} & Ph_{22} & \dots & Ph_{2N_{os}} \\ \vdots & \vdots & & \vdots \\ Ph_{N_{os}1} & Ph_{N_{os}2} & \dots & Ph_{N_{os}N_{os}} \end{bmatrix}_{N_{os} \times N_{os}} \quad (8-2)$$

<sup>۱</sup>. Evaporation Rate

در رابطه (۸-۲)،  $Ns$  تعداد حالات ممکن برای هر متغیر طراحی و  $Nos$  تعداد متغیرهای طراحی مسئله می‌باشد. بر اساس رابطه (۸-۲)، میزان فرومون اولیه قابل مقداردهی می‌باشد. برای این منظور از رابطه (۹-۲) بشرح زیر استفاده می‌شود [۴۲].

$$Ph_{ij}^0 = \frac{1}{F(A)_{\min}} \quad (9-2)$$

در رابطه (۹-۲)،  $F(A)_{\min}$  مقدار تابع هدف به ازای اختصاص اولین حالت از حالات ممکن برای هر متغیر طراحی به تمامی متغیرهای طراحی مسئله می‌باشد.

پس از مقداردهی اولیه پارامترهای الگوریتم ACO، احتمال انتخاب<sup>۱</sup> هر یک از حالات موجود برای هر متغیر طراحی بشرح رابطه زیر محاسبه می‌شود.

$$P_{ij} = \frac{[Ph_{ij}]^\alpha [v_i]^\beta}{\sum_{k=1}^{Ns} [Ph_{kj}]^\alpha [v_k]^\beta} \quad i = 1, \dots, Ns \quad j = 1, \dots, Nos \quad (10-2)$$

در رابطه فوق  $P_{ij}$  دلالت بر احتمال انتخاب نامین حالت (مسیر) برای زمین متغیر طراحی دارد. مقادیر  $\alpha$  و  $\beta$  نیز بترتیب بیانگر اهمیت نسبی اثر فرومون<sup>۲</sup> و ضریب اهمیت نسبی اطلاعات اکتشافی<sup>۳</sup> می‌باشند [۴۴]. در رابطه (۱۰-۲)<sub>i</sub> نیز ضریب پدیداری<sup>۴</sup> برای نامین حالت از حالات ممکن می‌باشد که بشرح رابطه زیر تعیین می‌شود.

$$v_i = \frac{1}{a_i} \quad a_i \in S \quad ; \quad i = 1, \dots, Ns \quad (11-2)$$

در رابطه فوق  $a_i$  بیانگر حالت منتخب از حالات ممکن است.

پس از محاسبه مقادیر احتمال انتخاب، جمعیت جدید شکل می‌گیرد. بر این اساس مجموع مقادیر  $P_{ij}$  برای زمین متغیر طراحی برابر یک است. حال اگر درصد احتمال بدست آمده برای زمین متغیر طراحی به صورت یک دایره نشان داده شود؛ مقادیر  $P_{ij}$ ها، قطاع آن را تشکیل می‌دهد. با تولید یک عدد تصادفی بین صفر و یک، حالتی از حالات ممکن برای زمین متغیر طراحی، با قطاع بزرگتر

<sup>1</sup>. Selection Probabilities

<sup>2</sup>. Relative Importance of the Pheromone

<sup>3</sup>. Relative Importance of the Heuristic Information

<sup>4</sup>. Visibility Coefficient

شانس بیشتری برای انتخاب پیدا می‌کند. برای اجرای این روش، براساس رابطه زیر احتمال تجمعی

$P_i$  برای زمین متغیر طراحی با نام  $\bar{P}_i^j$  بشرح (۱۲-۲) تعیین می‌شود.

$$\bar{P}_i^j = \sum_{k=1}^i P_{kj} \quad i = 1, \dots, Ns \quad (12-2)$$

حال عددی تصادفی در محدوده صفر تا یک تولید می‌شود. با مقایسه مقدار عدد تصادفی با مقادیر  $\bar{P}_i^j$ ، حالت منتخب از حالات ممکن برای زمین متغیر طراحی مشخص می‌شود. این روال برای تمامی متغیرهای طراحی انجام شده و بدین ترتیب طرح جدید شکل می‌گیرد. فرآیند فوق به تعداد اعضای جمعیت تکرار می‌شود تا جمعیت جدید براساس مقادیر  $P_{ij}$  مبتنی بر میزان  $Ph_{ij}$  شکل گیرد. پس از تشکیل جمعیت جدید، میزان فرومون متناظر با تمامی حالات منتخب (مسیرهای طی شده) برای هر متغیر طراحی با ضریب ثابتی به صورت رابطه (۱۳-۲) کاهش می‌یابد [۴۳].

$$Ph_{ij}^{new} = \rho_0 Ph_{ij}^{old} \quad (13-2)$$

در رابطه (۱۳-۲)،  $Ph_{ij}^{old}$  و  $Ph_{ij}^{new}$  بترتیب مقدار فرومون جدید و قدیم برای مسیرهای طی شده است.  $\rho_0$  نیز ضریب بهنگام‌سازی محلی است که دارای مقداری در محدوده صفر تا یک می‌باشد.

پس از بهنگام‌سازی محلی، مقدار تابع هدف اصلاح شده برای طرح‌های جمعیت جدید براساس رابطه (۳-۲) محاسبه می‌شود. سپس جمعیت حاضر براساس میزان  $(A)\phi$  رتبه‌بندی و مرتب خواهد شد. به طوری که اولین طرح در جمعیت مرتب شده دارای کمترین مقدار  $(A)\phi$  و آخرین طرح دارای بیشترین مقدار برای  $(A)\phi$  باشد. با مرتب‌سازی جمعیت، عملیات بهنگام‌سازی سراسری در پیش گرفته می‌شود. برای این منظور کلیه مقادیر درایه‌های ماتریس فرومون متناسب با ضریب نرخ تبخیر بشرح رابطه (۱۴-۲) کاهش می‌یابند [۴۴ و ۴۵].

$$[Ph]^{new} = (1 - e_r) [Ph]^{old} \quad (14-2)$$

در رابطه (۱۴-۲)،  $e_r$  نرخ تبخیر سراسری فرومون است و رونویس  $old$  و  $new$  به ترتیب دلالت بر ماتریس قدیم و جدید دارد.

پس از انجام فرآیند بهنگام‌سازی سراسری فرومون<sup>۱</sup>، نوبت به اعمال عملیات بجای گذاری فرومون<sup>۲</sup> بر روی مسیرهای طی شده می‌رسد. برای این منظور ابتدا جمعیت کوچکی از بهترین‌های جمعیت حاضر به نام  $\mu$  به تعداد  $\lambda$  تشکیل می‌شود. سپس مقدار فرومون حالتی از حالات ممکن برای متغیرهای طراحی که در مرحله انتخاب، برگزیده شده‌اند (مسیرهای طی شده) بشرح (۱۵-۲) افزایش می‌یابد [۳۵].

$$Ph_{ij} = Ph_{ij} + e_r \cdot \left[ (\Delta Ph_{ij}) + \sum_{k=1}^{\lambda} (\lambda_r - k) (\Delta Ph_{ij})_k \right] \quad (15-2)$$

در رابطه (۱۵-۲)،  $k$  شماره طرح موردنظر در جمعیت  $\mu$  می‌باشد.  $(\Delta Ph_{ij})_k$  میزان فرومون لازم برای

بجای گذاری در مسیر  $ij$  می‌باشد که به کیفیت جواب حاصل از  $k$ امین طرح بستگی دارد، لذا بشرح رابطه (۱۶-۲) محاسبه می‌شود.

$$(\Delta Ph_{ij})_k = \frac{1}{\phi(A)^k} \quad (16-2)$$

پس از فرومون‌گذاری، مراحل لازم برای هر تکرار از فرآیند بهینه‌یابی براساس الگوریتم ACO پایان می‌یابد. اما محققین متعددی در این مرحله، اعمال فرآیند جستجوی محلی را در صورت برقراری

شرط مربوطه پیشنهاد می‌نمایند. روش‌های مختلفی برای جستجوی محلی در ACO وجود دارد.

raig ترین حالت که امروزه به عنوان بخشی از مراحل ACO ارائه می‌شود، اعمال تغییرات در میزان درایه‌های ماتریس فرومون است [۴۲]. برای این منظور فرومون مربوط به محدوده‌ای از حالات ممکن

در اطراف بهترین طرح برابر مقدار فرومون اولیه و مابقی درایه‌های ماتریس فرومون برابر صفر منظور

می‌شود. محدوده موردنظر براساس درصد مشخصی که در مرحله اول تعیین می‌شود، برای تعریف

همسایگی به کار گرفته خواهد شد. به بیان دیگر چند حالت در بالا و پایین متغیرهای طراحی بهترین

طرح، از حالات ممکن به عنوان محدوده همسایگی تعریف شده و فرومون متناظر با آن‌ها در ماتریس

فرومون برابر مقدار فرومون اولیه و بقیه درایه‌های ماتریس فرومون برابر صفر منظور می‌گردد. نکته

قابل توجه در این فرآیند، شرط جستجوی محلی می‌باشد. برای این منظور در صورتی که در چند

<sup>1</sup>. Global Pheromone Update

<sup>2</sup>. Accumulation of Pheromone

تکرار متوالی از فرآیند بهینه‌یابی، تغییری در مقدار تابع هدف بهترین طرح حاصل نشود، فرآیند جستجوی محلی در پیش گرفته می‌شود.

در هر صورت با اعمال یا عدم اعمال جستجوی محلی، فرآیند بهینه‌یابی مبتنی بر ACO با کنترل شرط خاتمه ادامه می‌یابد. بدین ترتیب می‌توان شرط خاتمه را با تکمیل تعداد مراحل تکرار کنترل نمود. به عبارت دیگر الگوریتم ACO مراحل شکل (۴-۲) را با محاسبه احتمال انتخاب و تولید جمعیت جدید تا تکمیل تعداد دفعات پیش‌بینی شده تکرار می‌نماید. زمانی که شرط خاتمه محقق شد، الگوریتم بهترین طرح را به عنوان طرح بهینه معرفی می‌نماید.

## ۲-۵-۲ الگوریتم اجتماع ذرات

از جمله الگوریتم‌های فرآبتکاری که در دهه اخیر مورد توجه محققین علوم مهندسی قرار گرفته، روش جستجوی اجتماع ذرات (PSO) می‌باشد. این روش نخستین بار در سال ۱۹۹۵ توسط راسل ابرهات دانشمند علوم کامپیوتر و جیمز کنی روشناسناس مسائل اجتماعی ارائه شده است [۱۸]. این محققین با مطالعه رفتار موجودات گروهی همچون پرندگان، ماهیان، انسان‌ها و ... اساس روش PSO را در علم بهینه‌یابی پی‌ریزی نمودند. به بیان دیگر الگوریتم PSO با الهام از شیوه زندگی موجودات گروهی در نیل به اهداف موردنظر شکل گرفته است. این موجودات با حرکت دسته جمعی، اهداف گروه همچون تهیه غذا، حفاظت از خود در برابر دشمن و ... را برآورده می‌سازند. به عنوان مثال، شکل (۲-۵) همکاری دسته جمعی ماهیان را در تهیه غذا و نیز حفاظت از خود در برابر دشمن را نشان می‌دهد. همان‌طور که در این شکل مشاهده می‌شود، همکاری گروهی ماهیان سبب بدام انداختن پلانکتون‌ها<sup>۱</sup> در مرکز گروه و شکار آنها شده است. از سوی دیگر براساس این شکل ماهیان با حرکت دسته جمعی و گمراه ساختن ماهیان بزرگتر، از خود در برابر دشمن محافظت می‌نمایند. بدین ترتیب هر ماهی در مجموعه با رعایت مقررات انفرادی و نیز گروهی سبب نیل به اهداف گروه می‌شود.

<sup>۱</sup>. Planktons

این مقررات با تخصیص اطلاعات کلی در میان اعضای جمعیت شکل گرفته و سبب حرکت تکاملی در جهت نیل به اهداف گروه می‌شود. مطالعه حرکت دسته جمعی پرندگان در زمان مهاجرت نیز بیانگر حرکت تکاملی جهت دستیابی به اهداف گروه می‌باشد. رعایت قوانین تکی و گروهی توسط هر پرنده، سبب می‌شود تا با حرکت V شکل در زمان مهاجرت به اهدافی همچون حداقل‌سازی مصرف انرژی و ... دست یابند. مطالعه بر رفتار اجتماعی انسان‌ها نیز نتیجه‌ای مشابه دیگر موجودات دارد. البته شایان ذکر است که رفتار اجتماعی انسان بسیار پیچیده‌تر از سایر موجودات می‌باشد. زیرا علاوه بر ماهیت و حرکت فیزیکی، در فضای باور و اعتقادات نیز تکاپو دارد.



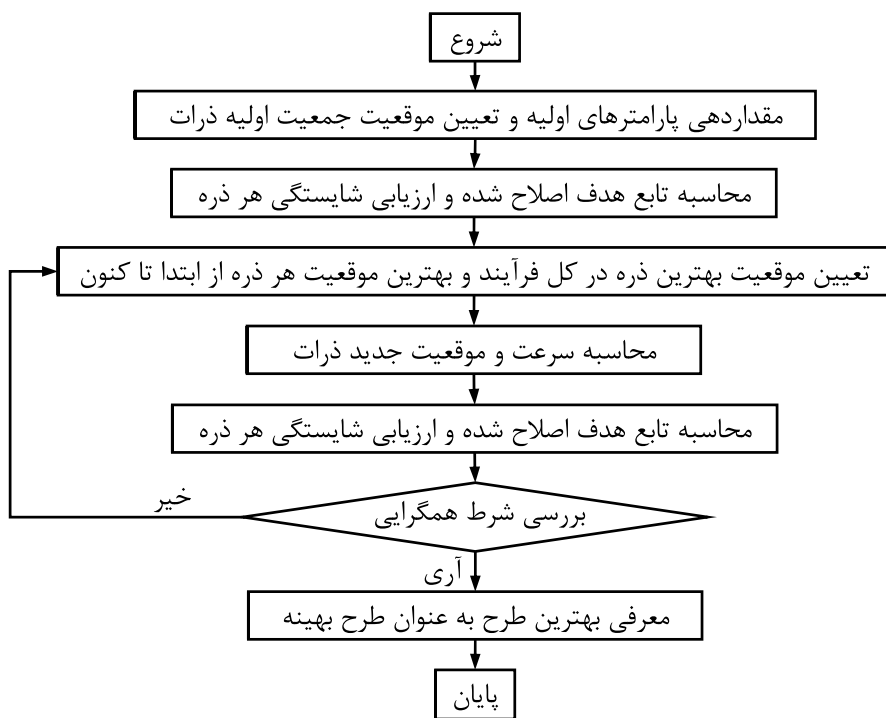
شکل (۵-۲) - همکاری گروه ماهیان در تهیه غذا و حفاظت از خود در برابر دشمنان

در هر صورت روش PSO با الهام از شیوه زندگی موجودات گروهی، به عنوان یکی از الگوریتم‌های فرالبتکاری در علم بهینه‌یابی مطرح شده است. این روش نیز همانند سایر الگوریتم‌های فرالبتکاری از یک جمعیت اولیه که شامل طرح‌های ممکن در فضای طراحی است، برای شروع فرآیند بهینه‌یابی استفاده می‌نماید. هر طرح در این جمعیت به عنوان یک ذره<sup>۱</sup> (عضو) در گروه شناخته می‌شود. هر ذره متناسب با مقدار سرعت<sup>۲</sup> مربوطه در فضای طراحی حرکت می‌نماید. سرعت هر ذره وابسته به بهترین موقعیت ذره مربوطه از ابتدا تا کنون و نیز موقعیت بهترین ذره در بین تمامی ذرات است. بدین ترتیب حرکت هر ذره در فضای ممکن در دو جهت صورت می‌گیرد. ۱- حرکت به سوی بهترین موقعیتی که

<sup>1</sup>. Particle

<sup>2</sup>. Velocity

ذره موردنظر از ابتدا تا کنون مشاهده نموده است. ۲- حرکت به سوی بهترین موقعیتی که دیگر ذرات از ابتدا تا کنون مشاهده نموده‌اند. نمودار شکل (۶-۲) فرآیند بهینه‌یابی براساس روش PSO را نشان می‌دهد.



شکل (۶-۲) - فرآیند بهینه‌یابی براساس روش PSO

همان‌طور که در شکل (۶-۲) مشاهده می‌شود، الگوریتم PSO نیز همانند سایر الگوریتم‌های فرالبتکاری، نیازمند یک جمعیت اولیه می‌باشد. در این الگوریتم هر ذره بیانگر یک طرح در فضای طراحی می‌باشد. بنابراین در یک فضای طراحی به ابعاد  $Nos$  موقعیت  $\mathbf{z}$  این ذره براساس  $x_i = [x_{i1}, x_{i2}, \dots, x_{iNos}]^T$  تعریف می‌شود. از سوی دیگر سرعت ذره  $\mathbf{v}_i$  نیز طبق بردار  $V_i = [v_{i1}, v_{i2}, \dots, v_{iNos}]^T$  بیان می‌شود. بدین ترتیب برای تولید جمعیت اولیه، ابتدا تعدادی ذره (طرح) به صورت تصادفی در فضای کاوش تولید می‌شود. مقدار سرعت اولیه برای تمامی ذرات برابر صفر منظور می‌شود. سپس مقدار تابع هدف اصلاح شده برای هر ذره بشرح رابطه (۳-۲) محاسبه می‌شود. براساس رابطه (۳-۲) می‌توان بهترین ذرات را مشخص نمود. بنابراین با توجه به آنکه در الگوریتم

PSO هر ذره می‌بایست به سوی بهترین موقعیت خود و نیز بهترین موقعیت دیگر ذرات حرکت نماید،

بردارهای  $P_i^k = [p_{i1}^k, p_{i2}^k, \dots, p_{iN_{os}}^k]^T$  و  $P^g = [p_1^g, p_2^g, \dots, p_{N_{os}}^g]^T$  تعريف می‌شوند. بردار  $P_i^k$  بیانگر

بهترین موقعیت ذره  $i$ ام از ابتدا تا  $k$ امین تکرار است و بردار  $P^g$  نیز بیانگر بهترین موقعیت یک ذره از

ابتدا تا کنون در بین تمام ذرات می‌باشد. پس از تشکیل بردارهای موردنظر، موقعیت هر ذره (طرح)

در فضای جستجو براساس روابط زیر تغییر می‌نماید [۴۵ و ۳۵].

$$X_i^{k+1} = X_i^k + \Delta t * V_i^{k+1} \quad (17-2)$$

$$V_i^{k+1} = \omega V_i^k + C_1 Ran_1 \left( \frac{p_i^k - X_i^k}{\Delta t} \right) + C_2 Ran_2 \left( \frac{p_g - X_i^k}{\Delta t} \right) \quad (18-2)$$

در روابط (17-2) و (18-2)،  $X_i^k$  موقعیت ذره  $i$ ام در  $k$ امین تکرار،  $V_i^k$  سرعت ذره  $i$ ام در  $k$ امین تکرار،

$\omega$  ضریب اینرسی وزنی<sup>۱</sup> سرعت مرحله قبل،  $\Delta t$  پارامتر بازه زمانی،  $Ran_1$  و  $Ran_2$  اعداد تصادفی

یکنواخت در محدوده صفر تا یک و  $C_1$  و  $C_2$  نیز بترتیب پارامترهای شناختی<sup>۲</sup> و اجتماعی<sup>۳</sup> می‌باشند.

با حرکت هر ذره براساس رابطه (17-2) در فضای جستجوی و کسب موقعیت جدید، جمعیت

ذرات جدید قابل تشکیل می‌باشد. پس از تشکیل جمعیت جدید، ابتدا شرط خاتمه الگوریتم بررسی

می‌شود. در صورت عدم برقراری شرط خاتمه، فرآیند بهینه‌یابی براساس PSO با محاسبه تابع هدف

اصلاح شده برای ذرات جمعیت جدید مجدداً تکرار می‌شود. این فرآیند تا برقراری شرط خاتمه ادامه

می‌یابد. عموماً شرط خاتمه در الگوریتم PSO با کنترل تعداد دفعات تکرار ارزیابی می‌شود. برای این

منظور الگوریتم مراحل بهینه‌یابی را به تعداد مشخص که از قبل تعیین شده، تکرار می‌نماید. سپس در

نهایت با برقراری شرط خاتمه (پایان تکرارهای مشخص شده) الگوریتم بهترین ذره را به عنوان طرح

بهینه معرفی می‌نماید.

---

<sup>1</sup>. Inertia Weight

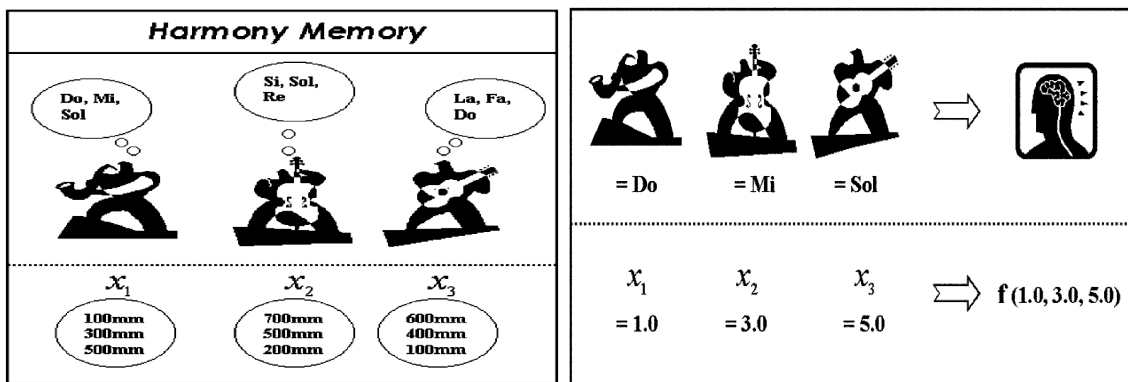
<sup>2</sup>. Cognitive Factor

<sup>3</sup>. Social Factor

## ۶-۲-۲ الگوریتم جستجوی هارمونی

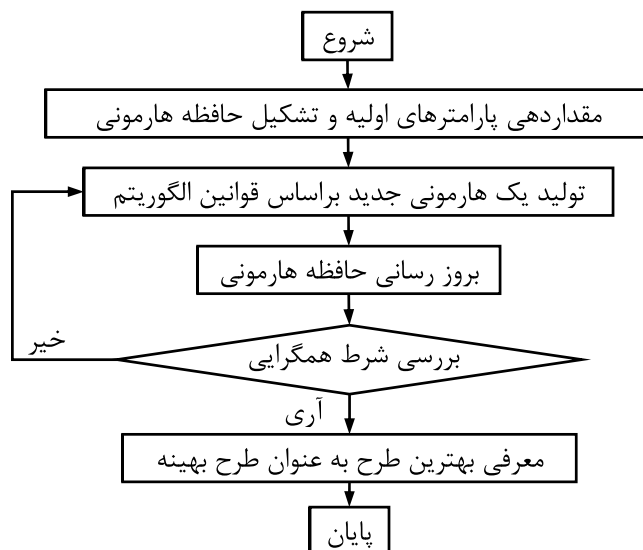
در راستای توسعه الگوریتم‌های فرالبتکاری، لی و جیم در سال ۲۰۰۱ روش جستجوی هارمونی (HS) را ارائه و در بهینه‌یابی مسائل مختلف مهندسی مورد استفاده قرار دادند [۱۹]. در سالیان بعد این روش، توسط سایر محققین مورد بررسی و در برخی موارد تکامل و بهبود یافته است [۴۶-۴۷]. روش جستجوی هارمونی با الهام از فرآیند نوازنده‌گان در حین نواختن موسیقی بصورت فی الدها، برای یافتن حالتی مناسب شکل گرفته است. همان‌طور که در فرآیند اجرای موسیقی بصورت فی الدها، نوازنده‌گان در جستجوی یافتن بهترین هماهنگی برای اجرای کنسرتی زیبا می‌باشند، در فرآیند بهینه‌یابی نیز متغیرهای طراحی هر بردار، بدنیال یافتن بهترین مقدار برای تابع هدف می‌باشد. بدین‌سان برای اجرای فرآیند بهینه‌یابی براساس روش جستجوی هارمونی، هر نوازنده با متغیر طراحی جایگزین و شبیه‌سازی می‌شود. مجموعه نوازنده‌گان در کنار یکدیگر نیز هم‌ارز با بردار طراحی بوده که متشکل از متغیرهای طراحی است. زیبایی و کیفیت صدای موسیقی نیز با مقدار تابع هدف به ازای بردار متغیرهای طراحی شبیه‌سازی و جایگزین خواهد شد. اجرای فی الدها موسیقی نیز مشابه اتخاذ مقداری تصادفی برای متغیرهای طراحی است. همان‌طور که هر موسیقی‌دان در اجرای کنسرت سعی دارد تا با انتخاب نتی<sup>۱</sup> مناسب بهترین کنسرت را در کنار سایر موسیقی‌دانان اجرا نماید، در مسائل بهینه‌یابی نیز انتخاب مقداری مناسب برای هر متغیر طراحی امری مهم و ضروری است تا در کنار سایر متغیرهای طراحی، بهترین بردار طراحی را تشکیل دهد. شکل (۷-۲) قیاسی مناسب بین روش بهینه‌یابی HS و فرآیند اجرای موسیقی توسط موسیقی‌دانان را نمایش می‌دهد [۴۸-۴۹].

<sup>۱</sup>. Note



شکل (۷-۲) - مقایسه فرآیند بهینه‌یابی HS و اجرای موسیقی

بدین ترتیب فرآیند بهینه‌یابی براساس روش HS با الهام از فرآیند نوازنده‌گان در اجرای کنسرتی زیبا و نیز اعمال تغییرات اندک، برای مسائل مهندسی قابل اجرا می‌باشد. شکل (۸-۲) کلیات الگوریتم روش جستجوی هارمونی را برای حل مسائل بهینه‌یابی نشان می‌دهد.



شکل (۸-۲) - فرآیند بهینه‌یابی براساس روش HS

همان‌طور که در شکل (۸-۲) مشاهده می‌شود، روش جستجوی هارمونی نیز در ابتدا نیازمند مقداردهی پارامترهای اولیه همچون پارامتر اندازه حافظه هارمونی<sup>۱</sup>، نرخ درنظرگیری حافظه<sup>۲</sup>، نرخ تنظیم نت<sup>۳</sup> و ... می‌باشد. از سوی دیگر در این روش می‌بایست ماتریس  $HM$  که بیان‌گر جمعیت اولیه

<sup>1</sup>. Harmony Memory Size (HMS)

<sup>2</sup>. Harmony Memory Considering Rate (HMCR)

<sup>3</sup>. Pitch Adjusting Rate (PAR)

است را نیز تشکیل داد. این ماتریس با عنوان حافظه هارمونی<sup>۱</sup> شناخته شده و طرح‌های موجود در آن بصورت تصادفی به تعداد  $HMS$  تولید می‌شود. نکته حائز اهمیت در این ماتریس آن است که کلیه طرح‌های موجود می‌باشد فاقد نقض قیود باشند. به بیان دیگر برای تشکیل حافظه هارمونی طرحی بصورت تصادفی تولید و سپس میزان نقض قیود سازه در پاسخ به کلیه وضعیت‌های بارگذاری بررسی می‌شود. در صورت عدم نقض قیود، طرح موردنظر در ماتریس  $HM$  ذخیره می‌شود، در غیر این صورت مجدداً طرحی بصورت تصادفی تولید می‌شود. این فرآیند آنقدر تکرار می‌شود تا به تعداد  $HMS$  طرح بدون نقض قید در ماتریس  $HM$  ذخیره شود [۵۰]. البته پیشنهاداتی برای جلوگیری از این عملیات تکراری جهت تولید جمعیت اولیه ارائه شده است. براین اساس جمعیت اولیه بصورت کاملاً تصادفی تولید و مقدار تابع هدف اصلاح شده برای هر طرح براساس رابطه (۳-۲) محاسبه می‌شود. براساس رابطه (۳-۲) هر طرحی که دارای نقض قیود و تابع هدف کمتری باشد، مقدار تابع هدف اصلاح شده کمتری نیز خواهد داشت. در هر صورت ماتریس  $HM$  با تولید تصادفی مقادیر متغیرهای طراحی بشرح رابطه زیر تشکیل خواهد شد [۳۵].

$$HM = \begin{bmatrix} a_1^1 & a_2^1 & \dots & a_{Nos}^1 \\ a_1^2 & a_2^2 & \dots & a_{Nos}^2 \\ \vdots & \vdots & & \\ a_1^{HMS} & a_2^{HMS} & \dots & a_{Nos}^{HMS} \end{bmatrix}_{HMS \times Nos} \quad (19-2)$$

پس از تشکیل ماتریس  $HM$ ، میزان تابع هدف اصلاح شده برای هریک از طرح‌های موجود بشرح رابطه (۳-۲) محاسبه و تعیین می‌شود.

در ادامه هارمونی جدید که مترادف با طرحی جدید می‌باشد، براساس قوانین HS تشکیل می‌شود. برای این منظور یک بردار جدید طراحی  $A' = [a_1', a_2', \dots, a_{Nos}']$  بر اساس سه حالت ممکن مبتنی بر قوانین HS و پارامترهای  $PAR$  و  $HMCR$  ساخته می‌شود. بر این اساس هر مقدار  $a_i'$  می‌تواند مبتنی بر پارامتر  $HMCR$  یا بصورت تصادفی مجدداً تولید شود و یا بر اساس مقادیر متناظر موجود در  $HM$  یعنی  $a_i^1$  تا  $a_i^{HMS}$  تعیین گردد. این مرحله با تولید یک عدد تصادفی بین صفر و یک

---

<sup>۱</sup>. Harmony Memory (HM)

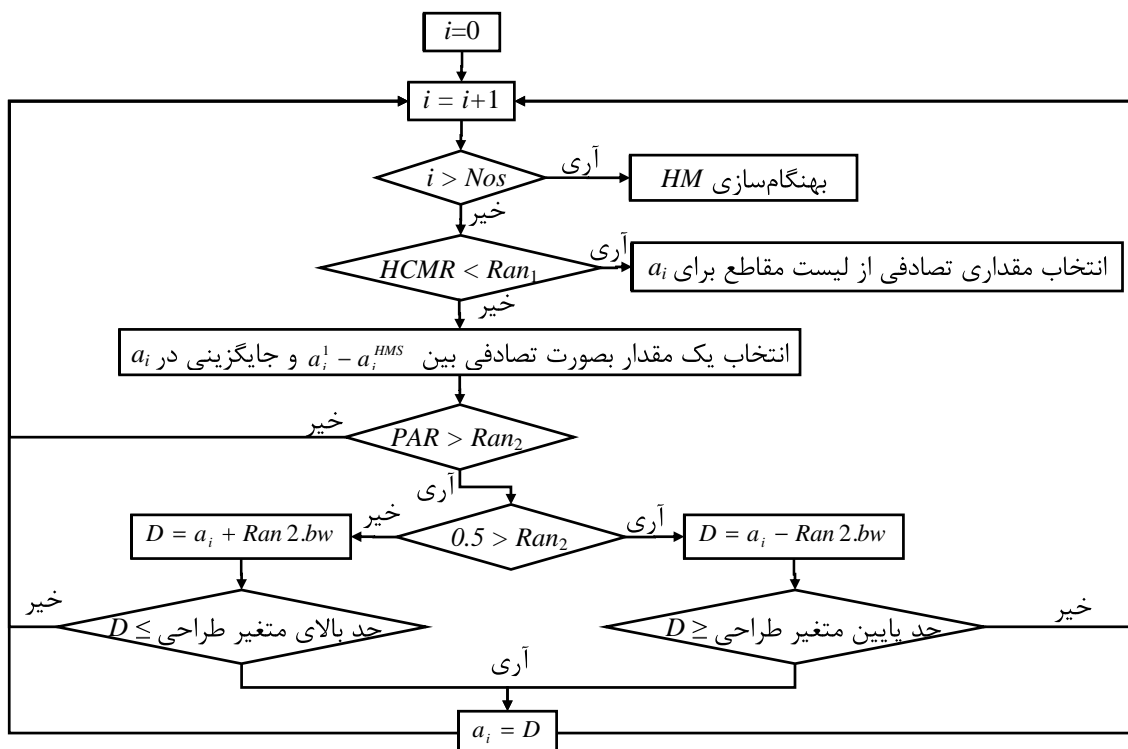
$HMCR$  و مقایسه آن با مقدار  $Ran_1$  قابل اجرا است. در صورتی که عدد تصادفی بیشتر از  $HMCR$  باشد،  $a'_i$  بصورت تصادفی براساس محدوده مجاز  $\Delta_{\text{امین}}^{\text{متغیر طراحی}}$  مقداردهی می‌شود. اما در صورتی که عدد تصادفی  $(Ran_1)$  از مقدار  $HMCR$  کمتر باشد،  $a'_i$  مبتنی بر مقادیر متناظر موجود در ماتریس  $HM$  تعیین خواهد شد. برای این منظور مقدار  $a'_i$  بصورت تصادفی برابر یکی از مقادیر  $a_i^1$  تا  $a_i^{HMS}$  قرار داده می‌شود. به بیان دیگر در این مرحله هر متغیر از بردار طراحی  $A'$  با احتمال درصد از مقادیر موجود در ماتریس  $HM$  انتخاب می‌شود و با احتمال  $1-HMCR$  درصد ممکن است مجدداً بصورت تصادفی تولید شود. در ادامه در صورتی که  $a'_i$  از مقادیر  $HM$  تعیین شود، با احتمال ۱- $PAR$  محدوده صفر تا یک  $(Ran_2)$  تولید و با مقدار پارامتر  $PAR$  مقایسه می‌شود. اگر عدد تصادفی کوچکتر از  $PAR$  باشد،  $a'_i$  بدون تغییر باقی می‌ماند. اما در صورتی که عدد تصادفی تولید شده  $(Ran_2)$  از مقدار  $PAR$  بیشتر باشد،  $a'_i$  تغییر کرده و از همسایگی مقدار فعلی، متناسب با محدوده متغیر طراحی  $PAR$  انتخاب می‌شود. به بیان دیگر در این شرایط مقدار  $a'_i$  براساس میزان پهنای باند<sup>۱</sup> همسایگی ( $bw$ ) بشرح فلوچارت شکل (۹-۲) تغییر می‌نماید. شرح کامل این مرحله برای روش HS در شکل (۹-۲) قابل مشاهده است [۴۸-۵۰].

پس از تشکیل بردار جدید (هارمونی جدید) براساس شکل (۹-۲) نتیجه با مقادیر موجود در ماتریس  $HM$  مقایسه می‌شود. در صورتی که بردار جدید  $A'$  از بدترین طرح موجود در  $HM$  بهتر باشد، بردار جدید  $A'$  جایگزین بدترین طرح موجود در  $HM$  خواهد شد. در غیراین صورت حافظه هارمونی بدون تغییر باقی می‌ماند. به بیان دیگر در این مرحله طرح‌های موجود در ماتریس  $HM$  براساس طرح جدید  $A'$  حاصل از شکل (۹-۲) بروزرسانی می‌شود. معیار برتری در مقایسه برای جایگزینی طرح جدید، براساس رابطه (۳-۲) صورت می‌پذیرد. در نهایت شرط خاتمه الگوریتم بررسی خواهد شد. تکرار مراحل الگوریتم به تعداد دفعات مشخص، از مرسوم‌ترین شروط خاتمه برای روش

---

<sup>۱</sup>. Bandwidth ( $bw$ )

HS می‌باشد. به عبارت دیگر الگوریتم HS مراحل فوق را تا تکمیل تعداد دفعات پیش‌بینی شده تکرار می‌کند. زمانی که شرط خاتمه محقق شود، الگوریتم بهترین طرح در حافظه هارمونی را به عنوان طرح بهینه معرفی می‌نماید.



شکل (۹-۲) - تولید هارمونی جدید در روش HS

## ۷-۲-۲ الگوریتم جستجوی ذرات باردار

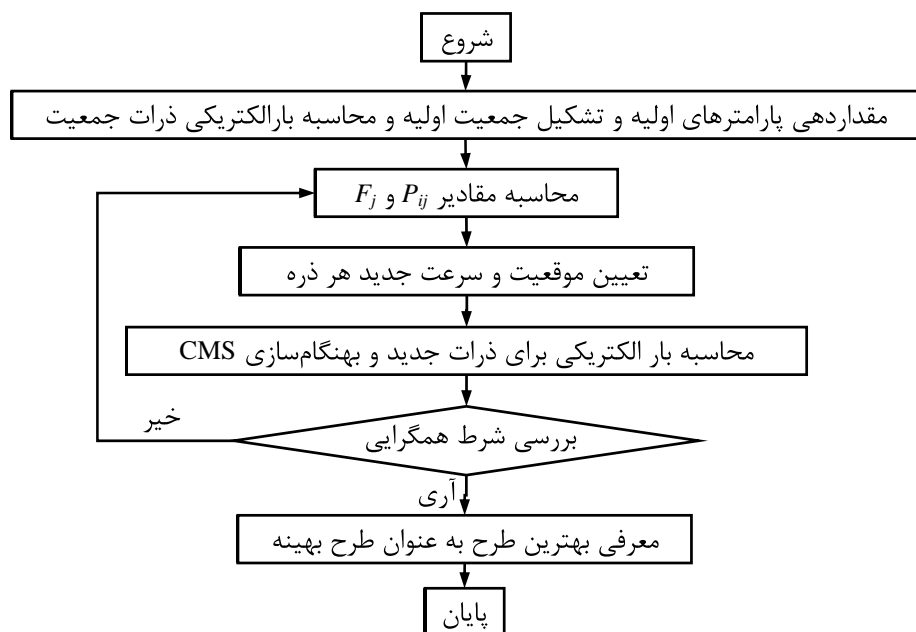
روش جستجوی ذرات باردار (CSS) از جمله الگوریتم‌های فرالبتکاری است که نخستین بار توسط کاوه و همکاران در سال ۲۰۱۰ ارائه و در سال‌های بعد با عنوانی همچون CSS-FBM، MCSS و ... توسعه یافت [۵۱-۵۲ و ۲۲]. در روش CSS، فرآیند بهینه‌یابی براساس قوانین ذرات باردار و قوانین حرکت نیوتون<sup>۱</sup> انجام می‌شود. برای این منظور هر بردار متغیرهای طراحی به عنوان یک ذره باردار<sup>۲</sup> در فضای طراحی در نظر گرفته می‌شود. هر ذره دارای یک میدان الکتریکی<sup>۳</sup> است که

<sup>۱</sup>. Newtonian Mechanic Laws

<sup>۲</sup>. Charged Particle (CP)

<sup>۳</sup>. Electrical Fields

بواسطه مقدار بار الکتریکی مبتنی بر میزان شایستگی طرح هم ارز با ذره تعریف می شود. در ادامه هر ذره تحت تأثیر میدان الکتریکی دیگر ذرات قرار گرفته و متناسب با مقدار نیروی الکتریکی<sup>۱</sup> ناشی از دیگر ذرات، در فضای طراحی حرکت نموده و بدین ترتیب موقعیت جدیدی را در فضای طراحی کسب می نماید. چگونگی حرکت ذرات در فضای کاوش براساس قوانین حرکت نیوتون پی ریزی شده است. بدین ترتیب که هر ذره مبتنی بر موقعیت سابق خود و میزان سرعت و شتاب ناشی از نیروی واردۀ توسط دیگر ذرات، به سمت موقعیت جدید حرکت می نماید تا بهترین موقعیت در فضا را بدست آورد. بهترین موقعیت برای هر ذره، مکانی است که بواسطه قرارگیری در موقعیت موردنظر، دارای بیشترین میدان الکتریکی است. بنابراین هر ذره در کنار دیگر ذرات، تلاش می نماید که به بهترین موقعیت مکانی خود برسد. با الهام از این مفاهیم روش CSS بصورت نمودار شکل (۱۰-۲) قابل اجرا می باشد.



شکل (۱۰-۲) - فرآیند بهینه‌یابی براساس روش CSS

همان‌طور که در شکل (۱۰-۲) مشاهده می شود، الگوریتم CSS نیز همانند سایر روش‌های فرالبتکاری، نیازمند مقداردهی اولیه برای تعدادی از پارامترها است. پارامترهایی از قبیل تعداد ذرات هر جمعیت

<sup>1</sup>. Electrical Force

شعاع ذرات ( $a^{CSS}$ ) و ... می‌بایست در ابتدا مقداردهی شوند. در ادامه جمعیت اولیه بصورت تصادفی با عنوان حافظه بار<sup>۱</sup> تولید می‌شود. هر عضو از این جمعیت با نام ذره شناخته شده و میزان سرعت اولیه برای تمامی ذرات برابر صفر منظور می‌شود. سپس می‌بایست میزان بار الکتریکی هر ذره محاسبه گردد. برای این منظور ابتدا میزان تابع هدف اصلاح شده برای هر ذره بشرح رابطه (۲۰-۲) تعیین می‌شود. سپس میزان بار الکتریکی هر ذره بشرح رابطه (۲۰-۲) قابل محاسبه است

[۵۳ و ۲۲]

$$q_j = \frac{\phi_j - \phi_{worst}}{\phi_{best} - \phi_{worst}} \quad j = 1, \dots, NP \quad (20-2)$$

در رابطه (۲۰-۲)،  $q_j$  بار الکتریکی هر ذره<sup>۲</sup> است،  $\phi$  مقدار تابع هدف اصلاح شده برای زمین ذره جمعیت حاضر می‌باشد.  $\phi_{best}$  و  $\phi_{worst}$  به ترتیب مقادیر تابع هدف اصلاح شده برای بهترین و بدترین ذرات جمعیت حاضر می‌باشد. به بیان دیگر  $\phi_{best}$  مربوط به کمترین مقدار تابع هدف اصلاح شده و  $\phi_{worst}$  مقدار بیشترین تابع هدف اصلاح شده در جمعیت حاضر است.

پس از محاسبه میزان بار الکتریکی ذرات، جمعیت کوچکی از بهترین‌های جمعیت حاضر با عنوان CMS ساخته می‌شود. به عبارت دیگر تعدادی از بهترین ذرات (طرح) جمعیت حاضر با بیشترین مقدار بار الکتریکی در جمعیت CMS سازماندهی می‌شوند.

با تشکیل جمعیت CMS تمامی عوامل اولیه برای روش CSS مهیا شده و الگوریتم فرآیند بهینه‌یابی را با محاسبه احتمال جذب هر ذره توسط سایر ذرات ( $P_{ij}$ ) آغاز می‌نماید. برای این منظور مقدار  $P_{ij}$  بشرح رابطه (۲۱-۲) محاسبه می‌شود [۵۳].

$$P_{ij} = \begin{cases} 1 & \frac{\phi_i - \phi_{best}}{\phi_j - \phi_i} > ran_3 \quad \vee \quad \phi_j < \phi_i \\ 0 & \text{else} \end{cases} \quad (21-2)$$

در رابطه (۲۱-۲)،  $ran_3$  یک عدد تصادفی در محدوده صفر تا یک می‌باشد. مقادیر  $\phi_i$  و  $\phi_j$  نیز به ترتیب دلالت بر مقدار تابع هدف اصلاح شده برای زمین و زمین ذره در جمعیت حاضر دارند.

<sup>۱</sup>. Charged Memory (CM)

<sup>۲</sup>. Magnitude of Charge ( $q_j$ )

با محاسبه  $P_{ij}$  برای ذرات جمعیت حاضر، مقدار نیروی برآیند وارد بر هر ذره توسط دیگر ذرات، براساس رابطه (۲۲-۲) قبل محاسبه می‌باشد [۲۲ و ۵۳].

$$F_j = q_j \sum_{i,i \neq j} \left( \frac{q_i}{a^3} r_{ij} i_1 + \frac{q_i}{r_{ij}^2} i_2 \right) P_{ij} (X_i - X_j), \quad \begin{cases} i_1 = 1, i_2 = 0 & \Leftrightarrow r_{ij} < a \\ i_1 = 0, i_2 = 1 & \Leftrightarrow r_{ij} \geq a \end{cases} \quad (22-2)$$

در رابطه (۲۲-۲)،  $F_j$  نیروی برآیند وارد بر ذره زام است.  $a^{CSS}$  و  $q_j$  بترتیب شعاع<sup>۱</sup> و بار الکتریکی ذره زام بوده که مقدار شعاع عموماً برابر واحد فرض می‌شود.  $r_{ij}$  فاصله بین ذرات  $i$  و  $j$  بوده که براساس رابطه (۲۳-۲) محاسبه می‌شود.

$$r_{ij} = \frac{\|X_i - X_j\|}{\left\| \frac{X_i + X_j}{2} - X_{best} \right\| + \epsilon} \quad (23-2)$$

در رابطه (۲۳-۲)،  $X_i$  و  $X_j$  به ترتیب موقعیت زمین و زامین ذره باردار در فضای طراحی است.  $X_{best}$  مربوط به موقعیت بهترین ذره در جمعیت حاضر بوده و یک عدد مثبت کوچک برای جلوگیری از بی معنی شدن کسر (صفر شدن مخرج) می‌باشد.

در ادامه براساس روش CSS، هر ذره متناسب با نیروی وارد توسط دیگر ذرات و نیز قوانین حرکت نیوتون در فضای کاوش حرکت می‌نماید. برای این منظور پس از تعیین مقدار نیروی وارد بر زامین ذره توسط دیگر ذرات ( $F_j$ )، ذره ز در فضای طراحی براساس رابطه (۲۴-۲) به سوی موقعیت جدید ( $X_{j,new}$ ) حرکت می‌نماید [۲۲ و ۵۳].

$$X_{j,new} = X_{j,old} + Ran_1 k_a \frac{F_j}{m_j} \cdot \Delta t^2 + Ran_2 k_v V_{j,old} \cdot \Delta t \quad (24-2)$$

در رابطه فوق  $X_{j,new}$  و  $X_{j,old}$  به ترتیب موقعیت قدیم و جدید زمین ذره در فضای کاوش می‌باشند. سرعت قدیم ذره زام و  $Ran_1$  و  $Ran_2$  اعدادی تصادفی در محدوده صفر تا یک است.  $\Delta t$  پارامتر بازه زمانی و  $m_j$  جرم زمین ذره است که برابر  $q_j$  در نظر گرفته می‌شود.  $k_a$  و  $k_v$  نیز به ترتیب ضریب

<sup>۱</sup>. Radius ( $a$ )

شتا<sup>۱</sup> و ضریب سرعت<sup>۲</sup> می‌باشند که برای کنترل میزان شتاب و سرعت ذره در رابطه (۲۴-۲) لحاظ می‌شوند. این مقادیر در طی فرآیند بهینه‌یابی براساس روابط زیر تنظیم خواهند شد.

$$k_a = 0.5(1 + iter / iter_{max}) \quad (25-2)$$

$$k_v = 0.5(1 - iter / iter_{max}) \quad (26-2)$$

در روابط فوق  $iter$  دلالت بر شماره تکرار و  $iter_{max}$  برابر تعداد کل تکرارها در فرآیند بهینه‌یابی می‌باشد.

پس از محاسبه موقعیت جدید هر ذره، سرعت جدید هر ذره ( $V_{j,new}$ ) برای تکرار بعدی بشرح رابطه (۲۷-۲) محاسبه می‌شود.

$$V_{j,new} = \frac{X_{j,new} - X_{j,old}}{\Delta t} \quad (27-2)$$

در روش CSS نکته حائز اهمیت در تعیین موقعیت جدید ذرات، امکان خروج هر ذره از محدوده مجاز براساس رابطه (۲۴-۲) می‌باشد. به بیان دیگر متغیرهای طراحی دارای حدود بالا و پایین می‌باشند و ممکن است در مرحله حرکت ذرات براساس رابطه (۲۴-۲)، یکی از متغیرهای طراحی از محدوده مجاز خارج شود. لذا در این شرایط عملیات اصلاح موقعیت جدید برای متغیر طراحی مربوطه انجام می‌شود. برای این منظور در روش CSS موقعیت متغیر طراحی برای ذره مربوطه با استفاده از جمعیت  $CMS$  و قوانین روش جستجوی هارمونی در تولید هارمونی جدید، تغییر نموده و در محدوده مجاز مقداردهی می‌شود. بدین ترتیب موقعیت مناسب و مجاز برای ذره مربوطه ارائه خواهد شد [۲۲ و ۵۳].

با محاسبه موقعیت جدید و سرعت جدید برای تمامی ذرات جمعیت حاضر، فرآیند بهینه‌یابی با تعیین مقدار بار الکترونیکی ذرات جدید و بهنگام‌سازی جمعیت  $CMS$  ادامه می‌یابد. بدین منظور براساس رابطه (۳-۲) مقدار تابع هدف اصلاح شده برای هر ذره (طرح) محاسبه و سپس با استفاده از رابطه (۲۰-۲) مقدار بار الکترونیکی ذرات جمعیت جدید تعیین می‌شود. در ادامه براساس میزان بار الکترونیکی ذرات جدید، جمعیت  $CMS$  که متشکل از بهترین ذرات می‌باشد، بروزرسانی خواهد شد.

<sup>1</sup>. Acceleration Coefficient

<sup>2</sup>. Velocity Coefficient

برای این منظور در صورتی که ذره‌ای از ذرات جدید بار الکتریکی بیشتری نسبت به بدترین ذره *CMS* داشته باشد، ذره جدید جایگزین ذره نامناسب در جمیعت *CMS* خواهد شد. پس از بهنگام‌سازی جمیعت *CMS*، شرط خاتمه الگوریتم با تکمیل تعداد دفعات تکرار کنترل می‌شود. در روش *CSS* شرط خاتمه الگوریتم با محاسبه  $P_{ij}$  و  $F_j$  آغاز و تا تکمیل تعداد دفعات پیش‌بینی شده تکرار می‌نماید. زمانی که شرط خاتمه محقق شود، الگوریتم بهترین طرح (ذره) را به عنوان طرح بهینه معرفی می‌نماید.

### ۳-۲ الگوریتم‌های ترکیباتی

همان طور که پیشتر بیان شد، هر الگوریتم فرالبتکاری فضای طراحی را با الهام از فرآیندهای تکاملی محیط پیرامون بر پایه اصول تنوع و تشدید به شیوه‌ای منحصر بفرد جستجو می‌نماید. این شیوه منحصر بفرد، سبب شده است تا برخی از الگوریتم‌های فرالبتکاری بر پایه اصل جستجوی ممنوعه (TS)، جستجوی هارمونی (HS) و ... از جمله روش‌های می‌باشند که بر پایه اصل تشدید بنا نهاده شده و فضای طراحی را براساس فرآیند جستجوی محلی کاوش می‌نمایند. اما برخی دیگر از الگوریتم‌های فرالبتکاری متناسب با شیوه کاوش در فرآیند جستجوی سراسری موفق‌تر از جستجوی محلی می‌باشند. روش اجتماع ذرات (PSO)، روش جستجوی ذرات باردار (CSS) و ... از جمله این روش‌ها می‌باشند که در آن‌ها راهکارهای اکتسابی از محیط پیرامون سبب افزایش توانایی در بحث اصل تنوع نسبت به اصل تشدید شده است. برخی دیگر از الگوریتم‌های فرالبتکاری متناسب با شیوه اکتسابی از محیط پیرامون، دو اصل تنوع و تشدید را در نظر گرفته‌اند، اما در بحث ایجاد توازنی منطقی بین اصول تنوع و تشدید، نیازمند راهکارهای ویژه‌ای می‌باشند. این مسائل سبب شده تا هر یک از الگوریتم‌های فرالبتکاری محسن و بعضًا معايب ویژه‌ای در چگونگی جستجوی فضای طراحی جهت نیل به نقطه کمینه داشته باشند. به همین دلیل در سالیان اخیر برخی از محققین علم

بهینه‌یابی، به ترکیب روش‌های فرابتکاری اقدام نموده، تا بدین‌ترتیب از تمامی مزایای روش‌های ترکیب شده استفاده نمایند. به بیان دیگر این محققین سعی نموده‌اند تا با ترکیب دو یا سه الگوریتم فرابتکاری، روشی ترکیبی ارائه دهند که دارای مزایای الگوریتم‌های فرابتکاری اولیه بوده و معایب هر روش در الگوریتم ترکیبی کمرنگ و یا محو شده باشد. تعداد این الگوریتم‌های ترکیبی زیاد بوده و بسیاری از محققین در علوم مختلف مناسب با ویژگی‌های مسئله بهینه‌یابی، الگوریتم‌های ترکیبی مختلفی بر پایه روش‌های فرابتکاری ارائه نموده‌اند. به همین سبب در این بخش به بررسی مختصر چند الگوریتم ترکیبی به عنوان نمونه پرداخته شده است.

### <sup>۱</sup>۱-۳-۲ الگوریتم ترکیبی ACO و PSO

روش بهینه‌یابی HPSACO از جمله الگوریتم‌های ترکیبی است که بر پایه ترکیب دو روش مطرح PSO و ACO شکل گرفته است [۵۴-۵۵]. در این روش فرآیند بهینه‌یابی در دو مرحله انجام می‌شود. در مرحله اول، بهینه‌یابی براساس روش PSO صورت پذیرفته و عملیات بهینه‌یابی براساس PSO الگوریتم ACO در مرحله دوم انجام می‌شود. به بیان دیگر در الگوریتم HPSACO ابتدا PSO انجام می‌دهد (جستجوی سراسری) و ACO فرآیند جستجوی محلی را براساس محدوده طرح بهینه را می‌یابد (جستجوی محلی). برای این منظور، بر پایه روش PSO، تعدادی ذره یافته‌های PSO انجام می‌دهد (جستجوی محلی)، برای این منظور، بر پایه روش PSO، تعدادی ذره (طرح) بصورت تصادفی در فضای کاوش تولید می‌شود. این طرح‌ها جمعیت اولیه را تشکیل می‌دهند. سپس موقعیت ذرات براساس بهترین ذره (شاخص‌ترین طرح)، بهترین موقعیت هر ذره از ابتدا تا کنون و نیز یک ذره انتخابی در جمعیت حاضر، تغییر می‌نماید. این حرکت در فضای طراحی بر پایه اصول روش PSO با اندکی تغییرات شکل گرفته است. بدین‌سان موقعیت هر ذره (طرح) در روش HPSACO نیز همانند روش PSO بشرح رابطه (۲-۱۷) محاسبه می‌شود. اما در روش HPSACO سرعت هر ذره با اندکی تغییرات نسبت به روش PSO بشرح رابطه (۲-۲۸) تعیین می‌شود [۵۴-۵۵].

<sup>۱</sup>. Heuristic Particle Swarm Ant Colony Optimization (HPSACO)

$$V_i^{k+1} = \omega V_i^k + C_1 Ran_1\left(\frac{p_i^k - X_i^k}{\Delta t}\right) + C_2 Ran_2\left(\frac{p_g - X_i^k}{\Delta t}\right) + C_3 Ran_3\left(\frac{R_i^k - X_i^k}{\Delta t}\right) \quad (28-2)$$

همان‌طور که در رابطه فوق مشاهده می‌شود، در روش HPSACO عبارت چهارم یعنی

$$C_3 Ran_3\left(\frac{R_i^k - X_i^k}{\Delta t}\right) \quad (28-2)$$

عبارت،  $C_3$  ضریب تأثیر جمعیت حاضر<sup>۱</sup> و  $Ran_3$  عدد تصادفی یکنواخت در محدوده صفر تا یک می‌باشد.  $R_i^k$  نیز موقعیت  $i$ امین ذره انتخابی ( بصورت تصادفی ) از جمعیت حاضر در  $k$ امین تکرار است. سایر پارامترهای رابطه (28-2) مشابه رابطه (18-2) می‌باشد.

پس از حرکت هر ذره ( طرح ) در فضای کاوش براساس روابط (28-2) و (17-2)، فرآیند بهینه‌یابی در HPSACO وارد مرحله دوم می‌شود. در مرحله دوم ACO فرآیند کاوش را براساس جستجوی محلی ادامه می‌دهد. برای این منظور در این مرحله، مورچه‌ها عملیات بجای گذاری فرومون را براساس نتایج PSO در پیش می‌گیرند. بدین‌ترتیب براساس رابطه (29-2) و الگوریتم ACO همسایگی بهترین ذره حاصل از مرحله قبل ( روش PSO ) فرومون‌گذاری و جستجو می‌شود [۵۴-۵۵].

$$Z_i^k = N(P_g^k, \sigma) \quad (29-2)$$

در رابطه فوق  $Z_i^k$  بیانگر  $i$ امین مسیر در  $k$ امین تکرار می‌باشد.  $N(P_g^k, \sigma)$  نیز یک مقدار تصادفی بین  $P_g^k$  و  $\sigma$  است که  $\sigma$  بشرح رابطه زیر محاسبه می‌شود.

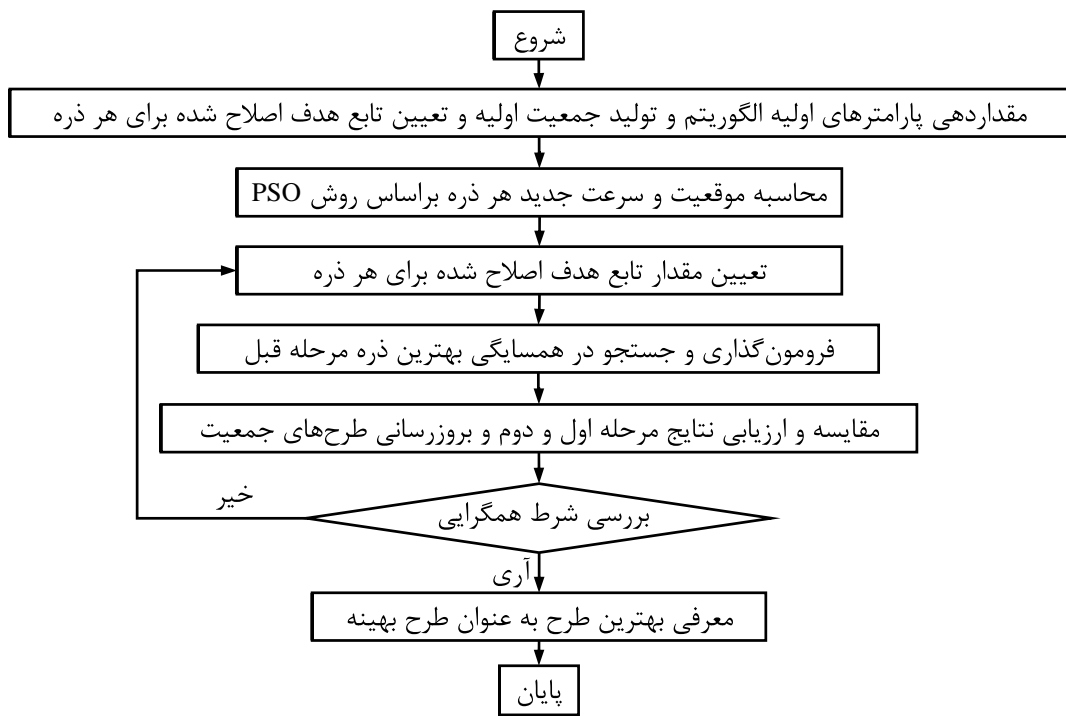
$$\sigma = (A_{\max} - A_{\min}) \times \eta \quad (30-2)$$

در رابطه فوق  $\eta$  پارامتری است که در ابتدا توسط کاربر مشخص می‌شود. براساس رابطه (29-2) مسیرهای خوب فرومون‌گذاری و نهایتاً طرحی در همسایگی بهترین طرح ( $P_g^k$ ) تولید خواهد شد. در ادامه مقدار تابع هدف اصلاح شده برای  $Z_i^k$  بر اساس رابطه (3-2) محاسبه می‌شود. در صورتی که مقدار  $(Z_i^k)$  از مقدار تابع هدف اصلاح شده بهترین طرح مرحله اول، کمتر باشد،  $Z_i^k$  جایگزین طرح موردنظر خواهد شد. در غیر این صورت طرح‌های جمعیت حاصل از مرحله اول تغییر نکرده و مجدداً براساس رابطه (28-2) و (17-2) مبتنی بر روش PSO در فضای طراحی حرکت می‌نمایند. این

---

<sup>1</sup>. Passive Congregation Coefficient

فرآیند تا برقراری شرط خاتمه ادامه می‌یابد. شکل (۱۱-۲) مراحل بهینه‌یابی براساس روش HPSACO را نشان می‌دهد [۵۵].



شکل (۱۱-۲) - فرآیند بهینه‌یابی براساس روش HPSACO

### ۲-۳-۲ الگوریتم ترکیبی ACO و PSO و HS

فرآیند بهینه‌یابی براساس روش HPSACO را می‌توان با بکارگیری الگوریتم HS بهبود بخشید.

برای این منظور در صورتی که موقعیت جدید یک ذره در فرآیند بهینه‌یابی HPSACO از محدوده متغیر طراحی خارج شود، آنگاه مقدار متغیر طراحی براساس شیوه تولید هارمونی در روش HS اصلاح و تعیین می‌شود. بدین ترتیب در صورت خروج مقدار یک متغیر طراحی از محدوده مجاز، عدد تصادفی در محدوده صفر تا یک تولید می‌شود و سپس براساس روش HS و یکی از سه حالت زیر، مقدار متغیر طراحی مربوطه اصلاح خواهد شد [۵۶].

حالت (۱): در صورتی که عدد تولید شده از مقدار  $HMCR$  (مقداردهی شده توسط کاربر) بیشتر باشد، متغیر طراحی موردنظر بطور تصادفی در محدوده مجاز، مقداردهی می‌شود. اما در غیر

این صورت، ابتدا متغیر طراحی مربوطه از میان مجموعه  $HM$  که شامل بهترین ذرات می‌باشد، انتخاب و مقداردهی می‌شود. سپس در ادامه این حالت (عدد تصادفی کوچکتر از  $HMCR$ )، عدد تصادفی جدیدی تولید شده و دو حالت زیر بررسی می‌شود.

حالت (۲): در صورتی که عدد تصادفی جدید تولید شده از مقدار  $PAR$  (مقداردهی شده توسط کاربر براساس روش HS) بیشتر باشد، مقدار متغیر طراحی بدون تغییر باقی می‌ماند و در اصطلاح هیچ کاری انجام نمی‌شود.

حالت (۳): در صورتی که عدد تصادفی جدید تولید شده از مقدار  $PAR$  کمتر باشد، مقدار متغیر طراحی تغییر نموده و مقداری در همسایگی موقعیت فعلی کسب می‌نماید. برای این منظور براساس روش HS که پیشتر بیان شد، از پارامتر  $bw$  استفاده می‌شود.

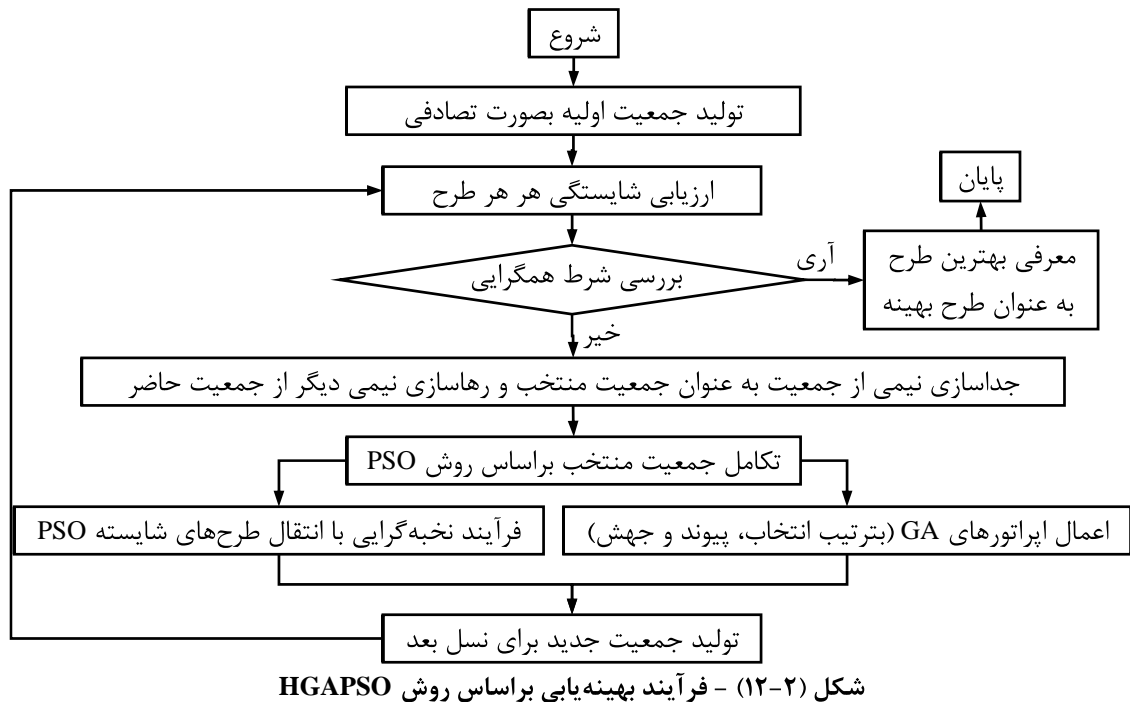
### <sup>۱</sup> ۳-۳-۲ الگوریتم ترکیبی GA و PSO (HGAPSO)

روش HGAPSO از دیگر الگوریتم‌های فرابتکاری است که با ترکیب دو روش GA و PSO و فضای جستجو را کاوش می‌نماید. اساس این روش مبتنی بر روش GA بوده و الگوریتم PSO برای تکامل برخی از اعضای جمعیت، پیش از اعمال اپراتورهای GA مورد استفاده قرار می‌گیرد. برای این منظور در ابتدا جمعیتی بصورت تصادفی تولید می‌شود که مشابه تولید جمعیت اولیه در دیگر الگوریتم‌های فرابتکاری است. در ادامه با تعیین مقدار تابع هدف اصلاح شده برای اعضای جمعیت، می‌توان اعضای جمعیت را براساس مقدار  $(A)\phi$  مرتب نمود. سپس نصف جمعیت که متشکل از بهترین‌های جمعیت حاضر می‌باشند، انتخاب شده و مابقی حذف می‌شوند. در ادامه فرآیند تکامل و بهبود براساس روش PSO بر روی جمعیت منتخب انجام خواهد شد. جمعیت تکامل یافته براساس PSO جایگزین اعضای حذف شده در مرحله قبل می‌شود. سپس جمعیت کامل شده به روش GA سپرده می‌شود تا تکامل بر اساس اپراتورهای انتخاب، پیوند و جهش انجام شود. به بیان دیگر نتایج

---

<sup>۱</sup>. Hybrid Genetic Algorithm and Particle Swarm Optimization (HGAPSO)

روش PSO و جمعیت منتخب به عنوان والد برای عملگرهای GA برگزیده شده و براساس آنها جمعیت فرزندان نتیجه خواهد شد. نکته حائز اهمیت اعمال نخبه‌گرایی برای طرح‌هایی است که در فرآیند PSO بهبود یافته‌اند. به بیان دیگر طرح‌هایی که براساس روش PSO نسبت به موقعیت پیشین خود بهبود یابند، بدون اعمال اپراتورهای GA به نسل بعدی منتقل می‌شوند. در هر صورت با تشکیل جمعیت نسل بعدی، مجدداً الگوریتم با جداسازی جمعیت منتخب فرآیند بهینه‌یابی را آغاز می‌نماید. این روند تا برقراری شرط خاتمه الگوریتم ادامه می‌یابد. شکل (۱۲-۲) فرآیند بهینه‌یابی براساس الگوریتم ترکیبی HGAPSO را نشان می‌دهد [۵۷].



در روش HGAPSO پیشنهاداتی برای اپراتورهای GA و نیز مقدار  $\omega$  و دیگر ضرایب PSO در جهت بهبود الگوریتم ترکیبی ارائه شده است که در اساس سیستم ترکیب دو روش تأثیری ندارد [۵۷]. لذا در این متن از ارائه این پیشنهادات صرفنظر شده است.



## **فصل سوم**

**روش‌ها و راهکارهای**

**پیشنهادی**

## ۱-۳ مقدمه

نیازهای بشر به علم بهینه‌یابی سبب ایجاد تحقیقات متعددی در دهه‌های گذشته برای توسعه الگوریتم‌های بهینه‌یابی در زمینه‌های مختلف شده است. الگوریتم‌های فرالبتکاری نیز متناسب با کاربردهای گوناگون، از این قاعده مستثنی نبوده و در سالیان اخیر تحقیقات مختلفی در جهت توسعه و گسترش روش‌های فرالبتکاری توسط محققین علم بهینه‌یابی ارائه شده است. بهبود نتایج، افزایش سرعت محاسبات، گسترش کاربرد هر روش و ... اهداف محققین در تحقیقات علمی برای الگوریتم‌های فرالبتکاری بوده و تا به امروز نیز ادامه دارد. در این راستا ساختارهای متعددی برای الگوریتم‌های موجود و پیشنهادات گوناگونی در جهت توسعه الگوریتم‌های فرالبتکاری ارائه شده است. اما نکته حائز اهمیت و مشترک بین تلاش‌های اکثر محققین علم بهینه‌یابی افزایش کارآیی هر الگوریتم برای کسب جواب قابل قبول در محدوده زمانی مناسب می‌باشد. این معیار از مهمترین عوامل برای سنجش کارآمدی ایده‌های پیشنهادی در زمینه بهبود و ارائه الگوریتم‌های فرالبتکاری مختلف می‌باشد. تحقیقات در زمینه توسعه و گسترش علم بهینه‌یابی براساس الگوریتم‌های فرالبتکاری در علوم مختلف همچنان ادامه داشته و شیوه‌ها و ساختارهای متفاوتی توسط محققین مختلف بر پایه مفهوم کسب جواب مناسب در زمان قابل قبول برای هر الگوریتم ارائه می‌شود.

بدین ترتیب در رساله حاضر طی فرآیندی هدفمند و با برنامه‌ای مشخص، راهکارهای نوین و پیشنهاداتی کارآمد در زمینه توسعه الگوریتم‌های فرالبتکاری ارائه شده است. برای این منظور ابتدا به

بررسی ابعاد مختلف برخی از رایج‌ترین الگوریتم‌های فرآبتكاری در زمینه طراحی سازه‌های گوناگون پرداخته شده است. در این مرحله سعی گردیده تا با ارائه پیشنهاداتی برای پارامترها و ساختارهای هر روش، کارآیی الگوریتم مربوطه افزایش یابد و دید وسیع‌تری برای روش مربوطه در حساسیت به پارامتر مورد نظر ارائه شود. در مرحله بعدی با شناسایی برخی از چالش‌های الگوریتم‌های فرآبتكاری، روش نوین جستجوی چندمنظوره (روش جزیره‌ای) که شیوه‌ای کارآمد برای جستجوی فضای طراحی می‌باشد، ارائه شده است. این روش متناسب با شیوه جستجو برای افزایش کارآیی الگوریتم‌های مختلف فرآبتكاری با ساختارهای گوناگون مؤثر می‌باشد. سپس در جهت توسعه روش جستجوی چندمنظوره، الگوریتم نوین کاوش چندفرآبتكاری ارائه شده است. این روش شیوه‌ای منحصر‌بفرد در بکارگیری روش‌های مختلف فرآبتكاری به صورت همزمان برای اعمال فرآیند بهینه‌یابی می‌باشد. در مرحله سوم با کسب دید کلی نسبت به شیوه بهینه‌یابی الگوریتم‌های فرآبتكاری حاصل از مراحل پیشین، ایده نوین انفصل فضای طراحی با الهام از روش اجزای محدود ارائه شده است. این ایده راهکاری کلی برای بهبود عملکرد اکثر الگوریتم‌های بهینه‌یابی بوده و اساساً چگونگی جستجوی فضای طراحی را براساس شیوه الگوریتم، به صورت مناسب‌تر و کارآمدتری ارائه و اصلاح می‌نماید. در مرحله چهارم با شناخت محسن و معایب برخی از الگوریتم‌های فرآبتكاری، الگوریتم نوین ترکیباتی براساس روش کلونی مورچگان، الگوریتم ژنتیک و روش جستجوی هارمونی ارائه شده است این روش دارای قابلیت‌ها و محسن مختلف ACO، GA و HS بوده و شیوه ترکیب سبب کمرنگ شدن معایب روش‌های مذکور شده است. در نهایت در مرحله پنجم الگوریتم نوین نقاط متحرک که فضای طراحی را به صورت جستجوی تصادفی هوشمند، کاوش می‌نماید، ارائه شده است. این الگوریتم با کسب تجربیات گام‌های پیشین در بررسی و ارائه پیشنهادت مختلف در زمینه توسعه الگوریتم‌های فرآبتكاری شکل گرفته است.

## ۲-۳ بررسی و بهبود عملکرد الگوریتم‌های فرالبتکاری

همان‌طور که پیشتر بیان شد، در این بخش ابتدا برخی از رایج‌ترین الگوریتم‌های فرالبتکاری در زمینه طراحی بهینه سازه‌ها مورد بررسی قرار گرفته است. در این راستا مزايا و معایب روش‌های موردنظر شناسایی شده و سعی گردیده تا با ارائه پیشنهاداتی، روش موردنظر توسعه و بهبود یابد و میزان حساسیت هر روش به عوامل موردنظر مشخص شود. به بیان دیگر در اولین مرحله از راهکارهای پیشنهادی، توسعه برخی از رایج‌ترین الگوریتم‌های فرالبتکاری با ارائه پیشنهاداتی در زمینه ساختار الگوریتم، مورد توجه قرار گرفته است. برای این منظور از مرسوم‌ترین الگوریتم‌های فرالبتکاری همچون الگوریتم ژنتیک، روش شبیه‌سازی بازپخت، روش جستجوی ممنوعه، الگوریتم کلونی مورچگان، روش اجتماع ذرات، روش جستجوی هارمونی و روش جستجوی ذرات باردار استفاده شده است. نظریات پیشنهادی در بهبود هر الگوریتم با اصلاح شیوه اعمال پارامترهای هر روش و ساختارهای موجود همراه می‌باشد. این پیشنهادات براساس فرآیند طراحی بهینه سازه‌های مختلف بشرح بخش‌های زیر مورد ارزیابی قرار گرفته و نتایج به صورت نمودارهای سیر همگرایی ارائه و مقایسه شده است.

## ۱-۲-۳ الگوریتم ژنتیک

الگوریتم ژنتیک (GA) یکی از روش‌های فرالبتکاری است که بر پایه نظریه تکامل تدریجی طبیعت و حیات بهترین‌ها بنا نهاده شده است. در این راستا محققین مختلف، مقالات متنوعی را در زمینه بهینه‌یابی سازه‌ها براساس GA ارائه داده‌اند. این روش امروزه در بهینه‌یابی سازه‌ها جایگاه مناسبی داشته و به عنوان یکی از روش‌های فرالبتکاری در زمینه طراحی بهینه سازه‌ها مورد استفاده قرار می‌گیرد. تاریخچه طولانی GA سبب ارائه مقالات و تحقیقات متعددی برای GA در زمینه‌های مختلف شده است [۲۴-۳۲]. این مسئله سبب بروز ساختارهای متفاوتی در مراحل مختلف بهینه‌یابی براساس GA گردیده است. به همین سبب در این بخش به بررسی ساختارهای مراحل انتخاب، پیوند و جهش پرداخته و سعی شده است تا با ارائه پیشنهاداتی برای هر یک از مراحل مذکور، شیوه

بهینه‌یابی براساس GA جهت کسب جواب مناسب در زمان قابل قبول بهبود یابد. لازم به ذکر است که در توضیحات بخش‌های آتی، به بیان هر قسمت به صورت خاص پرداخته شده و در بررسی‌های موجود شیوه کلی فرآیند GA براساس توضیحات بخش ۱-۲-۲ از فصل دوم در نظر گرفته می‌شود.

### ۱-۱-۲-۳ فرآیند انتخاب

فرآیند انتخاب از رایج‌ترین مراحل در بهینه‌یابی براساس GA می‌باشد. در این فرآیند رشته‌های شایسته از میان جمعیت به عنوان والد انتخاب می‌شوند. هدف از این فرآیند انتخاب بهترین رشته‌ها و تکثیر آن‌ها طی قرارگیری در استخر تولیدمثل می‌باشد. براساس فرآیند انتخاب رشته‌های شایسته شанс بیشتری برای برگزیده شدن به عنوان والد دارند. اما روش‌های انتخاب به گونه‌ای است که براساس آن‌ها احتمال انتخاب رشته‌هایی با شایستگی کمتر نیز وجود دارد. روش‌های متنوعی برای فرآیند انتخاب وجود دارد که در ذیل به شرح مختصر برخی از رایج‌ترین روش‌ها به همراه روش پیشنهادی پرداخته شده است [۳۳-۳۴].

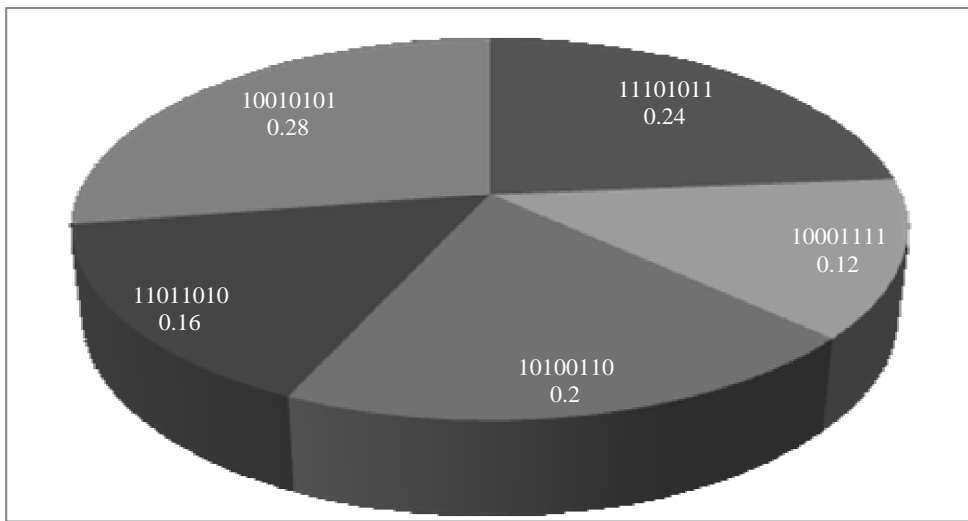
### ۱-۱-۲-۳ روش چرخ‌گردان

یکی از روش‌های متداول در فرآیند انتخاب، روش چرخ‌گردان است. در این روش احتمال حضور رشته نام براساس شایستگی آن طبق رابطه (۱-۳) تعیین می‌شود. بر اساس این رابطه، حاصل جمع احتمال‌های محاسباتی برای کل اعضای جمعیت برابر یک است.

$$P_i = \frac{Fit_i}{\sum_{j=1}^{NP} Fit_j} \quad i = 1, \dots, NP \quad (1-3)$$

در رابطه (۱-۳)  $NP$  تعداد اعضای جمعیت و  $Fit$  مقدار شایستگی هر رشته (طرح) بشرح رابطه (۲-۴) است. حال اگر درصد احتمال بدست آمده برای هر رشته به صورت بخشی از یک چرخ‌گردان نشان

داده شود، شکل (۱-۳) به صورت نمونه حاصل می‌گردد. براساس این شکل مقادیر  $P_i$ ها، قطاع‌های چرخ‌گردان را تشکیل می‌دهند.



شکل (۱-۳) - مدلی از چرخ گردان

در ادامه برای اجرای این روش براساس رابطه (۲-۳) پارامتر احتمال تجمعی برای هر رشته (طرح) تعیین می‌شود.

$$\bar{P}_i = \sum_{j=1}^{MNP} P_j \quad i = 1, \dots, NP \quad (2-3)$$

در رابطه (۲-۳)،  $MNP$  شماره هر عضو از جمیعت جاری (شماره هر رشته) و  $\bar{P}_i$  مقدار پارامتر احتمال تجمعی برای رشته  $i$  می‌باشد.

پس از محاسبه احتمال تجمعی، به تعداد اعضای جمیعت، اعداد تصادفی یکنواخت در محدوده صفر تا یک تولید می‌شود. اگر عدد تصادفی تولیدی کوچکتر یا مساوی با  $\bar{P}_i$  نظیر رشته  $i$  باشد، آن رشته (طرح) برای تکثیر انتخاب می‌شود و در استخر تولیدمثل قرار می‌گیرد.

### ۲-۱-۲-۳ روش رتبه‌بندی

در روش رتبه‌بندی ابتدا اعضای جمیعت براساس مقادیر شایستگی رتبه‌بندی و مرتب می‌شوند. بدین‌منظور رشته‌ای با کمترین شایستگی دارای رتبه یک و بهترین رشته در رتبه  $NP$  (تعداد اعضای

جمعیت) قرار می‌گیرد. سپس انتخاب رشته‌ها (طرح‌ها) براساس رتبه هر رشته صورت می‌پذیرد.

بنابراین مقدار  $P_i$  در ارتباط با شانس حضور رشته نام بشرح رابطه (۳-۳) محاسبه می‌گردد.

$$P_i = \frac{MNP}{\sum_{j=1}^{NP} j} \quad i = 1, \dots, NP \quad (3-3)$$

در ادامه همانند روش چرخ‌گردان مقادیر تجمعی  $\bar{P}_i$  طبق رابطه (۲-۳) تعیین و سپس با تولید اعداد تصادفی یکنواخت در محدوده صفر تا یک و مقایسه آن با  $\bar{P}_i$  رشته (طرح) منتخب مشخص و در استخر تولیدمثل قرار می‌گیرد.

همان‌طور که مشاهده می‌شود، تفاوت روش رتبه‌بندی با روش چرخ‌گردان در شیوه محاسبه احتمال حضور هر رشته (طرح) می‌باشد.

### ۳-۱-۲-۳ روش رقابتی

در روش رقابتی، زیرمجموعه کوچکی از رشته‌های جمعیت حاضر به صورت تصادفی انتخاب شده و به رقابت می‌پردازند. معیار رقابت، میزان شایستگی هر رشته (طرح) است. سرانجام در این رقابت یکی از رشته‌ها به پیروزی رسیده و به عنوان والد برگزیده و در استخر تولیدمثل قرار می‌گیرد. این فرآیند برای انتخاب تمامی والدها به تعداد  $NP$  تکرار می‌شود. تعداد رشته‌ها در هر زیرمجموعه به تعداد اعضای جمعیت بستگی داشته و با عنوان سایز رقابت توسط کاربر مقداردهی می‌شود. اما عموماً دو یا سه رشته برای رقابت انتخاب می‌شوند [۵۸].

### ۴-۱-۲-۳ روش پیشنهادی

با بررسی روش‌های مختلف فرآیند انتخاب، مشاهده گردید که در برخی موارد ممکن است متناسب با شیوه هر روش، بهترین رشته از نسلی به نسل بعدی منتقل نشود. این مهم سبب کاهش نمره شایستگی نسل بعدی نسبت به نسل پیشین خواهد شد. هر چند احتمال این مسئله کم می‌باشد،

اما در بررسی‌های انجام شده حذف بهترین رشته در برخی از نسل‌ها مشاهده شده است. البته استفاده از مفهوم شایسته سالاری در ترکیب با روش‌های انتخاب، این مشکل را برطرف می‌سازد. اما شیوه هیچ یک از روش‌های مذکور، براساس انتقال بهترین رشته پی‌ریزی نشده است. به همین سبب روش پیشنهادی برای فرآیند انتخاب براساس تکثیر بهترین رشته ارائه شده است. برای این منظور ابتدا جمعیت حاضر براساس شایستگی مرتب می‌شود. طوری که بهترین رشته به عنوان اولین عضو جمعیت و رشته‌ای با کمترین شایستگی در جایگاه  $NP$  قرار گیرد. سپس تعداد مشخصی از رشته‌های جمعیت حاضر که مشتمل بر بهترین‌ها می‌باشند (رشته‌های مجموعه منتخب)، در استخر تولید مثل قرار گرفته و مابقی اعضای جمعیت حذف می‌شوند. برای تکمیل جمعیت والدین در استخر تولید مثل، رشته‌های جدیدی با افزودن و کسر عدد یک به مقدار رمزگشایی شده برخی از زیررشته‌های بهترین رشته (نخستین رشته) تولید می‌شود. انتخاب زیررشته‌های بهترین رشته به صورت تصادفی صورت می‌پذیرد. در صورت نیاز برای تکمیل جمعیت والدین، می‌توان از رشته دوم نیز در عملیاتی مشابه رشته اول، استفاده نمود. تعداد رشته‌های مجموعه منتخب و زیررشته‌های انتخاب برای اعمال تغییرات، از عوامل مهم در روش پیشنهادی می‌باشد که توسط کاربر در ابتدای فرآیند بهینه‌یابی مشخص می‌شود. لازم به ذکر است که می‌توان در روش پیشنهادی، تمامی زیررشته‌های بهترین رشته را برای تکمیل جمعیت والدین، در معرض تغییرات قرار داد. در این شرایط تعداد اعضای مجموعه منتخب و بالطبع مقدار  $NP$  نیز براساس تعداد متغیرهای طراحی مسئله، مقداردهی می‌شود [۵۹].

### ۱-۲-۳-۵ بررسی روش‌های انتخاب

همان‌طور که پیشتر بیان شد، برای بررسی روش‌های مختلف فرآیند انتخاب از مسائل طراحی بهینه سازه‌ها استفاده شده است. برای این منظور دو مثال در زمینه بهینه‌یابی سطح مقطع<sup>۱</sup> و

<sup>۱</sup>. Sizing

توپولوژی<sup>۱</sup> سازه‌های خرپایی در نظر گرفته شده است. خرپایی مستوی ده میله‌ای و خرپایی فضایی ۲۵

میله‌ای مثال‌های برگزیده برای بررسی کارآیی روش‌های مختلف انتخاب و روش پیشنهادی است.

شرح مفروضات مسائل خرپایی ۱۰ میله‌ای و ۲۵ میله‌ای در پیوست الف به ترتیب بخش الف-۲ و

الف-۳ برای اجرای فرآیند بهینه‌یابی سطح مقطع و توپولوژی ارائه شده است. در بررسی‌های انجام

شده، سعی گردیده تا شرایط یکسانی برای روش‌های مختلف انتخاب، فراهم شود. از سوی دیگر مفهوم

نخبه‌گرایی (شايسته سالاري) نيز برای روش‌های چرخ‌گردان، رتبه‌بندی و رقابتی منظور شده است.

بدین ترتیب قضاوتی عادلانه بین روش پیشنهادی و سایر روش‌ها صورت می‌پذیرد.

نتایج حاکی از آن است که تمامی روش‌های مذکور فضای طراحی را با موفقیت جستجو نموده

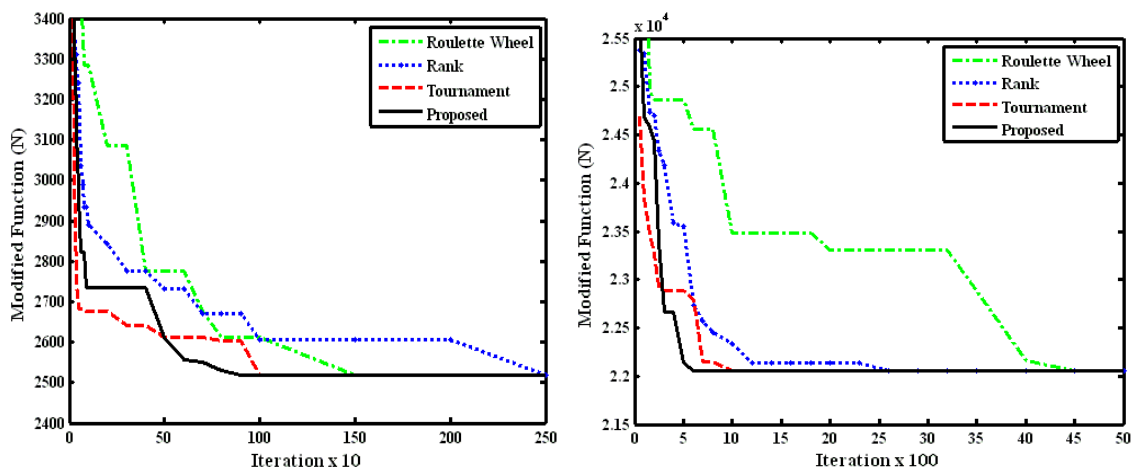
و به طرح بهینه دست یافته‌اند و تنها تفاوت آن‌ها در سرعت رسیدن به طرح بهینه می‌باشد. اشکال

(۲-۳) و (۳-۳) سیر تکاملی فرآیند بهینه‌یابی توسط روش‌های مختلف انتخاب را برای مثال‌های

مذکور نشان می‌دهد. لازم به ذکر است که در رسم نمودارهای همگرایی، اجراهای متوالی فرآیند

بهینه‌یابی برای هر مثال انجام شده و موفق‌ترین اجرا (کسب طرح بهینه) که دارای بهترین سیر

همگرایی می‌باشد، به عنوان سیر همگرایی روش مربوطه انتخاب شده است.



شکل (۳-۳) - سیر فرآیند بهینه‌یابی توسط روش‌های مختلف انتخاب برای خرپایی فضایی ۱۰ میله‌ای های مستوی ۲۵ میله‌ای

<sup>1</sup>. Topology

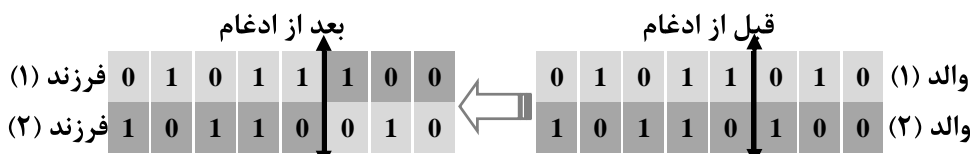
همان‌طور که در اشکال (۲-۳) و (۳-۳) مشاهده می‌شود، روش رتبه‌بندی به آهستگی همگرا شده و برای رسیدن به نقطه بهینه نیازمند تعداد نسل‌سازی بیشتری نسبت به سایر روش‌ها است. بنابراین این روش برای مسائل بزرگ توصیه نمی‌شود. روش چرخ‌گردان نیز متناسب با شیوه انتخاب در جهت پرورش بیش از حد مفاهیم اصل تنوع گام برداشته و این مهم سبب تأثیر فراوان پارامترهای تصادفی در روند انتخاب والدین و در نتیجه فرآیند بهینه‌یابی می‌شود. به همین سبب در فرآیند بهینه‌یابی براساس GA با روش انتخاب چرخ‌گردان، ماهیت تصادفی بر عملیات جستجوی فضای طراحی حاکم می‌شود. بنابراین استفاده از این روش نیز در مسائل با فضای طراحی پیچده و بزرگ توصیه نمی‌شود. روش پیشنهادی و روش مسابقه‌ای دارای سرعت همگرایی بهتری نسبت به سایر روش‌های انتخاب می‌باشدند. روش پیشنهادی آهنگ پایدار و ثابتی در نیل به نقطه کمینه داشته و با تکثیر طرح‌هایی اطراف بهترین رشته، مفهوم اصل تشديد را در سیر همگرایی براساس GA کنترل می‌نماید. الگوریتم ژنتیک از جمله الگوریتم‌هایی با راهکارهای قدرتمند در پوشش مفاهیم اصل تنوع می‌باشد. به همین سبب روش پیشنهادی با ایجاد توازنی منطقی بین اصول تنوع و تشديد، سبب افزایش کارآیی GA در نیل به نقطه بهینه می‌شود. در هر صورت روش‌های رقابتی و روش پیشنهادی برای مسائل بهینه‌یابی با فضای بزرگ و پیچیده مناسب می‌باشد.

## ۲-۱-۲-۳ عملگر پیوند

عملگر پیوند (ادغام) از جمله مرسوم‌ترین اپراتورهای GA است. این عملگر عموماً نیازمند دو رشته جهت اعمال فرآیند پیوند می‌باشد. رشته‌های منتخب براساس نرخ پیوند برگزیده و با یکدیگر ترکیب می‌شوند. در این بخش به بررسی برخی از رایج‌ترین شیوه‌های پیوند به همراه حالت پیشنهادی پرداخته شده و در نهایت براساس نمودارهای سیر همگرایی، ارزیابی جامعی برای شیوه‌های پیوند ارائه شده است [۳۴-۳۳].

### ۱-۲-۱-۳ پیوند تک نقطه‌ای

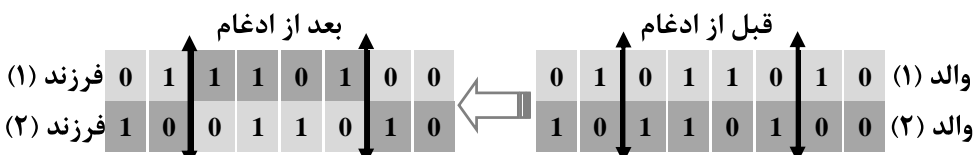
در پیوند تک نقطه‌ای پس از انتخاب والدین براساس نرخ پیوند از استخر تولیدمثل، مکانی به صورت تصادفی در طول رشته‌های والدین انتخاب می‌شود. سپس بیت‌های بعد از این مکان طی فرآیند ادغام، بین دو رشته جابجا می‌شوند. شکل (۴-۳) به صورت شماتیک، فرآیند پیوند تک نقطه‌ای را نشان می‌دهد.



شکل (۴-۳) - شیوه پیوند تک نقطه‌ای

### ۱-۲-۲-۳ پیوند دونقطه‌ای

پیوند دو نقطه‌ای تقریباً مشابه پیوند تک نقطه‌ای می‌باشد. با این تفاوت که در پیوند دو نقطه‌ای پس از مشخص شدن والدین، دو مکان به صورت تصادفی در طول رشته‌ها انتخاب می‌شود. سپس بیت‌های بین این دو نقطه بین رشته‌های والدین جابجا می‌شوند. شکل (۵-۳) شیوه پیوند دو نقطه‌ای را به صورت شماتیک نشان می‌دهد.



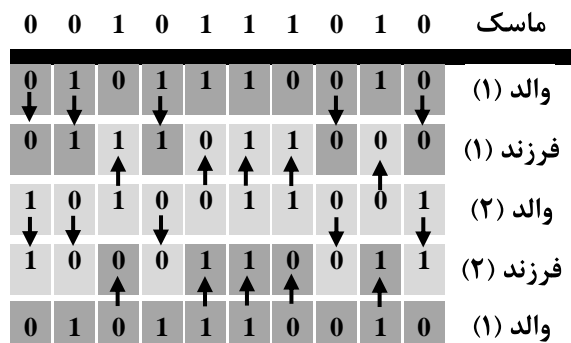
شکل (۵-۳) - شیوه پیوند دو نقطه‌ای

### ۱-۲-۳-۳ پیوند یکنواخت

در این روش هر بیت از رشته‌های فرزندان، براساس یک احتمال پنجاه درصدی از والدها یک انتخاب شده و شکل می‌گیرد. برای این منظور از یک الگوی رشته‌ای به نام ماسک<sup>۱</sup> استفاده می‌شود. طول رشته ماسک برابر طول هر رشته از جمعیت بوده و بیت‌های آن به صورت تصادفی تولید

<sup>۱</sup>. Mask

می‌شوند. برای اجرای پیوند یکنواخت، بیت‌های فرزندان براساس مقادیر هم‌ارز در رشته ماسک و والدین تشکیل می‌شود. بدین ترتیب هنگامی که در ماسک مقدار بیت هم ارز صفر باشد، بیت از والد اول و اگر مقدار یک باشد، بیت از والد دوم کپی می‌شود. در شکل (۶-۳) شیوه پیوند یکنواخت قابل مشاهده است.



شکل (۶-۳) - شیوه پیوند یکنواخت

### ۱-۲-۴-۲-۱-۲-۳ اپراتور معکوس‌سازی<sup>۱</sup>

عملگر معکوس‌سازی از جمله اپراتورهایی است که در برخی مواقع جایگزین عملگر پیوند در فرآیند بهینه‌یابی براساس GA می‌شود. در این روش، ابتدا یک رشته براساس نرخ معکوس‌سازی برگزیده و سپس دو نقطه در طول رشته منتخب مشخص می‌شود. در نهایت بیت‌های مابین این دو نقطه در رشته منتخب معکوس خواهد شد. شکل (۷-۳) شیوه اپراتور معکوس‌سازی را نمایش می‌دهد.



شکل (۷-۳) - شیوه اپراتور معکوس‌سازی

### ۲-۱-۲-۳-۵-۲-۱-۲-۳ اپراتور حذف و تولید مجدد<sup>۲</sup>

اپراتور حذف و تولید مجدد نیز مشابه عملگر معکوس‌سازی بوده و در برخی مواقع به جای اپراتور پیوند مورد استفاده قرار می‌گیرد. در این روش پس از مشخص شدن رشته منتخب براساس نرخ

<sup>1</sup>. Inversion

<sup>2</sup>. Deletion and Regeneration

عملگر، دو نقطه در طول رشته تعیین می‌شود. سپس بیت‌های بین دو نقطه حذف و مجددً به صورت تصادفی تولید می‌شوند. شکل (۸-۳) شیوه اپراتور حذف و تولید مجدد را نمایش می‌دهد.



شکل (۸-۳) - شیوه اپراتور حذف و تولید مجدد

### ۶-۱-۲-۳ روش پیشنهادی

حالت پیشنهادی برای عملگر پیوند براساس تکامل و بهبود عملکرد روش پیوند یکنواخت پریزی شده است. برای این منظور ابتدا رشته‌های والدین براساس نرخ پیوند انتخاب می‌شوند. سپس رشته ماسک همانند پیوند یکنواخت تولید می‌شود. در گام بعدی برای هر بیت عددی تصادفی تولید و با مقدار حاصل از رابطه (۴-۳) مقایسه می‌شود. در صورتی که عدد تصادفی تولید شده از مقدار رابطه (۴-۳) بیشتر باشد، بیت‌های فرزندان براساس الگوری ماسک و مشابه روش پیوند یکنواخت انتخاب می‌شوند. اما در حالی که عدد تصادفی تولیدی از مقدار رابطه (۴-۳) کمتر باشد، بیت رشته‌های فرزندان از والد شایسته‌تر انتخاب می‌شوند.

$$P_{Cu} = P_{Cu}^{Min} + (P_{Cu}^{Max} - P_{Cu}^{Min}) \frac{iter}{iter_{Max}} \quad (4-3)$$

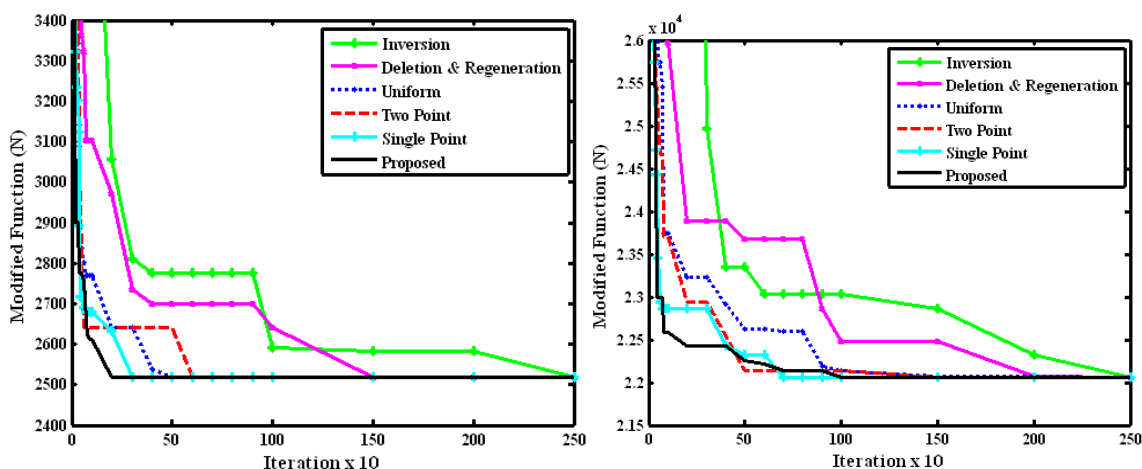
در رابطه (۴-۳)،  $P_{Cu}$  مقدار احتمال برای تخصیص بیت والد شایسته به فرزندان می‌باشد. مقادیر  $P_{Cu}^{Min}$  و  $P_{Cu}^{Max}$  نیز به ترتیب حداقل و حداقل مقدار مربوطه بوده که توسط کاربر مشخص می‌شود. و  $iter_{Max}$  نیز دلالت بر شماره نسل حاضر و تعداد کل نسل‌سازی در فرآیند بهینه‌یابی دارند.

### ۷-۱-۲-۳ بررسی روش‌های عملگر پیوند

برای بررسی روش‌های مختلف اپراتور پیوند نیز همانند روش‌های مختلف انتخاب، از مسائل طراحی بهینه سازه‌ها در زمینه بهینه‌یابی سطح مقطع و توپولوژی استفاده شده است. خرپایی مستوی ۱۰ میله‌ای و خرپایی فضایی ۲۵ میله‌ای مثال‌های منتخب برای بررسی کارآیی روش‌های مختلف

عملگر پیوند و حالت پیشنهادی است. شرح مفروضات این مسائل برای اجرای فرآیند بهینه‌یابی سطح مقطع و توپولوژی در پیوست الف، بخش الف-۲ و الف-۳ ارائه شده است. در بررسی‌های انجام شده، سعی گردیده تا شرایط یکسانی برای حالات مختلف فراهم شود. بدین ترتیب قضاوتی عادلانه بین روش پیشنهادی و سایر روش‌ها صورت می‌پذیرد.

نتایج حاکی از آن است که تمامی روش‌های مذکور فضای طراحی را با موفقیت جستجو نموده و به طرح بهینه دست یافته‌اند و تنها تفاوت آن‌ها در سرعت رسیدن به طرح بهینه می‌باشد. شکل (۹-۳) و (۱۰-۳) سیر تکاملی فرآیند بهینه‌یابی توسط شیوه‌های مختلف پیوند را برای مثال‌های موردنظر نشان می‌دهد. لازم به ذکر است که در رسم نمودارهای همگرایی، اجراهای متوالی فرآیند بهینه‌یابی برای هر مثال انجام شده و موفق‌ترین اجرا (کسب طرح بهینه) که دارای بهترین سیر همگرایی می‌باشد، به عنوان سیر همگرایی روش مربوطه برگزیده شده است.



شکل (۹-۳) - سیر فرآیند بهینه‌یابی توسط شیوه‌های مختلف پیوند برای خرپای فضایی ۲۵ میله‌ای

همان‌طور که در اشکال (۹-۳) و (۱۰-۳) مشاهده می‌شود، عملگر معکوس‌سازی روند بهینه‌یابی را با کیفیت مناسبی طی نکرده است. علت این امر را می‌توان در شیوه تکامل جمعیت فرزندان براساس روش مذکور دانست. به بیان دیگر از آنجا که در این روش بیت‌های بین دو نقطه قطع<sup>۱</sup> معکوس

<sup>۱</sup>. Cross Site

می‌شوند، شیوه تکامل جمعیت منتخب، ماهیتی تصادفی یافته و ممکن است که رشته‌های مستعد حاصل از فرآیند بهینه‌یابی، شایستگی خود را از دست بدهند. بنابراین در این اپراتور ارزش رشته والد تأثیر اندکی در رشته فرزند دارد و مفید بودن آن نقش کمی در رشته فرزند ایفا می‌نماید.

روش حذف و تولید مجدد، از روش معکوس‌سازی بهتر عمل نموده است. این مطلب در اشکال (۹-۳) و (۱۰-۳) قابل مشاهده است. اما با این وجود، این روش نیز همانند روش معکوس‌سازی روند نیل به نقطه بهینه را به خوبی طی نکرده است. به بیان دیگر از آن جا که این روش در شیوه تکامل خود از یک ماهیت تصادفی برای تولید بیت‌های بین دو نقطه قطع استفاده می‌نماید، فرآیند بهینه‌یابی را به سمت جستجوی تصادفی حرکت می‌دهد. از دیگر دلایل ناکامی این روش نیز می‌توان به تأثیر اندک شایستگی رشته والد بر روی رشته فرزند اشاره نمود که این مسئله نیز همانند اپراتور معکوس‌سازی سبب کندی فرآیند بهینه‌یابی می‌شود.

روش‌های پیوند یکنواخت، دو نقطه‌ای و تک نقطه‌ای از دو اپراتور فوق بهتر عمل کرده و تقریباً همگام با یکدیگر سیر همگرایی را طی نموده‌اند. علت موفقیت این روش‌ها را می‌توان در تأثیر مستقیم بیت‌های رشته والدین در رشته فرزندان دانست. به بیان دیگر در روش‌های پیوند یکنواخت، دو نقطه‌ای و تک نقطه‌ای شایستگی رشته‌های والدین مؤثر بوده و طی فرآیند پیوند، این شایستگی به واسطه بیت‌های هر رشته به فرزندان منتقل می‌شود. از سوی دیگر علت موفقیت روش پیوند تک نقطه‌ای نسبت به پیوند دو نقطه‌ای و یکنواخت را می‌توان در شیوه روش با اعمال اغتشاش و تغییرات کمتر در رشته‌های والدین برای تولید رشته فرزندان دانست. به عبارت دیگر در روش پیوند تک نقطه‌ای، با ایجاد یک نقطه قطع، اغتشاش و تغییرات اندکی در رشته‌های والدین برای تولید رشته‌های فرزندان رخ می‌دهد. به همین سبب این روش، سیر همگرایی را بهتر از روش پیوند دو نقطه‌ای و یکنواخت طی نموده است. پیوند دو نقطه‌ای با اغتشاشات کمتر نسبت به پیوند یکنواخت، بعد از روش پیوند تک نقطه‌ای سیر همگرایی را به خوبی طی نموده است. اما در روش پیوند یکنواخت اغتشاشات و تغییرات در رشته‌های والدین بسیار زیاد بوده و این مسئله در برخی مواقع سبب بی‌نظمی در تشکیل

رشته‌های فرزندان و انتقال صفات مناسب به آن‌ها می‌شود. به بیان دیگر از آن جا که در این روش رشته‌های فرزند براساس الگوی ماسک با یک احتمال پنجاه درصدی از والدین انتخاب می‌شوند، اغتشاش و تغییرات در بیت‌های رشته فرزندان بالا بوده و سبب دگرگونی بسیاری در رشته فرزندان می‌شوند. همین مسئله سبب می‌شود که سیر تکاملی بهینه‌یابی با سرعت کمتری نسبت به روش پیوند دونقطه‌ای و تک نقطه‌ای طی شود.

همان‌طور که پیشتر بیان شد، روش پیشنهادی در جهت بهبود عملکرد روش پیوند یکنواخت ارائه شده که میزان موفقیت این مهم با دقت در اشکال (۹-۳) و (۱۰-۳) قابل مشاهده است. براساس روش پیشنهادی میزان اغتشاشات و تغییرات برای روش پیوند یکنواخت کاهش یافته است. بدین منظور با تکمیل فرآیند نسل‌سازی، مقدار  $P_{Cu}$  براساس رابطه (۴-۳) به تدریج افزایش یافته و بالطبع احتمال تشکیل فرزندان براساس والد شایسته‌تر نیز همگام با مقدار  $P_{Cu}$  افزایش می‌یابد. این مهم سبب تولید رشته‌هایی در همسایگی والد شایسته‌تر خواهد شد. بنابراین از یک سو میزان اغتشاشات و تغییرات کاهش یافته و نظمی تقریبی برای تولید فرزندان حاصل می‌گردد و از سوی دیگر مفاهیم اصل تشدید به تدریج در سیر همگرایی براساس GA ظاهر می‌شود. بدین ترتیب در سیر فرآیند بهینه‌یابی احتمال جستجو اطراف طرح‌های مستعد به تدریج افزایش می‌یابد. این دلایل سبب کارآمدی روش پیشنهادی برای اپراتور پیوند در فرآیند بهینه‌یابی براساس GA می‌شود.

### ۳-۱-۲-۳ عملگر جهش

از دیگر مراحل رایج در عملیات GA که تکامل جمعیت برای نسل بعد را به دنبال خواهد داشت، استفاده از اپراتور جهش است. هدف از بکارگیری اپراتور جهش، کاوش بهتر فضای جستجو و ایجاد پراکندگی بیشتر در محدوده فضای طراحی است. در غیاب عملکرد اپراتور جهش در صورتی که فقط از اپراتور پیوند استفاده شود، پس از طی چند نسل، رشته برتر به تعداد اعضای جمعیت تکثیر یافته و فرآیند پیوند نمی‌تواند تغییری در جمعیت فرزندان ایجاد نماید. بنابراین استفاده از اپراتور

جهش تأثیر بسزایی در کیفیت فرآیند بهینه‌یابی براساس GA دارد. در فرآیند جهش برای کدگذاری دودویی، با تخصیص نرخ جهش ( $P_m$ )، برای تک‌تک بیت‌های فرزندان اعداد تصادفی تولید می‌شود. در صورتی که این اعداد از نرخ جهش کوچکتر باشد، مقدار بیت مربوطه از صفر به یک یا بالعکس تبدیل می‌شود. مقدار مناسب نرخ جهش در کیفیت نتایج تأثیر بسزایی می‌گذارد. نرخ جهش بالا سبب می‌شود که نظم جمعیت فرزندان بهم خورده و عملیات GA به سمت روند کاوش تصادفی سوق داده شود. در حالی که نرخ جهش پایین سبب می‌شود، فضای طراحی به خوبی کاوش نشود. در این راستا شیوه‌های متفاوتی برای اعمال فرآیند جهش و چگونگی تنظیم نرخ جهش ارائه شده است که در زیر ساختارهایی از رایج‌ترین شیوه‌های موجود، مورد بررسی و ارزیابی قرار گرفته است [۳۳-۳۴].

### **<sup>۱</sup> ۱-۲-۳-۱-۳ جهش با نرخ ثابت<sup>۱</sup>**

رایج‌ترین حالت ممکن در اعمال عملگر جهش، استفاده از نرخ ثابت برای کل فرآیند بهینه‌یابی در جهش است که متناسب با فضای طراحی و قیود مسئله و حس مهندسی مقداردهی می‌شود. بدین منظور در ابتدای فرآیند بهینه‌یابی عددی بین صفر تا یک برای مقدار  $P_m$  منظور می‌شود. این مقدار در کل فرآیند بهینه‌یابی ثابت است. مقادیر بیت‌های اعضای جمعیت با تولید اعداد تصادفی در محدوده صفر تا یک و مقایسه با مقدار  $P_m$  (در صورت کوچکتر بودن عدد تصادفی بیت مربوطه) تغییر می‌نمایند.

### **<sup>۲</sup> ۱-۲-۳-۲-۲ جهش با نرخ صعودی<sup>۲</sup>**

در این حالت از عملگر جهش، فرآیند تقریباً مشابه جهش با نرخ ثابت است. با این تفاوت که نرخ جهش به صورت صعودی در کل فرآیند بهینه‌یابی تغییر می‌نماید. به عبارت دیگر در ابتدا احتمال

---

<sup>۱</sup>. Uniform

<sup>۲</sup>. Increased

کمی برای نرخ جهش منظور شده و در طی عملیات بهینه‌یابی، مقدار نرخ جهش به صورت خطی متناسب با نسبت شماره نسل به تعداد کل نسل‌ها، براساس رابطه (۵-۳) افزایش می‌یابد.

$$P_m = P_m^{Min} + (P_m^{Max} - P_m^{Min}) \frac{iter}{iter_{Max}} \quad (5-3)$$

در رابطه (۵-۳)،  $P_m^{Min}$  و  $P_m^{Max}$  به ترتیب مقادیر حداکثر و حداقل نرخ جهش می‌باشد که در ابتدای فرآیند بهینه‌یابی توسط کاربر مقداردهی می‌شوند.

### ۱-۲-۳-۳-۱-۲-۳ جهش با نرخ نزولی<sup>۱</sup>

در این حالت از عملگر جهش، نرخ جهش به صورت کاهشی در کل فرآیند بهینه‌یابی تغییر می‌نماید. به عبارت دیگر در ابتدا احتمال جهش برای بیت‌های اعضای جمعیت بالا بوده و در طی عملیات بهینه‌یابی، مقدار نرخ جهش به صورت خطی متناسب با نسبت شماره نسل به تعداد کل نسل‌ها براساس رابطه (۶-۳) کاهش می‌یابد [۶۰].

$$P_m = P_m^{Max} - (P_m^{Max} - P_m^{Min}) \frac{iter}{iter_{Max}} \quad (6-3)$$

### ۱-۲-۳-۴-۳-۱-۲-۳ حالت پیشنهادی جهش با نرخ ثابت<sup>۲</sup>

در این رساله برای بهبود عملکرد جهش در فرآیند بهینه‌یابی براساس GA، یک شیوه پویا برای افزایش کارآیی عملگر جهش پیشنهاد شده است. بدین‌منظور در ابتدا تعداد کل نسل‌سازی‌های فرآیند بهینه‌یابی به تعداد بیت‌های هر زیررشته (متغیر طراحی سطح‌قطع در مسائل طراحی بهینه سازه‌ها) تقسیم و بازه‌های فرآیند بهینه‌یابی مشخص می‌شوند. سپس عملگر جهش معمول بر روی تمامی بیت‌های هر رشته اعمال می‌شود. در گام بعدی در طی عملیات بهینه‌یابی و رسیدن به انتهای بازه اول، نخستین بیت سمت چپ هر زیررشته (متغیر طراحی سطح‌قطع) ثبت شده و نرخ جهش برای

<sup>1</sup>. Decreased

<sup>2</sup>. Proposal-Uniform

آن برابر صفر منظور می‌شود و روند بهینه‌یابی تا پایان بازه دوم از تعداد کل نسل‌سازی ادامه می‌یابد. پس از آن نرخ جهش دو بیت سمت چپ برابر صفر منظور شده و این روند تا آخرین بیت هر زیرشته ادامه می‌یابد. در این حالت نرخ جهش برای دیگر بیت‌های هر زیرشته ثابت بوده و تنها برای بیت‌های تثبیت شده برابر صفر می‌باشد.

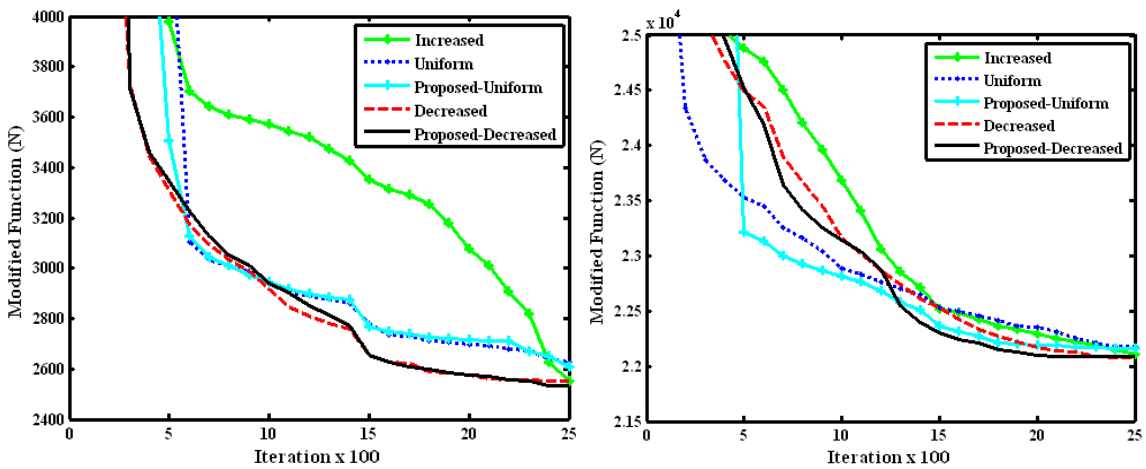
### ۱-۲-۳-۵-۳-۱-۲-۳ حالت پیشنهادی جهش با نرخ نزولی<sup>۱</sup>

در این حالت، ساختار عملگر جهش تقریباً مشابه حالت قبل می‌باشد. با این تفاوت که مقدار نرخ جهش در طی فرآیند بهینه‌یابی برای بیت‌های فعال، براساس رابطه (۳-۶) کاهش می‌یابد.

### ۱-۲-۳-۶ بررسی حالات مختلف عملگر جهش

برای بررسی حالات مختلف اپراتور جهش، همانند عملگر ادغام از مثال‌های بهینه‌یابی سطح مقطع و توپولوژی سازه‌ها استفاده شده است. بدین‌منظور خرپایی مستوی ۱۰ میله‌ای و خرپایی فضایی ۲۵ میله‌ای بشرح مفروضات پیوست الف، بخش‌های الف-۲ و الف-۳ در نظر گرفته شده است. در بررسی‌های انجام شده شرایط یکسانی برای تمامی حالات منظور و سعی شده است تا ارزیابی کارآمدی برای عملکرد حالات مختلف ارائه شود. برای این منظور برای هر حالت در هر مثال ۵۰ بار فرآیند بهینه‌یابی اجرا و سیر همگرایی تعیین می‌شود. سپس میانگین سیر همگرایی ۵۰ اجرا به عنوان نماینده حالت مربوطه برای مثال مورد نظر لحاظ خواهد شد. بدین‌ترتیب برای هر مثال متناسب با تعداد حالات موجود، ۲۰۰ اجرای فرآیند بهینه‌یابی صورت پذیرفته است. این شیوه سبب می‌شود تا تأثیر پارامترهای تصادفی در روند بهینه‌یابی براساس GA، کمرنگ شده و قضاوی عادلانه‌تر برای کارآیی حالات موجود ارائه شود. اشکال (۱۱-۳) و (۱۲-۳) سیر همگرایی برای حالات مختلف در هر مثال را براساس شیوه مذکور نشان می‌دهد.

<sup>۱</sup>. Proposal-Decreased



شکل (۱۱-۳) - سیر فرآیند بهینه‌یابی توسط روش‌های مختلف جهش برای خرپای فضایی ۱۰ میله‌ای

همان‌طور که در اشکال (۱۱-۳) و (۱۲-۳) مشاهده می‌شود، جهش با نرخ ثابت دارای سیر همگرایی نسبتاً مناسبی می‌باشد. اما این حالت دارای مشکلات بخصوصی از جمله انتخاب مقدار نرخ جهش بوده که برای مقداردهی مناسب این نرخ نیازمند عملیات سعی و خطأ است. بنابراین علی‌رغم کیفیت نسبتاً مناسب سیر همگرایی جهش با نرخ ثابت، پیشنهاد می‌شود از حالات جهش با نرخ پویا استفاده شود. در این راستا جهش با نرخ صعودی، کارآیی مناسبی در بهینه‌یابی سازه‌های موجود نداشته است. بنابراین استفاده از این حالت توصیه نمی‌شود. اما جهش با نرخ نزولی عملکرد مناسبی در فرآیند بهینه‌یابی براساس GA دارد. این مهم با دقت در اشکال (۱۱-۳) و (۱۲-۳) قابل مشاهده است. بنابراین می‌توان برای پرهیز از عملیات سعی و خطأ جهت یافتن مقدار مناسب نرخ جهش در حالت جهش با نرخ ثابت، از حالت پویا و فعال به صورت نزولی برای نرخ جهش استفاده نمود.

حالات پیشنهادی نیز در جهت بهبود عملکرد اپراتور جهش ارائه شده است. همان‌طور که در اشکال (۱۱-۳) و (۱۲-۳) مشاهده می‌شود، هر یک از حالات پیشنهادی سبب بهبود عملکرد حالت مشابه در جهش معمولی شده است. به بیان دیگر حالت پیشنهادی با نرخ ثابت، کارآیی جهش با نرخ ثابت را بهبود بخشیده و حالت پیشنهادی با نرخ نزولی، سبب بهبود عملکرد جهش با نرخ نزولی شده که در شکل (۱۱-۳) واضح‌تر می‌باشد. دلیل این امر را می‌توان در شیوه روش پیشنهادی با تثبیت

بیت‌های ابتدایی هر زیرشته در طی فرآیند بهینه‌یابی دانست. به عبارت دیگر با تثبیت بیت‌های ابتدایی هر زیرشته در طی عملیات بهینه‌یابی، بازه تغییرات متغیر طراحی مربوطه به آهستگی کوچک می‌شود. این شیوه سبب می‌شود که در اواخر فرآیند بهینه‌یابی بواسطه اپراتور جهش، هر متغیر طراحی فقط در همسایگی خود تغییر نماید. این مسئله گامی مؤثر در تبیین اصل تشدید برای شیوه بهینه‌یابی براساس GA می‌باشد که در اواخر فرآیند بهینه‌یابی اتفاق می‌افتد. از سوی دیگر با توجه به آن که مسئله مذکور در اواخر فرآیند بهینه‌یابی رخ می‌دهد، احتمال کسب بهینه محلی و یا گرفتاری در نقطه بهینه محلی اندک است. چراکه در اوایل فرآیند بهینه‌یابی تمامی بیت‌های هر زیرشته در معرض تغییر بواسطه عملگر جهش قرار دارند و بدین‌سان مفاهیم اصل تنوع در ابتدای فرآیند بهینه‌یابی وجود دارد. به بیان دیگر شیوه پیشنهادی برای حالات جهش با نرخ ثابت و جهش با نرخ نزولی، سبب تنظیم جستجوی محلی پس از یافتن محدوده طرح بهینه در اواخر فرآیند بهینه‌یابی می‌شود و بدین‌ترتیب توازنی منطقی بین مفاهیم اصول تنوع و تشدید در سیر بهینه‌یابی براساس GA ایجاد می‌نماید.

### ۲-۲-۳ الگوریتم شبیه‌سازی بازپخت

همان‌طور که در بخش ۲-۲-۲ از فصل پیش مشاهده شد، الگوریتم شبیه‌سازی بازپخت (SA) از جمله الگوریتم‌های فرالبتکاری است که با شیوه‌ای کارآمد و متمایل به مفاهیم اصل تشدید، فضای طراحی را جستجو می‌نماید. در فرآیند بهینه‌یابی براساس SA احتمال پذیرش هر طرح یعنی  $P(\Delta\phi)$  که براساس رابطه (۵-۲) محاسبه می‌شود، از ارکان اصلی الگوریتم است. با دقت در رابطه (۵-۲) مشاهده می‌شود که مقدار  $P(\Delta\phi)$  متأثر از سه پارامتر  $\phi$ ،  $T$  و  $k_B$  است. پارامترهای  $\phi$  و  $T$  در طی عملیات بهینه‌یابی براساس شیوه الگوریتم SA بطور پی در پی تغییر کرده و بروزرسانی می‌شوند. اما مقدار پارامتر ثابت بولتزمن عموماً در طی فرآیند بهینه ثابت بوده و توسط کاربر همراه مقادیر اولیه الگوریتم مقداردهی می‌شود. البته لازم به ذکر است که برخی از محققین مقدار این پارامتر را براساس

روابطی به سایر پارامترهای الگوریتم مربوط می‌سازند [۳۵-۳۶]. در هر صورت  $k_B$  با تأثیر بسزایی که در مقدار نهایی احتمال پذیرش هر طرح دارد، عاملی مؤثر در شیوه بهینه‌یابی براساس SA می‌باشد. بنابراین مقدار این پارامتر از اهمیت ویژه‌ای برخودار است. به همین سبب در این بخش به بررسی و ارزیابی پارامتر ثابت بولتزمن بشرح زیر پرداخته شده است.

### ۱-۲-۳ پارامتر ثابت بولتزمن

همان‌طور که پیشتر بیان شد، مقدار پارامتر ثابت بولتزمن، عاملی مهم و تأثیرگذار در فرآیند بهینه‌یابی براساس SA می‌باشد. انتخاب مقدار بزرگ برای  $k_B$  سبب افزایش مقدار  $P(\Delta\phi)$  شده و شیوه جستجوی فضای طراحی را به سمت جستجوی تصادفی سوق می‌دهد. از سوی دیگر انتخاب مقدار کوچک برای  $k_B$  سبب کاهش مقدار  $P(\Delta\phi)$  و افزایش احتمال گرفتاری در بهینه محلی و نیز عدم جستجوی سراسری فضای طراحی می‌شود. به بیان دیگر می‌توان بیان نمود که پارامتر ثابت بولتزمن معیاری برای کنترل مفاهیم اصل تنوع در الگوریتم SA می‌باشد. بدین ترتیب در این رساله برخی از حالات ممکن و رایج برای  $k_B$  بشرح زیر ارائه و مورد بررسی قرار گرفته است. در این راستا سعی شده است تا با ارائه پیشنهاداتی برای شیوه اعمال مقدار  $k_B$  به صورت پویا و فعال در طی فرآیند بهینه‌یابی، کارآیی الگوریتم SA افزایش یابد.

### ۱-۲-۴ مقدار ثابت برای پارامتر $k_B$

در این حالت که به عنوان حالت<sup>۱</sup> معرفی می‌گردد، پارامتر ثابت بولتزمن به صورت مقداری ثابت لحاظ شده است. بدین منظور  $k_B$  برابر مقادیر ثابت  $0/1, 0/2, 0/3, 0/4, 0/5, 0/6, 0/7, 0/8, 0/9$  و ۱ در اجراهای متفاوت الگوریتم SA در نظر گرفته شده است. برای اجتناب از تأثیر پارامترهای تصادفی در روند بهینه‌یابی، به ازای هر مقدار پارامتر ثابت بولتزمن، ۱۰ اجرای مستقل برای فرآیند

---

<sup>۱</sup>. Case 1

بهینه‌یابی صورت گرفته است. سپس میانگین سیر همگرایی برای هر یک از مقادیر  $k_B$  محاسبه و ارزیابی شده است. در ادامه میانگین مقادیر سیر همگرایی برای تمامی مقادیر ثابت  $k_B$  تعیین (میانگین ۱۰۰ اجرای فرآیند بهینه‌یابی) و به صورت نماینده سیر همگرایی مربوط به پارامتر ثابت بولتزمن با مقدار ثابت ارائه شده است.

### ۲-۱-۲-۳ حالت صعودی برای پارامتر $k_B$

در این حالت که با عنوان حالت <sup>۱</sup> مشخص می‌شود، مقدار پارامتر ثابت بولتزمن به صورت صعودی در کل فرآیند بهینه‌یابی تغییر می‌نماید. به عبارت دیگر در ابتدا احتمال کمی برای  $k_B$  منظور شده و در طی عملیات بهینه‌یابی، مقدار  $k_B$  به صورت خطی متناسب با نسبت شماره تکرار به تعداد کل تکرارها، براساس رابطه (۷-۳) افزایش می‌یابد.

$$k_B = k_B^{Min} + (k_B^{Max} - k_B^{Min}) \frac{iter}{iter_{Max}} \quad (7-3)$$

در رابطه (۷-۳)،  $k_B^{Min}$  و  $k_B^{Max}$  به ترتیب مقادیر حداکثر و حداقل پارامتر ثابت بولتزمن در عملیات بهینه‌یابی است. این مقادیر به ترتیب برابر یک و ۰/۱ منظور شده است. از سوی دیگر در این حالت نیز برای کاهش تأثیر عوامل تصادفی در روند بهینه‌یابی و مقایسه نتایج، نمودارهای سیر همگرایی از میانگین ۳۰ اجرای مستقل فرآیند بهینه‌یابی حاصل می‌شود.

### ۲-۱-۳-۳ حالت نزولی برای پارامتر $k_B$

این حالت که با عنوان حالت <sup>۲</sup> معرفی شده است، تقریباً مشابه حالت ۲ است؛ با این تفاوت که مقدار پارامتر ثابت بولتزمن در کل فرآیند بهینه‌یابی به صورت نزولی تغییر می‌نماید. به بیان دیگر در انتهای عملیات بهینه‌یابی مقادیر کوچکی برای پارامتر ثابت بولتزمن منظور شده و در طی عملیات

<sup>۱</sup>. Case 2

<sup>۲</sup>. Case 3

بهینه‌یابی، مقدار  $k_B$  به صورت خطی متناسب با نسبت شماره تکرار به تعداد کل تکرارها، براساس رابطه (۸-۳) کاهش می‌یابد.

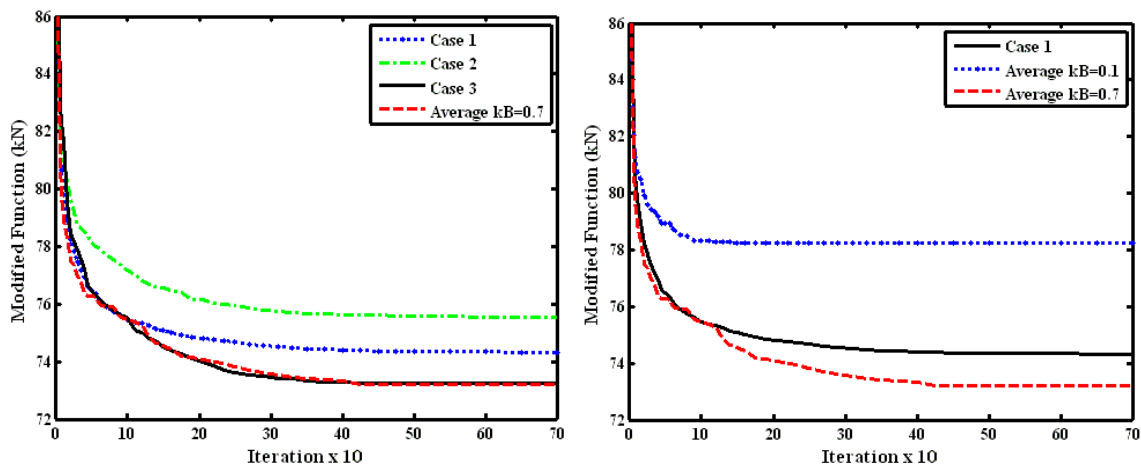
$$k_B = k_B^{Max} - (k_B^{Max} - k_B^{Min}) \frac{iter}{iter_{Max}} \quad (8-3)$$

در رابطه (۸-۳) نیز مشابه رابطه (۷-۳)، مقادیر حداقل و حداکثر پارامتر ثابت بولتزمون برابر ۰/۱ و یک لحاظ شده است. از سوی دیگر در این حالت نیز مشابه حالت ۲، برای کاهش تأثیر عوامل تصادفی در روند بهینه‌یابی، ۳۰ اجرای مستقل فرآیند بهینه‌یابی انجام و سپس میانگین این اجراهای به عنوان سیر همگرایی حالت ۳ معرفی شده است.

#### ۴-۱-۲-۲-۳ بررسی حالات مختلف پارامتر $k_B$

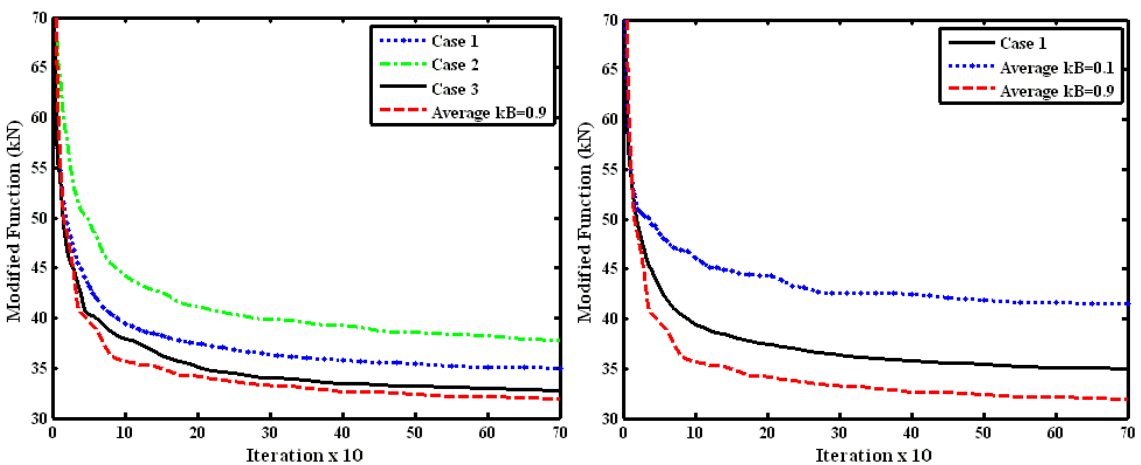
برای بررسی حالات مختلف پارامتر ثابت بولتزمون از مسائل طراحی بهینه سازه‌ها استفاده شده است. برای این منظور دو مثال در زمینه بهینه‌یابی سطح مقطع سازه‌های قابی در نظر گرفته شده است. قاب فولادی پنج طبقه - دو دهانه و قاب فولادی هشت طبقه - یک دهانه، مثال‌های برگزیده جهت بررسی کارآیی حالات مذکور برای  $k_B$  است. شرح مفروضات مسائل قاب فولادی پنج طبقه - دو دهانه در بخش ۳-۵-۱ از فصل حاضر و قاب هشت طبقه - یک دهانه در پیوست الف بخش الف-۴ ارائه شده است. در بررسی‌های انجام شده، سعی گردیده تا شرایط یکسانی برای حالات مختلف فراهم شود. بدین ترتیب قضاوتی عادلانه بین حالات مذکور صورت می‌پذیرد.

شکل (۱۳-۳) سیر تکاملی فرآیند بهینه‌یابی را توسط مقادیر مختلف حالت ۱ در بهترین وضعیت ( $k_B = ۰/۷$ ) و بدترین وضعیت ( $k_B = ۰/۱$ )، به همراه میانگین کلیه مقادیر این حالت (۱۰۰) اجرای مستقل) برای مثال قاب پنج طبقه - دو دهانه نشان می‌دهد. از سوی دیگر در شکل (۱۴-۳) نیز سیر تکاملی فرآیند بهینه‌یابی توسط کلیه حالات به همراه بهترین نتیجه حالت ۱ یعنی  $k_B = ۰/۷$  برای این مثال قابل مشاهده است.



شکل (۱۳-۳) - سیر فرآیند بهینه‌یابی توسط مقادیر شکل (۱۴-۳) - سیر فرآیند بهینه‌یابی توسط حالات مختلف برای قاب پنج طبقه-دو دهانه  
حالت ۱ برای قاب پنج طبقه-دو دهانه

شکل (۱۵-۳) نیز سیر تکاملی فرآیند بهینه‌یابی را توسط حالت ۱ به ازای مقادیر  $0/9$  و  $0/1$  در بهترین و بدترین روند بهینه‌یابی به همراه میانگین کلیه مقادیر حالت مذکور، برای قاب هشت طبقه - یک دهانه را نشان می‌دهد. از سوی دیگر در شکل (۱۶-۳) نیز روند بهینه‌یابی برای این مثال براساس حالات مختلف به همراه بهترین سیر همگرایی حالت ۱ ( $k_B = 0/9$ ) قابل مشاهده است.



شکل (۱۵-۳) - سیر فرآیند بهینه‌یابی توسط  
مقادیر حالت ۱ برای قاب هشت طبقه - یک دهانه

همان‌طور که در نمودارهای اشکال (۱۳-۳) تا (۱۶-۳) مشاهده می‌شود، سیر تکاملی فرآیند بهینه‌یابی براساس اتخاذ مقداری ثابت، می‌تواند روند مناسبی را ارائه دهد. بنابراین برای اجرای فرآیند بهینه‌یابی براساس SA می‌توان با انتخاب مقداری ثابت برای پارامتر ثابت بولتزمن، فرآیند بهینه‌یابی

را اجرا نمود. اما نکته حائز اهمیت مقدار این پارامتر می‌باشد. به بیان دیگر همان‌طور که در اشکال (۱۳-۳) و (۱۵-۳) مشاهده می‌شود، بهترین سیر تکاملی بهینه‌یابی برای اولین مثال به ازای مقدار  $k_B$  و برای مثال دوم به ازای مقدار  $0/9$  برای پارامتر  $k_B$  حاصل شده است. این مهم بیان‌گر آن است که اتخاذ مقداری ثابت و مناسب برای  $k_B$  به عوامل مختلفی همچون شرایط مسئله، فضای طراحی و ... بستگی دارد. بدین‌ترتیب انتخاب مقدار ثابت و مناسب برای عملکرد قابل قبول مستلزم فرآیند سعی و خطا می‌باشد. در این رساله اعمال حالاتی پویا و فعلی برای پارامتر ثابت بولتزمن جهت افزایش کارآیی الگوریتم SA ارائه شده است. بدین‌منظور حالات ۲ و ۳ با اتخاذ شیوه صعودی و نزولی برای مقدار پارامتر  $k_B$  مورد بررسی قرار گرفته است. همان‌طور که در اشکال (۱۴-۳) و (۱۶-۳) مشاهده می‌شود،  
 حالت ۲ با اعمال مقدار  $k_B$  به صورت صعودی، روند بهینه‌یابی را به خوبی طی نکرده است. لذا این  
 حالت برای پارامتر  $k_B$  در فرآیند بهینه‌یابی براساس الگوریتم SA، توصیه نمی‌شود. از سوی دیگر  
 حالت ۳ با اعمال مقدار  $k_B$  به صورت نزولی، سیر تکاملی فرآیند بهینه‌یابی را به خوبی طی نموده است.  
 این حالت دارای روندی مناسب و تقریباً منطبق بر بهترین عملکرد در حالت ثابت می‌باشد. براساس  
 حالت ۳ با تغییر مقدار  $k_B$  به صورت نزولی، میزان احتمال پذیرش  $P(\Delta\phi)$  هر طرح نیز به طور نزولی  
 در طی فرآیند بهینه‌یابی تغییر می‌نماید. بنابراین در ابتدای فرآیند بهینه‌یابی، احتمال تغییر طرح مبنی  
 بیشتر از انتهای فرآیند بهینه‌یابی است. این مهم سبب می‌شود که مفاهیم اصل تنوع در ابتدای فرآیند  
 بهینه‌یابی افزایش یافته و با گذشت تکرارهای الگوریتم به آهستگی کاهش یابد. بنابراین توصیه  
 می‌شود، به جای انتخاب مقداری ثابت برای پارامتر  $k_B$  که مستلزم عملیات سعی و خطا است، از حالت  
 ۳ استفاده شود.

### ۳-۲-۳ الگوریتم جستجوی ممنوعه

همان‌طور که در بخش ۲-۲-۳ از فصل پیش بیان شد، روش جستجوی ممنوعه (TS) از الگوریتم‌های فرآبتكاری با راهکارهای قدرتمند در اصل تشدييد بوده و همانند الگوریتم SA فضای

طراحی را با تولید طرح‌های کاندید در همسایگی طرح مبنا، جستجو می‌نماید. این روش نیز همانند دیگر الگوریتم‌های فرالبتکاری وابسته به پارامترهای مختلفی در روند بهینه‌یابی می‌باشد که مقادیر این پارامترها تأثیر بسزایی در روند بهینه‌یابی دارد. پارامتر بازه همسایگی ( $nw$ ) از عوامل مهم در چگونگی جستجوی فضای کاوش در الگوریتم TS است. بنابراین در این بخش میزان تأثیر این پارامتر به ازای حالات و مقادیر مختلف مورد ارزیابی قرار گرفته است.

### ۱-۳-۲-۳ پارامتر بازه همسایگی

در روش TS تعداد طرح‌های کاندید براساس مقدار پارامتر بازه همسایگی مشخص می‌شوند. در حالت کلی می‌توان به تعداد  $2nw$  طرح کاندید در اطراف طرح مبنا تولید نمود که این مسئله به شرایط و محدوده متغیر طراحی بستگی دارد. اگر مقدار متغیر طراحی در نزدیکی و یا مرز محدوده مجاز نباشد، می‌توان با اعمال تغییرات در مقدار متغیر طراحی، به تعداد  $2nw$  طرح کاندید تولید نمود [۳۵]. بدین‌ترتیب این پارامتر در بهینه‌یابی براساس TS محدوده جستجو اطراف طرح مبنا را کنترل می‌نماید. لذا می‌بایست مقدار  $nw$  با دقت و حساسیت خاصی انتخاب شود. چراکه این مقدار می‌تواند تأثیر فراوانی بر روی نتایج طرح بهینه و نیز سیر تکاملی فرآیند بهینه‌یابی داشته باشد. بدین‌ترتیب در این رساله برای الگوریتم TS، تأثیر پارامتر بازه همسایگی مورد توجه قرار گرفته است. برای این منظور مقدار  $nw$  در حالات مختلف بشرح زیر ارائه و ارزیابی شده است.

### ۱-۳-۲-۳-۱ مقدار ثابت برای پارامتر $nw$

در این حالت که با عنوان حالت ۱ مشخص می‌شود، پارامتر بازه همسایگی به صورت مقدار ثابت لحاظ شده است. بدین‌منظور در اجراهای متفاوت برای روش TS مقدار  $nw$  برابر مقادیر ثابت ۱٪، ۵٪، ۱۰٪، ۲۰٪، ۳۰٪، ۴۰٪ و ۵۰٪ تعداد اعضای محدوده مجاز متغیرهای طراحی در نظر گرفته شده است. در طراحی بهینه‌یابی سطح مقطع سازه‌ها، محدوده مجاز متغیرهای طراحی براساس لیست

مقاطع منفصل مشخص می‌شوند. بنابراین می‌توان بیان نمود که در حالت ۱ مقدار  $nw$  برابر نسبتی از تعداد اعضای لیست مقاطع ( $Ns$ ) است. در این حالت برای گریز از تأثیر پارامترهای تصادفی در روند بهینه‌یابی، به ازای هر مقدار مشخص از پارامتر بازه همسایگی، ۱۰ اجرای مستقل برای فرآیند بهینه‌یابی صورت گرفته است. سپس میانگین سیر همگرایی برای هر  $nw$  محاسبه و بررسی شده است. در ادامه میانگین مقادیر سیر همگرایی برای تمامی مقادیر ثابت  $nw$  محاسبه و به صورت نماینده سیر همگرایی مربوط به پارامتر بازه همسایگی با مقدار ثابت ارائه می‌شود.

### ۲-۱-۳-۲-۳ حالت صعودی برای پارامتر $nw$

این حالت با عنوان حالت ۲ ارائه شده و براساس آن مقدار پارامتر بازه همسایگی به صورت صعودی در کل فرآیند بهینه‌یابی تغییر می‌نماید. به عبارت دیگر در ابتدا مقدار کمی برای  $nw$  منظور شده و در طی عملیات بهینه‌یابی، مقدار  $nw$  به صورت خطی متناسب با نسبت شماره تکرار به تعداد کل تکرارها، براساس رابطه (۹-۳) افزایش می‌یابد.

$$nw = nw^{Min} + (nw^{Max} - nw^{Min}) \frac{iter}{iter_{Max}} \quad (9-3)$$

در رابطه (۹-۳)، مقادیر  $nw^{Min}$  و  $nw^{Max}$  به ترتیب مقادیر حداقل و حداقل پارامتر بازه همسایگی در عملیات بهینه‌یابی است. این مقادیر برای مقایسه با حالت ۱ به ترتیب برابر حداقل (۵۰٪) و حداقل (۱٪) مقادیر ثابت در حالت ۱ در نظر گرفته شده است. از سوی دیگر در حالت ۲ نیز برای کاهش تأثیر عوامل تصادفی روش TS و مقایسه نتایج، نمودار سیر همگرایی از میانگین ۳۰ اجرای متفاوت فرآیند بهینه‌یابی حاصل شده است.

### ۳-۱-۳-۲-۳ حالت نزولی برای پارامتر $nw$

این حالت که با عنوان حالت ۳ ارائه می‌گردد، تقریباً مشابه حالت ۲ است؛ با این تفاوت که مقدار پارامتر بازه همسایگی در کل فرآیند بهینه‌یابی به صورت نزولی تغییر می‌نماید. به عبارت دیگر

در انتهای عملیات بهینه‌یابی مقادیر کوچکی برای پارامتر بازه همسایگی منظور شده و در طی عملیات بهینه‌یابی، مقدار  $nw$  به صورت خطی متناسب با نسبت شماره تکرار به تعداد کل تکرارها، براساس رابطه (۱۰-۳) کاهش می‌یابد.

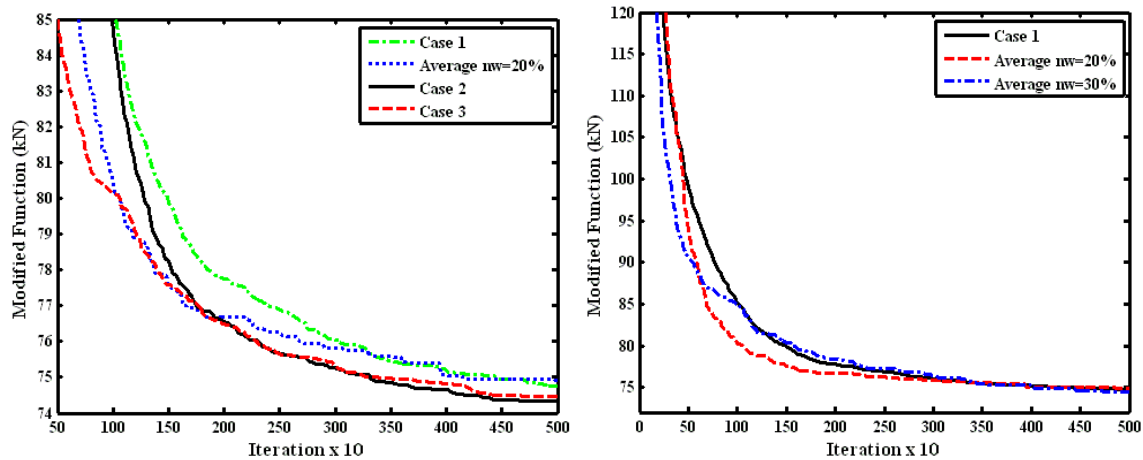
$$nw = nw^{Max} - (nw^{Max} - nw^{Min}) \frac{iter}{iter_{Max}} \quad (10-3)$$

پارامترهای رابطه (۱۰-۳) مشابه رابطه (۹-۳) می‌باشد. در این حالت نیز مشابه حالت ۲ برای گریز از تأثیر عوامل تصادفی در روند بهینه‌یابی و مقایسه نتایج، در هر مثال ۳۰ بار فرآیند بهینه‌یابی اجرا و سپس میانگین این اجراهای، به عنوان سیر همگرایی حالت ۳ برای مثال مربوطه در نظر گرفته شده است.

#### ۴-۱-۳-۲-۳ بررسی حالات پارامتر $nw$

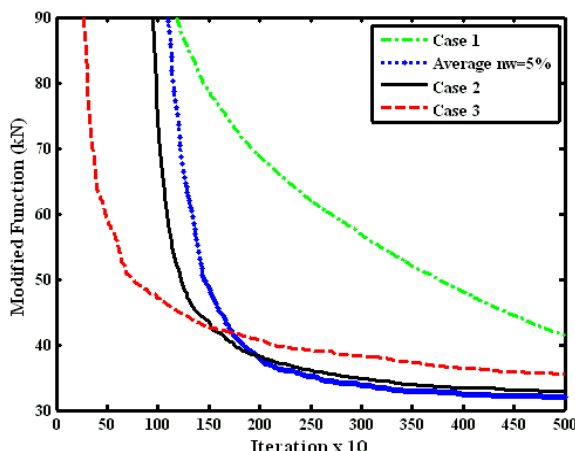
برای بررسی حالات مختلف پارامتر بازه همسایگی، از مثال‌های بهینه‌یابی سطح مقطع قاب‌های فولادی استفاده شده است. برای این منظور قاب پنج طبقه - دو دهانه و قاب هشت طبقه - یک دهانه به ترتیب بشرح بخش ۳-۵-۱ از فصل حاضر و بخش الف-۵ از پیوست الف در نظر گرفته شده است. در بررسی‌های انجام شده سعی گردیده تا شرایط یکسانی برای تمامی حالات مهیا شود. بنابراین قضاوی صحیح‌تر نسبت به عملکرد هر یک از حالات ارائه می‌شود. لازم به ذکر است که برای حالت ۱ در اولین مثال (قاب پنج طبقه - دو دهانه) به سبب کوچکی فضای طراحی، مقادیر ثابت ۱٪ و ۱۰٪ یکسان فرض شده و مقدار  $nw$  برابر یک لحاظ گردیده است. بدین ترتیب در این مثال نمودار سیر همگرایی فرآیند بهینه‌یابی برای تمامی مقادیر ثابت حالت ۱، میانگین ۵۰ اجرای فرآیند بهینه‌یابی می‌باشد. این در حالی است که برای مثال ۲ (قاب هشت طبقه - یک دهانه) برای رسم نمودار سیر همگرایی فرآیند بهینه‌یابی، توسط کلیه مقادیر ثابت حالت ۱، ۷۰ بار فرآیند بهینه‌یابی اجرا شده است. اشکال (۱۷-۳) و (۱۸-۳) سیر تکاملی فرآیند بهینه‌یابی را توسط حالات مختلف برای پارامتر  $nw$  در مثال قاب پنج طبقه - دو دهانه نشان می‌دهد. در شکل (۱۷-۳) نمودار میانگین ۱۰ اجرای

مختلف فرآیند بهینه‌یابی برای مقادیر بازه همسایگی به ازای  $20\%$  و  $30\%$  تعداد اعضای لیست مقاطع (به ترتیب بهترین و بدترین سیر همگرایی)، به همراه میانگین کل حالات مقادیر ثابت (میانگین  $50$ ) اجرای فرآیند بهینه‌یابی در حالت  $1$  رسم شده است. از سوی دیگر در شکل  $(18-3)$  نمودار میانگین حالات  $1$ ،  $2$  و  $3$  به همراه میانگین  $10$  اجرای مختلف برای  $nw$  برابر  $20\%$  تعداد اعضای لیست مقاطع که دارای بهترین عملکرد در حالت  $1$  می‌باشد، قابل مشاهده است.

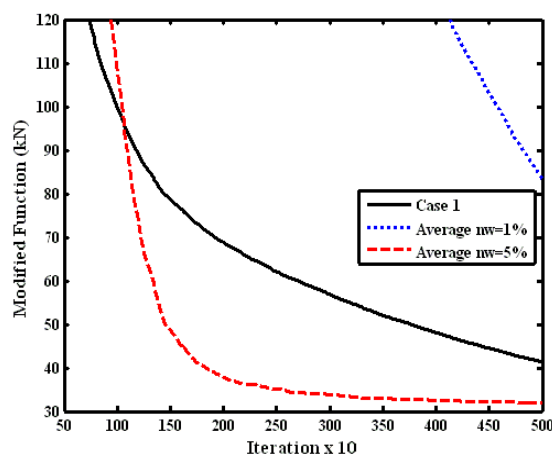


شکل  $(18-3)$  - سیر فرآیند بهینه‌یابی توسط مقادیر توسط حالات مختلف برای قاب پنج طبقه - دو دهانه حالت  $1$  برای قاب پنج طبقه - دو دهانه

در شکل  $(19-3)$  میانگین سیر تکاملی فرآیند بهینه‌یابی برای بازه همسایگی به ازای مقادیر  $1\%$  و  $5\%$  تعداد اعضای لیست مقاطع که به ترتیب دارای بهترین و نامناسب‌ترین عملکرد در حالت  $1$  برای قاب هشت طبقه - یک دهانه می‌باشند، رسم شده است. در این شکل میانگین سیر فرآیند بهینه‌یابی برای کلیه مقادیر ثابت  $(70)$  اجرا در مثال مذکور نیز قابل مشاهده است. از سوی دیگر شکل  $(20-3)$  میانیگن سیر تکاملی فرآیند بهینه‌یابی برای حالات  $1$ ،  $2$  و  $3$  به همراه بهترین میانگین سیر بهینه‌یابی در مقادیر ثابت  $(0.05Ns)$  نشان می‌دهد.



شکل (۲۰-۳) - سیر فرآیند بهینه‌یابی توسط  
مختلف برای قاب هشت طبقه - یک دهانه



شکل (۱۹-۳) - سیر فرآیند بهینه‌یابی توسط  
مقادیر حالت ۱ برای قاب هشت طبقه - یک دهانه

همان‌طور که در نمودارهای اشکال (۱۷-۳) تا (۲۰-۳) مشاهده می‌شود، پارامتر بازه همسایگی تأثیر فراوانی در روند بهینه‌یابی دارد. این مهم در مثال‌هایی با فضای طراحی بزرگ همانند نمودارهای اشکال (۱۹-۳) و (۲۰-۳) برای قاب فولادی هشت طبقه - یک دهانه که تعداد لیست مقاطع آن بسیار زیاد می‌باشد، بهتر قابل مشاهده است. بنابراین انتخاب مقدار مناسب برای  $nw$  در روش جستجوی ممنوعه به خصوص در مثال‌هایی با فضای طراحی بزرگ، امری مهم و ضروری است. اتخاذ مقداری ثابت برای  $nw$  در فرآیند بهینه‌یابی براساس TS مستلزم عملیات سعی و خطأ است و می‌بایست متناسب با شرایط مسئله، فضای طراحی و ... تعیین شود. این مهم در اجراهای مختلف با مقادیر گوناگون برای  $nw$  حاصل می‌شود. به عنوان نمونه همان‌طور که در شکل (۱۷-۳) مشاهده می‌شود، بهترین سیر فرآیند بهینه‌یابی برای اولین مثال به ازای مقدار  $nw$  برابر  $3(0.2Ns)$  حاصل شده است. در حالی که برای مثال دوم براساس شکل (۱۹-۳) بهترین سیر همگرایی به ازای مقدار  $13(0.05Ns)$  برای  $nw$  بدست آمده است.

در این رساله برای اجتناب از عملیات سعی و خطأ با اجراهای مختلف فرآیند بهینه‌یابی برای کسب مقدار مناسب  $nw$  حالات پویا و فعل ۲ و ۳ ارائه شده است. همان‌طور که در اشکال (۱۸-۳) و (۲۰-۳) مشاهده می‌شود، به ازای حالات ۲ و ۳ تقریباً روند مناسبی برای بهینه‌یابی براساس TS ارائه شده است. در این میان حالت ۲ با یک روند مقداردهی صعودی برای  $nw$ ، سیر همگرایی بهتری نسبت

به حالت ۳ برای هر دو مثال داشته و تقریباً همگام با بهترین سیر بهینه‌یابی در حالت ۱ حرکت نموده است. بنابراین پیشنهاد می‌شود، در بهینه‌یابی سازه‌ها براساس روش TS پارامتر بازه همسایگی به صورت متغیر و براساس رابطه (۹-۳) در نظر گرفته شود.

### ۴-۲-۳ الگوریتم کلونی مورچگان

همان‌طور که در بخش ۴-۲-۲ از فصل پیش بیان شد، الگوریتم کلونی مورچگان (ACO) با الهام از فرآیند جستجوی غذا توسط مورچه‌ها شکل گرفته است. این روش از جمله الگوریتم‌های فرالبتکاری است که مورد توجه بسیاری از محققین در علوم مختلف می‌باشد. الگوریتم ACO نخستین بار برای حل مسئله فروشنده دوره‌گرد ارائه [۱۷] و پس از آن توسط محققین دیگر در علوم مختلف به کار گرفته شد [۴۲-۴۴ و ۶۱]. این مسئله سبب شده است تا شیوه‌های گوناگونی با عنوانیں مختلف بر پایه روش کلونی مورچگان برای فرآیند بهینه‌یابی ارائه شود [۴۱]. در این راستا هر یک از محققین سعی نموده‌اند تا با ارائه ساختاری جدید برای بهینه‌یابی بر پایه زندگی مورچگان، الگوریتم کارآمدی را ارائه دهند. اما در تمامی این ساختارها، کلیات ACO مبتنی بر شیوه جستجوی غذا توسط مورچگان براساس فرآیند بجای گذاری و تبخیر فرومون حفظ شده است. بدین‌ترتیب برخی از پارامترهای روش ACO همچون ضریب تبخیر فرومون، میزان فرومون اولیه و ... وجه مشترک اکثر الگوریتم‌های کلونی ACO می‌باشد [۴۱-۴۴]. این پارامترها از جمله عوامل اساسی در روند بهینه‌یابی براساس ACO بوده و عموماً مقدار هر یک در روند بهینه‌یابی مهم می‌باشد. بنابراین در این رساله به بررسی ضریب تبخیر فرومون بشرح زیر پرداخته شده است.

### ۱-۴-۲-۳ ضریب تبخیر فرومون

فرآیند تبخیر فرومون از جمله عوامل اساسی در فرآیند جستجوی غذا توسط مورچگان می‌باشد. تبخیر سبب می‌شود تا مسیرهای طولانی و نافرجام، حذف شده و در طی فرآیند جستجو،

کوتاهترین مسیر تا منبع غذایی، توسط مورچه‌ها کشف می‌شود. به طور مشابه فرآیند تبخیر در الگوریتم‌های ACO نیز از اهمیت ویژه‌ای برخودار است. چراکه براساس این فرآیند احتمال انتخاب طرح‌های نامناسب و ناشایسته در روند بهینه‌یابی به تدریج کاهش می‌باید. در این راستا ضریب تبخیر فرومون ( $e_r$ ) پارامتری مهم برای کنترل فرآیند تبخیر در روند بهینه‌یابی براساس ACO می‌باشد. این پارامتر از جمله پارامترهای اولیه الگوریتم ACO بوده و عموماً تنظیم مقداری مناسب برای  $e_r$  مستلزم فرآیند سعی و خطا است. به طور معمول این پارامتر براساس فضای طراحی، قیود مسئله و ... مقداردهی می‌شود [۴۱-۴۴]. بدین ترتیب در این رساله برای اجتناب از عملیات سعی و خطا جهت مقداردهی  $e_r$  به ارائه حالاتی پویا و فعال برای مقدار  $e_r$  بشرح بخش زیر پرداخته شده است. در این راستا حالات پیشنهادی و حالت مرسوم با مقدار ثابت برای  $e_r$  براساس نمودارهای سیر همگرایی مقایسه خواهد شد.

### ۱-۱-۴-۲-۳ مقدار ثابت برای پارامتر $e_r$

در این حالت که با عنوان حالت ۱ مشخص می‌شود، ضریب تبخیر فرومون به صورت مقداری ثابت لحاظ شده است. بنابراین نرخ تبخیر فرومون برابر مقادیر ثابت  $1/1, 0/2, 0/3, 0/4, 0/5, 0/6, 0/7, 0/8, 0/9$  و  $0/10$  در اجراهای متفاوت فرآیند بهینه‌یابی در نظر گرفته شده است. در این حالت برای گریز از تأثیر سایر پارامترهای تصادفی الگوریتم ACO، به ازای هر یک از مقادیر مذکور برای ضریب  $e_r$  اجرای مستقل فرآیند بهینه‌یابی صورت گرفته است. سپس میانگین سیر فرآیند بهینه‌یابی در اجراهای مختلف برای هر مقدار محاسبه و به عنوان نماینده سیر همگرایی برای ضریب موردنظر معرفی شده است. در نهایت میانگین کلیه اجراهای متوالی (۹۰ اجرا) برای تمامی مقادیر ثابت نیز محاسبه و به عنوان سیر همگرایی حالت ۱ ارائه شده است.

### ۳-۲-۱-۴-۲-۳ حالت صعودی برای پارامتر $e_r$

در این حالت که حالت ۲ نامیده می‌شود، مقدار نرخ تبخیر به صورت صعودی در کل فرآیند بهینه‌یابی تغییر می‌نماید. به عبارت دیگر برای حالت ۲ در ابتدا احتمال کمی برای نرخ تبخیر فرومون منظور شده و در طی عملیات بهینه‌یابی، مقدار  $e_r$  به صورت خطی متناسب با نسبت شماره تکرار به تعداد کل تکرارها، براساس رابطه (۱۱-۳) افزایش می‌یابد.

$$e_r = e_r^{Min} + (e_r^{Max} - e_r^{Min}) \frac{iter}{iter_{Max}} \quad (11-3)$$

در رابطه (۱۱-۳)،  $e_r^{Min}$  و  $e_r^{Max}$  به ترتیب مقادیر حداکثر و حداقل ضریب تبخیر فرومون می‌باشد که برای هماهنگ‌سازی در مقایسه با حالت ۱ به ترتیب برابر  $0/9$  و  $1/0$  درنظر گرفته شده است. در این حالت برای کاهش تأثیر عوامل تصادفی در ACO، ۳۰ اجرای مستقل فرآیند بهینه‌یابی صورت گرفته و سپس نمودار سیر همگرایی براساس میانگین سیر بهینه‌یابی ۳۰ اجرا حاصل شده است.

### ۳-۱-۴-۲-۳ حالت نزولی برای پارامتر $e_r$

این حالت که با عنوان حالت ۳ مشخص می‌شود، مشابه حالت ۲ است؛ با این تفاوت که مقدار ضریب تبخیر فرومون در کل فرآیند بهینه‌یابی به صورت کاهشی تغییر می‌نماید. به عبارت دیگر در انتهای عملیات بهینه‌یابی احتمال کمی برای نرخ تبخیر فرومون منظور شده و در طی عملیات بهینه‌یابی، مقدار  $e_r$  به صورت خطی متناسب با نسبت شماره تکرار به تعداد کل تکرارها، براساس رابطه (۱۲-۳) کاهش می‌یابد.

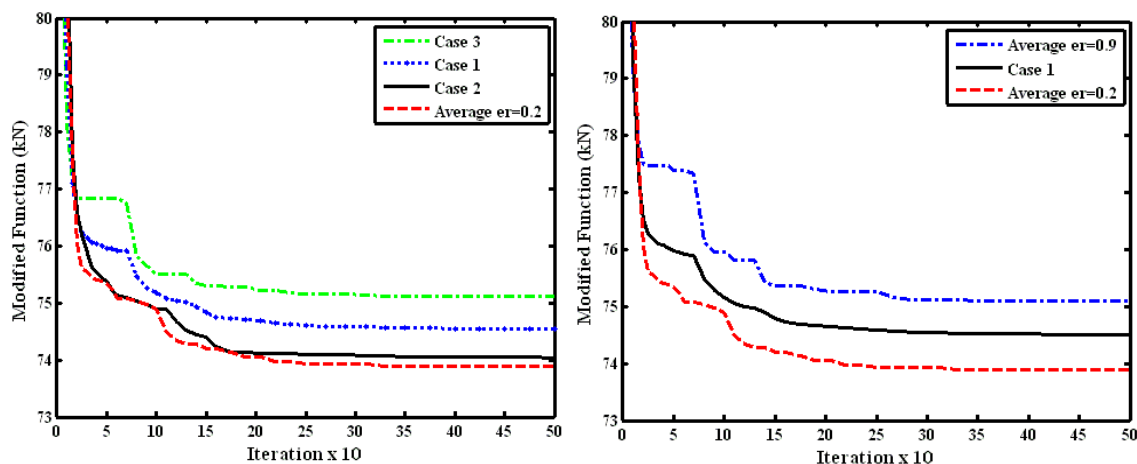
$$e_r = e_r^{Max} - (e_r^{Max} - e_r^{Min}) \frac{iter}{iter_{Max}} \quad (12-3)$$

پارامترهای رابطه (۱۲-۳) مشابه رابطه (۱۱-۳) می‌باشد. در این حالت نیز مشابه حالت ۲ برای گریز از تأثیر پارامترهای تصادفی ACO، نمودار سیر همگرایی از میانگین ۳۰ اجرای فرآیند بهینه‌یابی حاصل شده است.

### ۴-۱-۴-۲-۳ بررسی حالات مختلف پارامتر $e_r$

برای بررسی حالات مختلف پارامتر ضریب تبخیر فرومون از مسائل طراحی بهینه سازه‌ها استفاده شده است. بدین منظور مشابه الگوریتم‌های فرآبتكاری پیشین، قاب فولادی پنج طبقه - دو دهانه و قاب فولادی هشت طبقه - یک دهانه به عنوان مثال‌های برگزیده برای بررسی کارآیی حالات مختلف  $e_r$  می‌باشند. شرح مفروضات مسائل قاب فولادی پنج طبقه - دو دهانه در بخش ۳-۵-۱ از فصل حاضر و قاب هشت طبقه - یک دهانه در پیوست الف بخش الف-۴ ارائه شده است. در بررسی حالات مختلف ضریب تبخیر فرومون، سعی گردیده تا شرایط یکسانی برای حالات مختلف فراهم شود. بدین ترتیب قضاوتی عادلانه بین حالات مذکور صورت می‌پذیرد.

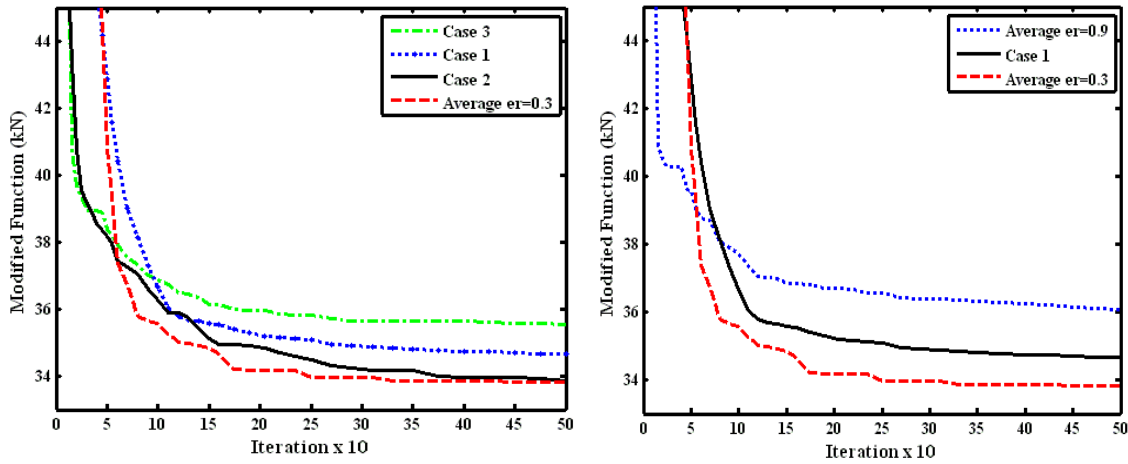
شکل (۲۱-۳) نمودار میانگین سیر تکاملی فرآیند بهینه‌یابی را به ازای مقادیر  $0/2$  و  $0/9$  (به ترتیب بهترین و بدترین سیر همگرایی) برای ضریب تبخیر فرومون به همراه میانگین سیر همگرایی حالت ۱ در مسئله بهینه‌یابی قاب فولادی پنج طبقه - دو دهانه نشان می‌دهد. از سوی دیگر شکل (۲۲-۳) میانگین سیر تکاملی فرآیند بهینه‌یابی را برای مثال مذکور به ازای حالات ۱، ۲ و ۳ نشان می‌دهد. در این شکل برای ارزیابی مناسب حالات ۲ و ۳، بهترین سیر همگرایی در حالت ۱ به ازای مقدار ثابت  $0/9$  برای  $e_r$  نیز رسم شده است.



شکل (۲۲-۳) - سیر فرآیند بهینه‌یابی توسط مقادیر حالت ۱ برای قاب پنج طبقه - دو دهانه

شکل (۲۱-۳) - سیر فرآیند بهینه‌یابی توسط مقادیر

شکل (۲۳-۳) میانگین سیر تکاملی فرآیند بهینه‌یابی برای قاب فولادی هشت طبقه - یک دهانه را به ازای بهترین و نامناسب‌ترین عملکرد برای مقادیر  $e_r$  به همراه میانگین کلیه مقادیر ثابت  $e_r$  نشان می‌دهد. از سوی دیگر در شکل (۲۴-۳) میانگین سیر همگرایی برای مثال مذکور به ازای حالات ۱، ۲ و ۳ و نیز میانگین سیر همگرایی برای مقدار  $e_r$  برابر  $0/3$  (بهترین عملکرد در حالت ۱) قابل مشاهده است.



شکل (۲۴-۳) - سیر فرآیند بهینه‌یابی توسط مقدادیر حالت ۱ برای قاب هشت طبقه - یک دهانه مختلف برای قاب هشت طبقه - یک دهانه

شکل (۲۳-۳) - سیر فرآیند بهینه‌یابی توسط مقدادیر حالت ۱ برای قاب هشت طبقه - یک دهانه

همان‌طور که در اشکال (۲۱-۳) و (۲۳-۳) مشاهده می‌شود، ضریب تبخیر فرومون، عاملی مهم در فرآیند بهینه‌یابی براساس ACO است. بنابراین انتخاب مقداری صحیح برای این پارامتر در راستای عملکرد مناسب بهینه‌یابی براساس ACO امری ضروری و قابل تأمیل می‌باشد. انتخاب مقادیر ثابت برای  $e_r$  از مرسوم‌ترین شیوه‌ها در بهینه‌یابی براساس ACO است. بر این اساس انتخاب مقدار بزرگی همچون  $9/0$  توصیه نمی‌شود. چراکه در هر دو مثال، سیر همگرایی مناسبی ارائه نشده است. با بررسی‌های انجام شده مشخص گردید که با کاهش مقدار  $e_r$  و حرکت به سوی مقدار  $1/0$  عملکرد بهینه‌یابی براساس ACO افزایش می‌یابد. اما این مهم دارای مرز مشخصی می‌باشد که به عنوان نمونه برای اولین مثال مقدار  $0/2$  و برای مثال دوم مقدار  $0/3$  برای  $e_r$  به عنوان بهترین مقادیر می‌باشند. با گذشت از این مرز عملکرد بهینه‌یابی روند نزولی می‌یابد. بنابراین نمی‌توان مقداری را به عنوان بهترین

میزان برای تمامی مثال‌ها معرفی نمود. در این راستا می‌بایست ضریب تبخیر فرومون براساس فضای طراحی، قیود مسئله و ... طی فرآیند سعی و خطا مقداردهی شود. برای اجتناب از این عملیات، در این رساله روابطی پویا و فعل برای  $e_r$  بشرح حالات ۲ و ۳ ارائه شده است. همان‌طور که در اشکال (۲۲-۳) و (۲۴-۳) مشاهده می‌شود، حالت ۲ با شیوه‌ای صعودی برای ضریب تبخیر فرومون، سیر همگرایی مناسب‌تری نسبت به حالات ۱ و ۳ ارائه می‌دهد. در این حالت احتمال انتخاب مقادیری از محدوده مجاز متغیرهای طراحی که سبب کاهش کیفیت طرح بهینه می‌شوند، به آرامی طی فرآیند بهینه‌یابی کاهش می‌یابد. بدین ترتیب فضای کاوش به آهستگی کوچک می‌شود. از سوی دیگر همان طور که در اشکال (۲۲-۳) و (۲۴-۳) مشاهده می‌شود، سیر همگرایی حالت ۲ انطباق مناسبی با بهترین سیر همگرایی با مقدار ثابت برای  $e_r$  در هر دو مثال دارد. بنابراین حالت ۲ می‌تواند جایگزین شایسته‌ای برای حالت  $e_r$  با مقدار ثابت مناسب شود. چراکه تنظیم و اتخاذ مقدار ثابت مناسبی برای  $e_r$  مستلزم عملیات سعی و خطا و تجربه در شیوه بهینه‌یابی براساس ACO می‌باشد.

### ۵-۲-۳ روش اجتماع ذرات

الگوریتم اجتماع ذرات (PSO) که در بخش ۲-۲-۵ از فصل پیشین به طور کامل شرح داده شد، یک تکنیک بهینه‌یابی است که با نگاشت فضای طراحی به فضای برداری و الگوبرداری از شیوه موجودات دسته جمعی، فرآیند جستجو را در پیش می‌گیرد. این روش با راهکارهای قدرتمند در زمینه مفاهیم اصل تنوع، فضای طراحی را کاوش نموده و براساس قابلیت‌های شناختی هر ذره و پتانسیل‌های اجتماعی گروه ذرات، به سوی نقطه بهینه حرکت می‌نماید [۴۵]. در این راستا پارامترهای شناختی ( $C_1$ ) و اجتماعی ( $C_2$ ) عوامل مهم در کنترل میزان حرکت می‌باشند. این پارامترها تأثیر فراوانی در عملکرد الگوریتم داشته و با تقابلی غیرمستقیم، شیوه حرکت به سوی نقطه بهینه را کنترل می‌نمایند. اهمیت این پارامترها سبب شده تا شیوه‌های مختلفی برای اعمال هر یک در مسائل گوناگون به کار گرفته شود. اما نکته حائز اهمیت تقابل این دو پارامتر با یکدیگر در فرآیند

بهینه‌یابی براساس PSO می‌باشد. بدین‌منظور در این رساله به بررسی اهمیت پارامترهای شناختی و اجتماعی و نیز تأثیر آن‌ها بر یکدیگر بشرح بخش زیر پرداخته شده است.

### ۱-۵-۲-۳ بررسی ضرایب $C_2$ و $C_1$

الگوریتم PSO نیز همانند سایر الگوریتم‌های فرالبتکاری، وابسته به یک سری پارامتر و مقادیر اولیه بوده که مقدار و شیوه اعمال هر یک تأثیر بسزایی در روند بهینه‌یابی دارند. در این راستا پارامترهای شناختی و اجتماعی از عوامل مهم و اساسی در بهینه‌یابی براساس روش PSO می‌باشند. این پارامترها به صورت مستقیم در میزان سرعت هر ذره مؤثر بوده و بدین‌ترتیب بطور غیر مستقیم در موقعیت نهایی هر ذره تأثیر فراوانی دارند. از سوی دیگر براساس رابطه حرکت ذرات در روش PSO میزان هر یک از پارامترها  $C_1$  و  $C_2$  و نیز شیوه اعمال آن‌ها بر قابلیت‌های هر ذره و پتانسیل‌های گروه ذرات نیز مؤثر می‌باشند. بدین‌ترتیب برای ارزیابی نسبتاً کلی بر تأثیر این پارامترها در روند بهینه‌یابی براساس PSO، چهار حالت بشرح زیر ارائه و مورد بررسی قرار گرفته است.

### ۱-۱-۵-۲-۳ حالت ۱ برای ضرایب $C_2$ و $C_1$

در این حالت پارامترهای  $C_1$  و  $C_2$  به صورت نزولی در کل فرآیند بهینه‌یابی تغییر می‌نمایند. به عبارت دیگر در ابتدای فرآیند بهینه‌یابی مقادیر  $C_1$  و  $C_2$  دارای بیشترین مقدار بوده و در طی عملیات بهینه‌یابی به صورت خطی متناسب با نسبت شماره تکرار به تعداد کل تکرارها، براساس رابطه (۱۳-۳) کاهش می‌یابند.

$$C_i = C_i^{Max} - (C_i^{Max} - C_i^{Min}) \frac{iter}{iter_{Max}} \quad i=1,2 \quad (13-3)$$

در رابطه (۱۳-۳)،  $C_i^{Max}$  و  $C_i^{Min}$  به ترتیب مقادیر حداکثر و حداقل پارامتر موردنظر در فرآیند بهینه‌یابی است.

### ۲-۱-۵-۲-۳ حالت ۲ برای ضرایب $C_1$ و $C_2$

این حالت مشابه حالت ۱ است، با این تفاوت که مقدار پارامترهای  $C_1$  و  $C_2$  در کل فرآیند بهینه‌یابی به صورت صعودی تغییر می‌نماید. به عبارت دیگر در انتهای عملیات بهینه‌یابی مقادیر پارامترهای  $C_1$  و  $C_2$  به بیشترین مقدار می‌رسند. برای این منظور مقادیر پارامترهای  $C_1$  و  $C_2$  در طی فرآیند بهینه‌یابی، به صورت خطی متناسب با نسبت شماره تکرار به تعداد کل تکرارها، براساس رابطه (۱۴-۳) افزایش می‌یابد.

$$C_i = C_i^{Min} + (C_i^{Max} - C_i^{Min}) \frac{iter}{iter_{Max}} \quad i = 1, 2 \quad (14-3)$$

پارامترهای رابطه (۱۴-۳) مشابه رابطه (۱۳-۳) است.

### ۳-۱-۵-۲-۳ حالت ۳ برای ضرایب $C_1$ و $C_2$

در این حالت مقادیر پارامترهای  $C_1$  و  $C_2$  دارای رفتاری متفاوت می‌باشند. به بیان دیگر در این حالت مقدار پارامتر  $C_1$  در طی فرآیند بهینه‌یابی کاهش و مقدار پارامتر  $C_2$  افزایش می‌یابد. برای این منظور از روابط (۱۵-۳) و (۱۶-۳) استفاده شده است.

$$C_1 = C_1^{Max} - (C_1^{Max} - C_1^{Min}) \frac{iter}{iter_{Max}} \quad (15-3)$$

$$C_2 = C_2^{Min} + (C_2^{Max} - C_2^{Min}) \frac{iter}{iter_{Max}} \quad (16-3)$$

پارامترهای روابط فوق مشابه رابطه (۱۳-۳) می‌باشند.

### ۴-۱-۵-۲-۳ حالت ۴ برای ضرایب $C_1$ و $C_2$

این حالت تقریباً مشابه حالت ۳ می‌باشد. با این تفاوت که رفتار پارامترهای  $C_1$  و  $C_2$  بر خلاف حالت ۳ در نظر گرفته شده است. به عبارت دیگر در این حالت پارامتر  $C_1$  دارای رفتاری صعودی و

پارامتر  $C_2$  به صورت نزولی در طی فرآیند بهینه‌یابی، متناسب با نسبت شماره تکرار به تعداد کل تکرارها تغییر می‌نماید. برای این منظور از روابط (۱۷-۳) و (۱۸-۳) استفاده می‌شود.

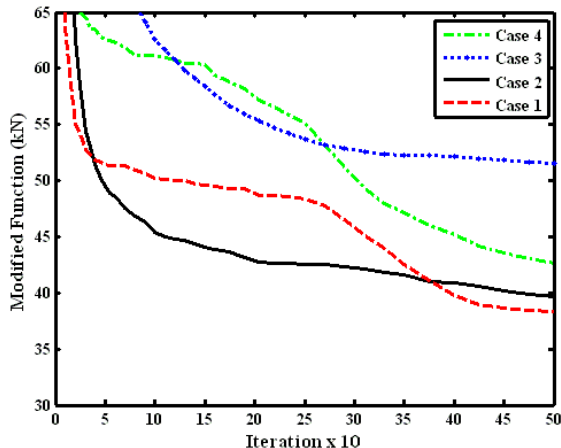
$$C_1 = C_1^{Min} + (C_1^{Max} - C_1^{Min}) \frac{iter}{iter_{Max}} \quad (17-3)$$

$$C_2 = C_2^{Max} - (C_2^{Max} - C_2^{Min}) \frac{iter}{iter_{Max}} \quad (18-3)$$

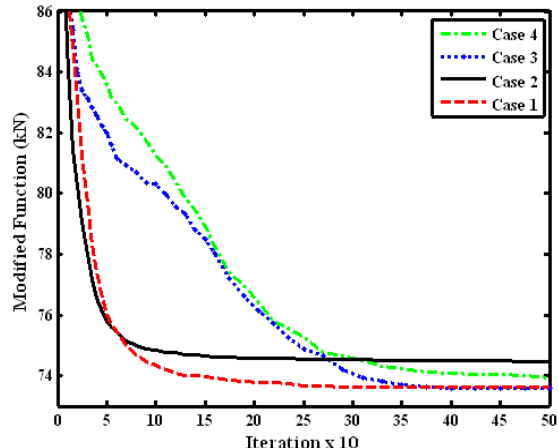
### ۵-۱-۵-۲-۳ برسی حالات مختلف ضرایب $C_1$ و $C_2$

برای بررسی پارامترهای شناختی و اجتماعی در روش PSO مشابه دیگر الگوریتم‌های مذکور از مثال‌های طراحی بهینه سطح مقطع سازه‌ها استفاده شده است. بدین‌منظور قاب پنج طبقه - دو دهانه بشرح بخش ۱-۵-۳ و قاب هشت طبقه - یک دهانه بشرح پیوست الف-۴ انتخاب شده‌اند. در بررسی‌های انجام شده سعی گردیده تا شرایط یکسانی برای تمامی حالات فراهم شود. بدین‌ترتیب قضاوتی منطقی و عادلانه برای حالات مذکور شکل خواهد گرفت. در این راستا برای کلیه حالات مقادیر حداقل و حداکثر پارامترهای  $C_1$  و  $C_2$  به ترتیب برابر  $0/5$  و یک لحاظ شده است. این مقادیر طی بررسی‌های مختلف روش PSO با مقادیر ثابت برای پارامترهای  $C_1$  و  $C_2$  حاصل گردیده است. از سوی دیگر برای اجتناب از تأثیر عوامل تصادفی در روند بهینه‌یابی براساس PSO و مقایسه جامع نتایج حالات مختلف، نمودار سیر همگرایی هر حالت از میانگین  $30$  اجرای مستقل فرآیند بهینه‌یابی حاصل شده است.

اشکال (۲۵-۳) و (۲۶-۳) میانگین سیر تکاملی فرآیند بهینه‌یابی را برای حالات مذکور نشان می‌دهد. همان‌طور که مشاهده می‌شود، میزان و چگونگی اعمال پارامترهای  $C_1$  و  $C_2$  تأثیر فراوانی در روند بهینه‌یابی براساس روش PSO دارد. با دقت در شکل (۲۶-۳) مشخص می‌شود که این تأثیر برای مثال‌هایی با فضای طراحی بزرگ به واسطه محدوده مجاز وسیع برای متغیرهای طراحی بیشتر است. بنابراین اتخاذ شیوه و مقداری مناسب برای پارامترهای  $C_1$  و  $C_2$  در روش بهینه‌یابی براساس PSO امری مهم و ضروری است.



شکل (۲۶-۳) - سیر فرآیند بهینه‌یابی توسط حالات مختلف برای قاب هشت طبقه - یک دهانه



شکل (۲۵-۳) - سیر فرآیند بهینه‌یابی حالات مختلف برای قاب پنج طبقه - دو دهانه

همان‌طور که در اشکال (۲۵-۳) و (۲۶-۳) مشاهده می‌شود سیر همگرایی برای حالات ۳ و ۴ در طی فرآیند بهینه‌یابی دارای رفتار مناسبی نیست. در این حالات شیوه اعمال پارامترهای  $C_1$  و  $C_2$  به صورت متفاوت با یکدیگر منظور شده است. بر این اساس می‌توان بیان نمود که مقدار و شیوه اعمال هر یک از پارامترهای مذکور در میزان قابلیت‌های شناختی هر ذره و پتانسیل‌های اجتماعی ذرات مؤثر است. سیر همگرایی حالات ۱ و ۲ نیز تأییدی بر این مطلب است. همان‌طور که در اشکال (۲۵-۳) و (۲۶-۳) مشاهده می‌شود، برای حالاتی که رفتار پارامترهای  $C_1$  و  $C_2$  یکسان است، سیر همگرایی در هر دو حالت نزولی و صعودی بهتر از حالات ۳ و ۴ می‌باشد. بنابراین اتخاذ رفتار متفاوت برای اعمال پارامترهای  $C_1$  و  $C_2$  توصیه نمی‌شود و بهتر است پارامترهای موردنظر دارای رفتار یکسانی باشند تا با تأثیر متقابل نسبت به معیارهای یکدیگر، فضای طراحی را با همکاری متقابل کاوش نمایند.

حالت ۱ از بین تمامی حالات مذکور، سیر همگرایی مناسب‌تری برای هر دو مثال ارائه داده است. این حالت با رفتار نزولی برای پارامترهای  $C_1$  و  $C_2$  توازنی منطقی بین مفاهیم اصول تنوع و تشدید پدید می‌آورد. بدین‌ترتیب که در ابتدای فرآیند بهینه‌یابی، الگوریتم طرح‌های متنوعی با اعمال فرآیند جستجوی سراسری بواسطه مقادیر پارامترهای  $C_1$  و  $C_2$  دارد. پس از طی تکرارهای متوالی، در انتهای فرآیند بهینه‌یابی مفاهیم اصل تشدید به بواسطه جستجوی محلی با مقادیر اندک پارامترهای  $C_1$  و  $C_2$  ظاهر می‌شود. این حالت در کسب نتایج طرح بهینه نیز از سایر حالات موفق‌تر بوده است.

### ۶-۲-۳ روش جستجوی هارمونی

همان طور که در فصل دوم بخش ۶-۲ به طور کامل شرح داده شد، روش جستجوی هارمونی (HS) از جمله الگوریتم‌های فرآبتكاری با مضماین ویژه در اصل تشدید می‌باشد. این روش با الهام از فرآیند نوازنده‌ها در جستجوی یک حالت مناسب برای نواختن موسیقی شکل گرفته است. روش HS نیز همانند سایر الگوریتم‌های فرآبتكاری، نیازمند مقداردهی پارامترهای مختلفی می‌باشد. این پارامترهای در روند بهینه‌یابی تأثیر بسزایی داشته و همواره اتخاذ مقدار مناسب برای هر یک امری مهم و ضروری است [۴۸-۵۰]. در این راستا پارامترهای مختلفی همچون  $PAR$  و  $bw$  که از عوامل مهم در فرآیند بهینه‌یابی براساس HS می‌باشند، توسط برخی از محققین بررسی شده است [۴۶]. اما در این میان پارامتر  $HCMR$  کمتر مورد توجه قرار گرفته است. به همین سبب در این رساله برای روش بهینه‌یابی براساس HS، پارامتر  $HCMR$  انتخاب و بشرح بخش زیر به ازای حالات و مقادیر مختلف مورد بررسی و ارزیابی قرار گرفته است.

### ۱-۶-۲-۳ بررسی پارامتر $HCMR$

پارامتر  $HCMR$  از عوامل اساسی در فرآیند بهینه‌یابی براساس HS است که در روند تشکیل بردار متغیرهای طراحی نقشی اساسی ایفا می‌نماید. مقدار این پارامتر به صورت غیر مستقیم معیاری برای کنترل مفاهیم اصل تنوع در روش HS است. پارامتر  $HCMR$  از جمله عوامل اولیه الگوریتم HS بوده که در ابتدای فرآیند بهینه‌یابی مقداردهی می‌شود [۴۸-۵۰]. اتخاذ مقدار مناسب برای این پارامتر از جمله دغدغه‌های بهینه‌یابی براساس HS می‌باشد. به همین سبب در این بخش حالات مختلف و ممکن برای پارامتر  $HCMR$  بشرح زیر تعریف و مورد بررسی قرار گرفته است.

### ۱-۱-۶-۲-۳ مقادیر ثابت برای پارامتر $HCMR$

این حالت که با عنوان حالت ۱ معرفی می‌گردد، رایج‌ترین شیوه برای مقداردهی پارامتر  $HCMR$  می‌باشد. در این حالت پارامتر  $HCMR$  به صورت مقداری ثابت لحاظ شده است. بدین‌منظور

$HCMR$  برابر مقادیر ثابت  $0/1, 0/2, 0/3, 0/4, 0/5, 0/6, 0/7, 0/8$  و  $0/9$  در اجراهای متفاوت فرآیند بهینه‌یابی در نظر گرفته شده است. برای گریز از تأثیر پارامترهای تصادفی در روند بهینه‌یابی، به ازای هر مقدار پارامتر  $HCMR$  ۱۰ اجرای مستقل برای فرآیند بهینه‌یابی صورت گرفته است. سپس میانگین سیر همگرایی برای هر مقدار  $HCMR$  محاسبه و ارائه شده است. در ادامه میانگین سیر همگرایی برای تمامی مقادیر ثابت پارامتر  $HCMR$  محاسبه (میانگین ۹۰ اجرای فرآیند بهینه‌یابی) و به صورت نماینده سیر همگرایی مربوط به پارامتر  $HCMR$  با مقدار ثابت ارائه می‌شود.

### ۲-۱-۶-۲-۳ حالت صعودی برای پارامتر $HCMR$

در این حالت مقدار پارامتر  $HCMR$  به صورت صعودی در کل فرآیند بهینه‌یابی تغییر می‌نماید. به عبارت دیگر در ابتدا احتمال کمی برای  $HCMR$  منظور شده و در طی فرآیند بهینه‌یابی، مقدار  $HCMR$  به صورت خطی متناسب با نسبت شماره تکرار به تعداد کل تکرارها، براساس رابطه (۱۹-۳) افزایش می‌یابد.

$$HCMR = HCMR^{Min} + (HCMR^{Max} - HCMR^{Min}) \frac{iter}{iter_{Max}} \quad (19-3)$$

در رابطه (۱۹-۳)،  $HCMR^{Min}$  و  $HCMR^{Max}$  به ترتیب مقادیر حداقل و حداقل پارامتر  $HCMR$  در فرآیند بهینه‌یابی براساس HS می‌باشند.

### ۲-۱-۶-۳-۳ حالت نزولی برای پارامتر $HCMR$

این حالت که با عنوان حالت ۳ مشخص می‌گردد، مشابه حالت ۲ است؛ با این تفاوت که مقدار پارامتر  $HCMR$  در کل فرآیند بهینه‌یابی به صورت نزولی تغییر می‌نماید. به عبارت دیگر در انتهای عملیات بهینه‌یابی احتمال کمی برای پارامتر  $HCMR$  منظور شده و در طی فرآیند بهینه‌یابی، مقدار  $HCMR$  به صورت خطی متناسب با نسبت شماره تکرار به تعداد کل تکرارها، براساس رابطه (۲۰-۳) کاهش می‌یابد.

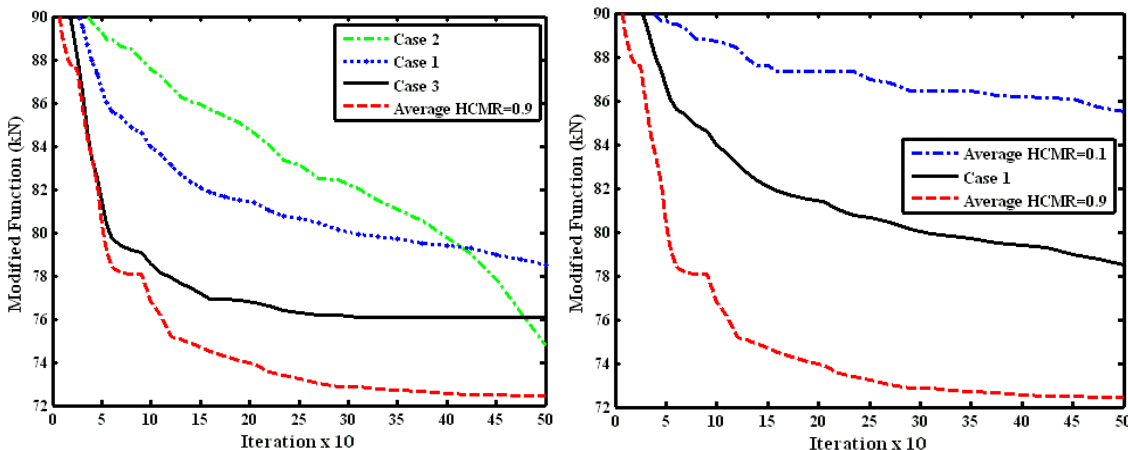
$$HCMR = HCMR^{Max} - (HCMR^{Max} - HCMR^{Min}) \frac{iter}{iter_{Max}} \quad (2+3)$$

پارامترهای رابطه (۲۰-۳) مشابه رابطه (۱۹-۳) می باشند.

#### ۳-۲-۶-۴-۱-۴ بررسی حالات مختلف پارامتر HCMR

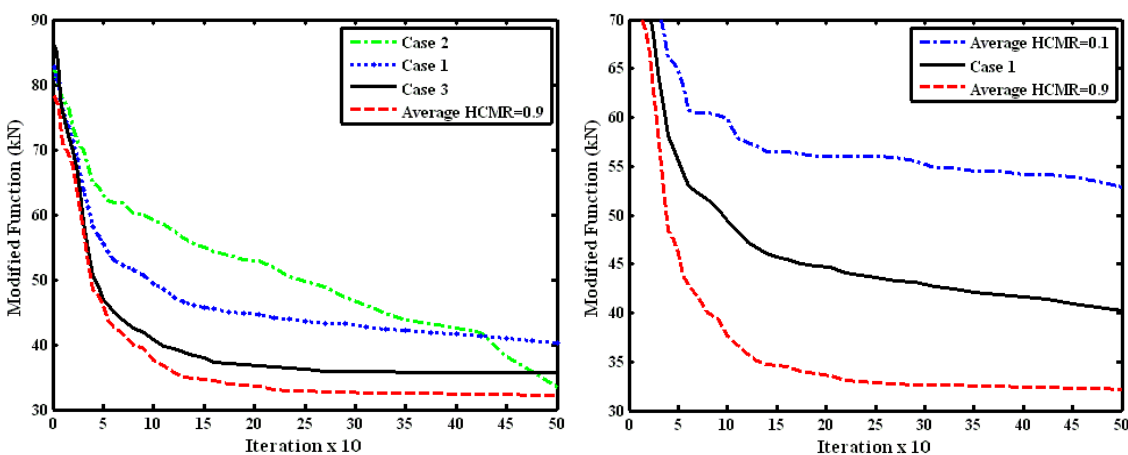
برای بررسی تأثیر پارامتر *HCMR* در روند بهینه‌یابی براساس HS به ازای حالات مذکور از مثال‌های بهینه‌یابی سطح مقطع قاب‌های فولادی استفاده شده است. بدین منظور مشابه حالات پیش قاب پنج طبقه - دو دهانه از بخش ۳-۵ و قاب هشت طبقه - یک دهانه از پیوست الف-۴ به عنوان مثال‌های منتخب، برگزیده شده‌اند. در بررسی‌های انجام شده سعی گردیده برای تمامی حالات شرایط یکسانی فراهم شود تا قضاوتی کارآمد برای بهبود عملکرد HS براساس پارامتر *HCMR* ارائه شود. بدین منظور برای همگام‌سازی حالات ۲ و ۳ با حالت ۱، مقادیر حداقل و حداکثر پارامتر *HCMR* در روابط (۱۹-۳) و (۲۰-۳) به ترتیب برابر ۰/۱ و ۰/۹ منظور شده است. از سوی دیگر برای کاهش تأثیر عوامل تصادفی در روش HS، سیر همگرایی فرآیند بهینه‌یابی هر یک از حالات ۲ و ۳ براساس میانگین سیر همگرایی ۳۰ اجرای مستقل صورت گرفته است.

اشکال (۲۷-۳) و (۲۸-۳) میانگین سیر همگرایی برای قاب پنج طبقه - دو دهانه به ازای حالات مختلف پارامتر  $HCMR$  را نشان می‌دهد. در شکل (۲۷-۳) میانگین سیر همگرایی برای مثال مذکور به ازای مقدار ثابت در بهترین و بدترین عملکرد برای پارامتر  $HCMR$  رسم شده است. همان طور که مشاهده می‌شود، بهترین سیر همگرایی مربوط به مقدار  $0/9$  و نامناسب‌ترین سیر تکاملی بهینه‌یابی مربوط به مقدار  $1/0$  برای پارامتر  $HCMR$  می‌باشد. از سوی دیگر در شکل (۲۸-۳) میانگین سیر همگرایی برای حالات ۱، ۲ و ۳ به همراه بهترین سیر فرآیند بهینه‌یابی در حالت ۱ (HCMR =  $0/9$ ) رسم شده است.



شکل (۲۷-۳) - سیر فرآیند بهینه یابی توسط مقادیر حالت ۱ برای قاب پنج طبقه - دو دهانه

در شکل (۲۹-۳) میانگین سیر همگرایی به ازای مقادیر ثابت  $0/9$  و  $0/1$  برای پارامتر  $HCMR$  که به ترتیب بهترین و بدترین سیر همگرایی در حالت ۱ می‌باشند، برای قاب هشت طبقه - یک دهانه رسم شده است. در این شکل میانگین سیر همگرایی برای حالت ۱ نیز قابل مشاهده است. از سوی دیگر در شکل (۳۰-۳) میانگین سیر همگرایی برای مثال مذکور به ازای حالات ۱، ۲ و ۳ و نیز مقدار ثابت  $0/9$  برای پارامتر  $HCMR$  رسم شده است.



شکل (۳۰-۳) - سیر فرآیند بهینه یابی توسط حالات مختلف برای قاب هشت طبقه - یک دهانه

شکل (۲۹-۳) - سیر فرآیند بهینه یابی توسط مقادیر حالت ۱ برای قاب هشت طبقه - یک دهانه

همان‌طور که در اشکال (۲۷-۳) و (۲۹-۳) مشاهده می‌شود، اختلاف سیر همگرایی بین بهترین و بدترین عملکرد به ازای مقدار ثابت برای پارامتر  $HCMR$  بسیار زیاد می‌باشد. بدین ترتیب می‌توان بیان

نمود که مقدار این پارامتر تأثیر فراوانی در روند بهینه‌یابی براساس  $HS$  دارد. لذا اتخاذ مقداری صحیح و مناسب برای این پارامتر امری مهم و ضروری در روش  $HS$  می‌باشد. با بررسی‌های انجام شده، مشخص گردید که سیر تکاملی فرآیند بهینه‌یابی به تدریج با افزایش مقدار  $HCMR$  بهبود یافته و روند مناسب‌تری برای نیل به نقطه بهینه در پیش می‌گیرد. این مطلب در هر دو مثال مذکور مشاهده شده است. نکته حائز اهمیت دیگر در بررسی‌های انجام شده و اشکال (۲۷-۳) و (۲۹-۳) آن است که در هر دو مثال موجود، سیر همگرایی به ازای مقدار  $0/9$  برای پارامتر  $HCMR$  دارای روند مناسبی است. این برتری در مقادیر طرح بهینه نیز مشاهده شده است. از سوی دیگر براساس اشکال (۲۸-۳) و (۳۰-۳) کارآیی حالت مقدار ثابت  $0/9$  برای  $HCMR$  در قیاس با حالات ۲ و ۳ نیز مناسب‌تر است. بنابراین اتخاذ مقداری ثابت در محدوده  $0/85$  تا  $0/95$  برای این پارامتر می‌تواند روند بهینه‌یابی مناسبی را ارائه دهد. حالت ۳ نیز برای مثالی با فضای طراحی بزرگ (مثال دوم) تقریباً نزدیک به مقدار برتر حالت ۱، سیر تکاملی بهینه‌یابی را طی نموده است. این مطلب با دقت در شکل (۳۰-۳) قابل مشاهده می‌باشد. بنابراین اتخاذ حالت نزولی برای پارامتر  $HCMR$  در مثال‌هایی با فضای طراحی بزرگ به واسطه محدوده وسیع متغیرهای طراحی، می‌تواند راهکار نسبتاً منطقی و مناسبی برای نیل به نقطه بهینه ارائه دهد. براساس این حالت احتمال پذیرش مقادیر متغیرهای طراحی مبتنی بر طرح‌های موجود در حافظه هارمونی ( $HM$ ) به تدریج کاهش می‌یابد و در انتهای فرآیند بهینه‌یابی احتمال تولید طرح‌هایی خارج از مقادیر موجود در  $HM$  افزایش می‌یابد. این شیوه می‌تواند تا حدودی در انتهای فرآیند بهینه‌یابی سبب رهایی از دام بهینه محلی شود.

## ۷-۲-۳ روش جستجوی ذرات باردار

روش جستجوی ذرات باردار (CSS) از محدود الگوریتم‌های بهینه‌یابی است که با فرآیند طراحی بهینه سازه‌ها مطرح شد [۲۲]. این روش بر پایه قوانین ذرات باردار و قوانین حرکت نیوتون، فضای طراحی را جستجو می‌نماید. شرح کامل روش CSS در فصل دوم بخش ۷-۲ طراحی را جستجو می‌شود.

روش نیز همانند سایر الگوریتم‌های فراتکاری وابسته به پارامترهای مختلفی می‌باشد که هر یک نقش بسزایی در روند بهینه‌یابی دارند. تأثیر برخی از این پارامترها در روند بهینه‌یابی توسط دیگر محققین مورد بررسی قرار گرفته و به صورت پویا و فعال در روند بهینه‌یابی تغییر می‌نمایند [۵۱-۵۳]. اما برخی از پارامترهای روش CSS همچون پارامتر بازه زمانی ( $\Delta t$ ) کمتر مورد توجه قرار گرفته و عموماً در روند بهینه‌یابی براساس CSS به صورت ثابت منظور می‌شود. به همین سبب در این رساله تأثیر پارامتر  $\Delta t$  در روند بهینه‌یابی براساس روش CSS بشرح زیر مورد توجه و بررسی قرار گرفته است.

### ۱-۷-۲-۳ بررسی پارامتر بازه زمانی

پارامتر بازه زمانی از جمله عوامل روش CSS می‌باشد که در موقعیت جدید هر طرح به صورت مستقیم بشرح رابطه (۲۴-۲) اثر دارد. این پارامتر به صورت ضریبی با توان یک در سرعت مرحله پیشین ( $v_{j,old}$ ) و به صورت ضریب با توان دو در مقدار نیروی برآیند وارد بر هر ذره ( $F_j$ ) اثر دارد. پارامتر بازه زمانی براساس پیشنهاد مطرح‌کنندگان روش CSS همواره برابر یک در نظر گرفته می‌شود. بدین ترتیب براساس این پیشنهاد پارامتر  $\Delta t$  در رابطه (۲۴-۲) تأثیری نداشته و حذف می‌شود. در حالی که در فرآیند تکاملی ذرات باردار در دنیای واقعی، پارامتر بازه زمانی از مسائل مهم بوده و قابل حذف نمی‌باشد. به همین سبب در این رساله به بررسی تأثیر لزوم و عدم لزوم این پارامتر در عملکرد روش CSS پرداخته شده است. برای این منظور مقدار پارامتر  $\Delta t$  به ازای مقادیر مختلف و حالات متفاوت که بشرح زیر ارائه و مورد ارزیابی قرار گرفته است. حالات موجود و مقادیر مفروض نتیجه بررسی‌های انجام شده در روند بهینه‌یابی براساس CSS می‌باشد.

### ۱-۷-۲-۳-۱ مقادیر ثابت برای پارامتر بازه زمانی

در این حالت که با عنوان حالت ۱ معرفی می‌گردد، پارامتر بازه زمانی به صورت مقداری ثابت لحاظ شده است. بدین منظور مقدار  $\Delta t$  برابر مقادیر ثابت  $0/5, 0/6, 0/7, 0/8, 0/9, 1, 1/2, 1/3, 1/4, 1/5$  می‌باشد.

۱/۴ و ۱/۵ در اجراهای متفاوت روش CSS در نظر گرفته شده است. انتخاب این مقادیر نتیجه بررسی‌های مختلف انجام شده برای روش بهینه‌یابی CSS است. در ادامه برای این حالت در جهت کاهش تأثیر پارامترهای تصادفی در روند بهینه‌یابی، به ازای هر مقدار پارامتر بازه زمانی، ۱۰ اجرای مستقل برای فرآیند بهینه‌یابی صورت گرفته است. سپس میانگین سیر همگرایی برای هر  $\Delta t$  محاسبه و تعیین شده است. در نهایت میانگین سیر همگرایی برای تمامی مقادیر ثابت  $\Delta t$  محاسبه (میانگین ۱۰۰ اجرای فرآیند بهینه‌یابی) و به صورت نماینده سیر همگرایی حالت ۱ که مربوط به پارامتر بازه زمانی با مقدار ثابت می‌باشد، ارائه شده است.

### ۲-۱-۷-۲-۳ حالت صعودی برای پارامتر بازه زمانی

در این حالت که با عنوان حالت ۲ مشخص می‌شود، پارامتر بازه زمانی به صورت صعودی در کل فرآیند بهینه‌یابی تغییر می‌نماید. به عبارت دیگر به ازای این حالت در ابتدای فرآیند بهینه‌یابی احتمال کمی برای  $\Delta t$  منظور شده و در طی عملیات بهینه‌یابی، مقدار پارامتر  $\Delta t$  به صورت خطی متناسب با نسبت شماره تکرار به تعداد کل تکرارها، براساس رابطه (۲۱-۳) افزایش می‌یابد.

$$\Delta t = \Delta t^{Min} + (\Delta t^{Max} - \Delta t^{Min}) \frac{iter}{iter_{Max}} \quad (21-3)$$

در رابطه (۲۱-۳)،  $\Delta t^{Min}$  و  $\Delta t^{Max}$  به ترتیب مقادیر حداقل و حداقل پارامتر بازه زمانی در فرآیند بهینه‌یابی است.

### ۳-۱-۷-۲-۳ حالت نزولی برای پارامتر بازه زمانی

این حالت که با عنوان حالت ۳ معرفی می‌گردد، مشابه حالت ۲ است؛ با این تفاوت که مقدار پارامتر بازه زمانی در کل فرآیند بهینه‌یابی به صورت نزولی تغییر می‌نماید. به عبارت دیگر به ازای این حالت، در انتهای فرآیند بهینه‌یابی مقادیر کوچکی برای پارامتر بازه زمانی منظور شده و در طی

عملیات بهینه‌یابی، مقدار  $\Delta t$  به صورت خطی متناسب با نسبت شماره تکرار به تعداد کل تکرارها، براساس رابطه (۲۲-۳) کاهش می‌یابد.

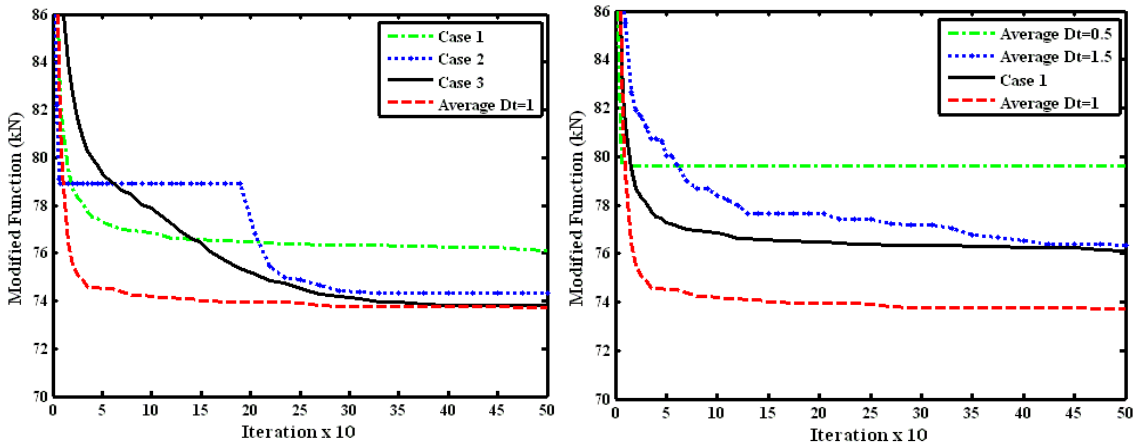
$$\Delta t = \Delta t^{Max} - (\Delta t^{Max} - \Delta t^{Min}) \frac{iter}{iter_{Max}} \quad (22-3)$$

پارامترهای رابطه (۲۲-۳) مشابه رابطه (۲۱-۳) است.

#### ۴-۱-۷-۲-۳ برسی حالات مختلف پارامتر بازه زمانی

برای برسی تأثیر لزوم و عدم لزوم پارامتر بازه زمانی در روند بهینه‌یابی براساس CSS، مشابه دیگر الگوریتم‌های فرآبتكاری از مسائل بهینه‌یابی سطح مقطع قاب‌های فولادی استفاده شده است. بدین منظور قاب پنج طبقه - دو دهانه بشرح بخش ۱-۵-۳ و قاب هشت طبقه - یک دهانه بشرح پیوست الف-۴ مثال‌های برگزیده برای برسی پارامتر  $\Delta t$  در بهینه‌یابی براساس CSS می‌باشند. در برسی‌های انجام شده برای قضاوی منطقی نسبت به عملکرد پارامتر بازه زمانی، سعی شده است تا شرایط یکسانی برای تمامی حالات منظور شود. بدین ترتیب مقادیر حداقل و حداکثر در حالات ۲ و ۳ برای هماهنگی با حالت ۱ به ترتیب برابر  $5/0$  و  $1/5$  لحاظ گردیده است. این مقادیر طی برسی‌های مختلف روش CSS نتیجه شده است. از سوی دیگر در حالات ۲ و ۳ نیز برای اجتناب از تأثیر عوامل تصادفی در روند بهینه‌یابی و مقایسه نتایج، سیر همگرایی هر حالت از میانگین ۳۰ اجرای مستقل فرآیند بهینه‌یابی حاصل می‌شود.

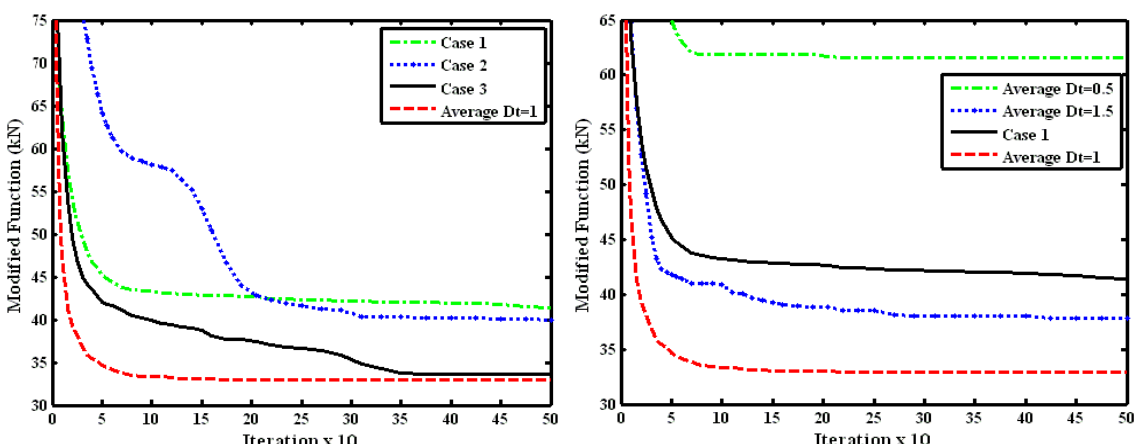
اشکال (۳۱-۳) و (۳۲-۳) میانگین سیر بهینه‌یابی را برای قاب پنج طبقه - دو دهانه به ازای حالات و مقادیر مختلف پارامتر  $\Delta t$  نشان می‌دهد. در شکل (۳۱-۳) میانگین سیر همگرایی به ازای مقادیر حداکثر، حداقل و بهترین مقدار ثابت برای پارامتر بازه زمانی، به همراه میانگین سیر همگرایی حالت ۱ رسم شده است. از سوی دیگر بهترین سیر همگرایی به ازای مقدار ثابت در شکل (۳۲-۳) با حالات ۱، ۲ و ۳ مقایسه شده است.



شکل (۳۱-۳) - سیر فرآیند بهینه‌یابی توسط مقدار  
حالات مختلف برای قاب پنج طبقه - دو دهانه

شکل (۳۱-۳) - سیر فرآیند بهینه‌یابی توسط مقدار  
حالت ۱ برای قاب پنج طبقه - دو دهانه

در شکل (۳۳-۳) میانگین سیر همگرایی به ازای حداقل و حداکثر مقدار ثابت برای مثال قاب هشت طبقه - یک دهانه رسم شده است. در این شکل بهترین میانگین سیر همگرایی به ازای مقدار ثابت یک و نیز میانگین سیر همگرایی حالت ۱ (۱۱۰) اجرای فرآیند بهینه‌یابی) منظور شده است. از سوی دیگر در شکل (۳۴-۳) بهترین میانگین سیر همگرایی مقدار ثابت برای پارامتر  $\Delta t$  به همراه میانگین سیر همگرایی حالات مختلف قابل مشاهده است.



شکل (۳۴-۳) - سیر فرآیند بهینه‌یابی توسط  
حالات مختلف برای قاب هشت طبقه - یک دهانه

شکل (۳۳-۳) - سیر فرآیند بهینه‌یابی توسط  
مقدار حالت ۱ برای قاب هشت طبقه - یک دهانه

همان‌طور که در اشکال (۳۱-۳) و (۳۳-۳) مشاهده می‌شود، پارامتر بازه زمانی، عاملی مهم در روند بهینه‌یابی براساس CSS می‌باشد. چراکه عدم انتخاب مقداری صحیح برای این پارامتر روند بهینه‌یابی

را دستخوش تغییرات چشمگیری می‌نماید. این مطلب با مشاهده اختلاف سیر همگرایی مقادیر مختلف در حالت ۱ براساس اشکال (۳۱-۳) و (۳۳-۳) قابل مشاهده می‌باشد. بنابراین انتخاب مقداری مناسب برای پارامتر بازه زمانی در روش بهینه‌یابی براساس CSS امری مهم و ضروری است.

از سوی دیگر همان‌طور که در اشکال (۳۲-۳) و (۳۴-۳) مشاهده می‌شود، مقدار واحد برای پارامتر  $\Delta t$  مقداری مناسب می‌باشد، چراکه در هر دو مثال مذکور بهترین سیر همگرایی را نسبت به سایر حالات از خود نشان داده است. اتخاذ مقدار واحد برای این پارامتر سبب می‌شود تا موقعیت جدید هر ذره در روش CSS کمتر دچار آشفتگی و تغییرات شود و اصولاً براساس سایر پارامترهای رابطه (۲۴-۲) شکل گیرد. بنابراین برای فرآیند طراحی بهینه سازه‌ها براساس روش CSS، مقدار یک برای پارامتر بازه زمانی توصیه می‌شود. پس از حالت اتخاذ مقدار واحد برای پارامتر بازه زمانی، حالت ۳ با شیوه‌ای نزولی برای  $\Delta t$  روند مناسبی را برای بهینه‌یابی براساس CSS ارائه می‌دهد. در این حالت مقدار پارامتر  $\Delta t$  در ابتدا بالا بوده و با افزایش تعداد دفعات تکرار، مقدار آن به صورت خطی کاهش می‌یابد. ممکن است با بررسی بیشتر روش بهینه‌یابی براساس CSS بتوان مقادیر حداقل و حداکثری را پیشنهاد نمود که سبب افزایش کارآیی CSS براساس حالت ۳ شود.

### ۳-۳ روش نوین جستجوی چندمنظوره

با بررسی‌های انجام شده در بخش ۲-۳، مشاهده گردید که اکثر الگوریتم‌های فرابتکاری وابستگی فراوانی به پارامترهای مختلف روش دارند. عدم شناخت صحیح این پارامترها سبب می‌شود تا کارآیی هر یک از الگوریتم‌های فرابتکاری به طور چشمگیری دستخوش تغییرات شود. در این راستا براساس تحقیقات بخش پیشین و با بررسی‌های انجام شده و ارائه حالات پویا و فعال برای برخی از پارامترهای هر یک از الگوریتم‌های فرابتکاری انتخابی، سعی شده است تا فرآیند سعی و خطأ جهت کسب مقدار مناسب پارامتر از روند بهینه‌یابی براساس الگوریتم مربوطه حذف شود. در این بخش نیز

در راستای توسعه و بهبود کارآیی الگوریتم‌های فرابتکاری، روش جستجوی چندمنظوره<sup>۱</sup> (MSM) ارائه شده است. در این روش سعی گردیده تا با استفاده از تفکر سیستم جزیره‌ای و به کارگیری ساختارهای مختلف روش موردنظر، تأثیر مقادیر پارامترهای و روابط حاکم بر الگوریتم انتخابی کاهش یابد. برای این منظور به عنوان نمونه جهت ارائه روش MSM از الگوریتم ژنتیک بشرح زیر استفاده شده است.

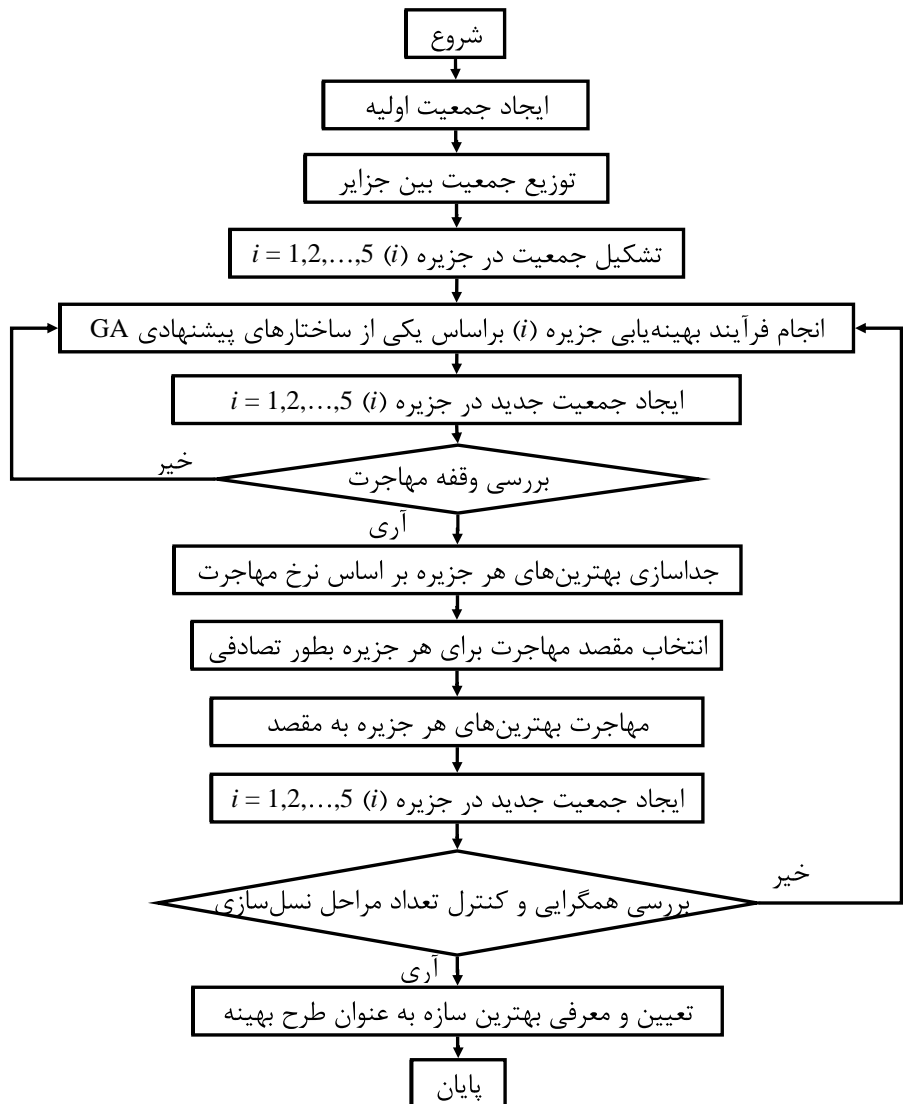
### ۱-۳-۳ روش جستجوی چندمنظوره بر پایه الگوریتم‌های ژنتیک

الگوریتم ژنتیک از جمله روش‌هایی است که متناسب با تاریخچه نسبتاً طولانی و کارآیی مناسب، دارای ساختارهای متفاوتی برای هر یک از مراحل GA بشرح بخش ۱-۲-۲ و ۱-۲-۳ است. اکثر این ساختارهای نتیجه تحقیقات متعدد توسط محققین مختلف برای GA می‌باشد. در هر ساختار پیشنهادی پارامترها و روابط GA و عوامل شیوه پیشنهادی تأثیر فراوانی بر عملکرد الگوریتم ژنتیک در فرآیند بهینه‌یابی دارند. عدم شناخت صحیح این پارامترها و روابط حاکم بر GA از قبیل تعداد اعضای جمعیت، تعداد نسل‌ها، نرخ عملگرهای GA همچون پیوند و جهش، نوع و پارامترهای تابع جریمه، تابع شایستگی، فرآیند انتخاب و ... سبب می‌شود تا در برخی موقعیت‌ها کارآیی الگوریتم کاهش یابد. در این رساله روش جستجوی چندمنظوره با ویژگی‌های منحصر بفرد در افزایش دقیقت در کاوش فضای طراحی و کاهش تأثیر پارامترهای GA و روابط حاکم بر آن، براساس ساختارهای مختلف پیشنهادی توسط محققین، ارائه شده است. در روش نوین MSM بر پایه الگوریتم ژنتیک (MSM-GA)، ابتدا جمعیت GA به بخش‌های مختلف (جزایر متنوع) تقسیم می‌شود [۶۲]. هر جزیره دارای روش بهینه‌یابی مبتنی بر GA با ساختاری متفاوت است. این طریقه عمل سبب می‌شود، جواب‌ها از تنوع خوبی برخوردار شوند. روش MSM-GA در دو حالت با عنوان‌های MSM-GA-1 و MSM-GA-2 بشرح زیر ارائه شده است.

<sup>۱</sup>. Multi Search Method (MSM)

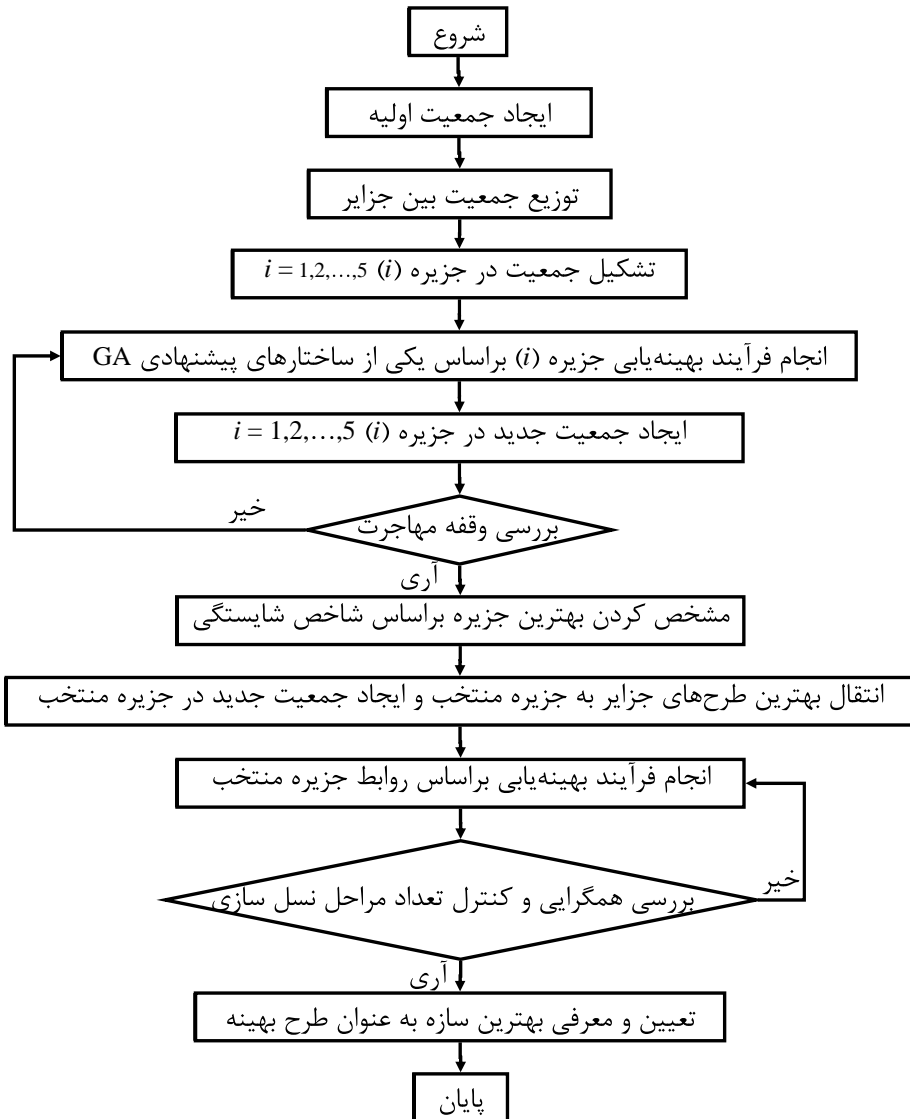
در ۱-MSM-GA بهترین اعضای هر جزیره براساس نرخ مهاجرت پس از طی چند نسل مشخص مبتنی بر وقهه مهاجرت، به طور تناوبی به جزایر دیگر منتقل می‌شود. پارامتر وقهه مهاجرت بیانگر تعداد نسل‌های بین هر انتقال و نرخ مهاجرت بیانگر درصد اعضای منتخب برای انتقال از هر جزیره در زمان انتقال می‌باشد. بدین ترتیب عملگر مهاجرت، درصدی از بهترین‌های یک زیرجمعیت را به جزیره دیگر فرستاده و جایگزین اعضاًی با شایستگی پایین می‌نماید. در فرآیند مهاجرت هر کدام از زیرجمعیتها دارای یک مقصد تصادفی می‌باشند و این مقصددها به طور تصادفی در هر دوره تناوب مهاجرت مشخص می‌شوند. پس از فرآیند مهاجرت، هر ساختار از الگوریتم ژنتیک موجود در جزایر، جمعیت‌های مهاجر را با باقیمانده اعضای جمعیت ترکیب می‌نماید و به سوی حصول جمعیتی با شایستگی بالاتر گام بر می‌دارد. در ۱-GA-MSM به سبب وجود مکانیزم مهاجرت، جواب‌ها در خلال فرآیند کاوش از تنوع خاصی برخوردارند. چراکه به دلیل خصوصیات مجزا و ساختارهای متفاوت هر جزیره، از تمامی روش‌های معتبر و کارآمد معرفی شده توسط محققین بهره گرفته شده است. بدین ترتیب هر مسئله بهینه‌یابی در یک لحظه با چندین روش، بررسی و فضای طراحی کاوش می‌شود و در ادامه بهترین نتایج، بین دیگر جزایر به اشتراک گذاشته و اعضای جدیدی در اختیار هر جزیره برای پرورش قرار می‌گیرد. این خصوصیات بطور دسته جمعی سبب کاهش تأثیر پارامترها و روابط حاکم بر عملیات GA می‌شود و کارآیی الگوریتم ژنتیک برای کاوش دقیق‌تر فضای طراحی افزایش می‌یابد.

شكل (۳-۳۵) مراحل حالت اول روش MSM-GA را نشان می‌دهد.



شکل (۳۵-۳) - حالت اول روش جستجوی چندمنظوره (MSM-GA-1)

در گام ۲ MSM-GA-1 نیز مشابه MSM-GA-1، نخست مسئله بهینه‌یابی براساس روش‌های مختلف جزایر بررسی و فضای طراحی کاوش می‌شود. سپس براساس شیوه این روش در زمان وقفه مهاجرت، شایسته‌ترین جزیره در نیل به نقطه کمینه شناسایی می‌شود. در ادامه الگوریتم حاکم بر جزیره برتر در کل سیستم حاکم خواهد شد. به بیان دیگر بهترین نتایج حاصل از جزایر مختلف، در جزیره منتخب گردآوری و فرآیند بهینه‌یابی براساس ساختار مطرح در جزیره منتخب ادامه می‌باید. این شیوه ضمن کاهش تأثیر پارامترهای GA، سبب افزایش سرعت عملیات بهینه‌یابی نیز می‌شود. لازم به ذکر است که در گام ۲ MSM-GA وقفه مهاجرت بیشتر از ۱ مرحله حالت MSM-GA را نشان می‌دهد.



شکل (۳۶-۳) - حالت دوم روش جستجوی چندمنظوره (MSM-GA-2)

در مسائلی که به دلیل زیاد بودن متغیرهای طراحی و بزرگ بودن فضای کاوش، تأثیر پارامترهای GA نقش اساسی ایفا می‌نمایند، مدل پیشنهادی به طور مؤثری فضای کاوش را جستجو می‌نماید. در این راستا میزان کارآمدی روش MSM بر پایه الگوریتم‌های ژنتیک با مسائل بهینه‌یابی سطح مقطع و توپولوژی سازه‌های خرپایی، مسائل بهینه‌یابی قاب‌های شیبدار غیرمنشوری، مسئله سطح مقطع و توپولوژی سازه‌های خرپایی، مسائل بهینه‌یابی سازه‌های فضاکار تخت دولایه و نیز مسائل بهینه‌یابی سطح مقطع سازه‌های خرپایی مورد بررسی قرار گرفته است. براین اساس برای مسائل بهینه‌یابی سطح مقطع و توپولوژی، خرپایی ۱۰ میله‌ای بشرح بخش الف-۲، خرپایی فضایی ۲۵ میله‌ای بشرح بخش الف-۳ و شبکه‌های

متعامد ۲×۲، ۳×۳ و ۵×۵ بشرح پیوست الف بخش الف-۵ در نظر گرفته شده است. برای مسائل بهینه‌یابی قاب‌های شبیدار، مسئله بهینه‌یابی قاب شبیدار غیرمنشوری با تیرهای یکنواخت بشرح بخش‌های ۱-۱-۳ به عنوان نمونه در این فصل ارائه و مسئله بهینه‌یابی قاب شبیدار غیرمنشوری با تیرهای غیریکنواخت نیز بشرح بخش الف-۶ از پیوست الف بررسی شده است [۶۳-۶۴]. مسئله بهینه‌یابی سطح‌قطع و هندسه سازه فضاکار نیز براساس سازه فضاکار تخت دولایه ۸×۸ بشرح پیوست الف بخش الف-۷ مورد بررسی قرار گرفته است [۶۵]. از سوی دیگر برای مسائل بهینه‌یابی سطح قطع نیز از برج فولادی ۷۲ میله‌ای بشرح بخش الف-۸ و خرپایی مستوی ۲۰۰ میله‌ای بشرح بخش الف-۹ از پیوست الف استفاده می‌شود [۶۶]. نتایج طرح بهینه برای مثال‌های مذکور براساس روش MSM-GA بیانگر توانایی این روش در کاوش دقیق‌تر فضای طراحی است. این نتایج در جداول مربوط به هر مثال، قابل مشاهده است. همان‌طور که در نتایج این مثال‌ها مشاهده می‌شود، آهنگ پایدار و ثابت روش MSM-GA سبب می‌شود تا الگوریتم از گسترش و پرورش اعضای نالائق جلوگیری نموده و به ترویج اعضای شایسته در فضای ژنتیک می‌پردازد. از سوی دیگر به سبب بی‌نیاری نسبی روش MSM-GA به پارامترها و روابط حاکم بر GA، فرآیند سعی و خطاب برای اتخاذ مقادیر مناسب تقریباً حذف می‌شود. لازم به ذکر است که روش MSM-GA با ارائه ساختارهای پیشنهادی بخش ۱-۲-۳ برای GA و به کارگیری این پیشنهادات در یکی از جزایر، در برخی مواقع با عنوان روش اصلاحی جستجوی چندمنظوره و یا روش جستجوی چندگانه معرفی می‌گردد. این روش برای طراحی بهینه سازه‌های خرپایی در قالب یک نرمافزار به جامعه مهندسین عرضه شده است. این نرمافزار دارای تأیید فنی از دبیرخانه شورای عالی انفورماتیک کشور مربوط به معاونت برنامه‌ریزی و نظارت راهبردی رئیس‌جمهور با شماره شناسایی ۲۰۳۸۹۲ است. شکل (۳-۳۷) تأیید فنی نرمافزار بهینه‌یاب سازه‌های میله‌ای براساس روش جستجوی چندگانه را نشان می‌دهد.

## پنام خدا

اعادت برنامه زیری و نظارت راهبردی مبنی بر  
بیاناتی شناختی عالی اثربوکیکش

کوہی تائید فنی نرم افزار

نرم افزار بهزیستیاب سازه های میدانی (خرماه) براساس روش جتحوی چندگانه

با استادیه مواد و قانون حیات از حقوق پیدا و نهاد کان نرم افزاری هی رایانه ای، صوب ۱۰/۳۷۹، مجلس شورای اسلامی و غیر چهار آینه نمای اجرایی قانون مذکور تخت شماره شناسی زر تابد فی شد. مشخصت دارندگان حقوق بادی و سمعنی (دارنگان و میدآورندگان) در فرایان کوایی مدرج است.

۲۹۸۳۰

می‌باید است نرم افزار فوق و نشر آن تبلیغ قوانین و مقررات مربوط می‌باشد.

۱۰۷ طرف: سندیک ایرانی

معاون نظارت راهبردی و  
سرشواری عالی انفورماتیک کشور

این کوایی ندرستی دوستی محوب می شود و هرگونه جعل آن مستوجب پیکرد قانونی است.

نام و نام خانوادگی	شماره ملی	جنس
دیده شرکت پارسیان	۷۰۱۸۴۵۶۳	۱
گروه سینماهای ایران	۷۰۱۸۴۵۷۳	۲

نام و نویسنده	مقدار	نحوه پذیرش
دکتر احمدی	۷۰	پذیرش آنلاین
دکتر علیزاده	۷۰	پذیرش آنلاین
دکتر میرزا	۷۰	پذیرش آنلاین

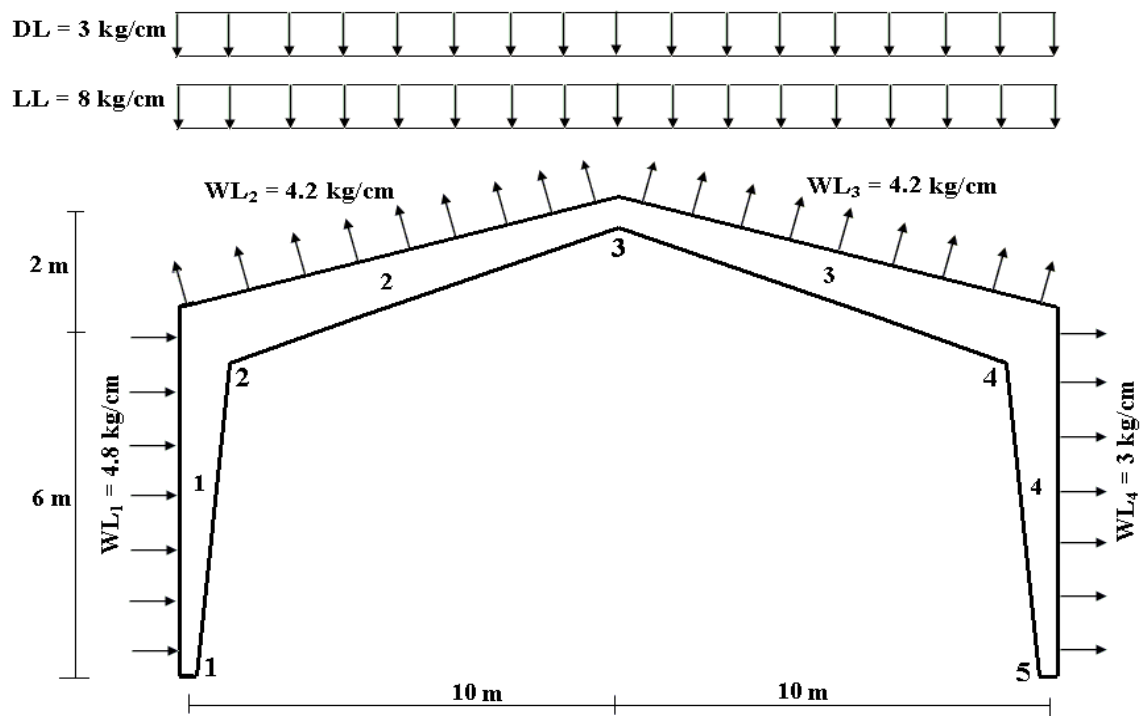
شکل (۳۷-۳) - تأیید فنی نرم افزار بهینه‌یاب سازه‌های میله‌ای بر اساس روش جستجوی چندگانه

از نکات حائز اهمیت در روش MSM به کارگیری ساختارهای متفاوت دیگر الگوریتم‌های فراتکاری در جزایر روش MSM می‌باشد. به بیان دیگر می‌توان در جزایر روش MSM از شیوه‌های مختلف الگوریتمی همچون کلونی مورچگان که دارای ساختارهای متعددی است، استفاده نمود. بدین ترتیب روش جستجوی چندمنظوره بر پایه الگوریتم‌های کلونی مورچگان (MSM-ACO) پدید می‌آید که در کاهش تأثیر پارامترها و روابط حاکم بر ACO مؤثر بوده و فضای طراحی را با دقت بیشتری جستجو می‌نماید.

از ویژگی‌های دیگر روش MSM آن است که متناسب با شیوه جستجو، امکان بهره‌گیری از سیستم‌های رایانه موازی [۶۲] با تخصیص هر جزیره به یک سیستم، نیز مهیا می‌باشد. به بیان دیگر این روش به سبب شیوه جستجوی موازی در فضای طراحی، قابلیت استفاده از سیستم‌های پردازش موازی را دارا بوده و بدین‌سان می‌تواند سبب افزایش مضاعف سرعت عملیات بهینه‌یابی و کسب نتایج مناسب در فضای طراحی شود.

### ۳-۱-۱-۱ بهینه‌یابی قاب شبکه‌دار غیرمنشوری با تیرهای یکنواخت

در این مثال فرآیند طراحی بهینه قابی با مشخصات هندسی و بارگذاری مطابق شکل (۳۸-۳) براساس روش MSM-GA مورد توجه قرار گرفته است. ترکیبات بارگذاری براساس آیین‌نامه بارگذاری [۶۷] در نظر گرفته شده است. در فرآیند طراحی بهینه  $\rho$  و  $E$  به ترتیب برابر  $10^6 \text{ kg/cm}^2$  و  $2/1 \times 10^9 \text{ kg/cm}^3$  در نظر گرفته می‌شود. از سوی دیگر یک مهار طولی در فاصله  $cm 400$  از پایه ستون فرض شده است. بدین ترتیب طول عضو مهارنشده حول محور ضعیف برابر  $cm 400$  فرض می‌شود. فاصله سینه‌بندهای تیر نیز برابر  $200 \text{ cm}$  انتخاب شده است.



شکل (۳۸-۳) - هندسه و بارگذاری قاب شیب‌دار غیرمنشوری با تیرهای یکنواخت

محدوده مجاز برای ابعاد تیر و ستون براساس ورق‌های موجود در بازار بشرح جدول (۱-۳) دسته‌بندی شده‌اند.

جدول (۱-۳) محدوده متغیرهای طراحی برای قاب شیب‌دار غیرمنشوری با تیرهای یکنواخت

متغیر	شرح متغیر	حدبala حدپایین	متغیر	شرح متغیر	حدبala حدپایین
۱	ارتفاع جان در گره ۱ از عضو ۱	۱۰۰	۱۱	ارتفاع جان در گره ۳ از عضو ۳	۱۰
۲	ارتفاع جان در گره ۲ از عضو ۱	۱۰۰	۱۲	ارتفاع جان در گره ۴ از عضو ۳	۱۰
۳	عرض بال عضو ۱	۱۰۰	۱۳	عرض بال عضو ۳	۱۰
۴	ضخامت جان عضو ۱	۳/۵	۱۴	ضخامت جان عضو ۳	۰/۲
۵	ضخامت بال عضو ۱	۳/۵	۱۵	ضخامت بال عضو ۳	۰/۲
۶	ارتفاع جان در گره ۲ از عضو ۲	۱۰۰	۱۶	ارتفاع جان در گره ۴ از عضو ۴	۱۰
۷	ارتفاع جان در گره ۳ از عضو ۲	۱۰۰	۱۷	ارتفاع جان در گره ۵ از عضو ۴	۱۰
۸	عرض بال عضو ۲	۱۰۰	۱۸	عرض بال عضو ۴	۱۰
۹	ضخامت جان عضو ۲	۳/۵	۱۹	ضخامت جان عضو ۴	۰/۲
۱۰	ضخامت بال عضو ۲	۳/۵	۲۰	ضخامت بال عضو ۴	۰/۲

نتایج مربوط به طرح بهینه در جدول (۲-۳) در قیاس با مرجع [۶۸] ارائه شده است. همان‌طور که مشاهده می‌شود، روش MSM-GA به طرحی بهینه‌تر دست یافته است.

جدول (۲-۳) نتایج طرح بهینه قاب شبیه‌دار با تیرهای یکنواخت به روش  $cm$  – MSM-GA

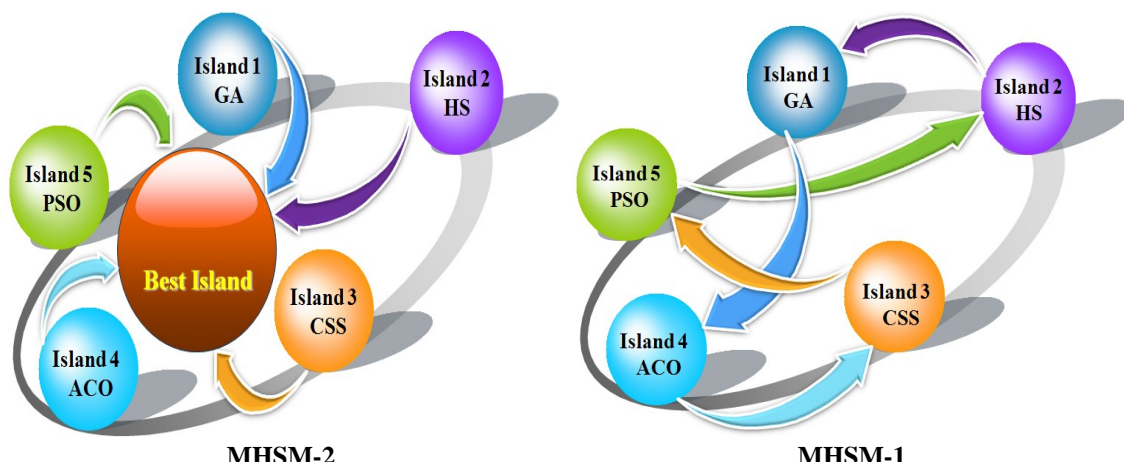
متغیر مرجع [۶۸] SQP	MSM-GA مرجع [۶۸] SQP	شرح متغیر	متغیر مرجع [۶۸] SQP	MSM-GA مرجع [۶۸] SQP	شرح متغیر
۱۷/۲	۳۴	ارتفاع جان در گره ۳ از عضو ۳	۱۱	۱۶/۱۵	۳۲ از عضو ۱
۱۲۵/۰۳	۹۶	ارتفاع جان در گره ۴ از عضو ۳	۱۲	۱۰۲/۵۶	۶۶ از عضو ۱
۱۲/۰۱	۱۲	عرض بال عضو ۳	۱۳	۲۷/۹۶	۲۱ عرض بال عضو ۱
۰/۷۱۵	۰/۶	ضخامت جان عضو ۳	۱۴	۰/۶۱۶	۰/۴ ضخامت جان عضو ۱
۰/۶۳	۱	ضخامت بال عضو ۳	۱۵	۰/۸۷۸	۱ ضخامت بال عضو ۱
۱۰۲/۵۶	۶۵	ارتفاع جان در گره ۴ از عضو ۴	۱۶	۱۲۵/۰۳	۸۷ از عضو ۲
۱۶/۱۵	۲۱	ارتفاع جان در گره ۵ از عضو ۴	۱۷	۱۷/۲	۳۸ از عضو ۲
۲۷/۹۶	۲۱	عرض بال عضو ۴	۱۸	۱۲/۰۱	۱۳ عرض بال عضو ۲
۰/۶۱۶	۰/۴	ضخامت جان عضو ۴	۱۹	۰/۷۱۵	۰/۶ ضخامت جان عضو ۲
۰/۸۷۸	۱	ضخامت بال عضو ۴	۲۰	۰/۶۳	۱ ضخامت بال عضو ۲
۲۴۲۵۲۴ ۲۰۱۴۸۵		$cm^3$ - حجم			

### ۲-۳-۳ روش نوین کاوش چندفرابتکاری

همان‌طور که پیشتر بیان شد، اکثر الگوریتم‌های فرابتکاری وابسته به چگونگی اعمال و مقدار پارامترهای مختلفی در روند بهینه‌یابی می‌باشند. با بررسی‌های مختلف الگوریتم‌های فرابتکاری و ارزیابی جزئیات هر روش و نیز شناسایی ابعاد مختلف الگوریتم MSM، ایده روش کاوش چندفرابتکاری<sup>۱</sup> (MHSM) شکل گرفته است. این روش در جهت توسعه روش MSM با بکارگیری الگوریتم‌های فرابتکاری مختلف به عنوان ساختار هر جزیره ارائه شده است. بدین منظور در هر جزیره روش MHSM یک الگوریتم فرابتکاری به کار گرفته می‌شود. الگوریتم‌های ACO، GA، PSO، HS و CSS روش‌های فرابتکاری منتخب برای جزایر روش MHSM می‌باشند. شیوه عمل در روش MHSM مشابه روش MSM بوده و این الگوریتم نیز در دو حالت با عنوان MHSM-1 و MHSM-2 ارائه شده

<sup>۱</sup>. Multi Heuristic based Search Method (MHSM)

است. بدین ترتیب در روش MHSMS همانند روش MSM ابتدا جمعیت اولیه به بخش‌های مختلف تقسیم و زیر جمعیت‌ها در جزایر موجود سازماندهی می‌شود. هر جزیره دارای روش بهینه‌یابی مجزایی بشرح الگوریتم‌های مذکور بشرح توضیحات فصل دوم و بخش ۲-۳ می‌باشد. در پایان چند نسل سازی معین با استفاده از وقفه مهاجرت و نرخ مهاجرت بهترین‌ها بین جزایر جابجا می‌شوند. با تکرار این روند، روش MHSMS-1 شکل می‌گیرد. در MHSMS-2 همانند حالت دوم روش MSM، بهترین جزیره براساس طرح‌های موجود در جزایر، در زمان وقفه مهاجرت مشخص می‌شود. سپس روابط حاکم بر جزیره برتر در کل سیستم حاکم شده و فرآیند بهینه‌یابی براساس الگوریتم منتخب ادامه می‌یابد. شکل (۳۹-۳) نمایی شماتیک از حالات روش پیشنهادی کاوش چندفرابتکاری را نشان می‌دهد.



شکل (۳۹-۳) - حالات روش کاوش چندفرابتکاری (MHSMS)

نکته حائز اهمیت در روش‌های MHSMS فرآیند مهاجرت می‌باشد که می‌بایست اعضای مهاجر براساس شرایط و ساختار اعضای جزیره مبدأ تغییر یابند. این تغییر یک نوع سازگاری با محیط جزیره مبدأ می‌باشد. برای این منظور ابتدا یک معیار مشترک برای مقایسه برتری اعضای جزایر لازم است. این مهم براساس تابع هدف اصلاح شده بشرح رابطه (۳-۲) حاصل می‌شود. سپس فرآیند دگرگونی و سازگاری برای اعضای مهاجر متناسب با ساختار و الگوریتم حاکم بر جزیره مبدأ بشرح زیر صورت می‌پذیرد.

اگر مقصود جزیره GA باشد، اعضای مهاجر به فضای ژنتیک نگاشت شده و به رشته‌هایی هم‌ارز با طرح‌های معادل با اعضای مهاجر تبدیل می‌شود. اگر مقصود جزایر PSO و CSS باشد، اعضای مهاجر به فضای برداری نگاشت شده و هر طرح به صورت یک بردار در فضای طراحی مشخص می‌گردد. در صورتی که مقصود جزیره HS باشد، هر یک از اعضای مهاجر به صورت یک ماتریس سط्रی به تعداد درایه بیان می‌شود. درایه‌های هر یک از این ماتریس‌های سط्रی، بیانگر مقدار متغیرهای طراحی Nos مربوط به طرح مهاجر می‌باشد. این ماتریس‌های سط्रی قابلیت جانشینی برای طرح‌های موجود در ماتریس HM را دارند. اما مسئله قابل توجه در جزیره ACO است. اگر مقصود جزیره ACO باشد، به سبب آن که انتخاب حالات شایسته براساس رابطه (۱۰-۲) با استفاده از میزان فرومون هر حالت در ماتریس Ph انجام می‌شود، می‌بایست ابتدا درایه‌های معادل برای طرح‌های مهاجر در ماتریس Ph مشخص شود. سپس میزان فرومون درایه‌های موردنظر مناسب با کیفیت (مقدار تابع هدف اصلاح شده) طرح‌های مهاجر افزایش یابد. بدین‌ترتیب شناس انتخاب مقدار مشخص مربوط به متغیرهای طراحی اعضای مهاجر در فرآیند بهینه‌یابی براساس ACO در جزیره مربوطه افزایش می‌یابد. برای افزایش میزان فرومون درایه‌های معادل با طرح‌های مهاجر از رابطه (۲۳-۳) استفاده می‌شود.

$$Ph_{ij}^{new} = Ph_{ij}^{old} + \left[ (1 - e_r) \times \frac{Ph_{ij}^{old}}{2Ph_{ij}^0} \times \frac{\phi_{best}}{\phi_k} (iter^{0.05}) \right] \quad (23-3)$$

در رابطه (۲۳-۳)  $\phi_{best}$  میزان تابع هدف اصلاح شده بهترین طرح در جزیره ACO در زمان مهاجرت می‌باشد.  $\phi_k$  نیز میزان تابع هدف اصلاح شده kامین طرح مهاجر است. سایر پارامترهای رابطه (۲۳-۳) در بخش‌های گذشته به خصوص بخش ۴-۲-۲ از فصل پیش تعریف شده است.

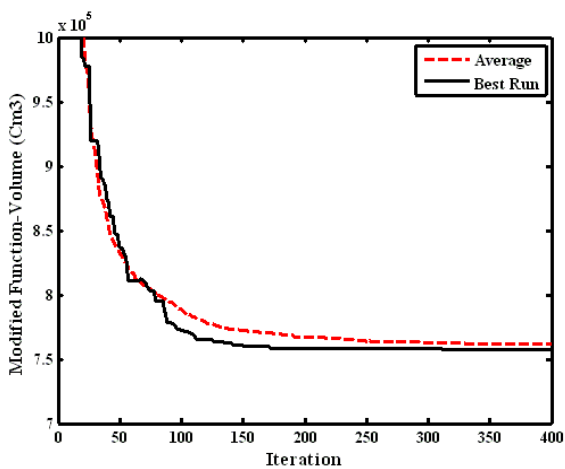
براساس اصول فوق فرآیند مهاجرت در روش MHSM قابل اجرا می‌باشد. کلیات مراحل روش‌های MHSM مشابه روش MSM بشرح اشکال (۳۵-۳) و (۳۶-۳) است. این روش نیز مناسب با شیوه جستجوی موازی قابلیت استفاده از سیستم‌های پردازش موازی را دارد. ویژگی منحصر بفرد روش MHSM کاهش تأثیر پارامترهای الگوریتم‌های فراتکاری و نیز افزایش دقت و دامنه جستجوی فضای طراحی است. بدین‌منظور برای ارزیابی معیار دقت الگوریتم MHSM در کاوش

فضای جستجوی مسائلی با فضای طراحی بزرگ از مثال‌های بهینه‌یابی پیکربندی سازه‌های خرپایی استفاده شده است. خرپایی مستوی ۱۰ میله‌ای بشرح بخش الف-۱۰، خرپایی فضایی ۲۵ میله‌ای بشرح بخش الف-۱۱ و خرپایی ۱۳۱ میله‌ای بشرح بخش الف-۱۲ از پیوست الف و خرپایی مستوی ۱۵ میله‌ای بشرح بخش ۱-۲-۳-۳ مثال‌های منتخب برای بررسی میزان دقیق الگوریتم MHSM در کاوش فضاهای بزرگ جستجوی می‌باشند. در مسائل پیکربندی به سبب اتخاذ سه نوع متغیر طراحی سطح مقطع، تپولوژی و هندسه به صورت همزمان، فضای طراحی به طور چشمگیری رشد نموده و احتمال گرفتاری در بهینه محلی زیاد می‌باشد. به همین سبب این نوع مسائل معیار مناسبی برای ارزیابی دقیق کاوش فضای طراحی و عدم گرفتاری در بهینه محلی براساس الگوریتم پیشنهادی است.

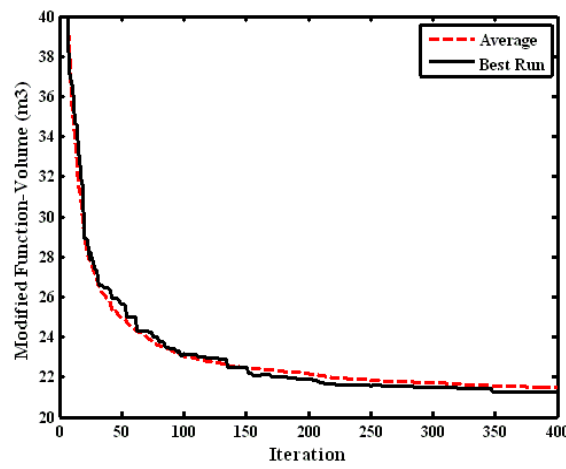
نتایج مثال‌های مذکور در جداول مربوط به هر مثال در قیاس با دیگر مراجع قابل مشاهده می‌باشد. براساس این جداول، روش MHSM فضای طراحی را دقیق‌تر از سایر مراجع جستجو نموده و به طرحی بهینه‌تر دست یافته است. در راستای بررسی میزان دقیق روش MHSM فرآیند بهینه‌یابی برج فولادی ۹۴۲ میله‌ای نیز بشرح بخش الف-۱۳ از پیوست الف مورد بررسی قرار گرفته است [۶۹].

نتایج این مسئله با بکارگیری تنها سه جزیره در بخش الف-۱۳ ارائه شده است. این نتایج نیز دلالت بر کارآیی مناسب روش MHSM در کاوش فضای طراحی دارد.

از سوی دیگر برای ارزیابی میزان سرعت همگرایی و میزان کاهش تأثیر پارامترهای موجود در الگوریتم‌های فراتکاری از مسائل بهینه‌یابی سطح مقطع دکل‌های فولادی استفاده شده است. بدین منظور برج فولادی ۵۸۲ میله‌ای بشرح بخش الف-۱۴، دکل انتقال نیرو ۲۴۴ میله‌ای بشرح بخش الف-۱۵، دکل انتقال نیرو ۱۶۰ میله‌ای بشرح بخش الف-۱۶ و برج فولادی ۷۲ میله‌ای بشرح بخش الف-۸ از پیوست الف براساس روش MHSM مورد ارزیابی قرار گرفته است. اشکال (۴۰-۳) تا (۴۳-۳) سیر همگرایی مثال‌های مذکور را براساس روش MHSM نشان می‌دهد.

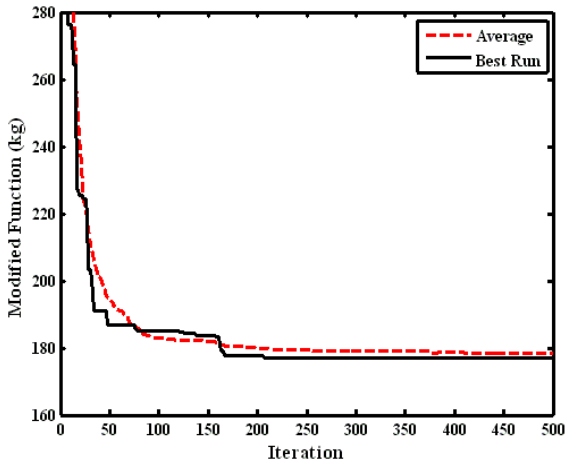


شکل (۴۱-۳) - سیر فرآیند بهینه‌یابی  
دکل انتقال نیرو ۲۴۴ میله‌ای

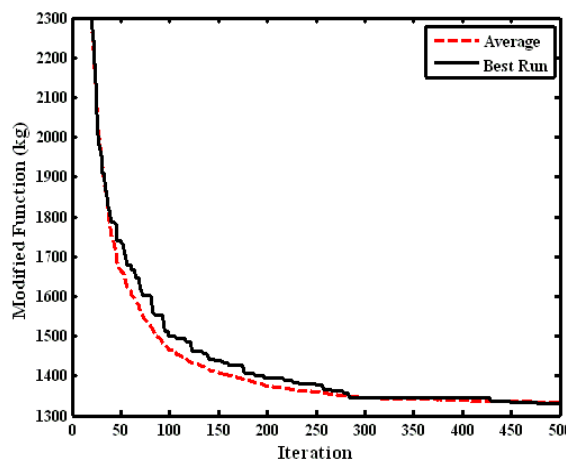


شکل (۴۰-۳) - سیر فرآیند بهینه‌یابی  
برج فولادی ۵۸۲ میله‌ای

در اشکال (۴۰-۳) تا (۴۳-۳) نمودار میانگین ۱۰ اجرای مستقل و متوالی فرآیند بهینه‌یابی براساس روش MHSM به همراه بهترین روند برای فرآیند بهینه‌یابی در اجراهای متوالی برای مثالهای مذکور رسم شده است.



شکل (۴۳-۳) - سیر فرآیند بهینه‌یابی  
برج فولادی ۷۲ میله‌ای



شکل (۴۲-۳) - سیر فرآیند بهینه‌یابی  
دکل انتقال نیرو ۱۶۰ میله‌ای

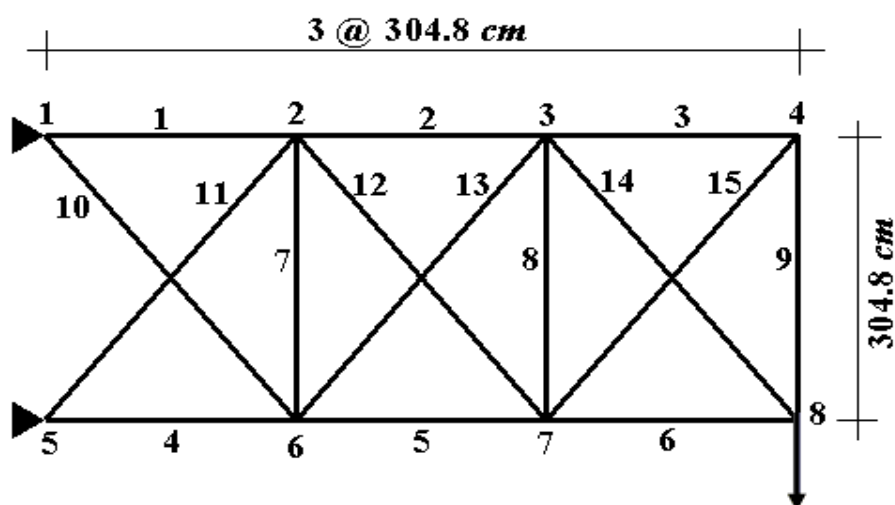
همان‌طور که در اشکال فوق مشاهده می‌شود، نمودار بهترین حالت و میانگین اجراهای متوالی به یکدیگر بسیار نزدیک می‌باشند. این مهم دلالت بر آهنگ ثابت و پایدار روند بهینه‌یابی روش MHSM در نیل به نقطه بهینه داشته و تا حدودی بیانگر عدم وابستگی نسبی روش MHSM به پارامترهای

موجود در الگوریتم‌های فرآبتكاری هر جزیره می‌باشد. به بیان دیگر براساس روش MHSM تأثیر پارامترهای روش‌های موجود در جزایر کاهش یافته است. از سوی دیگر نزدیکی نمودار بهترین اجرا و میانگین اجراهای متوالی بیانگر اطمینان از یک بار اجرای روش MHSM برای کسب طرح قابل قبول می‌باشد. به بیان دیگر روش MHSM از اجراهای متوالی برای کسب جواب مناسب تا حد زیادی مبربی بوده و با یک بار اجرای این روش طرحی مناسب و بهینه حاصل می‌گردد.

لازم به ذکر است که نتایج طرح بهینه برای مثال‌های مذکور نیز در جداول مربوط به هر مثال ارائه شده است. همان‌طور که مشاهده خواهد شد، برای مسائل بهینه‌یابی سطح مقطع دکل‌های فولادی نیز روش MHSM از سایر روش‌های مراجع دیگر موفق‌تر بوده و فضای طراحی را با دقت بیشتر و طیف گسترده‌تری کاوش نموده و به طرحی بهینه‌تر دست یافته است.

### ۱-۲-۳-۳-۱ بهینه‌یابی پیکربندی خرپای مستوی ۱۵ میله‌ای

در این مثال به بهینه‌یابی خرپای مستوی ۱۵ میله‌ای مطابق شکل (۴۴-۳) براساس روش MHSM پرداخته شده است. برای این سازه  $E = 20272 N/cm^3$  و  $\nu = 0.4456$  به ترتیب برابر  $MPa$  و  $6/895 \times 10^4$  میله‌ای می‌باشد. بر این مبنای فرض می‌شود.



شکل (۴۴-۳) - خرپای ۱۵ میله‌ای

در فرآیند طراحی تنها قید تنش با مقدار مجاز  $MPa \pm 172/4$  در نظر گرفته شده و محدوده مجاز

متغیرهای طراحی هندسی با ضریب دقت  $0.0254 cm$  بشرح زیر تعریف می‌شوند.

$$254 \text{ cm} < x_2 = x_6 < 355.6 \text{ cm}, \quad 558.8 \text{ cm} < x_3 = x_7 < 660.4 \text{ cm}$$

$$254 \text{ cm} < y_2 < 355.6 \text{ cm}, \quad 254 \text{ cm} < y_3 < 355.6 \text{ cm}, \quad 127 \text{ cm} < y_4 < 228.6 \text{ cm}$$

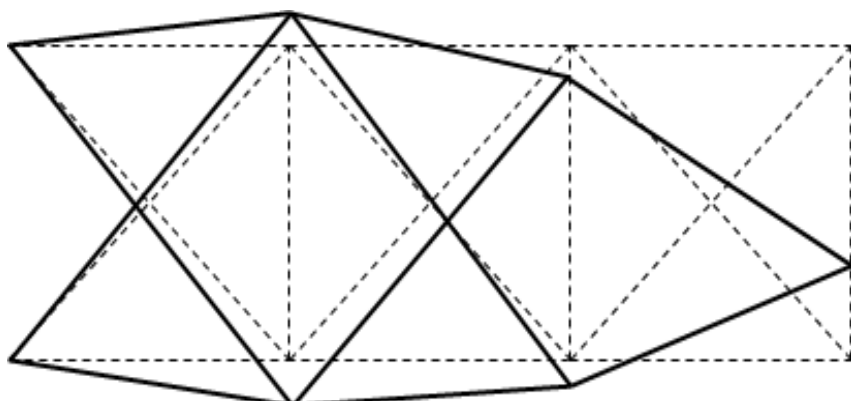
$$-50.8 \text{ cm} < y_6 < 50.8 \text{ cm}, \quad -50.8 \text{ cm} < y_7 < 50.8 \text{ cm}, \quad 50.8 \text{ cm} < y_8 < 152.4 \text{ cm}$$

لیست مقاطع موجود نیز بشرح جدول (۳-۳) در نظر گرفته شده است.

جدول (۳-۳) مجموعه لیست مقاطع برای پیکربندی خرپای ۱۵ میله‌ای

$cm^2$	شماره	$cm^2$	شماره	$cm^2$	شماره	$cm^2$	شماره
$46/4$	۲۵	$17/4$	۱۷	$3/477$	۹	$0/716$	۱
۵۵	۲۶	$18/064$	۱۸	$6/155$	۱۰	$0/91$	۲
۶۰	۲۷	$20/2$	۱۹	$6/974$	۱۱	$1/123$	۳
۷۰	۲۸	۲۳	۲۰	$7/574$	۱۲	$1/419$	۴
۸۶	۲۹	$24/6$	۲۱	۸/۶	۱۳	$1/742$	۵
$92/193$	۳۰	۳۱	۲۲	۹/۶	۱۴	$1/852$	۶
$110/774$	۳۱	$38/4$	۲۳	$11/381$	۱۵	$2/239$	۷
$123/742$	۳۲	$42/4$	۲۴	$13/819$	۱۶	$2/839$	۸

شکل (۴۵-۳) طرح بهینه توپولوژی و هندسی خرپای مستوی ۱۵ میله‌ای را نشان می‌دهد.



شکل (۴۵-۳) - طرح بهینه توپولوژی و هندسی خرپای ۱۵ میله‌ای

نتایج طرح بهینه برای متغیرهای طراحی سطح مقطع و هندسه در جدول (۴-۳) همراه با نتایج دیگر

مراجع قابل مشاهده است.

جدول (۴-۳) نتایج طرح بهینه پیکربندی خرپای ۱۵ میله‌ای براساس روش MHSM

MHSM	مرجع [۷۲]	مرجع [۷۱]	مرجع [۷۰]	شماره گروه
۶/۱۵۵	۶/۱۵۵	۶/۹۷۴	۷/۵۷۴	$a_1 - cm^2$
۳/۴۷۷	۶/۱۵۵	۳/۴۷۷	۶/۱۵۵	$a_2 - cm^2$
--	--	--	۲/۸۳۹	$a_3 - cm^2$
۶/۱۵۵	۶/۹۷۴	۶/۹۷۴	۸/۶	$a_4 - cm^2$
۳/۴۷۷	۳/۴۷۷	۶/۱۵۵	۶/۱۵۵	$a_5 - cm^2$
۲/۸۳۹	۳/۴۷۷	۲/۸۳۹	۱/۱۲۳	$a_6 - cm^2$
--	--	--	۲/۸۳۹	$a_7 - cm^2$
--	--	۰/۹۱	۲/۸۳۹	$a_8 - cm^2$
--	--	--	۶/۹۷۴	$a_9 - cm^2$
۲/۸۳۹	۲/۸۳۹	۱/۷۴۲	۸/۶	$a_{10} - cm^2$
۳/۴۷۷	۱/۴۱۹	۱/۷۴۲	۷/۵۷۴	$a_{11} - cm^2$
۱/۱۲۳	۰/۷۱۶	۳/۴۷۷	۷/۵۷۴	$a_{12} - cm^2$
۱/۱۲۳	۲/۲۳۹	۰/۹۱	۲/۲۳۹	$a_{13} - cm^2$
۳/۴۷۷	۳/۴۷۷	۲/۸۳۹	۲/۲۳۹	$a_{14} - cm^2$
--	--	--	۲/۸۳۹	$a_{15} - cm^2$
۳۰۴/۸۱۲	۲۷۲/۷۶۲	۲۸۴/۰۹۹	۳۱۲/۹	$x_2 - cm$
۶۱۰/۲۰۹	۶۲۰/۹۱۱	۶۱۵/۸۲۳	۵۸۸/۲۵۱	$x_3 - cm$
۳۳۶/۵۷	۳۱۸/۵۶۶	۲۸۴/۲۱۱	۲۷۲/۲۶	$y_2 - cm$
۲۷۳/۲۵۳	۲۹۷/۹۰۵	۲۷۷/۴۱۹	۳۰۲/۷۰۵	$y_3 - cm$
--	--	--	۱۵۳/۵۷۳	$y_4 - cm$
-۴۴/۶۷۱	-۴/۱۲۷	-۲۷/۴۸۳	-۴۲/۴۸۶	$y_6 - cm$
-۲۵/۵۱۷	۴۵/۹۳	-۲۸/۲۷	۳۹/۵۳۵	$y_7 - cm$
۹۸/۰۱۴	۱۲۷/۵۱۸	۱۲۴/۰۵۴	۹۳/۰۷۸	$y_8 - cm$
۳۲۵/۸۸۹	۳۳۴/۰۴۶	۳۴۶/۱۱۶	۵۳۶/۱۳۵	وزن

### ۴-۳ ایده نوین انفصال فضای کاوش

تقریباً در تمامی الگوریتم‌های بهینه‌یابی، با رشد فضای کاوش، سرعت همگرایی و نیل به نقطه بهینه کاهش و احتمال کسب بهینه محلی افزایش می‌یابد. به عنوان نمونه این مسئله در فرآیند طراحی بهینه سطح مقطع سازه‌ها، با افزایش لیست مقاطع موجود اتفاق می‌افتد. به بیان دیگر در روند طراحی بهینه سازه‌ها با افزایش لیست مقاطع موجود، فضای طراحی به طور چشمگیری بزرگ شده و این مسئله سبب کاهش سرعت همگرایی و در برخی موارد کسب بهینه محلی می‌شود. در این راستا،

الگوریتم‌های فرالبتکاری نیز از این قاعده مستثنی نبوده و در اکثر این روش‌ها نیز با رشد فضای جستجو، سرعت همگرایی کاهش و احتمال کسب بهینه محلی افزایش می‌یابد. به عنوان مثال در الگوریتم ژنتیک با افزایش تعداد اعضای لیست مقاطع ( $N_s$ ) که معادل گسترش فضای کاوش است، طول هر زیررشه ( $LS$ ) افزایش می‌یابد. به دنبال افزایش طول هر زیررشه، طول هر رشته که بیانگر طرحی در فضای طراحی است، نیز افزایش خواهد یافت. این مسئله سبب کاهش سرعت همگرایی و افزایش احتمال کسب بهینه محلی در فرآیند بهینه‌یابی براساس GA خواهد شد. مشابه این مسئله در الگوریتم کلونی مورچگان نیز وجود دارد. در ACO با افزایش تعداد حالات ممکن برای هر متغیر طراحی، ابعاد ماتریس فرومون بزرگ شده و این مسئله سبب کاهش مقادیر احتمال انتخاب هر یک از حالات موجود برای هر متغیر طراحی ( $P_{ij}$ ) بشرط رابطه  $(2-10)$  می‌شود. الگوریتم‌های دیگر بهینه‌یابی نیز تقریباً مشابه GA و ACO می‌باشند.

به همین سبب در راستای تلاش‌ها و تحقیقات برای بهبود عملکرد الگوریتم‌های فرالبتکاری، در این رساله ایده نوین انفصل فضای طراحی ارائه شده است. بر این اساس با الهام از فرآیند انفصل در روش اجزای محدود، فضای جستجو به نحوی منطقی تجزیه و منفصل می‌گردد و مقدار هر متغیر طراحی در محدوده مناسب فضای کاوش مورد جستجو قرار می‌گیرد. برای این منظور در ابتدا محدوده مجاز متغیرهای طراحی به تعدادی زیرمجموعه تقسیم می‌شود. در فرآیند طراحی بهینه سطح مقطع سازه‌ها، محدوده مجاز متغیرهای طراحی براساس لیست مقاطع منفصل بیان می‌گردد. بنابراین در ایده پیشنهادی برای فرآیند طراحی بهینه سازه‌ها، می‌باشد لیست مقاطع موجود به تعدادی زیرمجموعه تقسیم شود. لازم به ذکر است که تعداد زیرمجموعه‌ها و تعداد اعضای هر زیرمجموعه در ایده پیشنهادی، براساس انتخاب کاربر و متناسب با شرایط مسئله و لیست مقاطع مشخص می‌شود که عاملی مهم و قابل تأمل است. در ادامه یک عضو از زیرمجموعه به عنوان نماینده برگزیده خواهد شد. انتخاب نماینده هر زیرمجموعه نیز از عوامل مهم و تأثیرگذار در ایده پیشنهادی می‌باشد. در هر صورت پس از مشخص شدن نماینده‌گان هر زیرمجموعه، لیست مقاطع جدید برای تمامی متغیرهای

طراحی شکل می‌گیرد. این لیست شامل نمایندگان هر زیرمجموعه می‌باشد. بدین ترتیب هر متغیر طراحی از لیست مقاطع جدید برای انتخاب سطح مقطع استفاده می‌نماید. به بیان دیگر لیست مقاطع مسئله بهینه‌یابی براساس فرآیند افزار به لیستی جدید با تعداد اعضای کمتر نسبت به لیست اولیه تبدیل می‌شود. در مسائل بهینه‌یابی غیر از مسئله طراحی بهینه سازه‌ها نیز فرآیند افزار منجر به تعریف حالات ممکن جدید برای هر متغیر طراحی خواهد شد که تعداد این حالات نسبت به وضعیت اولیه به مراتب کمتر است.

با مشخص شدن لیست مقاطع جدید (حالات ممکن جدید برای متغیرهای طراحی) فرآیند بهینه‌یابی براساس الگوریتم انتخابی آغاز می‌شود. از آنجا که در این مرحله لیست مقاطع فقط شامل نمایندگان هر زیرمجموعه است، عملیات بهینه‌یابی با تعبیر جستجوی سراسری انجام می‌شود. به عبارت دیگر در این مرحله محدوده طرح بهینه برای هر متغیر طراحی بواسطه جستجوی سراسری مبتنی بر لیست مقاطع جدید مشخص خواهد شد. فرآیند بهینه‌یابی در این مرحله به تعداد مشخصی که از قبل تعیین شده، ادامه می‌یابد. براساس بررسی‌های انجام شده این معیار برابر نصف تعداد کل تکرارهای الگوریتم پیشنهاد می‌شود. این اتخاذ سبب می‌شود تا الگوریتم زمان کافی برای انجام فرآیند جستجوی سراسری داشته باشد. شایان ذکر است که این معیار متناسب با شرایط مسئله و الگوریتم انتخابی، قابل تغییر می‌باشد. پس از پایان تعداد تکرارهای مرتبط با جستجوی سراسری، نوبت به اعمال فرآیند جستجوی محلی براساس الگوریتم انتخابی می‌رسد. برای این منظور لیست مقاطع برای هر متغیر طراحی (حالات ممکن برای هر متغیر طراحی) متناسب با نتیجه طرح بهینه حاصل از فرآیند جستجوی سراسری تغییر خواهد کرد. به بیان دیگر مقادیر طرح بهینه حاصل از جستجوی سراسری برای هر متغیر طراحی، بیانگر زیرمجموعه‌ای از لیست مقاطع است. بنابراین در این مرحله، زیرمجموعه مربوطه به عنوان لیست مقاطع جدید برای متغیر طراحی مورد نظر منظور می‌شود. بدین ترتیب هر متغیر طراحی از لیست مقاطع جدید براساس مقدار حاصل از مرحله جستجوی سراسری، استفاده می‌نماید. بدینهی است که ممکن است در این مرحله لیست مقاطع منتخب برای هر

متغیر طراحی متفاوت باشد. از سوی دیگر نیز در این مرحله تعداد اعضای لیست مقاطع برای هر متغیر طراحی بمراتب کمتر از تعداد لیست مقاطع اولیه ( $N_s$ ) است. در هر صورت پس از مشخص شدن لیست مقاطع جدید برای هر متغیر طراحی، فرآیند بهینه‌یابی براساس الگوریتم انتخابی ادامه می‌یابد. در این مرحله حوالی طرح بهینه حاصل از مرحله جستجوی سراسری، کاوش می‌شود.

بدین ترتیب براساس ایده پیشنهادی، فضای طراحی در دو مرحله با ایجاد توازنی منطقی بین فرآیند جستجوی محلی و سراسری مبتنی بر الگوریتم انتخابی مورد کاوش قرار خواهد گرفت. برای این منظور ابتدا محدوده طرح بهینه با اعمال فرآیند جستجوی سراسری نتیجه می‌شود، سپس همسایگی طرح بهینه حاصل با اعمال جستجوی محلی کاوش خواهد شد. ایده پیشنهادی براساس این شیوه ضمن افزایش دقت در جستجوی فضای طراحی، سبب افزایش سرعت همگرایی در بهینه‌یابی براساس الگوریتم انتخابی می‌شود. کارآیی این ایده طی مثال‌های طراحی بهینه سازه‌ها برای دو الگوریتم ACO و GA بشرح بخش‌های آتی مورد ارزیابی قرار گرفته است.

### ۳-۴-۱ ایده نوین انفال فضای طراحی در الگوریتم ژنتیک

همان‌طور که پیشتر بیان شد، در بهینه‌یابی براساس GA با افزایش لیست مقاطع، به واسطه افزایش طول هر رشته، دقت در جستجوی فضای طراحی و سرعت همگرایی برای نیل به نقطه بهینه کاهش می‌یابد. بنابراین ایده پیشنهادی برای افزایش کارآیی GA در جهت کمزنگ نمودن مشکلات فوق ارائه شده است. بدین‌منظور در این بخش به بررسی تأثیر ایده پیشنهادی و عوامل مختلف آن پرداخته شده است. در این راستا دو عامل مهم ایده پیشنهادی در بهینه‌یابی براساس GA مورد بررسی قرار خواهد گرفت. عضو منتخب از هر زیرمجموعه برای نمایندگی و تعداد زیرمجموعه‌ها به همراه تعداد اعضای هر زیرمجموعه، عوامل مهم و اساسی در ایده پیشنهادی می‌باشند. به همین سبب ضمن بررسی تأثیر ایده پیشنهادی در روند بهینه‌یابی براساس GA، تأثیر عوامل مذکور نیز در دو بخش متفاوت بشرح زیر مورد ارزیابی قرار گرفته است.

### ۴-۱-۱ انتخاب نماینده در ایده انفال فضای طراحی در GA

یکی از نکات اساسی در ایده نوین انفال فضای طراحی، انتخاب عضوی از هر زیرمجموعه به عنوان نماینده جهت تعریف لیست مقاطع مرحله جستجوی سراسری می‌باشد. برای این منظور هر یک از اعضای زیرمجموعه‌ها می‌تواند کاندید باشد. اما در منطقی‌ترین تفکر، بزرگترین عضو، کوچکترین عضو و عضو میانی در هر زیرمجموعه، بهترین اعضا برای کاندید نماینده‌گی خواهند بود. بدین ترتیب سه حالت برای بررسی بهترین نماینده در نظر گرفته می‌شود. در حالت اول پس از تقسیم‌بندی لیست مقاطع به تعدادی زیرمجموعه، بزرگترین عضو هر زیرمجموعه به عنوان نماینده زیرمجموعه انتخاب و در لیست مقاطع جدید برای مرحله جستجوی سراسری قرار می‌گیرد. در حالت دوم کمترین سطح مقطع در لیست مقاطع هر زیرمجموعه به عنوان نماینده زیرمجموعه انتخاب و بر این اساس لیست مقاطع مرحله جستجوی سراسری تعریف می‌شود. در حالت سوم عضو میانی هر زیرمجموعه به عنوان نماینده انتخاب و در لیست مقاطع جدید قرار می‌گیرد.

برای بررسی کارآیی ایده پیشنهادی براساس حالات مذکور در الگوریتم ژنتیک، دو مثال در زمینه بهینه‌یابی سطح مقطع سازه‌های خرپایی انتخاب شده است. بدین منظور خرپای ۵۲ میله‌ای بشرح پیوست الف-۱۷ و برج فولادی ۷۲ میله‌ای بشرح پیوست الف-۸ مثال‌های منتخب برای بررسی حالات مختلف ایده پیشنهادی می‌باشند. در هر دو مثال لیست مقاطع بشرح جدول (الف-۱۸) می‌باشد. براساس تعداد اعضای لیست مقاطع در جدول (الف-۱۸)، طول هر زیرشته در فرآیند بهینه‌یابی براساس GA برابر شش بیت است. بنابراین طول هر رشته براساس تعداد متغیرهای طراحی برابر  $6^{N_{os}}$  خواهد بود که  $N_{os}$  تعداد متغیرهای طراحی مسئله می‌باشد. بدین ترتیب طول هر رشته در بهینه‌یابی براساس GA برابر مثال خرپای ۵۲ میله‌ای برابر ۷۲ بیت و برای مثال برج فولادی برابر ۹۶ میله‌ای برابر ۷۲ بیت است.

در هر صورت جهت اعمال ایده پیشنهادی برای مثال‌های فوق براساس حالات مذکور، لیست مقاطع موجود به هشت زیرمجموعه هشت عضوی بشرح جدول (۳-۵) تقسیم می‌شود. نکته حائز

اهمیت در این فرآیند مرتبسازی لیست مقاطع جدول (الف-۱۸) از کمترین سطح مقطع تا بیشترین سطح مقطع می‌باشد. به بیان دیگر قبل از تقسیم‌بندی لیست مقاطع، می‌بایست اعضای مجموعه اصلی  $\{S\}$  به صورت صعودی مرتب شوند.

**جدول (۳-۵) اعضای لیست مقاطع برای هر زیرمجموعه در ایده انفصال فضای طراحی -  $mm^2$**

شماره	$\{S1\}$	$\{S2\}$	$\{S3\}$	$\{S4\}$	$\{S5\}$	$\{S6\}$	$\{S7\}$	$\{S8\}$
۱	۷۱/۶۱۳	۳۸۸/۳۸۶	۹۳۹/۹۹۸	۳۲۰/۴۴۵	۲۴۷۷/۴۱۴	۱۶۹۶/۷۷۱	۷۴۱۹/۴۳۰	۱۲۸۳۸/۶۸۴
۲	۹۰/۹۶۸	۱۰۰/۸۳۸۵	۴۹۴/۱۹۳	۱۸۵۸/۰۶۱	۲۴۹۶/۷۶۹	۲۱۹/۳۲۰۳	۸۷۰/۹/۶۶۰	۱۴۱۹۳/۵۲۰
۳	۱۲۶/۴۵۱	۱۰۴۵/۱۵۹	۵۰۶/۴۵۱	۲۵۰/۳/۲۲۱	۱۸۹۰/۳۱۹	۳۷۰/۳/۲۱۸	۸۹۶۷/۷۲۴	۱۴۷۷۴/۱۶۴
۴	۱۶۱/۲۹۰	۱۱۶۱/۲۸۸	۶۴۱/۲۸۹	۲۶۹۶/۷۶۹	۱۹۹۳/۵۴۴	۴۶۵۸/۰۵۵	۹۱۶۱/۲۷۲	۱۵۸۰/۶/۴۲۰
۵	۱۹۸/۰۶۴	۱۲۸۳/۸۶۸	۶۴۵/۱۶۰	۲۷۲۲/۵۷۵	۲۱۸۰/۶۴۱	۵۱۴۱/۹۲۵	۹۹۹۹/۹۸۰	۱۷۰/۹۶/۷۴۰
۶	۲۵۲/۲۵۸	۱۳۷۴/۱۹۱	۷۲۹/۰۳۱	۲۲۳۸/۷۰۵	۲۸۹۶/۷۶۸	۵۵۰/۳/۲۱۵	۱۰۳۲۲/۵۶۰	۱۸۰/۶۴/۴۸۰
۷	۲۸۵/۱۶۱	۱۰۹۰/۳/۲۰۴	۵۹۹۹/۹۸۸	۲۹۶۱/۲۸۴	۲۲۹۰/۳۱۸	۱۵۳۵/۴۸۱	۷۹۲/۲۵۶	۱۹۳۵۴/۸۰۰
۸	۱۶۹۰/۳۱۹	۸۱۶/۷۷۳	۳۰۹۶/۷۶۸	۲۳۴۱/۹۳۱	۱۲۱۲۹/۰۰۸	۶۹۹۹/۹۸۶	۲۱۶۱۲/۸۶۰	۳۶۳/۲۲۵

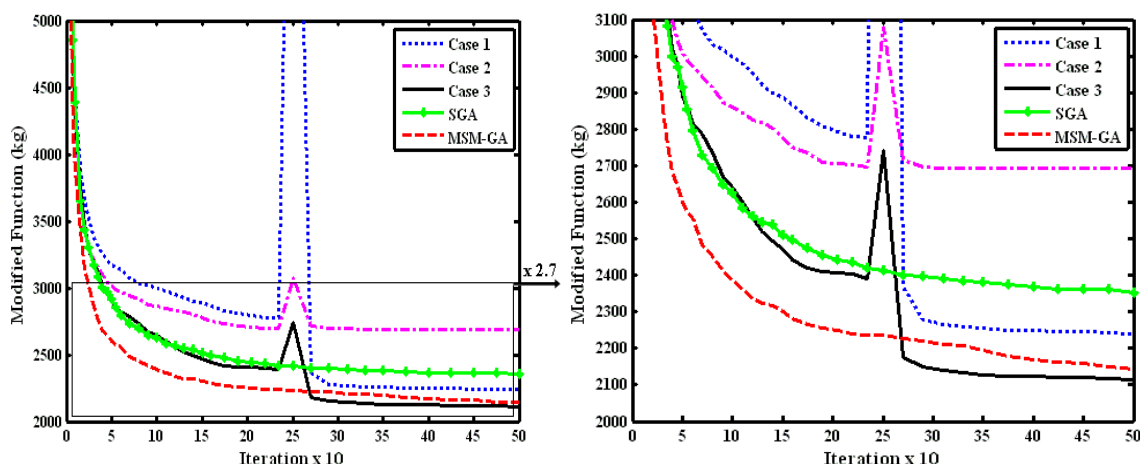
سپس براساس حالات پیشنهادی در هر حالت لیست مقاطع اولیه برای تمامی متغیرهای طراحی براساس نمایندگان هر زیرمجموعه شکل می‌گیرد. بدین ترتیب لیست مقاطع در ابتدای فرآیند بهینه‌یابی الگوریتم ژنتیک برای هر یک از حالات پیشنهادی بشرح زیر می‌باشد.

$\{S\}$ -Case1= {363.225, 816.773, ..., 21612.86} -  $mm^2$   
 $\{S\}$ -Case2= {71.613, 388.386, ..., 12838.684} -  $mm^2$   
 $\{S\}$ -Case3= {198.064, 645.160, ..., 17096.74} -  $mm^2$

با تغییر لیست مقاطع در هر حالت براساس مجموعه‌های فوق، طول هر زیررشته در فرآیند بهینه‌یابی براساس الگوریتم ژنتیک به سه بیت کاهش می‌یابد و بدین ترتیب طول هر رشته برابر  $3Nos$  خواهد بود. به عبارت دیگر براساس ایده پیشنهادی طول هر زیررشته و رشته در فرآیند بهینه‌یابی براساس GA نصف حالت مرسوم شده است. در ادامه همان‌طور که پیشتر بیان شد، جستجوی سراسری براساس لیست مقاطع جدید صورت می‌پذیرد. سپس با پایان فرآیند جستجوی سراسری، لیست مقاطع برای هر متغیر طراحی متناسب با نتیجه حاصل و براساس جدول (۵-۳) تغییر می‌یابد و بدین ترتیب فرآیند جستجوی محلی در پیش گرفته خواهد شد. از آنجاکه در مرحله جستجوی محلی نیز

تعداد اعضای لیست مقاطع برای هر متغیر طراحی برابر هشت بیت است، لذا در مرحله جستجوی محلی نیز طول هر زیررشته برابر سه بیت و طول هر رشته برابر  $3N_{os}$  می‌باشد. بنابراین طول هر رشته در مراحل جستجوی سراسری و محلی برای خرپای ۵۲ میله‌ای برابر ۳۶ بیت و برای برج فولادی ۷۲ میله‌ای برابر ۴۸ بیت است.

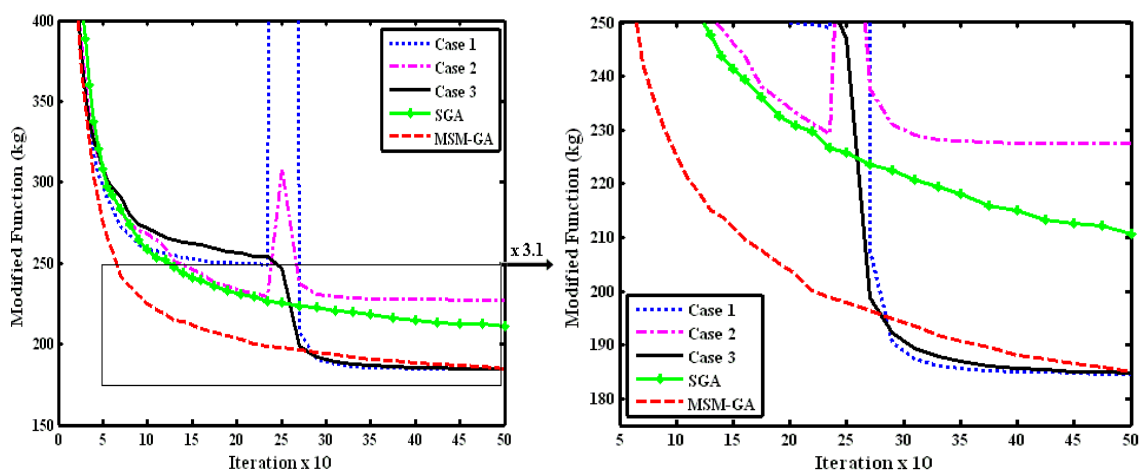
با کاهش طول هر رشته در فرآیند بهینه‌یابی براساس GA، سرعت همگرایی و نیز میزان دقت در کاوش فضای طراحی افزایش می‌یابد. به همین سبب هر یک از مراحل جستجوی سراسری و محلی به طور جداگانه، بهتر از حالت ساده الگوریتم ژنتیک عمل نموده و فضای طراحی جدید خود را موفق‌تر کاوش می‌نمایند. همکاری و تقابل این دو مرحله در کنار یکدیگر سبب افزایش کارآیی GA می‌شود. این مهم در اشکال (۴۶-۳) و (۴۷-۳) قابل مشاهده است. این اشکال تأثیر ایده پیشنهادی در حالات مذکور را در قیاس با الگوریتم ژنتیک ساده<sup>۱</sup> (SGA) و الگوریتم ژنتیک بهبود یافته براساس MSM-GA بشرح بخش ۳-۱، نشان می‌دهد. لازم به ذکر است که در این اشکال برای اجتناب از تأثیر پارامترهای تصادفی در روند بهینه‌یابی، برای حالات پیشنهادی و نیز حالات SGA و MSM-GA در هر مثال ۴۰ اجرای مستقل انجام شده است. سپس میانگین اجراهای متوالی در هر حالت به عنوان سیر همگرایی حالت موردنظر رسم شده است.



شکل (۳)-۴۶-۳)- سیر همگرایی خرپای ۵۲ میله‌ای توسط حالات مختلف پیشنهادی، SGA و MSM-GA

<sup>۱</sup>. Simple Genetic Algorithm

همان‌طور که در شکل (۴۶-۳) مشاهده می‌شود، نامناسب‌ترین سیر همگرایی مربوط به حالت ۲ می‌باشد. این در حالی است که بهترین سیر همگرایی براساس حالت ۳ ارائه شده است. این حالت با ارائه توازنی منطقی بین فرآیند جستجوی محلی و سراسری، فضای طراحی را کاوش می‌نماید. بنابراین می‌توان بیان نمود که حالت پیشنهادی ۳ سبب افزایش عملکرد GA در طراحی بهینه سازه‌ها شده است. پس از حالت ۳، روش MSM-GA نیز سیر همگرایی مناسبی از خود نشان داده و تقریباً نزدیک به حالت ۳ حرکت نموده است. در این مثال حالت ۱ نیز دارای عملکرد بهتری نسبت به حالت ساده الگوریتم ژنتیک می‌باشد. هر چند این برتری به میزان حالت ۳ و روش MSM-GA نمی‌باشد، اما می‌توان بیان نمود که این حالت نیز سبب بهبود عملکرد GA شده است.



شکل (۴۷-۳)- سیر همگرایی برج ۷۲ میله‌ای توسط حالت‌های مختلف پیشنهادی، SGA و MSM-GA

برای برج فولادی ۷۲ میله‌ای نیز حالت ۳ دارای بهترین عملکرد است. در این مثال همان‌طور که در شکل (۴۷-۳) مشاهده می‌شود، حالت ۱ و روش MSM-GA نیز دارای عملکردی مناسب و تقریباً نزدیک به حالت ۳ بوده و سیر همگرایی مناسب‌تری نسبت به حالت SGA ارائه شده است. بنابراین در حالت کلی می‌توان بیان نمود که استفاده از عضو میانی هر زیرمجموعه (حالت ۳) در ایده پیشنهادی بهترین راه حل جهت افزایش کارآیی الگوریتم GA براساس ایده انفصال فضای طراحی می‌باشد.

لازم به ذکر است، تغییر ناگهانی که در سیر همگرایی حالات پیشنهادی مشاهده می‌شود، مربوط به مرز جستجوی سراسری و محلی است. به عبارت دیگر پس از آن که فرآیند جستجوی سراسری به پایان رسید و لیست مقاطع برای هر متغیر طراحی مشخص شد، در مرحله جستجوی محلی مقادیر اولیه برای هر زیررشته به طور تصادفی از لیست مقاطع این مرحله انتخاب می‌شود. این فرآیند براساس تولید جمعیت اولیه تصادفی شکل می‌گیرد. به بیان دیگر در ابتدای هر یک از مراحل موجود (جستجوی سراسری و محلی) جمعیت اولیه متناسب با لیست مقاطع مربوطه به صورت تصادفی تولید می‌شود. به همین سبب در سیر همگرایی حالات پیشنهادی تغییر ناگهانی در مرز بین جستجوی محلی و سراسری وجود دارد. البته باقیتی توجه داشت که نقطه شروع در مرحله جستجوی محلی، بسیار نزدیک‌تر به طرح بهینه نسبت به مرحله جستجوی سراسری می‌باشد.

### ۲-۱-۴-۳ انتخاب تعداد زیرمجموعه‌ها برای ایده انفصل فضای طراحی در GA

از نکات مهم و قابل تأمل در ایده پیشنهادی انفصل فضای طراحی، تعداد زیرمجموعه‌ها و تعداد اعضای هر زیرمجموعه می‌باشد. این دو پارامتر به یکدیگر وابسته بوده و مقدار هر یک متناسب با تعداد اعضای لیست مقاطع ( $N_s$ )، مقدار دیگری را نیز مشخص می‌نماید. از سوی دیگر این دو پارامتر بیانگر فضای طراحی مراحل جستجوی سراسری و محلی بوده و در کارآیی ایده پیشنهادی تأثیر فراوانی دارند. به همین سبب در این بخش به بررسی تأثیر ابعاد و تعداد اعضای زیرمجموعه‌های مراحل جستجوی سراسری و محلی در ایده پیشنهادی انفصل فضای طراحی پرداخته شده است. بدین‌منظور از مثال‌های بهینه‌یابی سطح‌قطع سازه‌های اسکلتی همچون خرپای ۵۲ میله‌ای، برج فولادی ۷۲ میله‌ای و قاب هشت طبقه - یک دهانه استفاده می‌شود. شرح مفروضات مثال‌های مذکور به ترتیب در پیوست الف-۱۷، الف-۸ و الف-۴ ارائه شده است. برای نمونه جهت ارائه کارآیی ایده پیشنهادی دکل ۴۷ میله‌ای نیز بشرح بخش ۱-۲-۴-۳ در این فصل مورد بررسی قرار گرفته است.

لازم به ذکر است که مثال‌های خرپایی دارای لیست مقاطع یکسانی بشرح جدول (الف-۱۸) می‌باشند.

در حالی که لیست مقاطع قاب هشت طبقه - یک دهانه متفاوت بوده و بشرح جدول (الف-۷) است.

بدین ترتیب برای مثال‌های خرپایی متناسب با لیست مقاطع جدول (الف-۱۸)، روند بررسی

تعداد زیرمجموعه‌ها و اعضای آن‌ها در فرآیند بهینه‌یابی براساس GA، در سه حالت بشرح زیر ارائه و

مورد ارزیابی قرار گرفته است.

حالت ۱) در این حالت لیست مقاطع جدول (الف-۱۸) پس از مرتب‌سازی به صورت صعودی به

چهار زیرمجموعه ۱۶ تایی تقسیم‌بندی می‌شود. بنابراین تعداد اعضای لیست مقاطع در مرحله

جستجوی سراسری برابر چهار عضو و تعداد اعضای لیست مقاطع در مرحله جستجوی محلی برابر

شانزده عضو خواهد بود. بدین ترتیب طول هر زیرشته در مرحله جستجوی سراسری برابر دو بیت و در

مرحله جستجوی محلی برابر چهار بیت است. براین اساس زیرمجموعه‌های حالت ۱ براساس لیست

مقاطع جدول (الف-۱۸) بشرح زیر تعریف می‌شود.

$$\{S1\}\text{-Case1} = \{71.613, 90.968, \dots, 816.773\} - mm^2$$

$$\{S2\}\text{-Case1} = \{939.998, 1008.385, \dots, 2341.931\} - mm^2$$

$$\{S3\}\text{-Case1} = \{2477.414, 2496.769, \dots, 6999.986\} - mm^2$$

$$\{S4\}\text{-Case1} = \{7419.43, 8709.66, \dots, 21612.86\} - mm^2$$

سپس با توجه به نتایج بخش ۳-۱-۴-۱ عضو میانی هر زیرمجموعه به عنوان نماینده برگزیده و لیست

مقاطع مرحله جستجوی سراسری برای حالت ۱ بشرح زیر تشکیل خواهد شد.

$$\{S\}\text{-Case1} = \{388.386, 1690.319, \dots, 12838.684\} - mm^2$$

این حالت متناظر با انتخاب مشی با ابعاد بزرگ در روش اجزای محدود می‌باشد.

حالت ۲) در این حالت لیست مقاطع جدول (الف-۱۸) به هشت زیرمجموعه ۸ تایی مطابق

جدول (۳-۵) تقسیم می‌شود. بنابراین تعداد اعضای لیست مقاطع در مرحله جستجوی سراسری و

محلی با یکدیگر برابر بوده و برابر هشت عضو می‌باشد. بدین ترتیب طول هر زیرشته در مرحله

جستجوی سراسری و محلی برابر سه بیت است. لازم به ذکر است که لیست مقاطع مرحله جستجوی

سراسری در این حالت با انتخاب عضو میانی زیرمجموعه‌های جدول (۳-۵)، بشرح زیر تعریف می‌شود.

$$\{S\}\text{-Case2} = \{198.064, 645.16, \dots, 17096.74\} - mm^2$$

حالت ۳) در این حالت لیست مقاطع جدول (الف-۱۸) به شانزده زیرمجموعه ۴ تایی تقسیم‌بندی می‌شود. بنابراین در این حالت تعداد اعضای لیست مقاطع در مرحله جستجوی سراسری برابر شانزده عضو و در مرحله جستجوی محلی برابر چهار عضو می‌باشد. بدین‌ترتیب در حالت ۳ طول هر زیرشته در مرحله جستجوی سراسری برابر چهار بیت و در مرحله جستجوی محلی برابر دو بیت خواهد بود. بر این اساس زیرمجموعه‌های حالت ۳ بشرح زیر تعریف می‌شوند.

$$\{S1\}\text{-Case3} = \{71.613, 90.968, \dots, 161.29\} - mm^2$$

$$\{S2\}\text{-Case3} = \{198.064, 252.258, \dots, 363.225\} - mm^2$$

$$\cdot \\ \{S16\}\text{-Case3} = \{17096.74, 18064.48, \dots, 21612.86\} - mm^2$$

سپس همانند حالات پیشین، عضو میانی هر زیرمجموعه به عنوان نماینده برگزیده و لیست مقاطع مرحله جستجوی سراسری برای حالت ۳ بشرح زیر تشکیل خواهد شد.

$$\{S\}\text{-Case3} = \{126.451, 285.161, \dots, 19354.8\} - mm^2$$

این حالت متناظر با انتخاب مشی با ابعاد کوچک در روش اجزای محدود می‌باشد. از سوی دیگر برای قاب هشت طبقه - یک دهانه، حالات فوق قابل تعریف نمی‌باشد، چراکه لیست مقاطع این مثال با مثال‌های خرپایی متفاوت بوده و بشرح جدول (الف-۷) است. بنابراین برای این مثال نیز پس از مرتبسازی اعضای جدول (الف-۷) براساس مقدار سطح مقطع، مجموعه لیست مقاطع به زیرمجموعه‌های مختلفی برای اعمال ایده پیشنهادی تقسیم می‌شود. برای این منظور قاب هشت طبقه - یک دهانه در شش حالت برای ایده پیشنهادی مورد ارزیابی قرار گرفته است. در حالت اول مجموعه لیست مقاطع به چهار زیرمجموعه ۶۷ تایی تقسیم شده است. بنابراین در مرحله جستجوی سراسری طول هر زیرشته برابر دو بیت و در مرحله جستجوی محلی برابر هفت بیت می‌باشد. در حالت دوم مجموعه  $\{S\}$  به هشت زیرمجموعه تقسیم می‌شود که هفت زیرمجموعه ۴۳ تایی و یک زیرمجموعه ۳۰ تایی است. بدین‌ترتیب برای حالت دوم در مرحله جستجوی سراسری طول هر زیرشته برابر سه بیت و در مرحله جستجوی محلی برابر شش بیت است. در حالت سوم

مجموعه لیست مقاطع به ۱۵ زیرمجموعه ۱۷ تایی و یک زیرمجموعه ۱۳ تایی تقسیم‌بندی می‌شود.

طول هر زیرشته برای این حالت در مرحله جستجوی سراسری برابر چهار بیت و در مرحله جستجوی

محلی برابر پنج بیت است. در حالت چهارم مجموعه لیست مقاطع به ۳۰ زیرمجموعه تقسیم می‌شود

که ۲۹ زیرمجموعه دارای ۹ عضو و مجموعه آخر دارای ۷ عضو می‌باشد. برای این حالت طول هر

زیرشته در مرحله جستجوی سراسری برابر ۵ بیت و در مرحله جستجوی محلی برابر چهار بیت است.

در حالت پنجم مجموعه {S} به ۵۳ زیرمجموعه ۵ تایی و یک زیرمجموعه ۳ تایی تقسیم می‌شود.

بدین ترتیب برای این حالت طول هر زیرشته در مرحله جستجوی سراسری برابر ۶ بیت و در مرحله

جستجوی محلی برابر ۳ بیت می‌باشد. در حالت ششم مجموعه {S} به ۹۰ زیرمجموعه تقسیم

می‌شود که ۸۹ زیرمجموعه دارای سه عضو و مجموعه آخر تک عضوی است. برای این حالت طول هر

زیرشته در مرحله جستجوی سراسری برابر ۷ بیت و در مرحله جستجوی محلی برابر دو بیت است.

نکته حائز اهمیت در حالات مختلف پیشنهادی برای مثال‌های مذکور، روند صعودی برای طول

هر زیرشته در مرحله جستجوی سراسری و نزولی برای طول هر زیرشته در مرحله جستجوی محلی

با اندازه گام واحد می‌باشد. بدین ترتیب ابعاد تقسیم‌بندی در حالات مختلف به تدریج کوچک می‌شود.

در هر صورت با تقسیم‌بندی و مشخص شدن حالات مختلف برای مثال‌های موردنظر، ایده

پیشنهادی انفال فضای طراحی بشرح توضیحات بخش ۴-۳ قابل اجرا است. با اجرای حالات مختلف

برای هر مثال، می‌توان ارزیابی جامعی نسبت به انتخاب تعداد زیرمجموعه‌ها در ایده پیشنهادی ارائه

داد. در این راستا برای تکمیل فرآیند بررسی ایده انفال فضای طراحی در الگوریتم GA، در هر مثال

حالات الگوریتم ژنتیک ساده (SGA) و الگوریتم ژنتیک ارتقاء یافته براساس روش نوین جستجوی

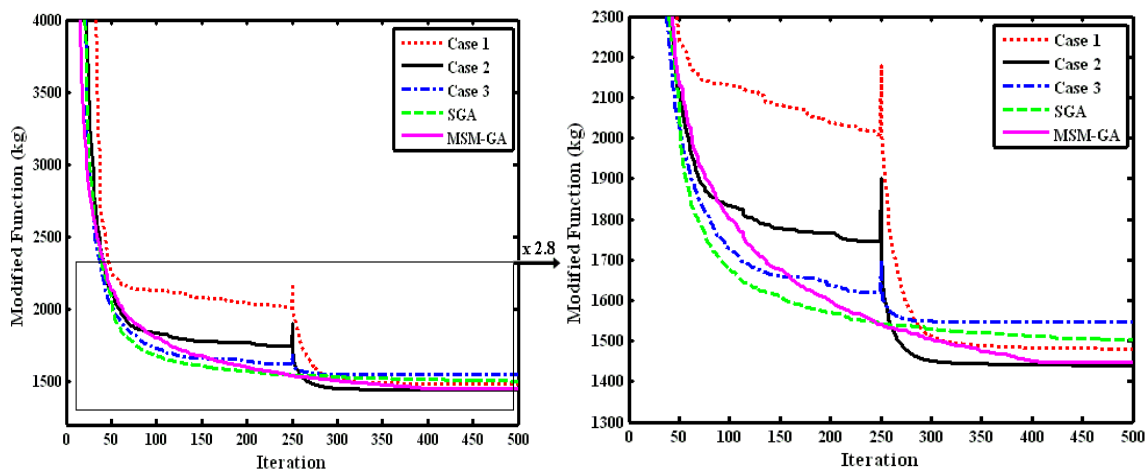
چندمنظوره (MSM-GA) نیز ارائه و با حالات پیشنهادی مقایسه شده است. از سوی دیگر برای

کاهش تأثیر پارامترهای تصادفی GA در فرآیند بررسی نتایج، عملیات بهینه‌یابی در هر حالت برای هر

مثال ۴۰ بار اجرا شده و سپس میانگین سیر همگرایی برای اجراهای مختلف (۴۰ اجرا برای هر حالت)

به عنوان سیر همگرایی حالت موردنظر ارائه شده است. بدین ترتیب قضاوت مناسب‌تری بین حالات مختلف ایده پیشنهادی و حالات ساده و ارتقاء یافته GA صورت می‌پذیرد.

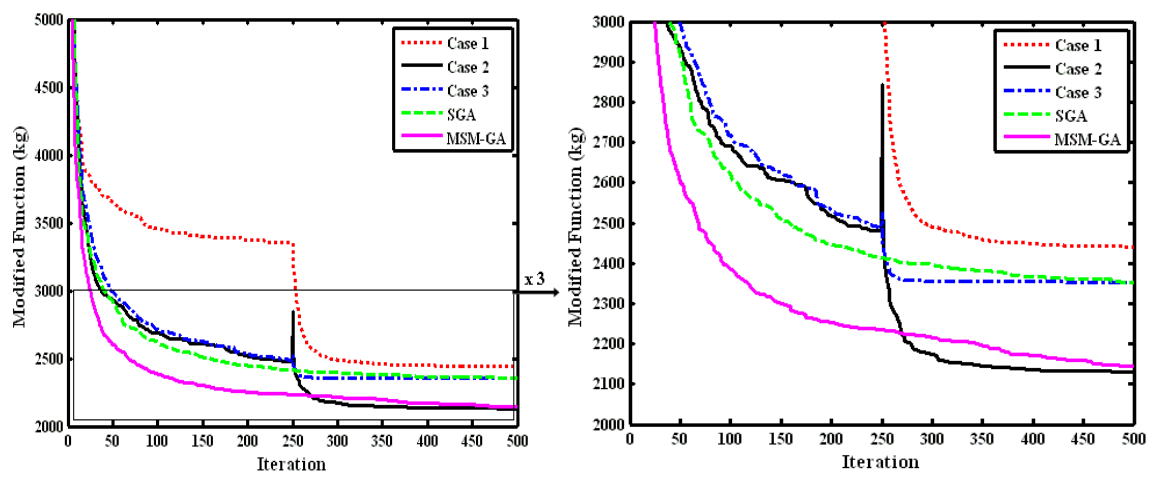
شکل (۴۸-۳) نمودار سیر همگرایی را به ازای حالات پیشنهادی به همراه حالت ساده و ارتقاء یافته الگوریتم ژنتیک برای دکل ۴۷ میله‌ای نشان می‌دهد. همان‌طور که مشاهده می‌شود، سرعت همگرایی حالت پیشنهادی ۲ در دستیابی به طرح بهینه مناسب‌تر از سایر حالات می‌باشد. این در حالی است که حالت ۲ از ایده پیشنهادی در بهترین روند بهینه‌یابی از بین ۴۰ اجرای متوالی در نسل ۳۶۴ به طرح بهینه مناسب و سبک‌تر نسبت به سایر حالات و دیگر مراجع دست یافته است. لازم به ذکر است که روش SGA در نسل ۴۸۲ و MSM-GA در نسل شماره ۴۷۰ در بهترین اجرا از بین ۴۰ اجرای متوالی، به طرح‌های سنگین‌تر نسبت به حالت ۲ از ایده پیشنهادی دست یافته‌اند. در حالت دو مجموعه  $\{S\}$  به هشت زیرمجموعه هشت‌تایی تقسیم شده است. مفروضات مسئله بهینه‌یابی و نتایج مربوط به طرح بهینه برای دکل ۴۷ میله‌ای، در بخش ۱-۲-۱-۴-۳ قابل مشاهده است.



شکل (۴۸-۳) - سیر همگرایی دکل ۴۷ میله‌ای توسط حالات مختلف پیشنهادی، SGA و MSM-GA

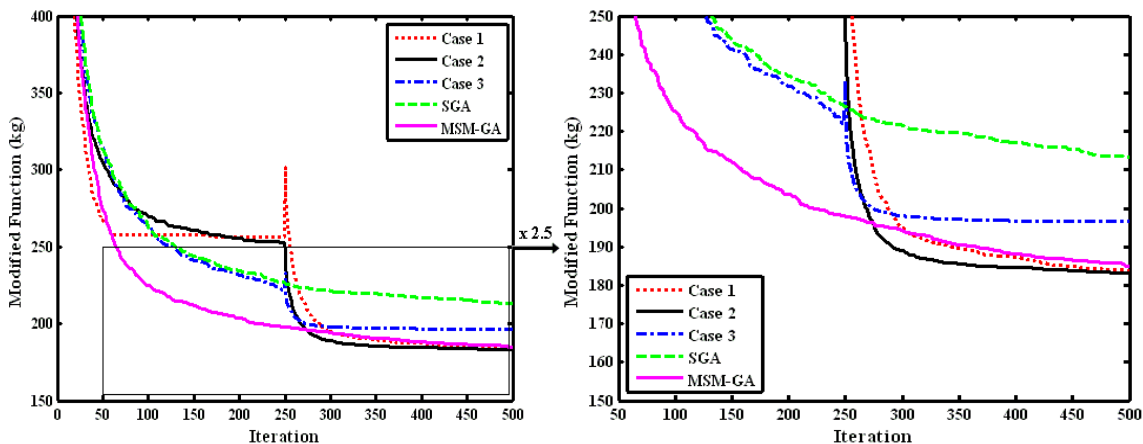
شکل (۴۹-۳) نمودارهای سیر همگرایی برای خرپای ۵۲ میله‌ای را براساس حالات مختلف ایده پیشنهادی و نیز روش‌های SGA و MSM-GA نشان می‌دهد. همان‌طور که مشاهده می‌شود، در این مثال نیز سرعت همگرایی حالت پیشنهادی ۲ در دستیابی به طرح بهینه، مناسب‌تر از سایر حالات

می باشد. در این مثال حالت ۲ از ایده پیشنهادی در نسل شماره ۴۶۶ در بهترین اجرا از بین ۴۰ اجرای متوالی به طرحی بهینه تر نسبت به سایر حالات و دیگر مراجع دست یافته است. لازم به ذکر است که براساس روش های SGA و MSM-GA به ترتیب در نسل های شماره ۴۸۷ و ۴۷۱ از بهترین اجرا بین اجراهای متوالی، طرح های سنگین تری نسبت به حالت ۲ ایده پیشنهادی حاصل شده است. جدول (الف-۴۰) نتایج طرح بهینه حاصل از حالت ۲ براساس ایده پیشنهادی را نشان می دهد.



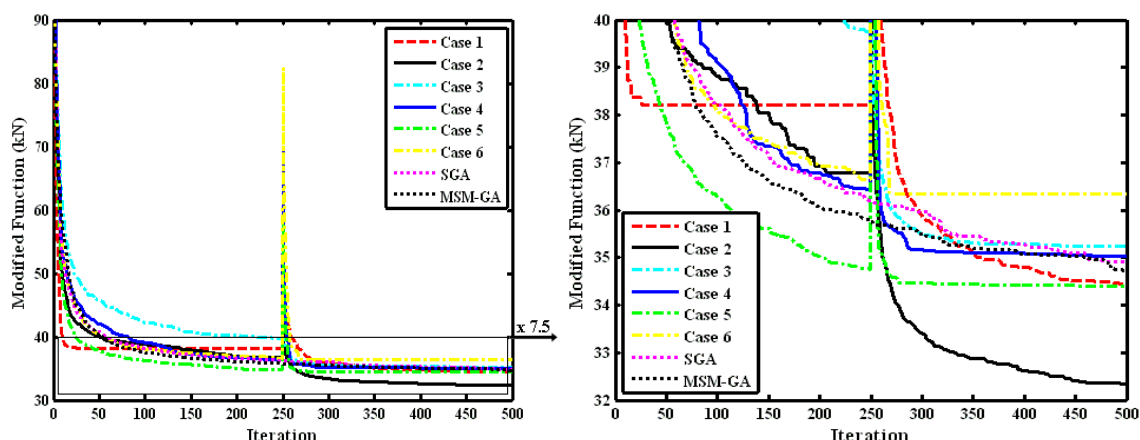
شکل (۳-۴۹)- سیر همگرایی خرپای ۵۲ میله‌ای توسط حالات مختلف پیشنهادی، SGA و MSM-GA

شکل (۳-۵۰) نمودارهای سیر همگرایی برای برج فولادی ۷۲ میله‌ای را نشان می دهد. همان‌طور که مشاهده می شود، سرعت همگرایی حالت پیشنهادی ۲ در دستیابی به طرح بهینه مناسب‌تر از سایر حالات می باشد. برای این مثال نیز حالت ۲ از ایده پیشنهادی در نسل شماره ۳۸۰ در بهترین اجرا بین ۴۰ اجرای متوالی به طرحی با وزن  $176/806\text{ kg}$  دست یافته است، که سبک‌تر نسبت به سایر حالات و دیگر مراجع می باشد. شایان ذکر است که شماره نسل های مشابه برای روش های SGA و MSM-GA به ترتیب برابر  $367$  و  $450$  بوده و این روش ها به ترتیب مقادیر  $186/229\text{ kg}$  و  $177/177\text{ kg}$  را در بهترین اجرا بین ۴۰ اجرای متوالی، به عنوان طرح بهینه معرفی نموده اند. جدول (الف-۲۰) نتایج طرح بهینه حالت پیشنهادی ۲ را براساس ایده انفصل فضای طراحی نشان می دهد.



شکل (۵۰-۳) - سیر همگرایی برج ۷۲ میله‌ای توسط حالات مختلف پیشنهادی، SGA و MSM-GA

شکل (۵۱-۳) سیر همگرایی برای حالات مختلف را برای قاب هشت طبقه - یک دهانه نشان می‌دهد. همان‌طور که مشاهده می‌شود، در این مثال حالت ۲ از سایر حالات پیشنهادی موفق‌تر بوده و سرعت کسب طرح بهینه بالاتری نسبت به سایر حالات دارد. از سوی دیگر حالت ۲ در کاوش فضای طراحی از سایر حالات موفق‌تر بوده و فضای طراحی را با دقیق‌تری کاوش نموده است. این حالت در بهترین اجرا بین ۴۰ اجرای متوالی در نسل شماره ۳۳۴ به طرحی بهینه‌تر نسبت به سایر حالات و دیگر مراجع دست یافته است. لازم به ذکر است که روش‌های SGA و MSM-GA در بهترین اجرا به ترتیب به طرح‌های با وزن  $32/63977 \text{ kN}$  و  $31/40267 \text{ kN}$  در نسل‌های شماره ۴۹۹ و ۴۸۴ دست یافته‌اند. جدول (الف-۹) نتایج طرح بهینه حاصل از حالت پیشنهادی ۲ را برای قاب هشت طبقه - یک دهانه براساس ایده پیشنهادی نشان می‌دهد.



شکل (۵۱-۳) - سیر همگرایی قاب ۸ طبقه-یک دهانه توسط حالات مختلف پیشنهادی، SGA و MSM-GA

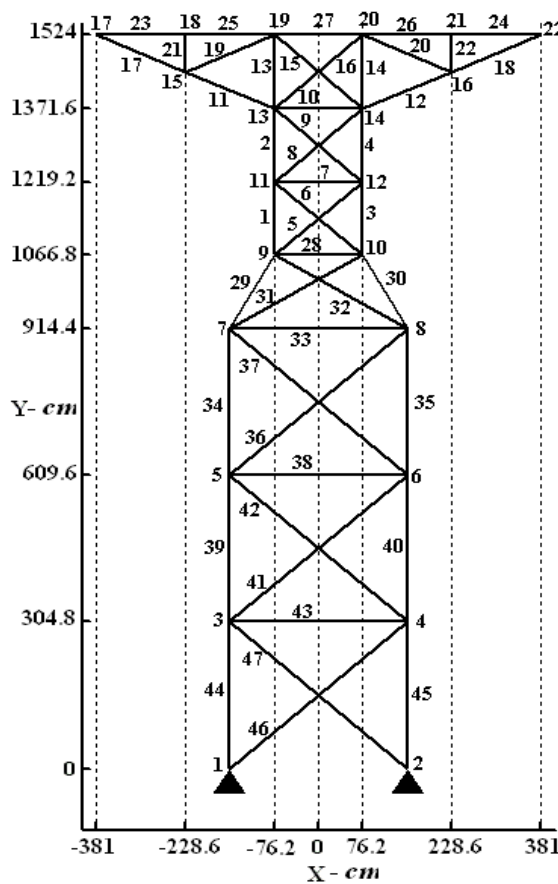
با ارزیابی نتایج بشرح اشکال فوق، مشخص گردید که انتخاب زیرمجموعه‌هایی با اضافی زیاد در مرحله جستجوی سراسری برای ایده پیشنهادی مناسب نمی‌باشد. به بیان دیگر با ریز نمودن مجموعه  $S'$  به زیرمجموعه‌های زیاد احتمال گرفتاری در بهینه محلی افزایش یافته و کارآیی ایده پیشنهادی کاهش می‌یابد. این مهم در اشکال (۴۸-۳) تا (۵۱-۳) قابل مشاهده است. از سوی دیگر ایده پیشنهادی حالت ۲ که دارای طول زیرشته‌ای برابر سه بیت در مرحله جستجوی سراسری می‌باشد، در تمام مثال‌های مورد بررسی، نتایج بهتری را ارائه داده است. به بیان دیگر تقسیم‌بندی منطقی و متعادل براساس ایده پیشنهادی می‌تواند در بهبود الگوریتم ژنتیک برای نیل به نقطه بهینه مؤثر باشد. اشکال (۴۸-۳) تا (۵۱-۳) که هر کدام نتیجه حداقل ۲۰۰ اجرای مستقل برای مثال‌های مورد بررسی می‌باشند، کارآیی حالت ۲ ایده پیشنهادی را نشان می‌دهند. در این حالت ضمن کاهش طول هر زیرشته به سبب تقسیم‌بندی فضای طراحی و نیز وجود زیرمجموعه‌هایی با تعداد اضافی مناسب، مرحله جستجوی محلی با موفقیت اطراف طرح بهینه حاصل از مرحله جستجوی سراسری را کاوش نموده است. این مهم بدلیل کاهش طول هر زیرشته و در نتیجه طول هر رشته در مراحل عملیات بهینه‌یابی براساس GA است، که سبب افزایش سرعت عملیات و بهبود نتیجه طرح بهینه می‌شود.

#### ۱-۲-۱-۴-۳ پهینه‌یابی دکل ۴۷ میله‌ای براساس ایده پیشنهادی در GA

در این مثال به بهینه‌یابی سطح مقطع دکل ۴۷ میله‌ای پرداخته شده است. شکل (۳-۵۲) سازه موردنظر را نمایش می‌دهد. در این سازه  $E$  و  $\rho$  به ترتیب برابر  $MPa\ ۸/۴۲۸۶۰۲$  و  $kg/m^3\ ۹۷/۳۰۸۳$  فرض می‌شود. براساس تقارن سازه، اعضای دکل ۴۷ میله‌ای در ۲۷ گروه دسته‌بندی شده و حداکثر تنش مجاز فشاری و کششی برای کلیه اعضای سازه به ترتیب برابر  $MPa\ ۱۴/۲۱۴/۴۲/۱۰$  و  $MPa\ ۸۹۵/۸۷۷/۱۳$  لحاظ شده است. از سوی دیگر تنش مجاز کمانشی نیز برای اعضای سازه براساس رابطه زیر کنترل می‌شود.

$$\sigma_i^{cr} = -\frac{kEa_i}{l_i^2} \quad (\text{الف-})$$

در رابطه (الف-۸) ثابت کمانش  $k$  برابر  $3/96$  در نظر گرفته شده است [۵۰].



شکل (۵۲-۳) - دکل ۴۷ میله‌ای

لیست مقاطع برای دکل ۴۷ میله‌ای بشرح جدول (الف-۱۸) بوده و سازه در معرض سه وضعیت بارگذاری مطابق جدول (۶-۳) قرار گرفته است.

### جدول (۶-۳) بارگذاری مؤثر بر دکل ۴۷ میله‌ای

$kN - Y$	$kN - X$	وضعیت بارگذاری شماره گره
-۶۲/۲۷۵	۲۶/۶۸۹	۱۷
-۶۲/۲۷۵	۲۶/۶۸۹	۲۲
-۶۲/۲۷۵	۲۶/۶۸۹	۱۷
--	--	۲۲
--	--	۱۷
-۶۲/۲۷۵	۲۶/۶۸۹	۲۲

نتایج حاصل برای طرح بهینه دکل ۴۷ میله‌ای براساس ایده پیشنهادی در روش GA بشرح جدول (۷-۳) در قیاس با دیگر مراجع قابل مشاهده است.

جدول (۷-۳) نتایج طرح بهینه دکل ۴۷ میله‌ای براساس ایده نوین انفصال فضای طراحی در GA

شماره گروه	مرجع [۵۰]	مرجع [۶۹]	مرجع [۶۹]	حالت ۲ پیشنهادی	GA
	HS	MSM-GA	ACO+HS	GA	
۱ - $mm^2$	۲۴۷۷/۴۱۴	۲۴۷۷/۴۱۴	۲۴۷۷/۴۱۴	۲۴۷۷/۴۱۴	۲۴۷۷/۴۱۴
۲ - $mm^2$	۲۱۸۰/۶۴۱	۲۱۸۰/۶۴۱	۲۲۳۸/۷۰۵	۲۱۸۰/۶۴۱	۲۱۸۰/۶۴۱
۳ - $mm^2$	۴۹۴/۱۹۳	۴۹۴/۱۹۳	۴۹۴/۱۹۳	۴۹۴/۱۹۳	۶۴۱/۲۸۹
۴ - $mm^2$	۹۰/۹۶۸	۹۰/۹۶۸	۹۰/۹۶۸	۹۰/۹۶۸	۷۱/۶۱۳
۵ - $mm^2$	۵۰۶/۴۵۱	۵۰۶/۴۵۱	۵۰۶/۴۵۱	۵۰۶/۴۵۱	۵۰۶/۴۵۱
۶ - $mm^2$	۱۲۸۳/۸۶۸	۱۲۸۳/۸۶۸	۱۱۶۱/۲۸۸	۱۱۶۱/۲۸۸	۱۲۸۳/۸۶۸
۷ - $mm^2$	۱۳۷۴/۱۹۱	۱۳۷۴/۱۹۱	۱۳۷۴/۱۹۱	۱۳۷۴/۱۹۱	۱۳۷۴/۱۹۱
۸ - $mm^2$	۷۹۲/۲۵۶	۷۹۲/۲۵۶	۷۹۲/۲۵۶	۷۹۲/۲۵۶	۷۹۲/۲۵۶
۹ - $mm^2$	۱۰۰۸/۳۸۵	۱۰۰۸/۳۸۵	۱۰۰۸/۳۸۵	۱۰۰۸/۳۸۵	۱۰۰۸/۳۸۵
۱۰ - $mm^2$	۱۳۷۴/۱۹۱	۱۳۷۴/۱۹۱	۱۳۷۴/۱۹۱	۱۳۷۴/۱۹۱	۱۳۷۴/۱۹۱
۱۱ - $mm^2$	۷۱/۶۱۳	۷۱/۶۱۳	۷۱/۶۱۳	۷۱/۶۱۳	۷۱/۶۱۳
۱۲ - $mm^2$	۹۰/۹۶۸	۹۰/۹۶۸	۹۰/۹۶۸	۹۰/۹۶۸	۹۰/۹۶۸
۱۳ - $mm^2$	۱۱۶۱/۲۸۸	۱۱۶۱/۲۸۸	۱۱۶۱/۲۸۸	۱۱۶۱/۲۸۸	۱۱۶۱/۲۸۸
۱۴ - $mm^2$	۱۱۶۱/۲۸۸	۱۲۸۳/۸۶۸	۱۱۶۱/۲۸۸	۱۱۶۱/۲۸۸	۱۱۶۱/۲۸۸
۱۵ - $mm^2$	۹۳۹/۹۹۸	۹۳۹/۹۹۸	۹۳۹/۹۹۸	۹۳۹/۹۹۸	۹۳۹/۹۹۸
۱۶ - $mm^2$	۴۹۴/۱۹۳	۴۸۳/۲۲۵	۴۹۴/۱۹۳	۴۸۳/۲۲۵	۴۸۳/۲۲۵
۱۷ - $mm^2$	۲۲۴۱/۹۳۱	۲۲۴۱/۹۳۱	۲۲۴۱/۹۳۱	۲۲۴۱/۹۳۱	۲۲۴۱/۹۳۱
۱۸ - $mm^2$	۹۳۹/۹۹۸	۹۳۹/۹۹۸	۹۳۹/۹۹۸	۹۳۹/۹۹۸	۹۳۹/۹۹۸
۱۹ - $mm^2$	۲۵۲/۲۵۸	۲۵۲/۲۵۸	۲۵۲/۲۵۸	۲۵۲/۲۵۸	۱۶۱/۲۹۰
۲۰ - $mm^2$	۱۹۹۳/۵۴۴	۲۱۸۰/۶۴۱	۱۹۹۳/۵۴۴	۱۹۹۳/۵۴۴	۱۹۹۳/۵۴۴
۲۱ - $mm^2$	۸۱۶/۷۷۲	۹۳۹/۹۹۸	۸۱۶/۷۷۲	۹۳۹/۹۹۸	۷۹۲/۲۵۶
۲۲ - $mm^2$	۱۹۸/۰۶۴	۱۶۱/۲۹۰	۱۹۸/۰۶۴	۱۶۱/۲۹۰	۱۹۸/۰۶۴
۲۳ - $mm^2$	۲۴۷۷/۴۱۴	۲۴۹۶/۷۶۹	۲۴۷۷/۴۱۴	۲۴۷۷/۴۱۴	۲۴۷۷/۴۱۴
۲۴ - $mm^2$	۱۰۰۸/۳۸۵	۱۰۰۸/۳۸۵	۱۰۰۸/۳۸۵	۱۰۰۸/۳۸۵	۱۰۰۸/۳۸۵
۲۵ - $mm^2$	۷۱/۶۱۳	۷۱/۶۱۳	۷۱/۶۱۳	۷۱/۶۱۳	۹۰/۹۶۸
۲۶ - $mm^2$	۲۹۶۱/۲۸۴	۲۹۶۱/۲۸۴	۲۹۶۱/۲۸۴	۲۹۶۱/۲۸۴	۲۹۶۱/۲۸۴
۲۷ - $mm^2$	۹۳۹/۹۹۸	۱۰۰۸/۳۸۵	۹۳۹/۹۹۸	۹۳۹/۹۹۸	۹۳۹/۹۹۸
وزن -	۱۰۸۷/۱۷	۱۱۰۷/۸۵۶	۱۰۸۲/۸۸۱	۱۰۸۱/۴۹۹	

### ۳-۴-۲-۱ ایده نوین انفصال فضای طراحی در الگوریتم کلونی مورچگان

همان‌طور که پیشتر بیان شد، در الگوریتم ACO با افزایش تعداد حالات ممکن برای هر متغیر طراحی (افزایش تعداد اعضای لیست مقاطع)، مقادیر احتمال انتخاب متناظر با حالات ممکن برای متغیرهای طراحی ( $P_{ij}$ ) کاهش می‌یابد. این مسئله براساس رابطه (۱۰-۲) قابل توجیه است. بر این اساس هر چه تعداد حالات ممکن برای هر متغیر طراحی بیشتر باشد، مقادیر  $P_{ij}$ ‌های متناظر، براساس نسبت تجمعی رابطه (۱۰-۲) دارای تعداد بیشتر و مقادیر کمتری خواهد بود. چراکه براساس رابطه (۱۰-۲) مجموع مقادیر  $P_{ij}$  برای هر متغیر طراحی برابر یک است. افزایش تعداد و کاهش مقادیر  $P_{ij}$  سبب کاهش سرعت همگرایی و افزایش احتمال کسب بهینه محلی در فرآیند بهینه‌یابی براساس ACO می‌شود. این مهم به سبب آن است که برای افزایش احتمال انتخاب حالات مناسب برای هر متغیر طراحی، الگوریتم نیازمند تعداد دفعات تکرار زیادی بوده و ممکن است حالات مناسب به سبب تعداد زیاد  $P_{ij}$ ‌ها به راحتی کسب نشود. به همین دلیل سرعت همگرایی کاهش و احتمال کسب بهینه محلی افزایش می‌یابد. در هر صورت افزایش تعداد حالات ممکن برای متغیرهای طراحی، تأثیر منفی بر عملکرد روش ACO مشابه روش GA دارد. این مهم در فرآیند طراحی بهینه سازه‌ها نیز دیده می‌شود. با افزایش تعداد اعضای لیست مقاطع منفصل در فرآیند طراحی بهینه سازه‌ها براساس الگوریتم ACO، سرعت همگرایی کاهش و احتمال کسب بهینه محلی افزایش می‌یابد. به همین سبب در راستای توسعه و بهبود عملکرد الگوریتم‌های فرآبتكاری، ایده انفصال فضای طراحی برای کاهش تأثیر افزایش لیست مقاطع در فرآیند طراحی بهینه سازه‌ها براساس ACO پیشنهاد شده است. این ایده در بهبود عملکرد GA بشرح بخش پیشین موفقیت قابل توجهی داشته است. بدین‌منظور در این بخش به بررسی ایده پیشنهادی در بهبود عملکرد ACO پرداخته می‌شود. در این راستا چگونگی انتخاب نماینده مناسب در ایده انفصال فضای طراحی مجدداً همانند GA بشرح بخش ۳-۱-۱ برای ACO نیز مورد ارزیابی قرار گرفته است.

### ۳-۴-۲-۱ انتخاب نماینده در ایده انفصل فضای طراحی برای روش ACO

همان‌طور که پیشتر در الگوریتم ژنتیک مشاهده گردید، انتخاب عضوی مناسب برای نماینده هر زیرمجموعه جهت تشکیل لیست مقاطع جستجوی سراسری، تأثیر فراوانی بر عملکرد ایده پیشنهادی در بهبود GA دارد. در این بخش بررسی می‌شود که تا چه میزان پارامترهای ایده پیشنهادی انفصل فضای طراحی، همچون انتخاب عضوی برای نماینده‌گی هر زیرمجموعه، وابسته به شیوه الگوریتم انتخابی است. به همین سبب در این بخش حالات مشابه الگوریتم ژنتیک برای انتخاب عضوی از هر زیرمجموعه جهت نماینده‌گی، در روش ACO برای طراحی بهینه سازه‌ها مورد بررسی قرار می‌گیرد. در این بررسی میزان تأثیر ایده پیشنهادی در بهبود عملکرد ACO نیز مورد توجه قرار گرفته است. برای این منظور حالات پیشنهادی با حالت ارتقاء یافته ACO (S-ACO) مقایسه می‌شود. در این راستا حالات پیشنهادی مشابه الگوریتم ژنتیک با اتخاذ بزرگترین، کوچکترین و عضو میانی هر زیرمجموعه به عنوان نماینده زیرمجموعه‌ها به ترتیب با عنوان حالت ۱، حالت ۲ و حالت ۳ تعریف می‌شود. برای بررسی حالات پیشنهادی در قیاس با S-ACO از مثال‌های طراحی بهینه سازه‌های اسکلتی استفاده شده است. بدین‌منظور دکل ۴۷ میله‌ای بشرح بخش ۳-۲-۱-۱ از فصل حاضر و خرپای ۵۲ میله‌ای بشرح الف-۱۷، برج فولادی ۷۲ میله‌ای بشرح بخش الف-۸ و قاب هشت طبقه - یک دهانه بشرح بخش الف-۴ از پیوست الف انتخاب شده‌اند. در این راستا لیست مقاطع مثال‌های خرپایی براساس جدول (الف-۱۸) به هشت زیرمجموعه ۸ تایی بشرح جدول (۳-۵) تقسیم‌بندی می‌شود. سپس حالات پیشنهادی براساس زیرمجموعه‌های موجود تعریف و لیست مقاطع مرحله جستجوی سراسری برای هر حالت مشابه الگوریتم ژنتیک بشرح توضیحات بخش ۳-۱-۴-۱ تشکیل می‌شود.

برای قاب هشت طبقه - یک دهانه متناسب با لیست مقاطع بشرح جدول (الف-۷)، برای اعمال ایده پیشنهادی، اعضای لیست مقاطع پس از مرتبسازی به ۳۳ گروه هشت‌تایی و یک گروه ۴ تایی بشرح جدول (۳-۸) تقسیم‌بندی می‌شوند.

**جدول (۸-۳) تقسیم‌بندی اعضای لیست مقاطع قاب ۸ طبقه - یک دهانه در ایده انفصل فضای طراحی**

۳۳	مجموعه	۳۲	مجموعه	...	۳	مجموعه	۲	مجموعه	۱
W40 x 593	W40 x 466	W14 x 370	...		W6 x 16	W4 x 13	W6 x 9		
W14 x 605	W30 x 477	W40 x 372	...		W10 x 17	W8 x 13	W8 x 10		
:	:	:	:	:	:	:	:		
W14 x 808	W27 x 539	W27 x 448	...		W6 x 20	W5 x 16	W10 x 12		
W36 x 848	W14 x 550	W14 x 455	...		W8 x 21	W12 x 16	W6 x 12		

این تقسیم‌بندی به سبب برابری تعداد اعضای زیرمجموعه‌های این مثال با مثال‌های خرپایی است. در هر صورت براساس تقسیم‌بندی مذکور، در مرحله جستجوی سراسری برای ایده پیشنهادی مجموعه لیست مقاطع شامل ۳۴ عضو بشرح جدول (۹-۳) می‌باشد که هر زیرمجموعه در قیاس با لیست اولیه دارای تعداد مقاطع کمتری است.

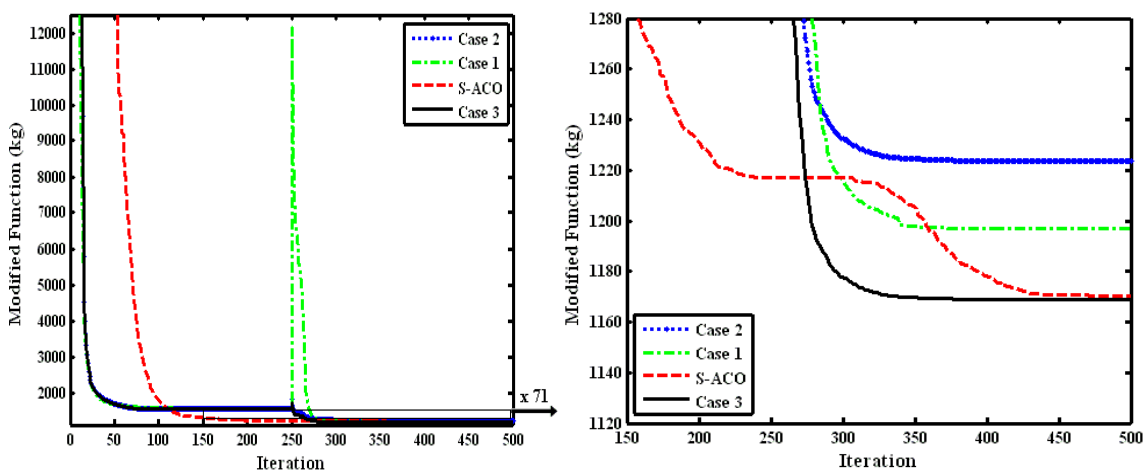
**جدول (۹-۳) اعضای لیست مقاطع در حالت ۱، ۲ و ۳ ایده پیشنهادی برای قاب هشت طبقه - یک دهانه**

۳۴	۳۳	...	۲	۱	شماره هر زیرمجموعه
W36 x 848	W14 x 550	...	W12 x 16	W6 x 12	۱ اعضای لیست مقاطع برای حالت ۱
W14 x 730	W40 x 503	...	W6 x 15	W10 x 12	۲ اعضای لیست مقاطع برای حالت ۲
W40 x 593	W40 x 466	...	W4 x 13	W6 x 9	۳ اعضای لیست مقاطع برای حالت ۳

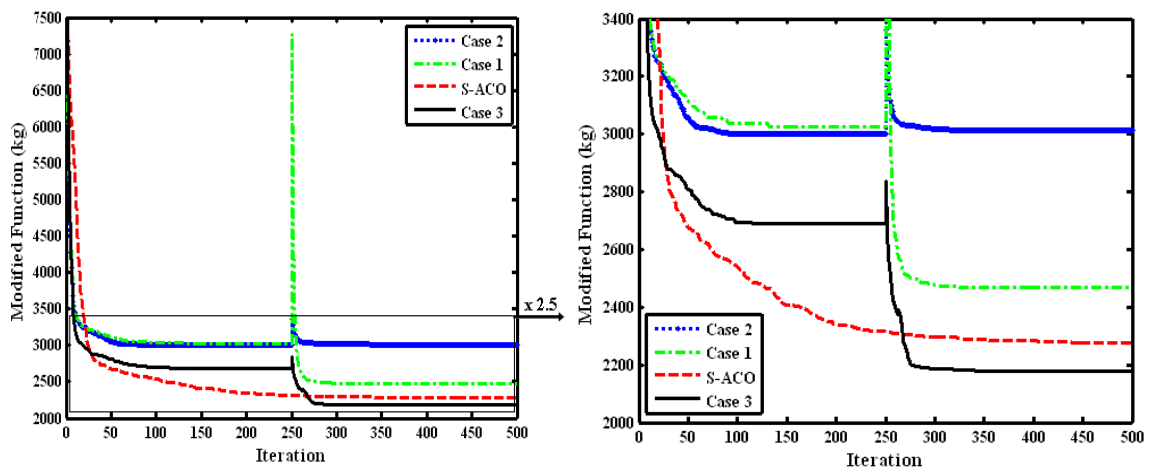
در ادامه با تشکیل لیست مقاطع مرحله جستجوی سراسری در ایده پیشنهادی برای هر مثال، فرآیند بهینه‌یابی براساس ACO اجرا می‌شود. سپس همان‌طور که پیشتر بیان شد، با پایان فرآیند جستجوی سراسری، لیست مقاطع برای هر متغیر طراحی مناسب با نتیجه حاصل و براساس اعضای هر زیرمجموعه تغییر می‌یابد و فرآیند جستجوی محلی در پیش گرفته خواهد شد. از آنجاکه برای تمامی مثال‌ها تعداد اعضای لیست مقاطع در مراحل جستجوی سراسری و محلی بمراتب کمتر از لیست اولیه

است، انتظار می‌رود، شیوه بهینه‌یابی براساس ACO ببهود یابد. این مهم در اشکال (۵۳-۳) تا (۵۶-۳) قابل بررسی می‌باشد. لازم به ذکر است، برای اجتناب از تأثیر پارامترهای تصادفی روش ACO در روند بهینه‌یابی و سیر همگرایی، برای هر حالت در هر مثال ۴۰ اجرای مستقل انجام شده است. سپس میانگین اجراهای متوالی در هر حالت برای هر مثال به عنوان سیر همگرایی حالت موردنظر جهت مقایسه رسم شده است.

اشکال (۳-۳) تا (۵۶-۳) سیر همگرایی برای مثال‌های مذکور را براساس حالات ۱، ۲ و ۳ به همراه حالت ارتقاء یافته S-ACO (S-ACO) نشان می‌دهد. همان‌طور که مشاهده می‌شود، سرعت همگرایی حالت پیشنهادی ۳ در دستیابی به طرح بهینه برای تمامی مثال‌ها مناسب‌تر از سایر حالات می‌باشد. این حالت در ایده انفال برای الگوریتم ژنتیک نیز نسبت به سایر حالات، سیر همگرایی مناسب‌تری ارائه داده است. از سوی دیگر حالت ۳ به طرحی بهینه‌تر نسبت به حالات ۱، ۲ و S-ACO و نیز دیگر مراجع برای تمامی مثال‌ها دست یافته است. نتایج طرح بهینه توسط حالت ۳، در قیاس با دیگر مراجع برای مثال‌های مذکور به صورت جداول مختلف در مثال‌های مربوطه ارائه شده است.

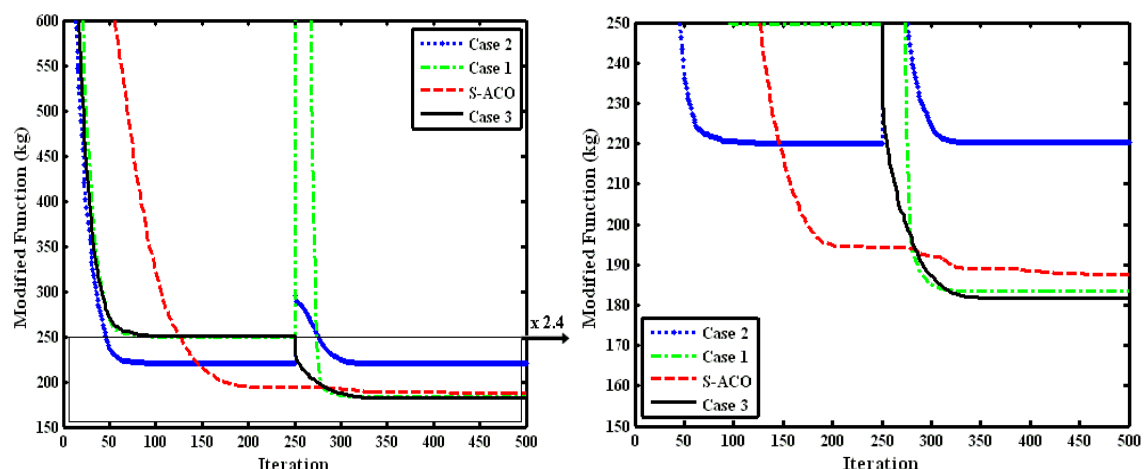


شکل (۵۳-۳) - سیر همگرایی بهینه‌یابی دکل ۴۷ میله‌ای توسط حالات مختلف پیشنهادی و روش S-ACO

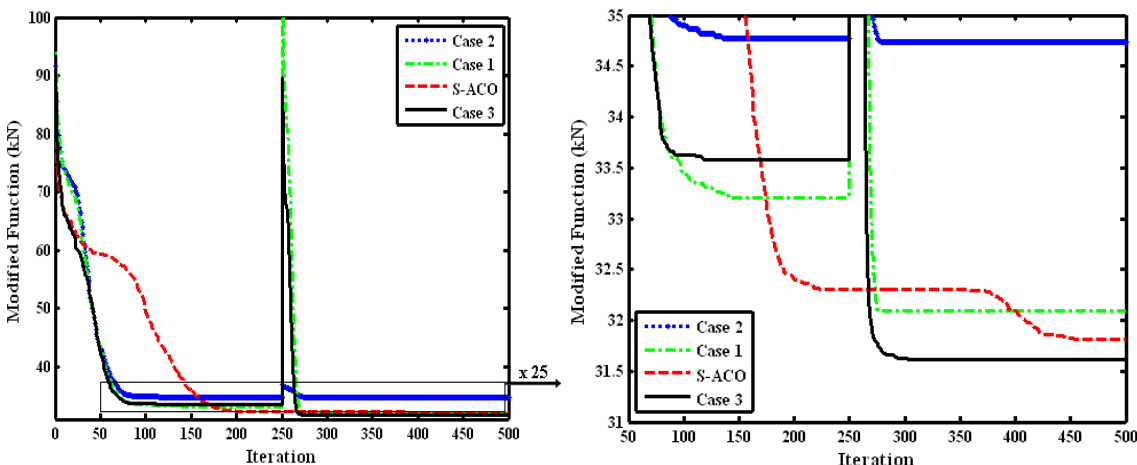


شکل(۳)-۵۴-سیر همگرایی بهینه‌یابی خرپای ۵۲ میله‌ای توسط حالات مختلف پیشنهادی و روش S-ACO

لازم به ذکر است که روش S-ACO در مثال‌های مطرح برای این بخش با استفاده از فرآیند جستجوی محلی و تمهدات دیگر، موفق بوده و سیر همگرایی مناسب و تقریباً نزدیک به حالت ۳ ارائه داده است. باستی توجه داشت که حالت S-ACO با حالت ساده الگوریتم کلونی مورچگان متفاوت بوده و عملکرد این روش با استفاده از راهکارهای مختلفی همچون عملیات جستجوی محلی و ... بهبود یافته است. به همین سبب حالت S-ACO در برخی از مثال‌ها دارای سیر همگرایی مناسب‌تری نسبت به حالت ۱ و ۲ می‌باشد. اما در هر صورت نسبت به حالت ۳ دارای سیر همگرایی ضعیف‌تری است.



شکل(۳)-۵۵-سیر همگرایی بهینه‌یابی برج ۷۲ میله‌ای توسط حالات مختلف پیشنهادی و روش S-ACO



شکل (۳-۵۶)-سیر همگرایی قاب ۸ طبقه-یک دهانه توسط حالات مختلف پیشنهادی و روش S-ACO

همان‌طور که در اشکال (۳-۵۳) تا (۳-۵۶) مشاهده گردید، در تمامی مثال‌های مورد بررسی حالت پیشنهادی ۳ با اتخاذ عضو میانی به عنوان نماینده زیرمجموعه، سیر همگرایی مناسب‌تری نسبت به سایر حالات و حالت S-ACO ارائه داده است. در این حالت پس از ورود الگوریتم به مرحله جستجوی محلی، نمودار سیر همگرایی برای تمامی مثال‌ها دارای افت چشمگیری می‌باشد، که بیانگر حرکت الگوریتم به سوی نقطه بهینه است. برتری حالت ۳ نسبت به سایر حالات موجود در نتایج طرح بهینه نیز مشاهده شده است. از سوی دیگر در بررسی‌های انجام شده برای ایده پیشنهادی در GA بشرح بخش ۳-۱-۴-۱، حالت ۳ عملکرد مناسب‌تری نسبت به سایر حالات و روش‌های SGA و MSM-GA ارائه داده است. بنابراین می‌توان بیان نمود که اتخاذ عضو میانی برای هر زیرمجموعه به عنوان نماینده، بهترین راه حل در ایده انفصال فضای طراحی جهت افزایش عملکرد الگوریتم انتخابی است.

در این مثال به بهینه‌یابی سطح مقطع دکل ۴۷ میله‌ای بشرح شکل (۵۲-۳) براساس ایده انفصال فضای طراحی در ACO پرداخته شده است. فرضیات طراحی و مفروضات مسئله بهینه‌یابی بشرح بخش ۱-۲-۴-۳ در نظر گرفته می‌شود.

نتایج حاصل برای طرح بهینه دکل ۴۷ میله‌ای براساس ایده پیشنهادی در روش ACO بشرح

جدول (۳-۱۰) در قیاس با دیگر مراجع قابل مشاهده است.

جدول (۳-۱۰) نتایج طرح بهینه دکل ۴۷ میله‌ای براساس ایده نوین انفصل فضای طراحی در ACO

شماره گروه	مرجع [۵۰]	مرجع [۶۹]	مرجع [۶۹]	حالت ۲ پیشنهادی
	HS	MSM-GA	ACO+HS	ACO
۱ - $mm^2$	۲۴۷۷/۴۱۴	۲۴۷۷/۴۱۴	۲۴۷۷/۴۱۴	۲۴۷۷/۴۱۴
۲ - $mm^2$	۲۱۸۰/۶۴۱	۲۱۸۰/۶۴۱	۲۲۳۸/۷۰۵	۲۱۸۰/۶۴۱
۳ - $mm^2$	۴۹۴/۱۹۳	۴۹۴/۱۹۳	۴۹۴/۱۹۳	۴۹۴/۱۹۳
۴ - $mm^2$	۷۱/۶۱۳	۱۲۶/۴۵۱	۹۰/۹۶۸	۹۰/۹۶۸
۵ - $mm^2$	۵۰۶/۴۵۱	۶۴۱/۲۸۹	۵۰۶/۴۵۱	۶۴۱/۲۸۹
۶ - $mm^2$	۱۲۸۳/۸۶۸	۱۱۶۱/۲۸۸	۱۲۸۳/۸۶۸	۱۱۶۱/۲۸۸
۷ - $mm^2$	۱۳۷۴/۱۹۱	۱۳۷۴/۱۹۱	۱۳۷۴/۱۹۱	۱۳۷۴/۱۹۱
۸ - $mm^2$	۷۹۲/۲۵۶	۷۹۲/۲۵۶	۷۹۲/۲۵۶	۷۹۲/۲۵۶
۹ - $mm^2$	۱۰۰۸/۳۸۵	۱۰۰۸/۳۸۵	۱۰۰۸/۳۸۵	۱۰۰۸/۳۸۵
۱۰ - $mm^2$	۱۳۷۴/۱۹۱	۱۳۷۴/۱۹۱	۱۳۷۴/۱۹۱	۱۳۷۴/۱۹۱
۱۱ - $mm^2$	۷۱/۶۱۳	۷۱/۶۱۳	۷۱/۶۱۳	۷۱/۶۱۳
۱۲ - $mm^2$	۹۰/۹۶۸	۷۱/۶۱۳	۹۰/۹۶۸	۷۱/۶۱۳
۱۳ - $mm^2$	۱۱۶۱/۲۸۸	۱۱۶۱/۲۸۸	۱۱۶۱/۲۸۸	۱۱۶۱/۲۸۸
۱۴ - $mm^2$	۱۱۶۱/۲۸۸	۱۲۸۳/۸۶۸	۱۱۶۱/۲۸۸	۱۱۶۱/۲۸۸
۱۵ - $mm^2$	۹۳۹/۹۹۸	۹۳۹/۹۹۸	۹۳۹/۹۹۸	۹۳۹/۹۹۸
۱۶ - $mm^2$	۳۶۳/۲۲۵	۴۹۴/۱۹۳	۳۶۳/۲۲۵	۴۹۴/۱۹۳
۱۷ - $mm^2$	۲۳۴۱/۹۳۱	۲۳۴۱/۹۳۱	۲۳۴۱/۹۳۱	۲۳۴۱/۹۳۱
۱۸ - $mm^2$	۹۳۹/۹۹۸	۹۳۹/۹۹۸	۹۳۹/۹۹۸	۹۳۹/۹۹۸
۱۹ - $mm^2$	۱۶۱/۲۹۰	۲۵۲/۲۵۸	۲۵۲/۲۵۸	۲۵۲/۲۵۸
۲۰ - $mm^2$	۱۹۹۳/۵۴۴	۱۹۹۳/۵۴۴	۲۱۸۰/۶۴۱	۱۹۹۳/۵۴۴
۲۱ - $mm^2$	۷۹۲/۲۵۶	۸۱۶/۷۷۳	۹۳۹/۹۹۸	۹۳۹/۹۹۸
۲۲ - $mm^2$	۱۹۸/۰۶۴	۱۶۱/۲۹۰	۱۶۱/۲۹۰	۱۶۱/۲۹۰
۲۳ - $mm^2$	۲۴۷۷/۴۱۴	۲۴۷۷/۴۱۴	۲۴۹۶/۷۶۹	۲۴۷۷/۴۱۴
۲۴ - $mm^2$	۱۰۰۸/۳۸۵	۱۰۰۸/۳۸۵	۱۰۰۸/۳۸۵	۱۰۰۸/۳۸۵
۲۵ - $mm^2$	۹۰/۹۶۸	۷۱/۶۱۳	۷۱/۶۱۳	۷۱/۶۱۳
۲۶ - $mm^2$	۲۹۶۱/۲۸۴	۲۹۶۱/۲۸۴	۲۹۶۱/۲۸۴	۲۹۶۱/۲۸۴
۲۷ - $mm^2$	۹۳۹/۹۹۸	۹۳۹/۹۹۸	۱۰۰۸/۳۸۵	۹۳۹/۹۹۸
وزن -	۱۰۸۷/۱۷	۱۱۰۷/۸۵۶	۱۰۸۲/۸۸۱	۱۰۸۱/۴۹۹

### ۳-۵ الگوریتم ترکیباتی پیشنهادی HACOHSAGA

طی بررسی‌های انجام شده در زمینه شیوه بهینه‌یابی الگوریتم‌های فرابتکاری مختلف، مشخص گردید که برخی از این روش‌ها در زمینه مفاهیم تنوع قدرمندتر از مفاهیم تشدید بوده و برخی دیگر در زمینه پوشش مفاهیم تشدید موفق‌تر از مفاهیم تنوع می‌باشند. به بیان دیگر برخی از الگوریتم‌های فرابتکاری مناسب با شیوه الگوریتم در زمینه جستجوی سراسری فضای طراحی موفق بوده و برخی دیگر با استفاده از فرآیند جستجوی محلی و به صورت موضعی فضای طراحی را کاوش می‌نمایند. این مسئله ایده ترکیب الگوریتم‌های مختلف فرابتکاری را برای ایجاد توازن بین اصول تنوع و تشدید و استفاده از محسن الگوریتم‌های مختلف را پدید می‌آورد. بر این اساس همان‌طور که در بخش ۳-۲ مشاهده گردید، در الگوریتم‌های ترکیباتی سعی می‌شود تا محسن روش‌های پایه تقویت و معایب هر یک کمرنگ شود. بدین‌منظور در این رساله نیز طی کسب دید کلی و مناسب نسبت به شیوه برخی از الگوریتم‌های فرابتکاری، روش نوینی بر پایه ترکیب الگوریتم‌های ACO، HS و GA با عنوان HACOHSAGA پیشنهاد شده است. در HACOHSAGA فرآیند جستجوی سراسری و محلی به طور همزمان انجام می‌شود. طوری که روش ACO فرآیند جستجوی سراسری را بر عهده دارد و روش HS فرآیند جستجوی محلی را همزمان با روش ACO در صورت برقراری شرط جستجوی محلی دنبال می‌کند. برای تقویت شیوه پیشنهادی با ترکیب روش‌های ACO و HS، نیز از روش‌های انتخاب GA جهت برگزیدن بهترین حالات ممکن برای هر متغیر طراحی براساس مقادیر  $P_{ij}$  استفاده شده است. در این راستا روش چرخ‌گردان (HACOHSAGA-Ra)، روش رتبه‌بندی (HACOHSAGA-Ro) و روش مسابقه‌ای (HACOHSAGA-T) به عنوان حالات مختلف پیشنهادی می‌باشند که کارآیی آن‌ها طی مثال‌های بهینه‌یابی سطح‌قطع سازه‌های اسکلتی مورد ارزیابی قرار گرفته است. شیوه الگوریتم پیشنهادی HACOHSAGA برای بهینه‌یابی سطح‌قطع سازه‌های اسکلتی بشرح زیر می‌باشد.

ابتدا همانند سایر الگوریتم‌های فرابتکاری پارامترهای اولیه روش HACOHSAGA که متشکل از پارامترهای ACO، HS و شرط جستجوی محلی می‌باشد، مقداردهی می‌شود. سپس ماتریس فرومون

بشرح رابطه (۲-۸) تشکیل و میزان فرومون اولیه براساس رابطه (۲-۹) مقداردهی خواهد شد. در ادامه احتمال انتخاب هر یک از مقاطع موجود در لیست مقاطع برای هر متغیر طراحی بشرح رابطه (۲-۱۰) محاسبه می‌شود. پس از محاسبه مقادیر احتمال انتخاب، جمعیت جدید می‌باشد براساس مقادیر  $P_{ij}$  تعیین شود. برای این منظور روش‌های مختلف انتخاب در GA براساس بخش‌های ۳-۱-۱-۱-۲-۱ تا ۳-۱-۲-۱-۱-۲-۳ استفاده و بشرح زیر ارائه شده است.

(HACOHSGA-Ro) در این حالت از شیوه انتخاب چرخ‌گردان در GA استفاده شده است. این حالت تقریباً مشابه حالت مرسوم ACO بوده و فقط مفاهیم چرخ‌گردان در شیوه انتخاب ظاهر می‌شوند. بر این اساس با توجه به آن که مجموع مقادیر  $P_{ij}$  برای زمین متغیر طراحی برابر یک است، بنابراین می‌توان درصد احتمال بدست آمده برای زمین متغیر طراحی را به صورت یک چرخ‌گردان نشان داد؛ مقادیر  $P_{ij}$  قطاع‌های این چرخ را تشکیل می‌دهند. با تولید عدد تصادفی بین صفر و یک، سطح‌قطعی از لیست مقاطع با قطاع بزرگتر، شанс بیشتری برای انتخاب دارد. اجرای این حالت براساس توضیحات و روابط بخش ۳-۱-۱-۲-۳ قابل انجام می‌باشد.

(HACOHSGA-Ra) در این حالت از شیوه رتبه‌بندی برای انتخاب سطح‌قطع از لیست مقاطع مبتنی بر میزان فرومون استفاده می‌شود. بر این اساس ابتدا مقادیر  $P_{ij}$  برای زمین متغیر طراحی از کوچکترین مقدار تا بزرگترین مقدار مرتب می‌شوند. طوری که سطح‌قطعی با کمترین میزان نسبت احتمال، دارای رتبه یک و به همین ترتیب مورد بعدی دو و .... در نهایت سطح‌قطعی با بیشترین نسبت احتمال دارای رتبه‌ای برابر  $N_s$  خواهد بود. سپس انتخاب سطح‌قطع براساس رتبه هر یک از اعضا در لیست مرتب شده صورت می‌گیرد. برای این منظور از شرح کلی بخش ۳-۱-۲-۱-۲ استفاده می‌شود.

(HACOHSGA-T) در این حالت از شیوه انتخاب مسابقه‌ای به منظور انتخاب سطح‌قطع برای زمین متغیر طراحی استفاده شده است. بر این اساس متناسب با سایز رقابت، تعدادی سطح‌قطع از

لیست مقاطع برای زمین متغیر طراحی به صورت تصادفی برگزیده می‌شوند و در یک رقابت، سطح

مقطعی از لیست مقاطع با بزرگترین مقدار  $\zeta_P$  برای زمین متغیر طراحی انتخاب می‌شود.

با تکرار فرآیند انتخاب مناسب با حالات پیشنهادی موردنظر، مقادیر سطح مقطع برای هر طرح

مشخص می‌شود. در ادامه می‌توان جمعیت جدید را براساس شیوه موردنظر تشکیل داد. پس از

تشکیل جمعیت جدید فرآیندهای بهنگام‌سازی محلی بشرح رابطه (۱۳-۲)، محاسبه مقدار تابع هدف

اصلاح شده برای هر عضو از جمعیت بشرح رابطه (۳-۲)، بهنگام‌سازی سراسری بشرح رابطه (۱۴-۲) و

فرآیند بجای گذاری فرمون بشرح رابطه (۱۵-۲) صورت می‌پذیرد. سپس شرط جستجوی محلی برای

اعمال فرآیند جستجوی محلی براساس روش HS کنترل می‌شود. بدین‌منظور در صورتی که در چند

نسل متوالی از فرآیند بهینه‌یابی، تغییری در مقدار  $(A)\phi$  متناظر با بهترین طرح جمعیت حاصل

نشود، فرآیند جستجوی محلی در پیش گرفته می‌شود. برای اعمال فرآیند جستجوی محلی طرح‌های

جمعیت کوچک  $\mu$  در ماتریس به نام  $H$  سازماندهی می‌شوند. این ماتریس دارای ابعاد  $\lambda_r \times Nos$

بوده و هم‌ارز با ماتریس  $HM$  بشرح رابطه (۱۹-۲) در روش HS می‌باشد. سپس به تعداد  $\lambda_r$  بردار

جدید متغیرهای طراحی براساس فلوچارت شکل (۹-۲) مبتنی بر قوانین HS بشرح بخش ۶-۲-۲

تشکیل می‌شود. بدین‌ترتیب ماتریس  $H$  (جمعیت کوچک  $\mu$ ) براساس شیوه روش HS بروزرسانی

خواهد شد. در ادامه فرآیند جستجوی محلی، درایه‌های ماتریس فرمون مربوط به محدوده‌ای از

حالات ممکن در لیست مقاطع برای اعضای ماتریس  $H$  برابر مقدار فرمون اولیه قرار گرفته و مابقی

درایه‌های ماتریس فرمون برابر صفر منظور می‌شود. به بیان دیگر فرمون متناظر با چند سطح مقطع

در بالا و پایین طرح‌های  $H$  در لیست مقاطع در ماتریس فرمون برابر مقدار اولیه و بقیه درایه‌های

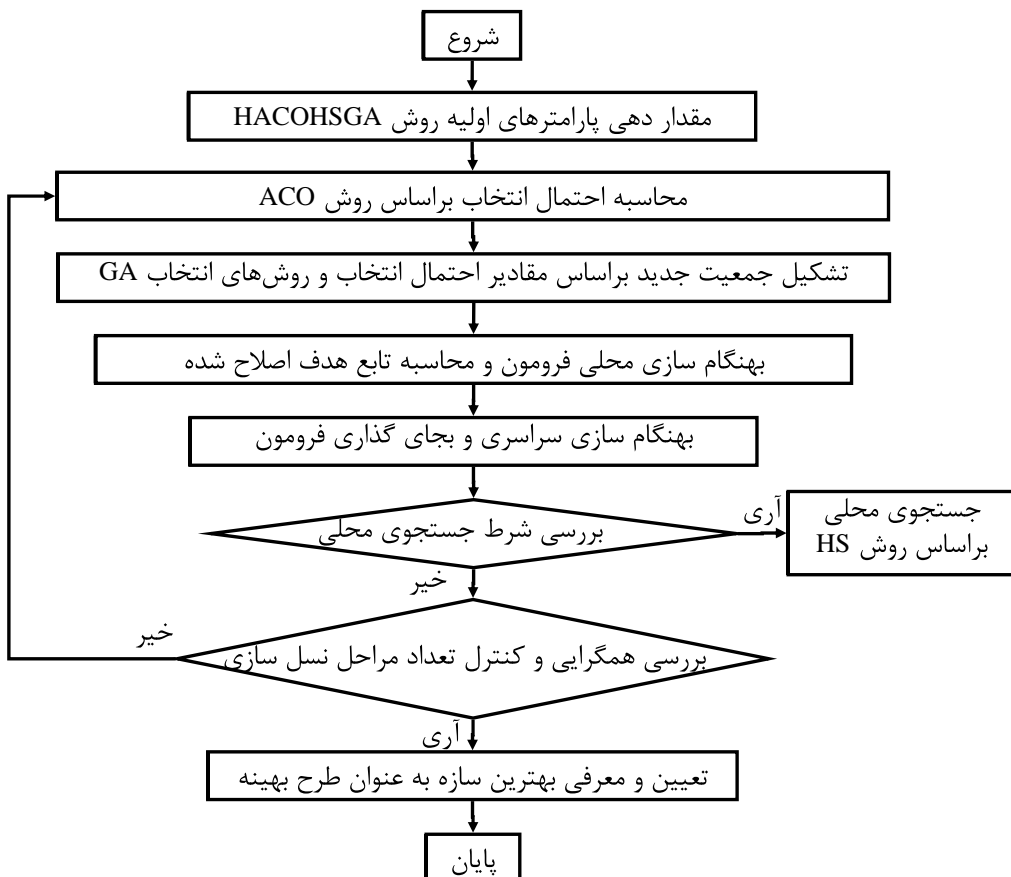
ماتریس فرمون برابر صفر در نظر گرفته می‌شود. محدوده موردنظر برای همسایگی اعضای ماتریس  $H$

متناسب با مقدار  $bw$  (پارامتر روش HS) تعیین خواهد شد.

در آخرین گام روش پیشنهادی HACOHSGA شرط خاتمه الگوریتم بررسی می‌گردد. در

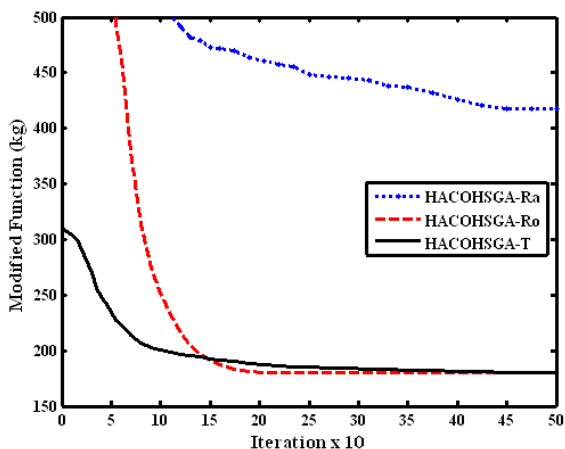
صورت عدم برقراری شرط خاتمه مراحل روش HACOHSGA به تعداد دفعات مشخص تکرار شده و

در نهایت الگوریتم بهترین طرح را به عنوان طرح بهینه معرفی می‌نماید. شکل (۵۷-۳) مراحل روش پیشنهادی و ترکیباتی HACOHSGA را نشان می‌دهد.

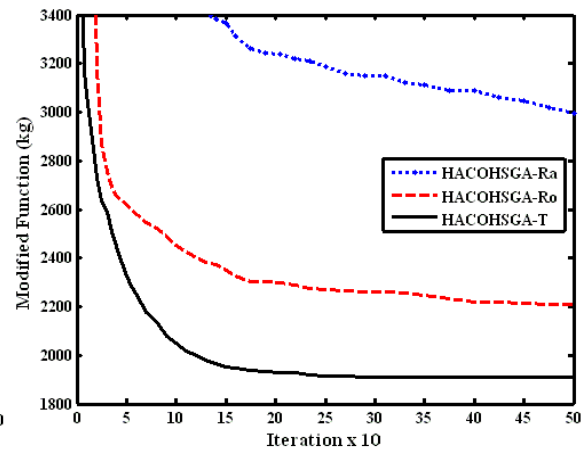


شکل (۵۷-۳) - روش نوین ترکیباتی و پیشنهادی HACOHSGA

همان‌طور که پیشتر بیان شد، برای بررسی کارآیی الگوریتم پیشنهادی HACOHSGA از مسائل بهینه‌یابی سطح مقطع سازه‌های اسکلتی استفاده شده است. بدین‌منظور خرپای ۵۲ میله‌ای بشرح مفروضات بخش الف-۱۷، برج فولادی ۷۲ میله‌ای بشرح بخش الف-۸، خرپای ۲۰۰ میله‌ای بشرح بخش الف-۹ و قاب هشت طبقه - یک دهانه بشرح مفروضات بخش الف-۴ از پیوست الف و قاب پنج طبقه- دو دهانه بشرح مفروضات بخش ۳-۵-۱ از فصل حاضر در نظر گرفته شده است. اشکال (۵۸-۳) تا (۶۲-۳) نمودار سیر همگرایی را براساس حالات مختلف روش پیشنهادی HACOHSGA نشان می‌دهد.

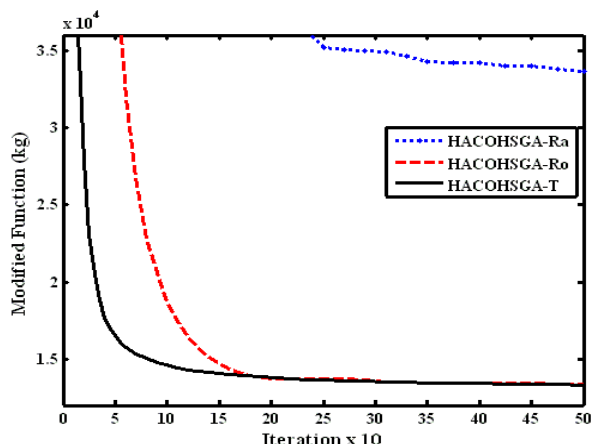


شکل (۵۹-۳) - سیر فرآیند بهینه‌یابی  
برج فولادی ۷۲ میله‌ای



شکل (۵۸-۳) - سیر فرآیند بهینه‌یابی  
خرپای ۵۲ میله‌ای

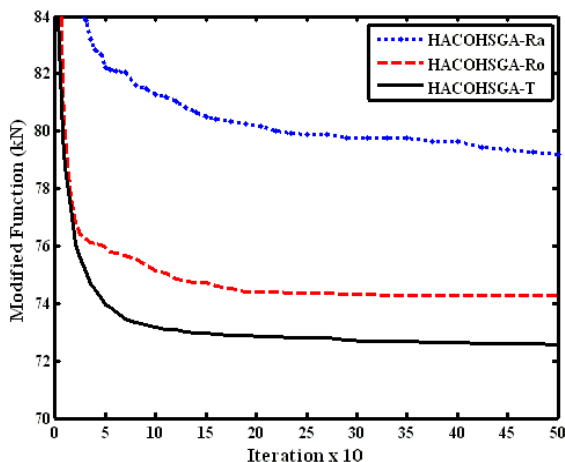
هر نمودار در هر شکل برای مثال‌های مذکور، میانگین ۳۰ اجرای مختلف حالات پیشنهادی می‌باشد. بدین ترتیب تأثیر پارامترهای تصادفی در حالات پیشنهادی روش HACOHSGA کاهش یافته و قضاوت مناسب‌تری نسبت به کارآیی هر حالت ارائه می‌شود.



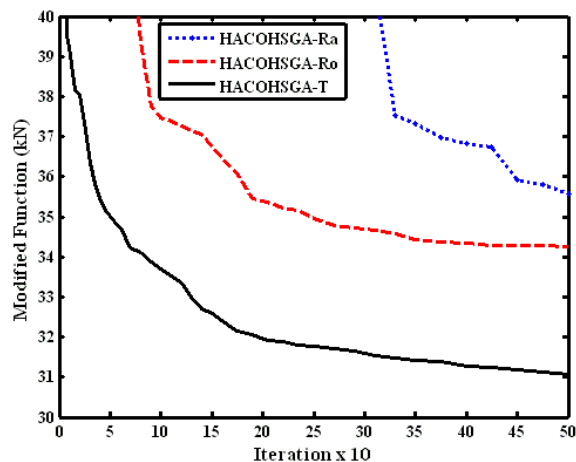
شکل (۶۰-۳) - سیر فرآیند بهینه‌یابی خرپای ۲۰۰ میله‌ای

همان‌طور که در اشکال (۵۸-۳) تا (۶۲-۳) مشاهده می‌شود، در تمامی مثال‌های موجود، روش پیشنهادی HACOHSGA-T از سایر روش‌ها موفق‌تر بوده است و سرعت بالاتری برای کسب طرح بهینه نسبت به سایر روش‌های پیشنهادی حاضر داشته است. از سوی دیگر روش پیشنهادی HACOHSGA-Ro در فضاهای کاوش کوچک با لیست مقاطع کم، نیز دارای سیر همگرایی مناسبی است. اما در فضاهای کاوش بزرگ موفقیتی همچون روش HACOHSGA-T ندارد. لذا این روش برای

فضاهای کاوش بزرگ توصیه نمی‌شود. روش HACOHSGA-Ra سرعت همگرایی ضعیفی داشته و در مسائل حاضر روند مناسبی برای کسب نقطه بهینه ندارد. بنابراین استفاده از این حالت جهت طراحی بهینه سازه‌ها اسکلتی توصیه نمی‌شود.



شکل (۳-۶۲) - سیر فرآیند بهینه‌یابی  
قاب پنج طبقه - دو دهانه

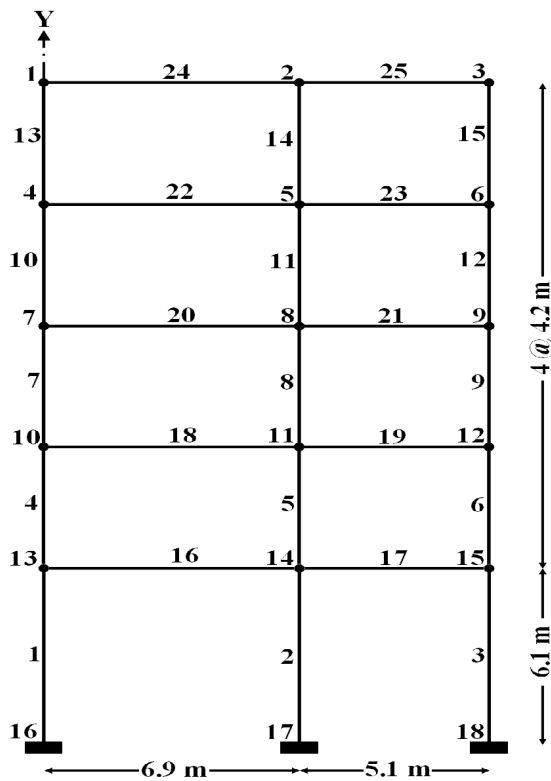


شکل (۳-۶۱) - سیر فرآیند بهینه‌یابی  
قاب هشت طبقه - یک دهانه

از سوی دیگر روش پیشنهادی HACOHSGA-T در کیفیت نتایج نیز نسبت به دیگر حالات پیشنهادی و الگوریتم‌های سایر مراجع موفق‌تر بوده است. نتایج طرح بهینه برای سازه‌های مذکور در بخش‌های مربوط به هر مثال قابل مشاهده است. همان‌طور که مشاهده خواهد شد، روش پیشنهادی HACOHSGA-T عملکرد و کارآیی مناسبی نسبت به دیگر مراجع دارد. در این راستا به عنوان نمونه قاب پنج طبقه - دو دهانه بشرح بخش بعدی مورد ارزیابی قرار گرفته است.

### ۳-۵-۱- بهینه‌یابی قاب فولادی پنج طبقه - دو دهانه براساس روش HACOHSGA

در این مثال به بهینه‌یابی قابی همانند شکل (۳-۶۳) پرداخته شده است. برای کلیه اعضای سازه  $E$  و  $\gamma$  به ترتیب برابر  $GPa$   $20.5/8$  و  $kN/m^3$   $78$  تعریف شده است. بر طبق مراجع [۷۳-۷۴] مقدار تنش مجاز برای کلیه اعضای سازه برابر  $MPa$   $166/6 \pm$  و تغییر مکان مجاز ( $\delta$ ) برای گره‌های آخرین طبقه برابر  $\frac{1}{500}$  ارتفاع قاب در نظر گرفته می‌شود.



شکل (۶۳-۳) - قاب پنج طبقه - دو دهانه

بارهای  $DL$  و  $LL$  در سه حالت بشرح ترکیبات زیر به سازه اعمال می‌شوند، که مقادیر و جهت

بارهای مذکور در جدول (۱۱-۳) تعریف شده است.

$$i) DL+0.9(LL+WL)$$

$$ii) DL+WL$$

$$iii) DL+LL$$

جدول (۱۱-۳) بارگذاری مؤثر بر قاب پنج طبقه - دو دهانه

نوع بار	بزرگی بار	موقعیت بار
بار مرده ( $DL$ )	$w_x = -11.76 \text{ kN/m}$	اعضای ۲۵، ۲۴، ۱۷، ۱۸، ... و ۲
بار زنده ( $LL$ )	$w_x = -10.78 \text{ kN/m}$	اعضای ۲۵، ۱۷، ۱۶، ... و ۲
بار باد ( $WL$ )	$P_x = 5.684 \text{ kN}$ $P_x = 7.252 \text{ kN}$ $P_x = 6.664 \text{ kN}$ $P_x = 5.978 \text{ kN}$ $P_x = 6.272 \text{ kN}$	گره ۱ گره ۴ گره ۷ گره ۱۰ گره ۱۳

در فرآیند طراحی، می‌بایست ستون‌های هر طبقه دارای سطح مقطع یکسانی باشند. از سوی دیگر کلیه تیرهای سازه به طور مستقل طراحی می‌شوند. بنابراین در مجموع ۱۵ متغیر طراحی برای مسئله بهینه‌یابی در نظر گرفته می‌شود، که از لیست مقاطع موجود در جدول (۱۲-۳) انتخاب خواهد شد.

**جدول (۱۲-۳) اعضای لیست مقاطع برای طراحی بهینه قاب پنج طبقه - دو دهانه**

$S_x - cm^3$	$I_x - cm^4$	$S_y - cm^3$	$I_y - cm^4$	$A - cm^2$	شماره	$S_x - cm^3$	$I_x - cm^4$	$S_y - cm^3$	$I_y - cm^4$	$A - cm^2$	شماره
۵۴۴۴	۴۷۸۷	۹۲۸/۸۳	۱۵۰۲۱/۳	۹۷	۸	۲۱۱/۷	۱۴۳۹	۲۸۲/۸۳	۲۵۴۵/۵	۵۱/۳۸	۱
۶۴۴/۵	۵۸۰۱	۱۰۰۷/۱	۱۶۱۱۳/۵	۱۰۹/۸	۹	۲۵۶/۴	۱۸۷۲	۳۵۶/۰۸	۳۵۶۰/۸	۵۷/۶۶	۲
۷۴۴/۵	۷۱۴۷	۱۳۱۹/۳۵	۲۳۷۴۸/۲	۱۲۱/۷۸	۱۰	۳۰۰/۳	۲۳۱۳	۴۳۵/۲۵	۴۷۸۷/۷	۶۳/۶۷	۳
۸۶۷/۸	۸۵۰۲	۱۴۰۵/۷۵	۲۵۳۰۳/۴	۱۳۶/۱۸	۱۱	۳۳۹/۴	۲۶۴۷	۵۳۷/۴۶	۶۷۱۰/۲	۶۹/۸۱	۴
۹۶۴/۶	۹۶۴۶	۱۷۵۷/۷۷	۳۵۱۵۵/۴	۱۵۰/۰۹	۱۲	۴۰۸/۹	۳۲۷۲	۵۷۹/۱۳	۷۲۳۹/۱	۷۹/۸۱	۵
۱۱۰۵/۷	۱۱۲۷۸	۱۸۶۴/۴۴	۳۷۷۲۸۸/۷	۱۶۶/۰۹	۱۳	۴۱۷/۱	۳۴۲۰	۶۷۸/۱۳	۹۵۰۵/۱	۸۰/۰۴	۶
۱۲۴۷/۶۲	۱۲۹۷۵	۱۹۷۱/۱	۳۹۴۲۲/۱	۱۸۲/۰۹	۱۴	۴۹۹/۱	۴۱۹۲	۷۳۱/۲	۱۰۲۲۶/۸	۹۱/۲۴	۷

نتایج طرح بهینه براساس روش پیشنهادی در جدول (۱۳-۳) قابل مشاهده است.

**جدول (۱۳-۳) نتایج طرح بهینه قاب پنج طبقه - دو دهانه براساس روش نوین ترکیباتی HACOHSGA**

روش پیشنهادی	مرجع [۷۴]	مرجع [۷۳]	شماره گروه
HACOHSGA-T	DLM	RDQA	
۸۰/۰۴	۸۰/۰۴	۸۰/۰۴	۱ - $cm^2$
۶۹/۸۱	۶۹/۸۱	۸۰/۰۴	۲ - $cm^2$
۶۹/۸۱	۶۹/۸۱	۶۹/۸۱	۳ - $cm^2$
۶۹/۸۱	۶۳/۶۷	۶۹/۸۱	۴ - $cm^2$
۵۱/۳۸	۶۳/۶۷	۶۹/۸۱	۵ - $cm^2$
۸۰/۰۴	۹۷	۸۰/۰۴	۶ - $cm^2$
۹۷	۶۹/۸۱	۸۰/۰۴	۷ - $cm^2$
۸۰/۰۴	۸۰/۰۴	۸۰/۰۴	۸ - $cm^2$
۶۹/۸۱	۶۹/۸۱	۶۹/۸۱	۹ - $cm^2$
۸۰/۰۴	۸۰/۰۴	۸۰/۰۴	۱۰ - $cm^2$
۵۷/۶۶	۶۹/۸۱	۶۹/۸۱	۱۱ - $cm^2$
۸۰/۰۴	۸۰/۰۴	۶۹/۸۱	۱۲ - $cm^2$
۵۷/۶۶	۵۷/۶۶	۶۹/۸۱	۱۳ - $cm^2$
۸۰/۰۴	۸۰/۰۴	۶۹/۸۱	۱۴ - $cm^2$
۶۹/۸۱	۶۳/۶۷	۶۹/۸۱	۱۵ - $cm^2$
۷۲/۵۹۶	۷۳/۷۷	۷۴/۶۰	وزن

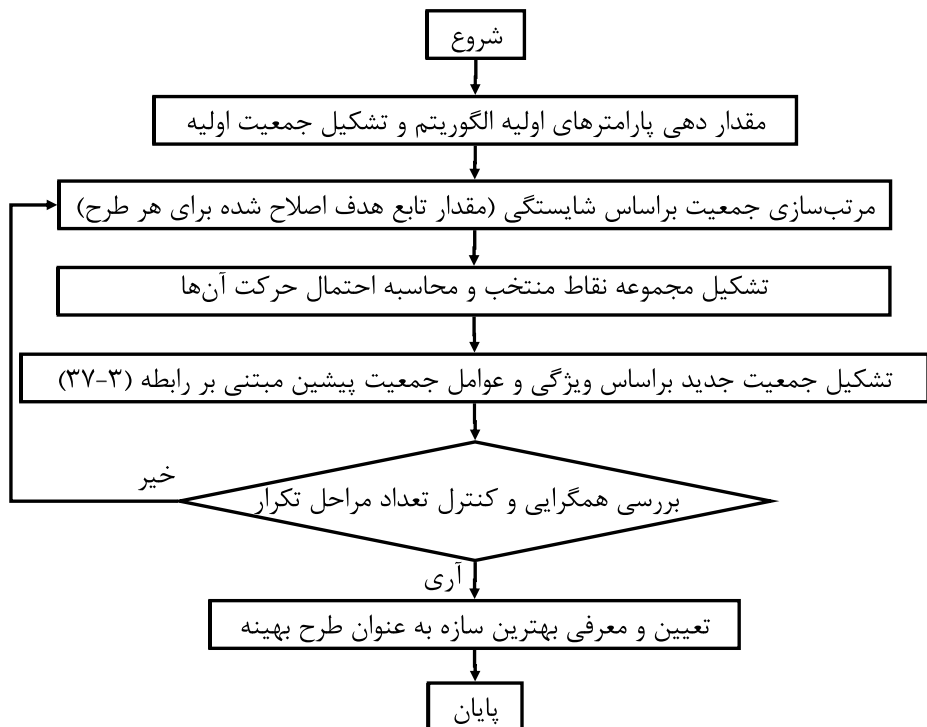
### ۳-۶ الگوریتم نوین نقاط متحرک

همان طور که پیشتر بیان شد، الگوریتم‌های فرالبتکاری با استفاده از رفتارهای تکاملی محیط پیرامون، فرآیند جستجو را در پیش گرفته و با تولید طرح‌های ارتقاء یافته متعدد، فضای طراحی را کاوش می‌نمایند. این الگوریتم‌ها با جستجوی نقطه به نقطه فضای کاوش و با پیروی از منطق الگوریتم و ایجاد توازن بین راهکارهای اصول تنوع و تشدید، در فرآیند تکامل تدریجی به سوی نقطه بهینه حرکت می‌نمایند. این مهم با بررسی الگوریتم‌های فرالبتکاری مختلف، همچون GA، ACO، PSO و ... بشرح فصل دوم و بخش ۲-۳ مشاهده شده است.

بنابراین در این رساله در راستای توسعه و بهبود عملکرد الگوریتم‌های فرالبتکاری، سعی شده است تا با الهام از شیوه جستجوی روش‌های مختلف فرالبتکاری از قبیل GA، HS، CSS و ...، الگوریتم نوین نقاط متحرک<sup>۱</sup> (MP) ارائه شود. بدین منظور با توجه به تجربیات بررسی الگوریتم‌های فرالبتکاری مذکور بشرح فصل دوم و نیز دقت در شیوه جستجوی فضای کاوش براساس اصول تنوع و تشدید توسط هر الگوریتم بشرح بخش ۲-۳، روش نقاط متحرک پیشنهاد شده است. در روش MP فضای کاوش توسط یک سری نقاط متحرک جستجو می‌شود. بر این اساس در الگوریتم MP هر طرح در فضای طراحی بیانگر نقطه‌ای متحرک و فعال در فضای کاوش می‌باشد و مجموعه نقاط متحرک، جمعیت را تشکیل می‌دهند. نقاط متحرک با حرکت و جابجایی در فضای کاوش، سبب ایجاد فرآیند تکاملی برای جمعیت‌های پی در پی شده و به سوی نقطه بهینه حرکت می‌نمایند. حرکت و جابجایی نقاط متحرک در فضای کاوش همواره براساس عوامل و ویژگی‌های جمعیت قبلی پی‌ریزی شده است. برای این منظور اولین جمعیت مشابه دیگر الگوریتم‌های فرالبتکاری، به صورت تصادفی تولید می‌شود. سپس جمعیت‌های بعدی به صورت پی در پی براساس ویژگی‌های جمعیت پیشین به امید تولید طرح‌های شایسته شکل می‌گیرد. به بیان دیگر نقاط متحرک در هر تکرار براساس عوامل مربوط به جمعیت حاضر، در فضای طراحی حرکت می‌نمایند و بدین ترتیب جمعیت جدید با شایستگی بیشتر

<sup>1</sup>. Moving Point

نسبت به جمعیت پیشین ارائه می‌شود. برای این منظور موقعیت نقاط هر جمعیت براساس مرکز هندسی نقاط جمعیت قبل، مرکز هندسی نقاط منتخب جمعیت پیشین و موقعیت نقاط منتخب جمعیت قبل مشخص می‌شود. بدین ترتیب نقاط متحرک هر جمعیت با حرکت در فضای طراحی به سوی مرکز کلیه نقاط، مرکز نقاط منتخب و نیز موقعیت نقاط منتخب جمعیت حاضر، جمعیت جدید را تشکیل می‌دهند. در این راستا میانگین میزان کیفیت نقاط جمعیت حاضر و میانگین مقدار کیفیت مجموعه نقاط منتخب و نیز میزان کیفیت هر یک از نقاط منتخب در مقدار جابجایی نقاط متحرک مؤثر می‌باشند. از دیگر عوامل مهم در شکل‌گیری موقعیت نقاط متحرک جمعیت جدید، میزان تغییرات و جابجایی هر نقطه در جمعیت قبل می‌باشد که به صورت عاملی مستقل در رسیدن به موقعیت جدید هر نقطه مؤثر است. به عبارت دیگر مقدار جابجایی هر نقطه در شکل‌گیری جمعیت پیشین به صورت مستقل در موقعیت جدید هر نقطه لحاظ می‌شود. بدین ترتیب هر نقطه در هر جمعیت در موقعیت فعلی براساس سه عامل مطرح مذکور در جمعیت قبل و نیز تغییرات حرکت پیشین، در فضای کاوش جابجا شده و در نهایت جمعیت جدید با حرکت تمامی نقاط شکل می‌گیرد. بر اساس این روش، فرآیند بهینه‌یابی به صورت تکاملی و شیوه‌ای مبتنی بر جستجوی تصادفی هوشمند هدایت شده و تا برقراری شرط خاتمه ادامه می‌یابد و بدین سان طرح بهینه در فرآیند تکامل تدریجی حاصل می‌گردد. شکل (۳-۶۴) مراحل الگوریتم نوین نقاط متحرک را نشان می‌دهد.



شکل (۳-۶۴) - روش نوین پیشنهادی نقاط متحرک (MP)

همان‌طور که ملاحظه شد، فرآیند الگوریتم MP دارای روند تکاملی برای جمعیت‌های پی در پی مشابه الگوریتم ژنتیک می‌باشد که این مهم براساس ویژگی‌های هر جمعیت صورت می‌پذیرد. از سوی دیگر حرکت نقاط متحرک در فضای کاوش مشابه فرآیند بهینه‌یابی براساس روش اجتماع ذرات و روش جستجوی ذرات باردار می‌باشد. روش جستجوی هارمونی نیز که از الگوریتم‌های قدرتمند با راهکارهای اصل تشدید می‌باشد، برای جستجوی محلی الگوریتم MP انتخاب شده است. این مهم با استفاده از قوانین HS در تشکیل هارمونی جدید برآورده می‌شود. بدین ترتیب الگوریتم MP در چارچوب روش‌های فرآیندی و نیز با دقت و الهام در شیوه بهینه‌یابی الگوریتم‌های مذکور، شکل گرفته است. در این راستا بشرح بخش آتی فرمولبندی شیوه جستجوی روش پیشنهادی MP با توجه به ساختار شکل (۳-۶۴) ارائه شده است.

### ۳-۶-۱ فرمولبندی مسئله بهینه‌یابی براساس الگوریتم پیشنهادی نقاط متحرک

در الگوریتم MP ابتدا پارامترهای اولیه الگوریتم از قبیل تعداد نقاط متحرک<sup>۱</sup> ( $NP$ ), ضریب استانداردسازی ( $\lambda^{MP}$ ) و ... مقداردهی می‌شوند. سپس جمعیت اولیه به صورت تصادفی و براساس محدوده متغیرهای طراحی تولید می‌شود. این جمعیت می‌بایست براساس شایستگی از بهترین تا بدترین طرح مرتب شود. بدین منظور مقدار تابع هدف اصلاح شده برای هر طرح بشرح رابطه (۳-۲)

$$\text{محاسبه می‌شود. براساس این رابطه می‌توان شایستگی هر طرح را ارزیابی نمود. در این راستا هر طرحی که قیود مسئله را بیشتر نقض نماید، مقدار تابع } \phi \text{ متناظر با آن بیشتر و در نتیجه دارای شایستگی کمتری است و هر طرحی که دارای } \phi \text{ کمتری باشد، از شایستگی بیشتری برخوردار خواهد بود. بدین ترتیب طرح‌هایی با } \phi \text{ کوچکتر به عنوان طرح‌های شایسته‌تر در نظر گرفته می‌شوند. بر این اساس اعضای جمعیت طبق شایستگی مرتب خواهد شد. بدین منظور شایسته‌ترین طرح رتبه یک و ناشایسته‌ترین طرح در جایگاه } NP \text{ قرار می‌گیرد. } NP \text{ تعداد طرح‌های موجود در جمعیت است که معادل تعداد نقاط متحرک در فضای جستجو می‌باشد.}$$

پس از مرتب‌سازی اعضای جمعیت، هر طرح براساس روابط پیشنهادی روش MP در فضای طراحی جایجا می‌شود. بدین منظور موقعیت جدید هر نقطه بشرح رابطه (۲۴-۳) تعیین می‌شود.

$$X_{new}^k = X_{old}^k + \Delta X_{new}^k \quad k = 1, \dots, NP \quad (24-3)$$

در رابطه (۲۴-۳)،  $X_{new}^k$  و  $X_{old}^k$  به ترتیب بیانگر موقعیت  $k$ امین طرح از جمعیت حاضر (موقعیت فعلی طرح) و جمعیت جدید می‌باشند که معادل طرح‌هایی همچون  $A=[a_1, a_2, \dots, a_{Nos}]$  در فضای برداری است.  $\Delta X_{new}^k$  نیز مقدار جایجا می‌باشد که معادل طرح در فضای طراحی برای جمعیت حاضر بوده که بر اساس رابطه (۲۵-۳) محاسبه و ارزیابی می‌گردد.

$$\Delta X_{new}^k = r_0 \Delta X_{old}^k + Term1 + Term2 + Term3 \quad (25-3)$$

---

<sup>۱</sup>. Number of Points

در رابطه (۲۵-۳)،  $\Delta X_{old}^k$  میزان تغییرات و جابجایی  $k$ امین طرح (نقطه) در تکرار قبلی است. لازم به ذکر است که مقدار  $\Delta X_{old}^k$  در اولین تکرار برابر صفر در نظر گرفته می‌شود. از سوی دیگر  $r_0$  ضریب کاهنده‌ای است که براساس رابطه (۲۶-۳) به صورت خطی و نزولی تعریف می‌شود.

$$r_0 = 1 - 0.9 \left( \frac{iter}{iter_{max}} \right) \quad (26-3)$$

در رابطه (۲۶-۳)،  $iter_{max}$  و  $iter$  به ترتیب بیانگر شماره تکرار و تعداد کل تکرارها در فرآیند بهینه‌یابی است. بدین ترتیب مقدار  $r_0$  در کل فرآیند بهینه‌یابی بصورت خطی و نزولی بین مقادیر یک تا ۰/۱ تغییر می‌نماید. این تدبیر سبب می‌شود تا روش MP در تکرارهای ابتدایی از فرآیند بهینه‌یابی، سریع‌تر به سمت نقطه بهینه حرکت نموده و نقاط متنوعی را تولید نماید. بنابراین در تکرارهای ابتدایی مفاهیم اصل تنوع در فرآیند بهینه‌یابی بیشتر مشاهده می‌شود. از سوی دیگر در تکرارهای آخر به سبب کاهش مقدار ضریب  $r_0$ ، الگوریتم MP با پیروی از اصل تشدید همسایگی طرح‌های شایسته را دقیق‌تر جستجو می‌نماید.

در رابطه (۲۵-۳) توابع  $Term1$ ,  $Term2$  و  $Term3$  دلالت بر سه عامل اصلی برای تشکیل جمعیت‌های جدید که در بخش پیشین شرح داده شد، دارند. بر این اساس  $Term1$  سبب حرکت هر نقطه (طرح) به سوی مرکز نقاط جمعیت حاضر می‌شود. بنابراین می‌بایست مرکز نقاط هر جمعیت تعیین شود. برای این منظور نقطه مرکز جمعیت حاضر یعنی موقعیت  $X^{Avg} = [x_1^{Avg}, x_2^{Avg}, \dots, x_{Nos}^{Avg}]$  براساس رابطه (۲۷-۳) مشخص می‌شود

$$x_i^{Avg} = \frac{1}{NP} \sum_{j=1}^{NP} x_j \quad i = 1, \dots, n \quad (27-3)$$

با محاسبه  $X^{Avg}$  مقدار  $Term1$  برای هر طرح بشرح رابطه (۲۸-۳) محاسبه خواهد شد.

$$Term1 = r_1 Ran_1 \left[ \frac{\phi_1}{\phi_{Avg}} \left( X^{Avg} - X_{old}^k \right) \right] \quad (28-3)$$

براساس رابطه فوق هر نقطه (طرح) در جمعیت جدید به مقدار  $Term1$  به سوی مرکز کلیه نقاط جمعیت قبل حرکت می‌نماید. در رابطه (۲۸-۳)  $Ran_1$  بیانگر عددی تصادفی و یکنواخت در محدوده صفر تا یک است.  $\phi$  بیانگر مقدار تابع هدف اصلاح شده بهترین طرح در جمعیت حاضر (اولین طرح

در هر جمعیت) است. پارامتر  $r_1$  نیز ضریبی است که در حرکت هر نقطه به سوی مرکز نقاط جمعیت مؤثر است. برای ایجاد آهنگ پایدار در رسیدن به طرح بهینه، ضریب  $r_1$  در طی فرآیند بهینه‌یابی  $r_1$  بصورت خطی و نزولی بشرح رابطه (۲۹-۳) تعریف می‌شود. براساس رابطه (۲۹-۳) بیشترین مقدار  $r_1$  در ابتدای عملیات بهینه‌یابی با مقدار یک و کمترین مقدار آن برابر ۰/۱ در پایان فرآیند بهینه‌یابی است. بدین ترتیب در ابتدا مقادیر  $Term1$  بیشتر بوده و این مهم سبب افزایش تولید نقاط متنوع در کل فضای طراحی خواهد شد. بنابراین اصل تنوع در ابتدای فرآیند بهینه‌یابی حاکم است. از سوی دیگر طی فرآیند بهینه‌یابی، مقادیر  $Term1$  به آهستگی کوچک می‌شود. این مهم سبب افزایش اصل تشدید و کاهش مفاهیم اصل تنوع در انتهای فرآیند بهینه‌یابی خواهد شد. بدینسان در انتهای فرآیند بهینه‌یابی، همسایگی طرح‌های مستعد کاوش می‌شود.

$$r_1 = 1 - 0.9 \left( \frac{iter}{iter_{max}} \right) \quad (29-3)$$

در رابطه (۲۸-۳)،  $\phi^{Avg}$  میانگین مقادیر تابع هدف اصلاح شده طرح‌های جمعیت حاضر می‌باشد. این مقدار بشرح رابطه (۳۰-۳) محاسبه می‌شود.

$$\phi_{Avg} = \frac{1}{NP} \sum_{j=1}^{NP} \phi_j \quad (30-3)$$

با محاسبه  $\phi^{Avg}$  می‌توان مقدار  $Term1$  برای رابطه (۲۵-۳) براساس رابطه (۲۸-۳) محاسبه نمود.

از سوی دیگر در رابطه (۲۵-۳) بیانگر مقدار حرکت هر طرح به سوی مرکز نقاطی با شایستگی بالا از جمعیت قبل می‌باشد. این نقاط با عنوان نقاط منتخب<sup>۱</sup> تعریف می‌گردند. بدین ترتیب مقدار  $Term2$  برای هر طرح در جمعیت حاضر بشرح رابطه (۳۱-۳) محاسبه می‌شود.

$$Term2 = r_1 Ran_2 \left[ \frac{\phi_1}{\phi_{Avg-cp}} \left( X^{Avg-cp} - X_{old}^k \right) \right] \quad (31-3)$$

در رابطه فوق  $Ran_2$  بیانگر عددی تصادفی و یکنواخت در محدوده صفر تا یک می‌باشد.  $\phi^{Avg-cp}$  در رابطه (۳۱-۳) نیز میانگین مقادیر تابع هدف اصلاح شده طرح‌های متناظر با نقاط منتخب در جمعیت حاضر است. این مقدار در فرآیند بهینه‌یابی بشرح رابطه (۳۲-۳) محاسبه می‌شود.

<sup>1</sup>. Choosing Points

$$\phi^{Avg-cp} = \frac{1}{Ncp} \sum_{j=1}^{Ncp} \phi_j \quad (32-3)$$

در رابطه فوق  $Ncp$  بیانگر تعداد نقاط مجموعه منتخب (طرحهایی با شایستگی مناسب) در جمعیت حاضر می‌باشد. در رابطه (31-۳)  $X^{Avg-cp} = [x_1^{Avg-cp}, x_2^{Avg-cp}, \dots, x_{Ncp}^{Avg-cp}]$  نیز بیانگر نقطه مرکز نقاط منتخب می‌باشد که بشرح رابطه (33-۳) تعیین می‌گردد.

$$x_i^{Avg-cp} = \frac{1}{Ncp} \sum_{j=1}^{Ncp} x_j \quad i = 1, \dots, n \quad (33-3)$$

نکته حائز اهمیت در محاسبه  $Term2$  تعیین مجموعه نقاط منتخب و یا به تعبیر صحیح‌تر در فرآیند بهینه‌یابی سازه‌ها، تعیین مجموعه‌ای از طرحهای شایسته در هر جمعیت است. برای این منظور معیاری تحت عنوان شایستگی استاندارد براساس رابطه (34-۳) تعیین می‌شود [۱].

$$\phi_{Sf} = \phi_{Avg} + \lambda^{MP} \sqrt{\left( \frac{1}{(NP+1)} \sum_{j=1}^{NP} (\phi_j - \phi_{Avg})^2 \right)} \quad (34-3)$$

در رابطه فوق  $\phi_{Sf}$  شایستگی استاندارد می‌باشد.  $\lambda^{MP}$  نیز ضریب استانداردسازی شایستگی است که در ابتدای فرآیند بهینه‌یابی مشخص می‌شود. اتخاذ مقادیر  $\lambda^{MP}$  کوچک سبب همگرایی زودرس الگوریتم خواهد شد. براین اساس الگوریتم فرصت کافی برای جستجوی فضای طراحی نداشته و در بهینه محلی گرفتار می‌شود. از سوی دیگر اتخاذ مقادیر بزرگ برای  $\lambda^{MP}$  نیز توصیه نمی‌شود، چرا که بدین ترتیب الگوریتم به سوی جستجوی تصادفی هدایت می‌شود. بنابراین انتخاب مقدار صحیح  $\lambda^{MP}$  از مسائل مهم در الگوریتم MP بوده و معیارهای اصل تنوع را کنترل می‌نماید. با بررسی‌های انجام شده توصیه می‌شود که در مسائل بهینه‌یابی سازه‌ها مقدار  $\lambda^{MP}$  در محدوده  $0.5$  تا  $1$  در نظر گرفته شود.

با محاسبه  $\phi_{Sf}$  می‌توان مجموعه نقاط منتخب را تشکیل و پارامتر  $Ncp$  را مشخص نمود. بر این اساس طرحهایی که دارای تابع هدف اصلاح شده‌ای کمتری از مقدار  $\phi_{Sf}$  باشند، در مجموعه نقاط منتخب دسته‌بندی می‌شوند. بدین ترتیب با تشکیل مجموعه نقاط منتخب، مقادیر  $\phi^{Avg-cp}$  و  $X^{Avg-cp}$  براساس روابط (32-۳) و (33-۳) قابل محاسبه است.

پس از محاسبه مقدار  $Term2$  می‌بایست برای تعیین میزان جابجایی هر طرح، مقدار  $Term3$  نیز محاسبه شود.  $Term3$  بیانگر حرکت هر طرح در فضای طراحی به سوی موقعیت هر یک از نقاط منتخب در جمعیت حاضر است تا بدینسان طرحی با شایستگی بیشتر برای جمعیت جدید حاصل گردد. برای این منظور مقدار  $Term3$  برای هر طرح بشرح رابطه (۳۵-۳) تعیین می‌گردد.

$$Term3 = r_3 \sum_{j=1}^{Ncp} \left[ \frac{\phi_1}{\phi_j} (X^j - X_{old}^k) \right] \quad (35-3)$$

در رابطه (۳۵-۳)،  $r_3$  ضریبی است که در میزان حرکت به سوی موقعیت نقاط منتخب مؤثر است. این پارامتر بصورت صعودی در کل فرآیند بهینه‌یابی بشرح رابطه (۳۶-۳) افزایش می‌یابد. براساس رابطه (۳۶-۳) کمترین مقدار  $r_3$  در ابتدای عملیات بهینه‌یابی  $1/0$  و بیشترین مقدار آن برابر یک در پایان فرآیند بهینه‌یابی است. اتخاذ شیوه صعودی برای  $r_3$  سبب افزایش تدریجی تأثیر  $Term3$  در فرآیند بهینه‌یابی می‌شود. رفتار صعودی  $Term3$  نیز سبب می‌شود تا الگوریتم در تکرارهای نهایی از گرفتاری در بهینه محلی رهایی یابد. به بیان دیگر می‌توان اذعان داشت که وجود  $Term3$  در الگوریتم MP مشابه فرآیند جهش در الگوریتم ژنتیک است.

$$r_3 = 0.1 + 0.9(\text{iter} / \text{iter}_{\max}) \quad (36-3)$$

از سوی دیگر در رابطه (۳۵-۳)  $X^j$  نیز بیانگر موقعیت زمین طرح در فضای طراحی از مجموعه نقاط منتخب است.

با محاسبه مقدار  $\Delta X_{new}^k$  در رابطه (۲۵-۳) به راحتی قابل محاسبه است. با تعیین مقدار  $\Delta X_{new}^k$  نیز مقدار  $X_{new}^k$  بر حسب رابطه (۲۴-۳) محاسبه و موقعیت جدید هر طرح در جمعیت جدید مبتنی بر پارامترهای جمعیت قبل، مشخص می‌گردد. بنابراین در حالت کلی رابطه حاکم بر الگوریتم MP بشرح رابطه (۳۷-۳) قابل بیان می‌باشد.

$$\begin{aligned}
X_{new}^k &= X_{old}^k + r_0 \Delta X_{old}^k \\
&+ r_1 \left[ Ran_1 \left[ \frac{\phi_1}{\phi_{Avg}} (X^{Avg} - X_{old}^k) \right] + Ran_2 \left[ \frac{\phi_1}{\phi_{Avg-cp}} (X^{Avg-cp} - X_{old}^k) \right] \right] \\
&+ r_3 \sum_{j=1}^{Ncp} \left[ \frac{\phi_1}{\phi_j} (X^j - X_{old}^k) \right] \quad k = 1, \dots, NP
\end{aligned} \tag{37-۳}$$

با محاسبه  $X_{new}^k$  برای تمامی طرح‌های جمعیت حاضر، جمعیت جدید قابل تشکیل می‌باشد. با تشكیل جمعیت جدید فرآیند بهینه‌یابی تا برقراری شرط خاتمه ادامه می‌یابد. زمانی که شرط خاتمه محقق شود، الگوریتم بهترین طرح را به عنوان طرح بهینه معرفی می‌نماید. تعیین تعداد دفعات تکرار مشخص، از ساده‌ترین راه حل‌ها برای شرط خاتمه در الگوریتم‌های فرابیتکاری است. بدین‌منظور الگوریتم مراحل تکرار را به تعداد دفعات مشخص انجام و در نهایت بهترین طرح را به عنوان طرح بهینه معرفی می‌نماید.

از تمهدات ویژه‌ای که کارآیی الگوریتم MP را افزایش می‌دهد، اتخاذ فرآیند شرطی برای حرکت نقاط منتخب در هر جمعیت است. به عبارت دیگر با بررسی‌های انجام شده مشخص گردید، اگر شرط منطقی برای حرکت نقاط منتخب در هر جمعیت وجود داشته باشد، کارآیی الگوریتم افزایش می‌یابد. برای این منظور به ازای هر طرح در مجموعه نقاط منتخب، عدد تصادفی یکنواختی در محدوده صفر تا یک تولید می‌شود، اگر عدد تولیدی از مقدار تابع رابطه (۳۸-۳) بیشتر باشد، نقطه موردنظر همانند سایر اعضای جمعیت براساس رابطه (۳۷-۳) در فضای طراحی حرکت می‌نماید. در غیر این صورت نقطه (طرح) موردنظر بدون هیچ تغییری به جمعیت بعدی منتقل می‌شود.

$$P_i = \frac{(\phi_{Sf} - \phi_i)}{(\phi_{Sf} - \phi_1) + \varepsilon} \quad i = 1, \dots, Ncp \tag{38-۳}$$

در رابطه فوق  $P_i$  مقدار احتمال متناظر با هر طرح در مجموعه نقاط منتخب و  $\varepsilon$  مقداری کوچک برای جلوگیری از صفر شدن مخرج است [۲۲].

از موارد مهم دیگری که در مسائل بهینه‌یابی سازه‌ها رخ می‌دهد، خروج مقدار هر متغیر طراحی از محدوده مجاز براساس رابطه (۳۷-۳) می‌باشد. به بیان دیگر ممکن است براساس رابطه (۳۷-۳) در

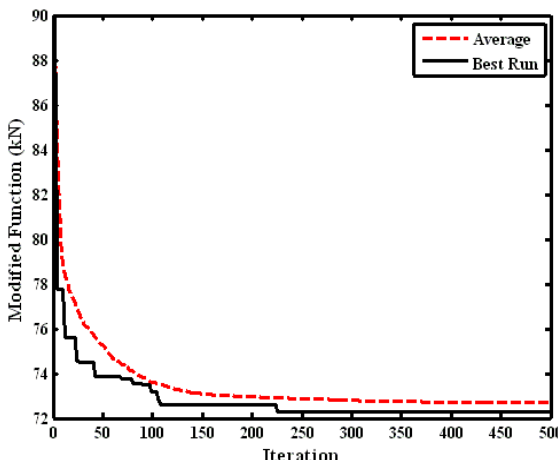
ابتدای فرآیند بهینه‌یابی میزان  $\Delta X_{new}^k$  سبب مقداردهی متغیری خارج از محدوده مجاز شود. این مهم در برخی الگوریتم‌های فرالبتکاری مشاهده می‌شود که هر یک راهکارهای مختلفی را ارائه می‌دهند [۲۲ و ۴۵]. با بررسی‌های انجام شده توصیه می‌شود، در صورت بروز چنین اتفاقی در الگوریتم MP متغیر مربوطه براساس روش HS در تولید هارمونی جدید، مقداردهی شود. برای این منظور متغیر مربوطه براساس پارامتر  $HCMR^{MP}$  می‌تواند به صورت تصادفی در محدوده مجاز مقداردهی شود و یا براساس مقادیر متناظر موجود در مجموعه منتخب مقداردهی شود. این مرحله با تولید عددی تصادفی در محدوده صفر تا یک و مقایسه آن با مقدار  $HCMR^{MP}$  قابل اجرا است. در صورتی که عدد تصادفی از مقدار  $HCMR^{MP}$  بیشتر باشد، متغیر موردنظر به صورت تصادفی در محدوده مجاز مقداردهی می‌شود. اما اگر عدد تصادفی کمتر از  $HCMR^{MP}$  باشد، متغیر مربوطه براساس مقادیر متناظر در مجموعه منتخب مقداردهی می‌شود. در این حالت احتمال کسب مقداری در همسایگی هر یک از مقادیر متناظر در مجموعه منتخب نیز براساس پارامتر  $PAR^{MP}$  وجود دارد. برای این منظور عدد تصادفی جدیدی در محدوده صفر تا یک تولید و با مقدار  $PAR^{MP}$  مقایسه می‌شود. اگر عدد تصادفی جدید از مقدار  $PAR^{MP}$  کوچکتر باشد مقدار متغیر مربوطه بدون هیچ تغییری از مقادیر متناظر در مجموعه منتخب مقداردهی می‌شود. اما در غیر این صورت متغیر مربوطه براساس پارامتر بازه همسایگی از اطراف مقادیر متناظر در مجموعه منتخب مقداردهی خواهد شد. مقادیر  $HCMR^{MP}$  و  $PAR^{MP}$  در ابتدای فرآیند بهینه‌یابی توسط کاربر مقداردهی می‌شود. با بررسی‌های انجام شده توصیه می‌شود که مقدار پارامتر  $HCMR^{MP}$  کوچکتر از مقدار پارامتر مشابه در روش HS (HCMR) می‌شود [۴۸-۴۹] مقداردهی شود. بنابراین انتخاب مقداری در محدوده  $1/0 \text{ تا } 5/0$  مناسب است. لازم به ذکر است که با بررسی‌های انجام شده، مشخص گردید که احتمال خروج متغیر طراحی از محدوده مجاز برای روش MP در ابتدای فرآیند بهینه‌یابی بیشتر بوده و این احتمال به صورت نزولی در انتهای فرآیند کاهش می‌یابد. از سوی دیگر بررسی‌های انجام شده، نشان می‌دهد که در حالت کلی برای

الگوریتم MP احتمال خروج مقدار متغیر طراحی از محدوده مجاز به نسبت سایر الگوریتم‌های فراتکاری، کمتر است.

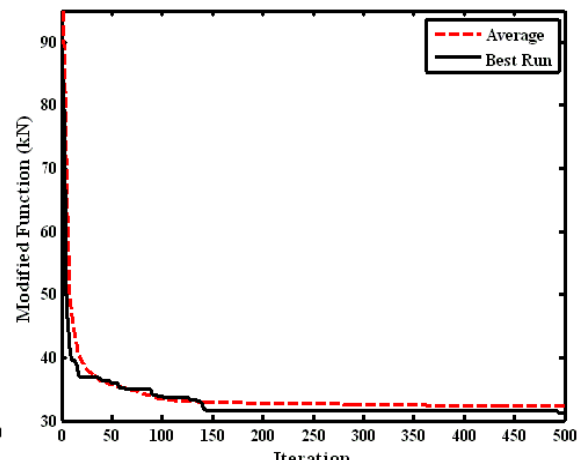
کارآیی الگوریتم MP براساس بخش آتی، طی مثال‌های بهینه‌یابی سطح مقطع سازه‌های اسکلتی مورد ارزیابی قرار گرفته است.

### ۲-۶-۳ بررسی کارآیی و عملکرد الگوریتم پیشنهادی نقاط متحرک

برای بررسی کارآیی الگوریتم MP از مثال‌های بهینه‌یابی سازه‌های اسکلتی با فضاهای طراحی متفاوت، استفاده شده است. بدین منظور قاب هشت طبقه - یک دهانه بشرح بخش الف-۴، برج فولادی ۷۲ میله‌ای بشرح مفروضات بخش الف-۸ و خرپایی مستوی ۵۲ میله‌ای بشرح بخش الف-۱۷ از پیوست الف و قاب پنج طبقه - دو دهانه بشرح بخش ۲-۶-۳ تا ۲-۶-۱ از فصل حاضر انتخاب شده‌اند. در هر مثال برای اجتناب از تأثیر پارامترهای تصادفی و بیان کارآیی الگوریتم، ۵۰ اجرای فرآیند بهینه‌یابی بصورت مستقل انجام شده است. سپس سیر همگرایی میانگین برای ۵۰ اجرا رسم و با بهترین سیر همگرایی در بین ۵۰ اجرا مقایسه شده است. اشکال (۶۵-۳) تا (۶۶-۳) نمودار سیر همگرایی بهترین اجرا و میانگین اجراهای متوالی را برای هر مثال نشان می‌دهد.

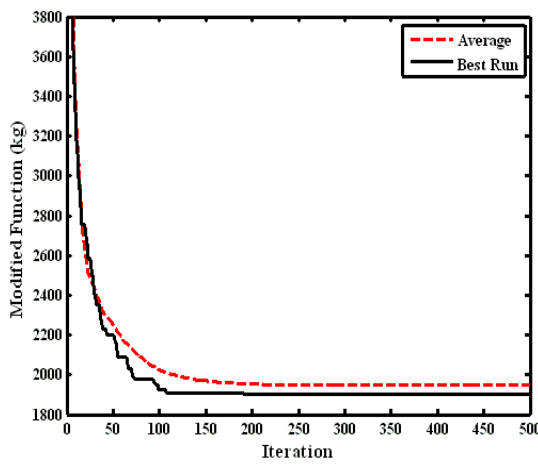


شکل (۶۶-۳) - سیر فرآیند بهینه‌یابی  
قاب پنج طبقه - دو دهانه

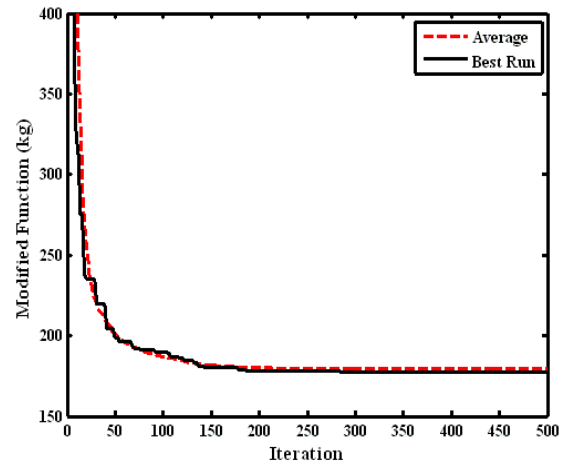


شکل (۶۵-۳) - سیر فرآیند بهینه‌یابی  
قاب هشت طبقه - یک دهانه

همان طور مشاهده می‌شود، نتایج بشرح نمودارهای اشکال (۶۵-۳) تا (۶۸-۳) حاکی از انطباق تقریبی نمودار سیر همگرایی میانگین و بهترین اجرا دارد. این مهم دلالت بر ثبات و پایداری الگوریتم در اجراهای مختلف داشته و بیانگر آن است که روند بهینه‌یابی سیری تصادفی ندارد و الگوریتم پیشنهادی MP به صورت هوشمند فضای طراحی را جستجو می‌نماید. بدین ترتیب می‌توان به اجرای یک بار الگوریتم برای دستیابی به طرحی مناسب در فرآیند طراحی بهینه سازه‌ها اعتماد نمود.



شکل (۶۸-۳) - سیر فرآیند بهینه‌یابی خرپای ۵۲ میله‌ای



شکل (۶۷-۳) - سیر فرآیند بهینه‌یابی برج فولادی ۷۲ میله‌ای

از دیگر تمهیدات برای بررسی کارآیی الگوریتم MP، مقایسه میانگین مقادیر طرح بهینه در ۵۰ اجرای متوالی با مقدار بهترین نتیجه برای طرح بهینه حاصل از روش MP است. بررسی‌های انجام شده بیانگر نزدیکی این دو مقدار با یکدیگر می‌باشد. این مقایسه نیز بیانگر ثبات و پایداری در شیوه بهینه‌یابی و یافتن طرح بهینه مناسب براساس الگوریتم MP است. از سوی دیگر این مهم بیانگر عدم تصادفی بودن الگوریتم MP در نیل به نقطه بهینه می‌باشد. به بیان دیگر می‌توان به یک بار اجرای الگوریتم پیشنهادی MP جهت کسب جواب قابل قبول اعتماد نمود. این مهم در مسائل طراحی بهینه سازه‌ها، از اهمیت ویژه‌ای برخوردار است. نتایج طرح بهینه براساس روش MP برای سازه‌های مذکور در بخش‌های مربوط به هر مثال، در قیاس با دیگر مراجع به همراه میانگین ۵۰ اجرای متوالی قابل مشاهده

است. همان‌طور که مشاهده می‌شود، درصد اختلاف مقدار میانگین و بهترین طرح برای مثال‌های مذکور، اندک می‌باشد.

### ۳-۶-۱-۲-۱ بهینه‌یابی قاب فولادی پنج طبقه - دو دهانه براساس روش MP

در این مثال به بهینه‌یابی سطح‌قطع قاب پنج طبقه - دو دهانه بشرح شکل (۶۳-۳) براساس روش پیشنهادی MP پرداخته شده است. فرضیات طراحی و مفروضات مسئله بهینه‌یابی بشرح بخش ۱-۵-۳ فرض می‌شود.

نتایج حاصل برای طرح بهینه قاب مذکور براساس روش پیشنهادی بشرح جدول (۱۴-۳) در قیاس با دیگر مراجع قابل مشاهده است.

جدول (۱۴-۳) نتایج طرح بهینه قاب پنج طبقه - دو دهانه براساس روش نوبن نقاط متحرک (MP)

شماره گروه	مرجع [۷۳]	مرجع [۷۴]	روش پیشنهادی
	RDQA	DLM	MP
۱ - $cm^2$	۸۰/۰۴	۸۰/۰۴	۸۰/۰۴
۲ - $cm^2$	۸۰/۰۴	۶۹/۸۱	۶۹/۸۱
۳ - $cm^2$	۶۹/۸۱	۶۹/۸۱	۶۹/۸۱
۴ - $cm^2$	۶۹/۸۱	۶۳/۶۷	۶۹/۸۱
۵ - $cm^2$	۶۹/۸۱	۶۳/۶۷	۵۱/۳۸
۶ - $cm^2$	۸۰/۰۴	۹۷	۸۰/۰۴
۷ - $cm^2$	۸۰/۰۴	۶۹/۸۱	۹۷
۸ - $cm^2$	۸۰/۰۴	۸۰/۰۴	۸۰/۰۴
۹ - $cm^2$	۶۹/۸۱	۶۹/۸۱	۶۹/۸۱
۱۰ - $cm^2$	۸۰/۰۴	۸۰/۰۴	۸۰/۰۴
۱۱ - $cm^2$	۶۹/۸۱	۶۹/۸۱	۵۷/۶۶
۱۲ - $cm^2$	۶۹/۸۱	۸۰/۰۴	۸۰/۰۴
۱۳ - $cm^2$	۶۹/۸۱	۵۷/۶۶	۵۷/۶۶
۱۴ - $cm^2$	۶۹/۸۱	۸۰/۰۴	۸۰/۰۴
۱۵ - $cm^2$	۶۹/۸۱	۶۳/۶۷	۶۹/۸۱
وزن -	۷۴/۶۰	۷۳/۲۷	۷۲/۵۹۶
میانگین	--	--	۷۲/۷۰۱

# فصل چهارم

## نتایج و

## پیشنهادات

## ۱-۴ مقدمه

در این فصل به بیان خلاصه‌ای از نتایج و دستاوردهای حاصل از این رساله پرداخته شده است. همچنین با ارائه پیشنهاداتی در زمینه تحقیقات و فعالیت‌های حاضر، راههای آتی برای ادامه پژوهش مطرح شده است. هدف از این رساله بهینه‌یابی سازه‌ها با استفاده از روش‌های فرآبتكاری ترکیباتی بوده و در این راستا به توسعه، گسترش و بهبود عملکرد روش‌های فرآبتكاری پرداخته شده است. بدین ترتیب براساس پنج محور پژوهشی و گام‌های تحقیقاتی مبتنی بر فصل سوم دستاوردهای کلی بشرح زیر حاصل می‌شود.

در اولین گام تحقیقاتی، محور پژوهش براساس بررسی برخی از رایج‌ترین الگوریتم‌های فرآبتكاری و شناسایی جزئیات و قابلیت‌های روش‌های مختلف پی‌ریزی گردید. در این راستا پیشنهادات مختلفی در جهت بهبود عملکرد هر یک از روش‌های موردنظر ارائه و کارآیی این پیشنهادات در حوزه طراحی بهینه سازه‌ها، مورد ارزیابی قرار گرفت. نتایج حاصل برای هر روش از الگوریتم‌های موردنظر، دستاوردهای ارزشمندی جهت استفاده صحیح و آگاهانه نسبت به برخی از پارامترها را ارائه داد.

در گام دوم تحقیقاتی این رساله، محور پژوهش در راستای ارائه روش نوین جستجوی چندمنظوره در جهت کاهش تأثیر پارامترها و روابط حاکم بر الگوریتم‌های فرآبتكاری بنا گردید. بدین منظور کارآیی ایده پیشنهادی جستجوی جزیره‌ای در قالب مثال‌های معتبر بهینه‌یابی سازه‌ها در

زمینه‌های مختلف مورد ارزیابی قرار گرفت. نتایج حاکی از عملکرد مناسب روش MSM در کسب اهداف موردنظر داشت. در این گام روش کاوش چندفرابتکاری (MHSM) نیز با الهام از شیوه جزیره‌ای روش MSM پیشنهاد گردید. در این روش با استفاده از شیوه توزیع جزیره‌ای، جواب‌ها از تنوع مناسبی برخوردار بوده و فضای طراحی با وسعت بیشتری توسط الگوریتم‌های مختلف فرابتکاری هر جزیره، کاوش می‌شود. بدین‌ترتیب مسئله بهینه‌یابی بطور همزمان با چندین روش فرابتکاری ارزیابی و تمامی مزایای الگوریتم‌های فرابتکاری مورد استفاده قرار گرفته است. از سوی دیگر روش MHSM به سبب استقلال نسبی در اختصاص مقادیر مشخص به پارامترها و روابط حاکم، از اجراهای متوالی مبری بوده و با آهنگی ثابت و مطمئن به سمت بهینه سراسری حرکت و احتمال گرفتاری در بهینه محلی کاهش می‌یابد. این روش به عنوان یکی از دقیق‌ترین روش‌های پیشنهادی برای کسب جواب مطلوب در علوم مختلف و حوزه‌های حساس بهینه‌یابی که کسب جواب از اهمیت بالایی برخوردار است، پیشنهاد و توصیه می‌شود.

در گام سوم تحقیقاتی، محور پژوهش با الهام از شیوه انفال در روش اجزای محدود و تقسیم‌بندی فضای طراحی، منتهی به افزایش عملکرد الگوریتم‌های بهینه‌یابی شد. بر اساس این ایده، فرآیند بهینه‌یابی در دو مرحله جستجوی سراسری و محلی با فضاهای طراحی مختلف انجام و بدین ترتیب افزایش سرعت همگرایی حاصل گردید. دلیل این امر کاهش ابعاد فضای طراحی در مراحل جستجوی سراسری و محلی نسبت به حالت متعارف می‌باشد. در این راستا محدوده مناسب برای هر متغیر طراحی در مرحله جستجوی سراسری حاصل و در ادامه براساس جستجوی محلی مقدار متغیر طراحی مربوطه در محدوده حاصل از مرحله پیشین (مرحله جستجوی سراسری) یافت می‌شود. بنابراین مسئله بهینه‌یابی براساس ایده پیشنهادی با ایجاد توازنی منطقی در دو مرحله جستجوی سراسری و محلی مورد ارزیابی قرار می‌گیرد. ایده پیشنهادی براساس روند طراحی بهینه سازه‌ها در برخی از الگوریتم‌های فرابتکاری مورد ارزیابی قرار گرفت و نتایج حاکی از عملکرد مناسب این ایده در

بهبود هر یک از الگوریتم‌های انتخابی داشت. بدین ترتیب ایده پیشنهادی می‌تواند برای بهبود عملکرد اکثر روش‌های بهینه‌یابی که وابسته به ابعاد فضای طراحی می‌باشند، مورد استفاده قرار گیرد.

در گام چهارم تحقیقات، محور پژوهش در راستای توسعه روش‌های ترکیباتی جهت استفاده از محسن چند الگوریتم، منجر به ارائه روش نوین و ترکیباتی HACOHSGA شد. این روش فضای کاوش را با استفاده از قابلیت‌های الگوریتم کلونی مورچگان، روش جستجوی هارمونی و الگوریتم GA به صورت ترکیبی و در قالب یک روش، مورد جستجو قرار می‌دهد. در این راستا روش‌های مختلف فرآیند انتخاب در GA مورد ارزیابی و نتایج حاکی از عملکرد مناسب روش مسابقه‌ای نسبت به دیگر روش‌های فرآیند انتخاب داشت. نتایج بررسی‌های انجام شده، دلالت بر کارآیی مناسب روش پیشنهادی دارد. بر این اساس در روش پیشنهادی از خصوصیات و محسن‌الگوریتم‌های پایه مذکور استفاده و معایب هر یک به طور مؤثری کمزنگ شده است. از ویژگی‌های اساسی روش پیشنهادی HACOHSGA، سرعت مناسب فرآیند بهینه‌یابی در رسیدن به محدوده جواب بهینه است. لذا در مسائلی که عامل سرعت مهم است، استفاده از این روش جهت فرآیند بهینه‌یابی توصیه می‌شود.

در آخرین گام از پژوهش‌های انجام شده، محور تحقیقات بر پایه ارائه روش نوین نقاط متحرک پی‌ریزی شده است. این روش با اتخاذ ویژگی‌های مرسوم روش‌های بهینه‌یابی و کسب تجربیات لازم شکل گرفته است. براین اساس مشابه روش‌های CSS و PSO فضای طراحی به فضای برداری نگاشت و با استفاده از فرآیند تکاملی مبتنی بر ویژگی‌های هر جمعیت، به سوی کسب جواب‌های شایسته و مناسب گام برداشته می‌شود. ویژگی اساسی روش پیشنهادی نقاط متحرک، ثبات و پایداری در کسب جواب بهینه به ازای اجراهای متوالی در محدوده زمانی مناسب می‌باشد. این مسئله برای فرآیند طراحی بهینه سازه‌ها، امری مهم و قابل توجه بوده و بنابراین می‌توان از این الگوریتم جهت طراحی بهینه سازه‌های مهندسی عمران استفاده نمود.

## ۲-۴ نتایج

نتایج حاصل از این رساله براساس راهکارهای پیشنهادی به طور خلاصه بشرح زیر قابل بیان است.

- ۱- بکارگیری مقادیر و شیوه‌های مناسب استفاده صحیح از پارامترهای روش‌های فرالبتکاری و نیز بکارگیری ایده انفصال فضای طراحی، جهت بهبود عملکرد و کارآیی الگوریتم‌های منتخب.
- ۲- استفاده از ساختار جزیره‌ای براساس روش‌های MSM و MHSM در جهت کاهش تأثیر پارامترهای الگوریتم‌های فرالبتکاری و نیز افزایش دقت در جستجوی فضای کاوش.
- ۳- استفاده از روش ترکیباتی HACOHSGA در جهت افزایش سرعت عملیات بهینه‌یابی در رسیدن به محدوده طرح بهینه.
- ۴- استفاده از روش MP با توجه به ویژگی ثبات و پایداری در اجراهای متوالی در فرآیند طراحی بهینه سازه‌های مختلف.

## ۳-۴ پیشنهادات برای ادامه پژوهش

در راستای توسعه و بهبود عملکرد روش‌های بهینه‌یابی، موضوعات زیر جهت ادامه تحقیقات حاضر پیشنهاد می‌شود.

- ۱- بکارگیری روش‌های پیشنهادی جهت بهینه‌یابی سازه‌هایی با محیط‌های پیوسته.
- ۲- گسترش روش‌های پیشنهادی در فرآیند بهینه‌یابی علوم مختلف و حوزه‌های پژوهشی دیگر همچون مهندسی برق، مهندسی کنترل، مهندسی صنایع، علوم مدیریتی و ...
- ۳- استفاده از مفاهیم زیست محیطی و قوانین حاکم بر طبیعت و موجودات زنده جهت ارائه الگوریتم‌های نوین.
- ۴- استفاده از روش‌های کارآمد تحلیلی جهت افزایش سرعت عملیات بهینه‌یابی.



**منابع**

**لیست مراجع**

- [1] Haftka R. T. and and Gurdal Z., (1992), “*Elements of structural optimization*”, 3rd edition, Kluwer academic publishers, Boston, MA.
- [2] Dantzig G. B., (1940), “On the non-existence of tests approach the normal distribution function”, *Annals. Math. Stat.*, **11**, June, pp 186-192.
- [3] Dantzig G. B., (1963), R-366-PR, “Linear programming and extensions”, A report prepared for United States Air Force Project Rand.
- [4] Dantzig G. B. and Thapa M. N., (1997), “*Linear programming 1: introduction*”, Springer-Verlag, New York, LLC.
- [5] Rao S. S., (2009), “*Engineering optimization theory and practice*”, 4th edition, John Wiley & Sons, New Jersey.
- [6] Bazaraa M. S., Sherali H. D. and Shetty C. M., (2006), “*Nonlinear programming theory and algorithms*”, 3rd edition, John Wiley and Sons, New Jersey.
- [7] Gendreau M. and Potvin J. Y., (2010), “*Handbook of metaheuristics*”, 2th edition, Springer Science + Business Media, New York, LLC.
- [8] Dréo J., Siarry P., Petrowski A. and Taillard E., (2006), “*Metaheuristic for hard optimization*”, Springer-Verlag, Berlin.
- [9] Yang X. S., (2008), “*Nature inspired metaheuristic algorithm*”, 2nd edition, Luniver Press, UK.
- [10] Blum C. and Roli A., (2003), “Metaheuristic in combinatorial optimization: overview and conceptual comparison”, *ACM. Comput. Surv.*, **35**, 3, pp 268-308.
- [11] Fogel L. J., Qwens A. J. and Walsh M. J., (1966), “*Artificial intelligence trough simulated evolution*”, John Wiley & Sons, Chichester.
- [12] Holland J. H., (1975), PhD. thesis, “Adaptation in natural and artificial system”, The University of Michigan Press, Ann Arbor, MI.

- [13] Goldberg D. E., (1989), “*Genetic algorithm in search optimization and machine learning*”, Addison-Wesley Longman Publishing Co, Boston, MA.
- [14] Metropolis N., Rosenbluth A. W., Rosenbluth M. N. and Teller A. H., (1953), “Equation of State calculations by fast computing machines”, *J. Chem. Phys.*, **21**, **6**, pp 1087-1092.
- [15] Kirkpatrick S., Gelatt C. D. and Vecchi M. P., (1983), “Optimization by simulated annealing”, *Science*, **220**, **4598**, pp 671-680.
- [16] Glover F., (1986), “Future paths for integer programming and links to artificial intelligence”, *Comput. Operations Res.*, **13**, **5**, pp 533-549.
- [17] Colorni A., Dorigo M. and Maniezzo V., (1991), “Distributed optimization by ant colony”, Proc. First European Conf. Artificial Life., pp 134-142, Paris, France.
- [18] Kennedy J. and Eberhart R., (1995), “Particle swarm optimization”, Proc. IEEE, Int. Conf. Neural Networks., pp 1942-1948.
- [19] Geem Z. W., Kim J. H. and Loganathm G. V., (2001), “A new heuristic optimization algorithm: Harmony Search”, *Simulation*, **76**, **2**, pp 60-68.
- [20] Erol O. K. and Eksin I., (2006), “A new optimization method: Big Bang-Big Crunch”, *Adv. Eng. Software.*, **37**, **2**, pp 106-111.
- [21] Rashedi E., Nezamabadipour H. and Saryazdi S., (2009), “GSA: a gravitational search algorithm”, *Inform. Sci.*, **179**, **13**, pp 2232-2248.
- [22] Kaveh A. and Talatahari S., (2010), “A novel heuristic optimization method charged system search”, *Acta. Mech.*, **213**, **(3-4)**, pp 267-289.
- [23] Kaveh A. and Khayatazad M., (2012), “A new meta-heuristic method: Ray Optimization”, *Comput. Struct.*, **112-113**, December, pp 283-294.
- [24] Goldberg D. E. and Samtani M. P., (1986), “Engineering optimization via genetic algorithm”, Proc. 9th Conf. Electronic Computation, pp 471-482.
- [25] Jenkins W. M., (1991), “Towards structural optimization via the genetic algorithm”, *Comput. Struct.*, **40**, **5**, pp 1321-1327.
- [26] Rajeev S. and Krishnamoorthy C. S., (1992), “Discrete optimization of structures using genetic algorithms”, *J. Struct. Eng.*, **118**, **5**, pp 1233-1250.
- [27] Lin C. Y. and Hajela P., (1992), “Genetic algorithms in optimization problems with discrete and integer design variables”, *Eng. Optim.*, **19**, **4**, pp 309-327.
- [28] Grierson D. E. and Pak W. H., (1993), “Optimal sizing, geometrical and topological design using a genetic algorithm”, *Struct. Multidisc. Optim.*, **6**, **3**, pp 151-59.

- [29] Kaveh A. and Kalatjari V., (2004), “Size/Geometry optimization of trusses by the force method and genetic algorithm”, *Z. Angew. Math. Mech.*, **84**, **5**, pp 347-357.
- [30] Toğan V. and Daloğlu T. A., (2008), “An improved genetic algorithm with initial population strategy and self-adaptive member grouping”, *Comput. Struct.*, **86**, **(11-12)**, pp 1204-1218.
- [31] Dede T., Bekiroğlu S. and Ayvaz Y., (2010), “Weight minimization of trusses with genetic algorithm”, *Appl. Soft. Comput.*, **11**, **2**, pp 2565-2575.
- [32] Safari D., Maher M. R. and Maher A., (2013), “On the performance of a modified multiple-deme genetic algorithm in LRFD design on steel frames”, *IJST. Transaction of Civil: Engineering*, **37**, **2**, pp 169-190.
- [33] Sivanandam S. N. and Deepa S. N., (2008), “*Introduction to genetic algorithms*”, Springer-Berlin Heidelberg, New York.
- [34] Haupt R. L. and Haupt E., (2004), “*Practical genetic algorithm*”, 2nd Edition, John Wiley and Sons, New York.
- [35] Hasançebi O., Carbaş S., Doğan E., Erdal F. and Saka M. P., (2009), “Performance evaluation of metaheuristic search techniques in the optimum design of real size pin jointed structures”, *Comput. Struct.*, **87**, **(5-6)**, pp 284-302.
- [36] Hasançebi O. and Erbatur F., (2002), “On efficient use of simulated annealing in complex structural optimization problems”, *Acta. Mech.*, **157**, **(1-4)**, pp 27-50.
- [37] Kargahi M., Anderson J. and Dessouky M., (2006), “Structural weight optimization of frames using tabu search. I: optimization procedure”, *J. Struct. Eng.*, **132**, **12**, pp 1858-1868.
- [38] Bland J. A., (1995), “Discrete-variable optimal structural design using tabu search”, *Struct. Multidisc. Optim.*, **10**, **2**, pp 87-93.
- [39] Glover F., (1989), “Tabu search-part I”, *ORSA J. Comput.*, **1**, **3**, pp 190-206.
- [40] Dorigo M., (1992), PhD. thesis, “Optimization learning and natural algorithms”, Dipartimento Elettronica e informazione, Politecnico di Milano, Italy.
- [41] Cordón O., Herrera F. and Stützle T., (2002), “A review on ant colony optimization metaheuristic: basic, models and new trends”, *Mathware. Soft. Comput.*, **9**, **3**, pp 1-35.
- [42] Camp C. V. and Bichon B. J., (2004), “Design of space trusses using ant colony optimization”, *J. Struct. Eng.*, **130**, **5**, pp 741-751.
- [43] Camp C. V., Bichon B. J. and Stovall S. P., (2005), “Design of steel frames using ant colony optimization”, *J. Struct. Eng.*, **131**, **3**, pp 369-379.

- [44] Capriles P. V. S. Z., Fonseca L. G., Barbosa H. J. C. and Lemonge A. C. C., (2007), “Rank-based ant colony algorithms for truss weight minimization with discrete variables”, *Commun. Numer. Meth. Engng.*, **23**, **6**, pp 553-575.
- [45] Li L. J., Huang Z. B. and Liu F., (2009), “A heuristic particle swarm optimization method for truss structures with discrete variables”, *Comput. Struct.*, **87**, **(7-8)**, pp 435-43.
- [46] Mahdavi M., Fasanghary M. and Damangir E., (2007), “An improved harmony search algorithm for solving optimization problems”, *Appl. Math. Comput.*, **188**, **2**, pp 1567-1579.
- [47] Degertekin S. O., (2012), “Improved harmony search algorithms for sizing optimization of truss structures”, *Comput. Struct.*, **92-93**, **(February)**, pp 229-241.
- [48] Lee K. S. and Geem Z. W., (2005), “A new meta-heuristic algorithm for continuous engineering optimization: Harmony Search theory and practice”, *Comput. Methods Appl. Mech. Engrg.*, **194**, **(36-38)**, pp 3902-3933.
- [49] Lee K. S. and Geem Z. W., (2004), “A new structural optimization method based on the harmony search”, *Comput. Struct.*, **82**, **(9-10)**, pp 781-798.
- [50] Lee K. S., Geem Z. W., Lee S. H. and Bae K. W., (2005), “The harmony search heuristic algorithm for discrete structural optimization”, *Eng. Optim.*, **37**, **7**, pp 663-684.
- [51] Kaveh A. and Talatahari S., (2010), “A charged system search with a fly to boundary method for discrete optimum design of truss structures”, *Asian j. Civil. Engg (Building and Housing)*, **11**, **3**, pp 277-293.
- [52] Kaveh A. and Talatahari S., (2011), “Optimization of large-scale truss structures using modified charge system search”, *Int. J. Otim. Civil. Eng.*, **1**, **1**, pp 15-28.
- [53] Kaveh A. and Talatahari S., (2010), “Optimal design of skeletal structures via the charged system search algorithm”, *Struct. Multidisc. Optim.*, **41**, **6**, pp 893-911.
- [54] Kaveh A. and Talatahari S., (2009), “A particle swarm ant colony optimization for truss structures with discrete variables”, *J. Constr. Steel. Res.*, **65**, **(8-9)**, pp 1558-1568.
- [55] Kaveh A. and Talatahari S., (2008), “A discrete particle swarm ant colony optimization for design of steel frames”, *Asian j. Civil. Engg (Building and Housing)*, **9**, **6**, pp 563-575.
- [56] Kaveh A. and Talatahari S., (2009), “Particle swarm optimizer, ant colony strategy and harmony search scheme hybridized for optimization of truss structures”, *Comput. Struct.*, **87**, **(5-6)**, pp 267-283.

- [57] Kaveh A. and Malakoutirad S., (2010), “Hybrid genetic algorithm and particle swarm optimization for the force method-based simultaneous analysis and design”, *IJST. Transaction of Civil: Engineering*, **34**, **1**, pp 15-34.
- [58] Yang J. and Soh C. K., (1997), “Structural optimization by genetic algorithms with tournament selection”, *J. Comput. Civ. Eng.*, **11**, **3**, pp 195-200.
- [59] Kaveh A. and Kalatjari V. R., (2002), “Genetic algorithm for discrete-sizing optimal design of trusses using the force method”, *Int. J. Numer. Meth. Engng.*, **55**, **1**, pp 55-72.
- [60] Issa H. K. and Mohammad F. A., (2010), “Effect of mutation schemes on convergence to optimum design of steel frames”, *J. Constr. Steel. Res.*, **66**, **7**, pp 954-61.
- [61] Ostfeld A., (2011), “Ant colony optimization - methods and applications”, In Tech, Janeza Trdine 9, 51000 Rijeka, Croatia.
- [62] Tanimura Y., Hiroyasu T. and Miki M., (2001), “Discussion on distributed genetic algorithms for designing truss structures”, Proc. 5th Int. Conf. Exhibi. Perf. Computing. Asia-Pacific Reg Queensland, Australia.
- [۶۳] نوریان، ا.، کلات جاری و.ر.، طالب پور م.ح.، (۱۳۹۱)، ”بهینه‌یابی قاب‌های شیبدار غیرمنشوری با استفاده از روش اصلاحی جستجوی چندمنظوره“، نهمین کنگره بین المللی مهندسی عمران، دانشگاه صنعتی اصفهان، ایران.
- [۶۴] عسکری، ا.، (۱۳۹۱)، پایان‌نامه ارشد: ”بهینه‌یابی قاب‌های شیبدار صنعتی توسط پیش‌تنبیدگی با استفاده از GA“، دانشکده مهندسی عمران، دانشگاه شاهروド.
- [۶۵] حق‌پرست، ص.، (۱۳۸۸)، پایان‌نامه ارشد: ”بهینه‌یابی هندسه و سطح مقطع سازه‌های فضاکار با استفاده از الگوریتم ژنتیک“، دانشکده مهندسی عمران، دانشگاه شاهروド.
- [۶۶] کلات جاری و.ر.، طالب پور م.ح.، (۱۳۸۸)، ”آموزش کاهش تأثیر پارامترهای الگوریتم ژنتیک در بهینه‌یابی سطح مقطع و توبولوژی سازه‌های خرپایی توسط روش جستجوی چندمنظوره“، نشریه علمی و پژوهشی فناوری آموزش، سال چهارم، جلد ۴، شماره ۱، ص ۷۲-۵۷.
- [۶۷] دفتر تدوین و ترویج مقررات ملی ساختمان، (۱۳۸۳)، ”مقررات ملی ساختمان، مبحث ششم، بارهای وارد بر ساختمان“، چاپ پنجم، نشر توسعه ایران.

[۶۸] حسین زاده، ر..، (۱۳۸۰)، پایان‌نامه ارشد: ”طرح بهینه قاب‌های شیب‌دار فولادی”， دانشکده عمران، دانشگاه تربیت مدرس.

[۶۹] عابدی، ص..، (۱۳۹۱)، پایان‌نامه ارشد: ”مقایسه عملکرد روش‌های نوین بهینه‌سازی سازه‌ها (روش جزیره‌ای ACO، روش CSS)”， دانشکده مهندسی عمران، دانشگاه شاهروود.

[70] Wu S. J. and Chow P. T., (1995), “Integrated discrete and configuration optimization of trusses using genetic algorithms”, *Comput. Struct.*, **55**, **4**, pp 695-702.

[71] Tang W., Tong L. and GU Y., (2005), “Improved genetic algorithm for design optimization of truss structures with sizing, shape and topology variables”, *Int. J. Numer. Meth. Engng.*, **62**, **13**, pp 1737-1762.

[72] Rahami H., Kaveh A. and Gholipour Y., (2008), “Sizing, geometry and topology optimization of trusses via force method and genetic algorithm”, *Eng. Struct.*, **30**, **9**, pp 2360-2369.

[73] Chai S. and Sun H. C., (1996), “A relative difference quotient algorithm for discrete optimization”, *Struct. Multidisc. Optim.*, **12**, **1**, pp 46-56.

[74] Juang D. S. and Chang W. T., (2006), “A revised discrete lagrangian-based search algorithm for the optimal design of skeletal structures using available section”, *Struct. Multidisc. Optim.*, **31**, **3**, pp 201-210.

[75] Rajan S. D., (1995), “Sizing, Shape, and Topology Optimization of Trusses Genetic Algorithms”, *J. Struct. Eng.*, **121**, **10**, pp 1480-1487.

[76] Kaveh A. and Kalatjari V. R., (2003), “Topology Optimization of trusses using genetic algorithm, force method and graph theory”, *Int. J. Numer. Meth. Engng.*, **58**, **5**, pp 771-791.

[77] Kaveh A. and Shahrouzi M., (2006), “Simultaneous topology and size optimization of structures by genetic algorithm using minimal length chromosome”, *Eng. Computations. Int. J. Comput.-Aided. Eng. Soft.*, **23**, **6**, pp 644-674.

[78] Nanakorn P. and Meesomklin K., (2001), “An adaptive Penalty function in genetic algorithms for structural design optimization”, *Comput. Struct.*, **79**, **(29-30)**, pp 2527-39.

[79] Chai S., Shi L. S. and Sun H. C., (1999), “An application of relative difference quotient algorithm to topology optimization of truss structures with discrete variables”, *Struct. Multidisc. Optim.*, **18**, **1**, pp 48-55.

- [80] AISC., (1994), “*Manual of steel construction - load & resistance factor design*”, 2th edition, American Institute of Steel Construction, Inc.
- [81] Khot N. S., Venkayya V. B. and Berke L., (1976), “Optimum structural design with stability constraints”, *Int. J. Numer. Meth. Engng.*, **10**, **5**, pp 1097-1114.
- [82] Camp C. V., Pezeshk S. and Cao G., (1998), “Optimized design of two dimensional structures using a genetic algorithm”, *J. Struct. Eng.*, **124**, **5**, pp 551-559.
- [83] Kaveh A. and Shojaee S. (2007), “Optimal design of skeletal structures using ant colony optimization”, *Int. J. Numer. Meth. Engng.*, **70**, **5**, pp 563-581.
- [84] Kaveh A. and Talatahari S., (2010), “An improved ant colony optimization for the design of planar steel design frames”, *Eng. Struct.*, **32**, **3**, pp 864-873.
- [85] Wu S. J. and Chow P. T., (1995), “Steady-state genetic algorithm for discrete optimization of trusses”, *Comput. Struct.*, **56**, **6**, pp 979-991.
- [86] Kaveh A. and Talatahari S., (2010), “Optimum design of skeletal structures using imperialist competitive algorithm”, *Comput. Struct.*, **88**, **(21-22)**, pp 1220-1229.
- [87] Kaveh A. and Bakhshpoori T., (2013), “Optimum design of space trusses using cuckoo search algorithm with levy flights”, *IJST. Transaction of Civil: Engineering*, **37**, **1**, pp 1-15.
- [88] Coello C. A. and Christiansen A. D., (2000), “Multiobjective optimization of trusses using genetic algorithms”, *Comput. Struct.*, **75**, **6**, pp 647-660.
- [89] AISC., (1989), “*Manual of steel construction - allowable stress design*”, 9th edition, American Institute of Steel Construction, Chicago, IL.
- [90] Erbatur F., Hasançebi O., Tütüncü İ. and kılıç H., (2000), “Optimal design of planar and space structures with genetic algorithms”, *Comput. Struct.*, **75**, **2**, pp 209-224.
- [91] Toğan V. and Daloğlu T. A., (2006), “Optimization of 3D trusses with adaptive approach in genetic algorithms”, *Eng. Struct.*, **28**, **7**, pp 1019-1027.
- [92] Groenwold A. A. and Stander N., (1997), “Optimal discrete sizing of truss structures subject to buckling constraints”, *Struct. Multidisc. Optim.*, **14**, **(2-3)**, pp 71-80.

**پیوست الف**

**مثال‌های**

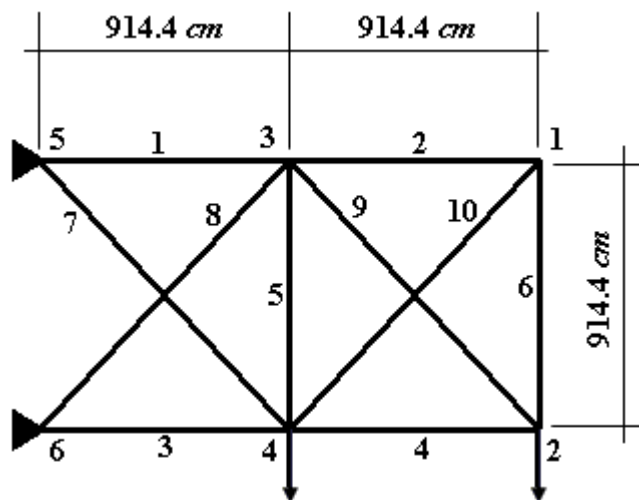
**بھینہ یا بی**

## الف-۱ مقدمه

به منظور اجتناب از بیان مطالب تکراری در روند این رساله، مثال‌های طراحی بهینه سازه‌ها در زمینه‌های مختلف بشرح این فصل در نظر گرفته می‌شود. این مثال‌ها در جهت بررسی توانمندی راهکارهای پیشنهادی می‌باشد. در هر مثال مفروضات لازم برای فرآیند بهینه‌یابی قابل مشاهده است.

## الف-۲ بهینه‌یابی سطح مقطع و توپولوژی خرپای مستوی ده میله‌ای

خرپای مستوی ۱۰ میله‌ای بشرح شکل (الف-۱) در نظر گرفته می‌شود. نیرو به گره‌های (۲) و (۴) سازه در راستای عمودی با مقدار  $445/4 kN$ -وارد می‌شود.



شکل (الف-۱) - خرپای مستوی ده میله‌ای

برای کلیه اعضای خرپا  $E$  و  $\nu$  به ترتیب برابر  $GN/m^2$  و  $N/m^3$  و  $27126/4$  در نظر گرفته شده است. برای این مثال مجموعه لیست مقاطع در دو حالت با عنوان  $\{S_1\}$  و  $\{S_2\}$  به شرح زیر تعریف می‌شوند.

**جدول (الف-۱) اعضای لیست مقاطع برای بهینه‌یابی سطح مقطع و توپولوژی خرپای ده میله‌ای -  $\{S_1\}$**

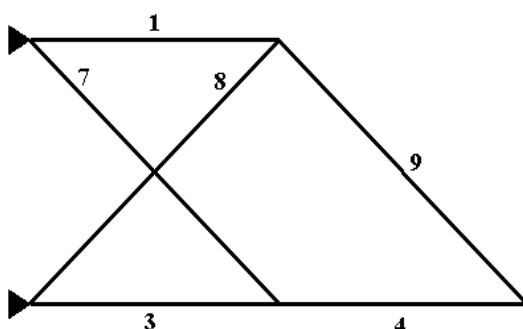
$cm^2$	شماره	$cm^2$	شماره	$cm^2$	شماره	$cm^2$	شماره	$cm^2$	شماره	$cm^2$	شماره	$cm^2$	شماره	$cm^2$	شماره	$cm^2$	شماره	$cm^2$	شماره
۱۴۷/۷۴	۲۹	۱۰۳/۲۳	۲۵	۸۷/۱	۲۱	۳۷/۰۳	۱۷	۲۸/۹۷	۱۳	۲۳/۴۲	۹	۱۸/۵۸	۵	۱۰/۴۵	۱				
۱۷۰/۹۷	۳۰	۱۲۱/۲۹	۲۶	۸۹/۶۸	۲۲	۴۶/۵۸	۱۸	۳۰/۹۷	۱۴	۲۴/۷۷	۱۰	۱۹/۹۴	۶	۱۱/۶۱	۲				
۱۹۳/۵۵	۳۱	۱۲۸/۳۹	۲۷	۹۱/۶۱	۲۳	۵۱/۴۲	۱۹	۳۲/۰۶	۱۵	۲۴/۹۷	۱۱	۲۰/۱۹	۷	۱۵/۳۵	۳				
۲۱۶/۱۳	۳۲	۱۴۱/۹۴	۲۸	۱۰۰	۲۴	۷۴/۱۹	۲۰	۳۳/۰۳	۱۶	۲۶/۹۷	۱۲	۲۱/۸۱	۸	۱۶/۹	۴				

$$\{S_2\} = \{0.645, 3.226 \times I \ (I=1, 2, \dots, 76), 256.84, 258.06\}; \text{ cm}^2$$

قیود مسئله با تعریف قید تنش و تغییرمکان گره‌های فعال سازه در راستای محور Y بشرح زیر منظور شده است.

$$\sigma_{all(Ten)} = \sigma_{all(Com)} = \pm 172.4 \text{ MPa} \quad , \quad \delta^Y_{all} = 5.08 \text{ cm}$$

شكل (الف-۲) توپولوژی بهینه خرپای ۱۰ میله‌ای را نشان می‌دهد.



شكل (الف-۲) - توپولوژی بهینه برای خرپای مستوی ده میله‌ای

نتایج عددی برای متغیر طراحی سطح مقطع در جداول (الف-۲) و (الف-۳) برای مجموعه های  $\{S_1\}$  و  $\{S_2\}$  قابل مشاهده شده است.

جدول (الف-۲) نتایج طرح بهینه سطح مقطع و توپولوژی خرپای ۱۰ میله‌ای به روش MSM-GA به ازای  $\{S_1\}$

MSM-GA	مرجع [۷۸]	مرجع [۷۷]	مرجع [۷۶]	مرجع [۷۵]	شماره گروه
۱۹۳/۵۵	۱۹۳/۵۵	۱۹۳/۵۵	۱۹۳/۵۵	۱۹۳/۵۵	$a_1 - cm^2$
--	--	--	--	--	$a_2 - cm^2$
۱۲۸/۳۹	۱۲۸/۳۹	۱۲۸/۳۹	۱۲۸/۳۹	۱۲۸/۳۹	$a_3 - cm^2$
۱۰۰	۱۰۰	۱۰۰	۱۰۰	۱۰۰	$a_4 - cm^2$
--	--	--	--	--	$a_5 - cm^2$
--	--	--	--	--	$a_6 - cm^2$
۴۶/۵۸	۴۶/۵۸	۴۶/۵۸	۴۶/۵۸	۴۶/۵۸	$a_7 - cm^2$
۱۴۱/۹۴	۱۴۱/۹۴	۱۴۱/۹۴	۱۴۱/۹۴	۱۴۱/۹۴	$a_8 - cm^2$
۱۴۱/۹۴	۱۴۱/۹۴	۱۴۱/۹۴	۱۴۱/۹۴	۱۴۱/۹۴	$a_9 - cm^2$
--	--	--	--	--	$a_{10} - cm^2$
۲۲۰۵۸/۰۶	۲۲۰۵۸	۲۲۰۵۸	۲۲۰۵۸	۲۲۰۵۸	وزن

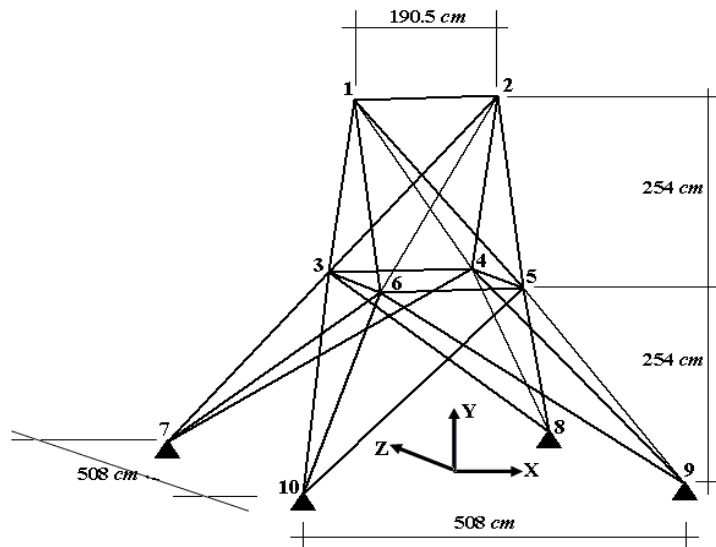
جدول (الف-۳) نتایج طرح بهینه سطح مقطع و توپولوژی خرپای ۱۰ میله‌ای به روش MSM-GA به ازای  $\{S_2\}$

MSM-GA-1	MSM-GA-2	مرجع [۷۶]	شماره گروه
۱۸۷/۱	۱۸۷/۱	۱۸۷/۱	$a_1 - cm^2$
--	--	--	$a_2 - cm^2$
۱۵۴/۸۴	۱۵۴/۸۴	۱۵۴/۸۴	$a_3 - cm^2$
۱۰۰	۱۰۰	۱۰۰	$a_4 - cm^2$
--	--	--	$a_5 - cm^2$
--	--	--	$a_6 - cm^2$
۳۸/۷۱	۳۸/۷۱	۳۸/۷۱	$a_7 - cm^2$
۱۳۲/۲۶	۱۳۵/۴۸	۱۳۵/۴۸	$a_8 - cm^2$
۱۳۵/۴۸	۱۳۵/۴۸	۱۳۵/۴۸	$a_9 - cm^2$
--	--	--	$a_{10} - cm^2$
۲۱۷۱۱/۹	۲۱۸۲۵	۲۱۸۲۵	وزن

### الف-۳ بهینه‌یابی سطح مقطع و توپولوژی خرپای ۲۵ میله‌ای

خرپای فضایی ۲۵ میله‌ای با ۱۰ گره بشرح شکل (الف-۳) برای فرآیند بهینه‌یابی سطح مقطع و

توپولوژی انتخاب شده است.



شکل (الف-۳) - خرپای فضایی ۲۵ میله‌ای

در تمامی اعضای این خرپا  $E$  برابر  $GN/m^2$  و  $\gamma = 68/97 N/m^3$  می‌باشد. اعضای خرپای مذکور در هشت گروه بشرح جدول (الف-۴) دسته‌بندی شده‌اند. تنש‌های مجاز کششی و فشاری هر گروه در جدول (الف-۴) نیز قابل مشاهده است. لیست مقاطع موجود به صورت مجموعه  $\{S\}$  بشرح زیر تعریف می‌شود.

$$\{S\} = \{0.774, 1.255, 2.142, 3.348, 4.065, 4.632, 6.542, 7.742, 9.032, 10.839, 12.671, 14.581, 21.483, 34.839, 44.516, 52.903, 60.258, 65.226\}; cm^2$$

#### جدول (الف-۴) تنش‌های مجاز کششی و فشاری و گروه‌بندی اعضای خرپای ۲۵ میله‌ای - ( $N/cm^2$ )

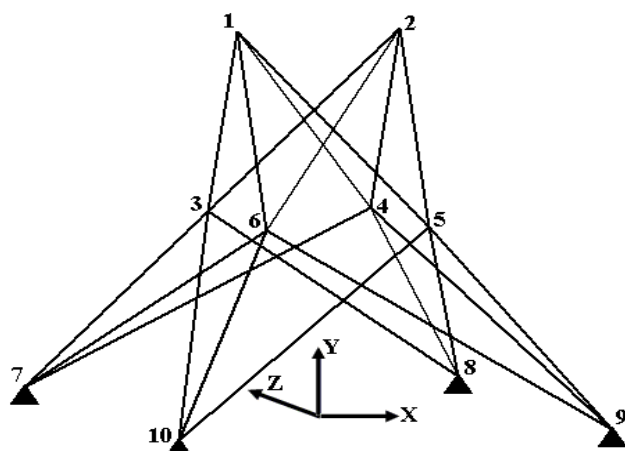
شماره گروه	تنش مجاز کششی	تنش مجاز فشاری	شماره گره دو انتهای اعضای هر گروه
۱	۱-۲	۲۴۲۰۴	۲۷۵۹۰
۲	۱-۴، ۲-۳، ۱-۵، ۲-۶	۷۹۹۴	۲۷۵۹۰
۳	۲-۵، ۲-۴، ۱-۳، ۱-۶	۱۱۹۳۶	۲۷۵۹۰
۴	۳-۶، ۴-۵	۲۴۲۰۴	۲۷۵۹۰
۵	۳-۴، ۵-۶	۲۴۲۰۴	۲۷۵۹۰
۶	۳-۱۰، ۶-۷، ۴-۹، ۵-۸	۴۶۶۲	۲۷۵۹۰
۷	۳-۸، ۴-۷، ۶-۹، ۵-۱۰	۴۶۶۲	۲۷۵۹۰
۸	۳-۷، ۴-۸، ۵-۹، ۶-۱۰	۷۶۶۴	۲۷۵۹۰

تغییر مکان مجاز گره‌های (۱) و (۲) در جهات X و Z برابر  $cm \pm ۰/۸۸۹$  فرض شده و بارهای مؤثر بر سازه در دو وضعیت بشرح جدول (الف-۵) منظور می‌شود.

جدول (الف-۵) بارگذاری مؤثر بر خرپای فضایی ۲۵ میله‌ای

وضعیت بارگذاری	شماره گره	نیرو در جهت Z - kN	نیرو در جهت Y - kN	نیرو در جهت X - kN
۱	۱	۴/۴۵	-۲۲/۲۵	۴۴/۵
۲	۲	--	-۲۲/۲۵	۴۴/۵
۳	۳	۲/۲۲۵	--	--
۶	۶	۲/۲۲۵	--	--
۱	۱	--	-۲۲/۲۵	۸۹
۲	۲	--	-۲۲/۲۵	-۸۹

شکل (الف-۴) توپولوژی بهینه برای خرپای ۲۵ میله‌ای را نشان می‌دهد.



شکل (الف-۴) - توپولوژی بهینه برای خرپای فضایی ۲۵ میله‌ای

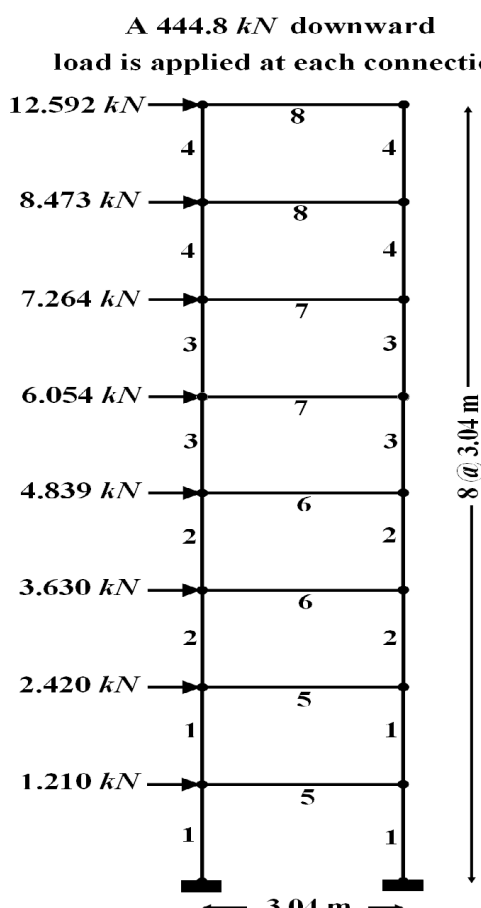
نتایج طرح بهینه در جدول (الف-۶) همراه با نتایج دیگر مراجع ارائه شده است.

جدول (الف-۶) نتایج طرح بهینه سطح مقطع و توپولوژی خرپای ۲۵ میله‌ای براساس روش MSM-GA

شماره گروه	مرجع [۷۹]	مرجع [۷۶]	مرجع [۷۷]	MSM-GA
$a_1 - cm^2$	--	--	--	--
$a_2 - cm^2$	۱۲/۶۷۱	۱۰/۸۳۹	۱۰/۸۳۹	۱۰/۸۳۹
$a_3 - cm^2$	۲۱/۴۸۳	۲۱/۴۸۳	۲۱/۴۸۳	۲۱/۴۸۳
$a_4 - cm^2$	--	--	--	--
$a_5 - cm^2$	--	--	--	--
$a_6 - cm^2$	۳/۳۴۸	۶/۵۴۲	۶/۵۴۲	۶/۵۴۲
$a_7 - cm^2$	۱۲/۶۷۱	۱۲/۶۷۱	۱۲/۶۷۱	۱۲/۶۷۱
$a_8 - cm^2$	۲۱/۴۸۳	۱۴/۵۸۱	۱۴/۵۸۱	۱۴/۵۸۱
وزن - N	۲۷۲۳/۵	۲۵۱۷/۲۴	۲۵۱۷/۲۴	۲۵۱۷/۲۴

#### الف-۴ بهینه یابی سطح مقطع قاب فولادی هشت طبقه - یک دهانه

در این مثال به بررسی قابی با هشت طبقه و یک دهانه بشرح شکل (الف-۵) پرداخته شده است. برای کلیه اعضای قاب  $E$  و  $\gamma$  به ترتیب برابر  $GPa$  و  $76/8 kN/m^3$  فرض شده و تنها قید تغییر مکان با مقدار مجاز  $5/0.8 cm$  برای گره های طبقه آخر در نظر گرفته شده است. بارهای مؤثر بر سازه در یک وضعیت بشرح شکل (الف-۵) در نظر گرفته شده است.



شکل (الف-۵) - قاب هشت طبقه - یک دهانه

اعضای قاب مذکور در هشت گروه بشرح شکل (الف-۵) دسته بندی شده که از لیست ۲۶۸ تایی مقاطع

W بشرح جدول (الف-۷) انتخاب می شوند [۸۰].

**جدول (الف-۷) اعضای لیست مقاطع برای قاب هشت طبقه - یک دهانه**

$S_y - cm^3$	$I_y - cm^4$	$S_x - cm^3$	$I_x - cm^4$	$A - cm^2$	نام مقطع	شماره
۲۴۵۸/۰۵۹	۴۹۹۴۷/۷۷۱	۲۳۱۰۵/۷۶	۱۲۹۴۴۷۹/۷۳۴	۶۳۴/۱۹۲۳	W 44 x 335	۱
۲۱۷۹/۴۷۹	۴۳۷۰۴/۲۹۹	۲۰۳۱۹/۹۵۹	۱۱۲۷۹۸۷/۱۶۳	۵۵۳/۵۴۷۳	W 44 x 290	۲
:	:	:	:	:	:	:
۴۹/۱۶۱	۳۱۲/۵۸۹	۱۳۹/۴۵۴	۸۸۶/۵۷۳	۳۰/۱۹۳۴	W 5 x 16	۲۶۷
۳۱/۱۳۵	۱۶۰/۶۶۵	۸۹/۴۷۳	۴۷۰/۳۴۱	۲۴/۷۰۹۶	W 4 x 13	۲۶۸

نتایج طرح بهینه سازه مذکور براساس سایر مراجع در جدول (الف-۸) و برای ایده‌ها و روش‌های پیشنهادی رساله حاضر در جدول (الف-۹) ارائه شده است.

**جدول (الف-۸) نتایج طرح بهینه قاب هشت طبقه - یک دهانه براساس روش‌های مراجع مختلف**

DPSACO	IACO	HGAPSO	GA	ACO	FEAPGEN	PSO	GA	شماره گروه
W18 x 35	W18 x 40	W18 x 35	W21 x 44	W21 x 50	W18 x 46	W21 x 44	W14 x 34	۱
W16 x 31	W16 x 26	W18 x 35	W18 x 35	W16 x 26	W16 x 31	W16 x 26	W10 x 39	۲
W16 x 26	W16 x 26	W14 x 22	W14 x 22	W16 x 26	W16 x 26	W21 x 44	W10 x 33	۳
W14 x 22	W12 x 14	W12 x 16	W12 x 14	W12 x 14	W12 x 16	W12 x 16	W8 x 18	۴
W16 x 31	W21 x 44	W16 x 31	W16 x 26	W16 x 26	W18 x 35	W14 x 30	W21 x 68	۵
W18 x 40	W18 x 35	W21 x 44	W18 x 40	W18 x 40	W18 x 35	W21 x 44	W24 x 55	۶
W16 x 26	W18 x 35	W14 x 22	W21 x 50	۷				
W14 x 22	W12 x 22	W16 x 26	W12 x 22	W14 x 22	W16 x 26	W16 x 26	W12 x 40	۸
۳۰/۹۱	۳۱/۰۵	۳۱/۲۴۳	۳۱/۳۷۸۶	۳۱/۶۸	۳۲/۸۳	۳۳/۹۸۱۴	۴۱/۰۲	وزن kN

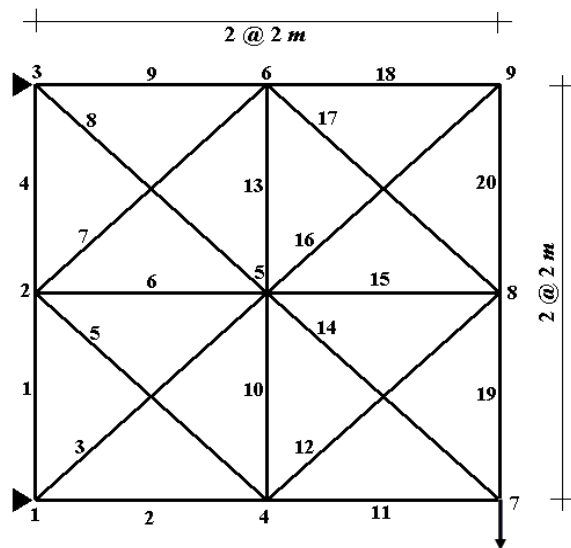
**جدول (الف-۹) نتایج طرح بهینه قاب هشت طبقه - یک دهانه براساس ایده‌ها و روش‌های پیشنهادی رساله**

روش پیشنهادی MP	روش پیشنهادی HACOHSGA-T	حالت ۲ ایده انفصال فضای طراحی در ACO	حالت ۲ ایده انفصال فضای طراحی در GA	شماره گروه
W 18 x 35	W 18 x 35	W 21 x 44	W 18 x 35	۱
W 16 x 31	W 16 x 31	W 16 x 26	W 18 x 35	۲
W 16 x 26	W 16 x 26	W 14 x 22	W 16 x 26	۳
W 12 x 16	W 12 x 16	W 12 x 16	W 12 x 16	۴
W 18 x 35	W 18 x 35	W 18 x 35	W 18 x 35	۵
W 18 x 35	W 18 x 35	W 18 x 35	W 18 x 35	۶
W 18 x 35	W 18 x 35	W 18 x 35	W 18 x 35	۷
W 16 x 26	W 16 x 26	W 16 x 26	W 14 x 22	۸
۳۰/۸۹	۳۰/۷۸۸	۳۰/۸۳	۳۰/۸۰۹	وزن kN
۳۲/۳۴	--	--	--	میانگین

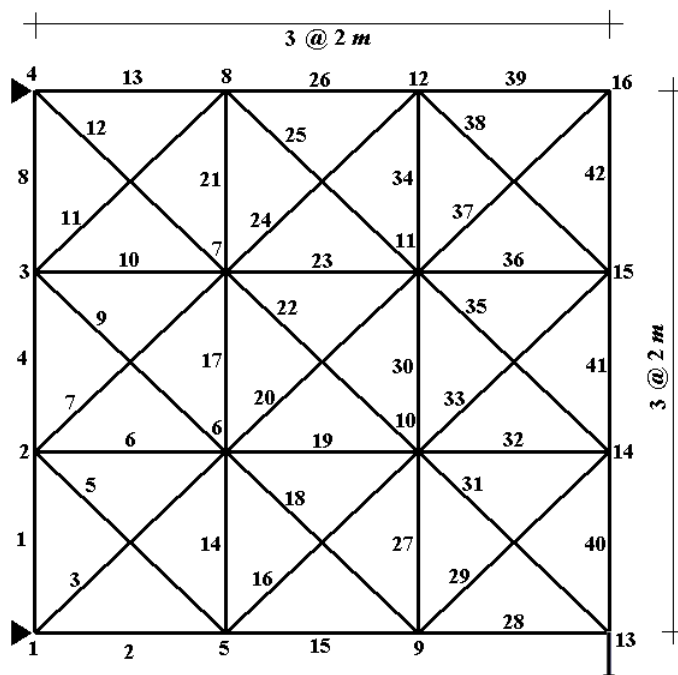
### الف-۵ بھینه یابی سطح مقطع و توپولوژی شبکه های متعامد $2 \times 2$ ، $3 \times 3$ و $5 \times 5$

در اشکال (الف-۶)، (الف-۷) و (الف-۸) شبکه های متعامد فولادی  $2 \times 2$ ،  $3 \times 3$  و  $5 \times 5$  مشاهده

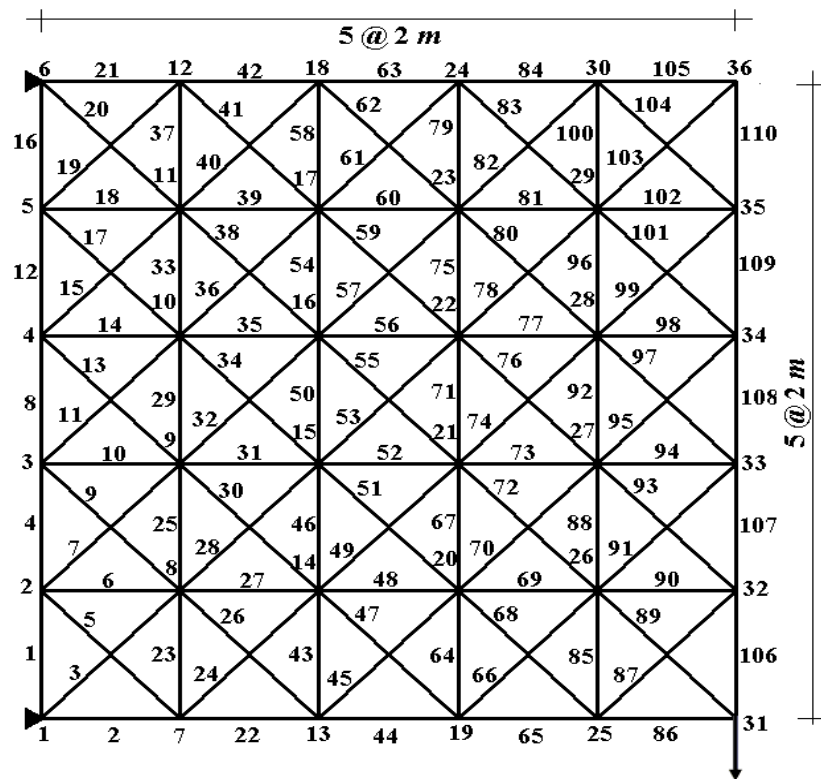
می شود. مقدار نیروی اعمالی برای اشکال مذکور برابر  $kN 200$  می باشد.



شکل (الف-۶) - شبکه متعامد  $2 \times 2$



شکل (الف-۷) - شبکه متعامد  $3 \times 3$

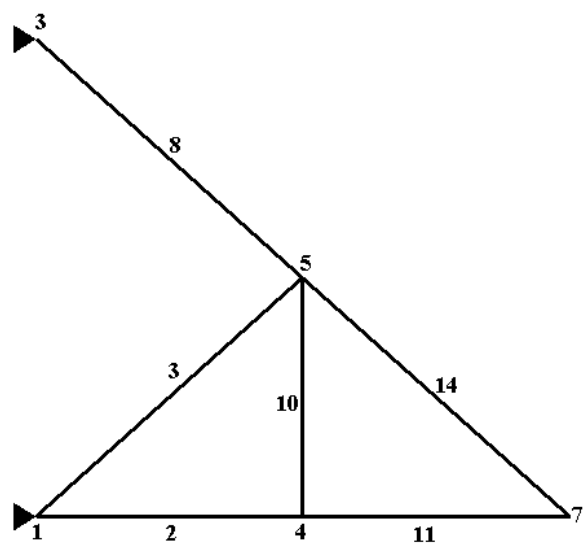


شکل (الف-۸) - شبکه متعامد  $5 \times 5$

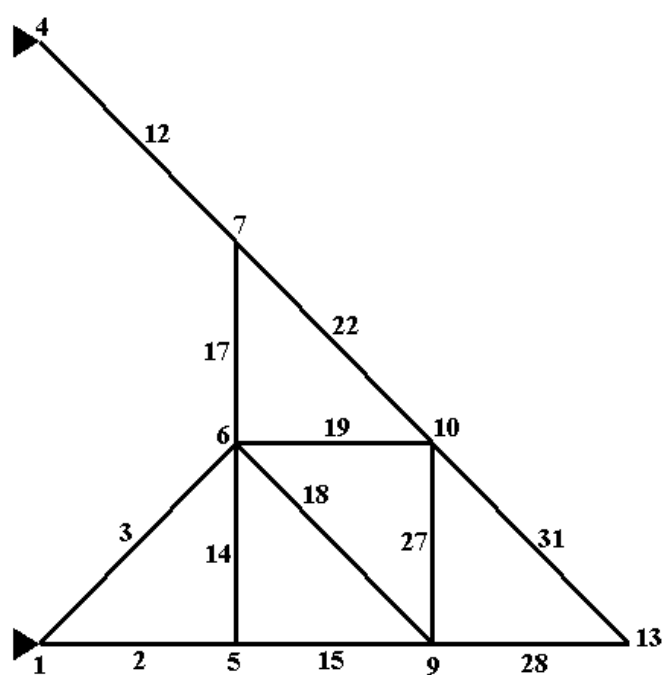
هدف حداقل کردن حجم سازه به ازای فقط قید تنش مجاز کششی و فشاری  $MPa \pm 40$  است. مقاطع از لیست مجموعه  $\{S\}$  بشرح زیر انتخاب می‌شوند.

$$\{S\} = \{0.01, 20.0, 40.0, 60.0, 80.0\}; cm^2$$

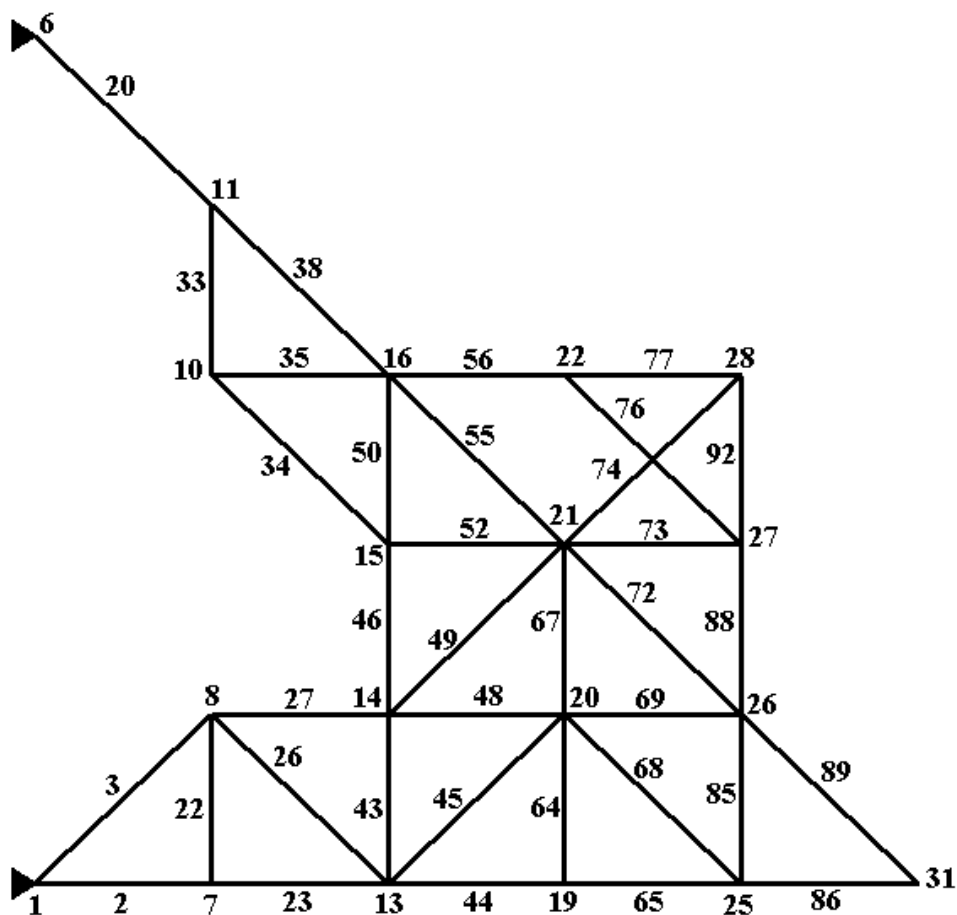
اشکال (الف-۹) تا (الف-۱۱) توپولوژی بهینه را برای شبکه‌های متعامد حاضر نشان می‌دهند.



شکل (الف-۹) - طرح بهینه شبکه متعامد  $2 \times 2$



شكل (الف-١٠) - طرح بهینه شبکه متعامد  $3 \times 3$



شكل (الف-١١) - طرح بهینه شبکه متعامد  $5 \times 5$

نتایج طرح بهینه برای سازه‌های این بخش در جداول (الف-۱۰) تا (الف-۱۲) در قیاس با دیگر مراجع ارائه شده است.

جدول (الف-۱۰) نتایج طرح بهینه سطح مقطع و توپولوژی شبکه متعامد  $2 \times 2$  به روش MSM-GA

MSM-GA	مرجع [٧٦]	سطح مقطع $cm^2$
١٠، ٣	١٩، ١٨، ١٧، ١٦، ١٥، ١٢، ٩، ٣	٠/٠١
١١، ٢	١١، ٢	٦٠
٨، ١٤	٨، ١٤	٨٠
٦٩٢٥٩/٦٦	$٠/٠٦٩٢٧ \times ١٠^٦$	حجم $cm^3$

جدول (الف-11) نتایج طرح بهینه سطح مقطع و توپولوژی شبکه متعامد  $3 \times 3$  به روش MSM-GA

MSM-GA	مرجع [۷۶]	سطح مقطع - $\text{cm}^2$
۲۷، ۱۹، ۱۸، ۱۷، ۱۴، ۳	۲۱، ۲۰، ۱۸، ۱۴، ۱۳، ۱۰، ۹، ۸، ۷، ۶، ۵، ۴ ۴۱، ۴۰، ۳۹، ۳۷، ۳۶، ۳۵، ۳۴، ۳۳، ۲۷، ۲۶	۰/۰۱
۲۸، ۱۵، ۲	۲۸، ۱۵، ۲	۶۰
۳۱، ۲۲، ۱۲	۳۱، ۲۲، ۱۲	۸۰
۱۰۳۸۹۵/۹	$0/10393 \times 10^6$	حجم $\text{cm}^3$

جدول (الف-۱۲) نتایج طرح یهینه سطح مقطع و توپولوژی شیکه متعارف  $5 \times 5$  به روش MSM-GA

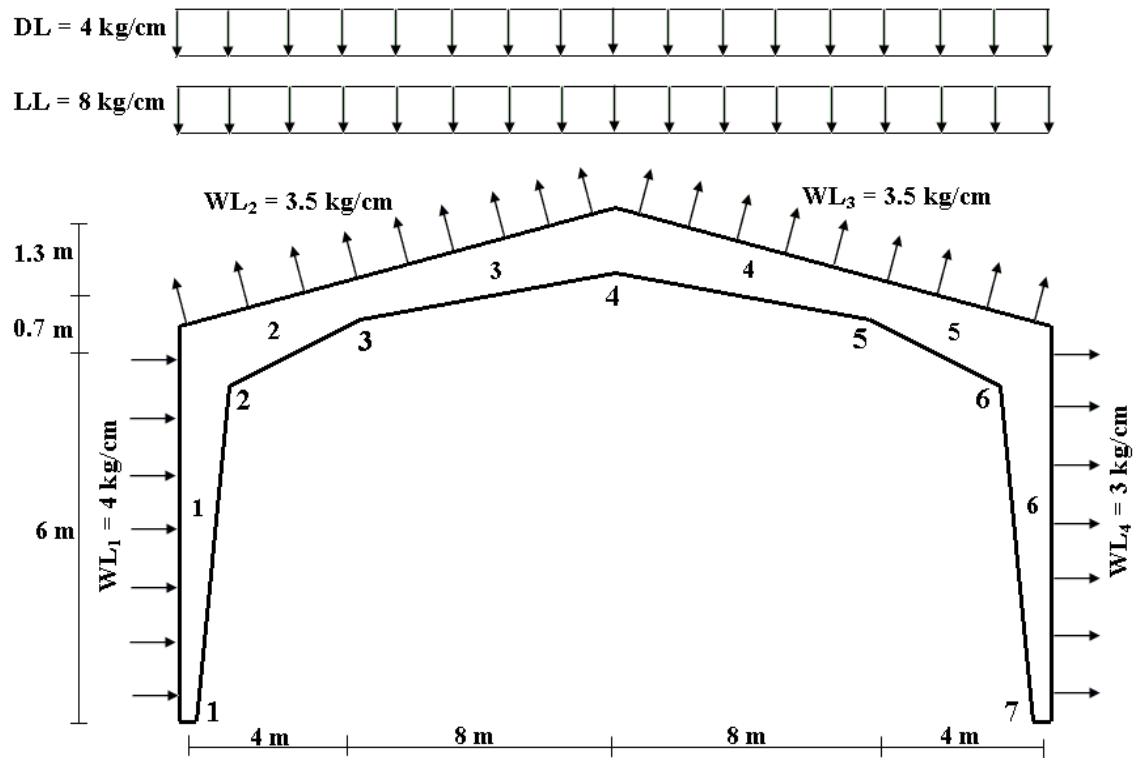
شماره اعضاي توبولوژي بهينه	سطح مقطع - $cm^2$
حجم $m^3$	حجم
MSM-GA	
۷۳، ۶۹، ۶۸، ۶۷، ۶۴، ۵۶، ۵۲، ۵۰، ۴۹، ۴۸، ۴۶، ۴۵، ۴۳، ۳۵، ۳۴، ۳۳، ۲۷، ۲۶، ۲۲، ۳	۰/۰۱
۹۲، ۸۸، ۸۵، ۷۷، ۷۶، ۷۴	
۸۶، ۶۵، ۴۴، ۲۳، ۲	۶۰
۸۹، ۷۲، ۵۵، ۳۸، ۲۰	۸۰
۱/۷۳۱۹۴	

#### الف-۶ بھینه یابی قاب شیبدار غیر منشوری با تیرهای غیر پیکنواخت

در این مثال یه بینه یا بی قاب شبیداری مطابق شکل (الف-۱۲) در داخته شده است. مقادیر

یا های اعمال در شکل (الف-۱۲) قابل مشاهده است. فریضات طراحی و فاصله مهابندی مشابه مثال

بخش ۱-۱-۳-۳ می باشد.



شکل (الف-۱۲) - هندسه و بارگذاری قاب شیب‌دار غیرمنشوری با تیرهای غیریکنواخت

محدوده مجاز متغیرهای طراحی در فرآیند بهینه‌یابی بشرح جدول (الف-۱۳) در نظر گرفته می‌شود.

جدول (الف-۱۳) محدوده مجاز متغیرهای طراحی برای قاب شیب‌دار غیرمنشوری با تیرهای غیریکنواخت

متغیر	شرح متغیر	حدبالا حدپایین	متغیر	شرح متغیر	حدبالا حدپایین
۱	ارتفاع جان در گره ۱ از عضو ۱	۱۰۰	۱۶	ارتفاع جان در گره ۴ از عضو ۴	۱۰
۲	ارتفاع جان در گره ۲ از عضو ۱	۱۰۰	۱۷	ارتفاع جان در گره ۵ از عضو ۴	۱۰
۳	عرض بال عضو ۱	۱۰۰	۱۸	عرض بال عضو ۴	۱۰
۴	ضخامت جان عضو ۱	۳/۵	۱۹	ضخامت جان عضو ۴	۰/۴
۵	ضخامت بال عضو ۱	۳/۵	۲۰	ضخامت بال عضو ۳	۰/۴
۶	ارتفاع جان در گره ۲ از عضو ۲	۱۰۰	۲۱	ارتفاع جان در گره ۵ از عضو ۵	۱۰
۷	ارتفاع جان در گره ۳ از عضو ۲	۱۰۰	۲۲	ارتفاع جان در گره ۶ از عضو ۵	۱۰
۸	عرض بال عضو ۲	۱۰۰	۲۳	عرض بال عضو ۵	۱۰
۹	ضخامت جان عضو ۲	۳/۵	۲۴	ضخامت جان عضو ۵	۰/۴
۱۰	ضخامت بال عضو ۲	۳/۵	۲۵	ضخامت بال عضو ۵	۰/۴
۱۱	ارتفاع جان در گره ۳ از عضو ۳	۱۰۰	۲۶	ارتفاع جان در گره ۶ از عضو ۶	۱۰
۱۲	ارتفاع جان در گره ۴ از عضو ۲	۱۰۰	۲۷	ارتفاع جان در گره ۷ از عضو ۶	۱۰
۱۳	عرض بال عضو ۳	۱۰۰	۲۸	عرض بال عضو ۶	۱۰
۱۴	ضخامت جان عضو ۳	۳/۵	۲۹	ضخامت جان عضو ۶	۰/۴
۱۵	ضخامت بال عضو ۳	۳/۵	۳۰	ضخامت بال عضو ۶	۰/۴

مقادیر مربوط به طرح بهینه برای متغیرهای طراحی مسئله در جدول (الف-۱۴) قابل مشاهده است.

جدول (الف-۱۴) نتایج طرح بهینه قاب شبکه با تیزهای غیریکنواخت به روش  $cm$ -MSM-GA

متغیر	شرح متغیر	MSM-GA	متغیر	شرح متغیر	MSM-GA
۱	ارتفاع جان در گره ۱ از عضو ۱	۵۵	۱۶	ارتفاع جان در گره ۴ از عضو ۴	۱۰۰
۲	ارتفاع جان در گره ۲ از عضو ۱	۹۷	۱۷	ارتفاع جان در گره ۵ از عضو ۴	۳۲
۳	عرض بال عضو ۱	۲۴	۱۸	عرض بال عضو ۴	۱۵
۴	ضخامت جان عضو ۱	۰/۶	۱۹	ضخامت جان عضو ۴	۰/۶
۵	ضخامت بال عضو ۱	۱/۵	۲۰	ضخامت بال عضو ۳	۰/۸
۶	ارتفاع جان در گره ۲ از عضو ۲	۵۶	۲۱	ارتفاع جان در گره ۵ از عضو ۵	۴۴
۷	ارتفاع جان در گره ۳ از عضو ۲	۱۰۰	۲۲	ارتفاع جان در گره ۶ از عضو ۵	۹۷
۸	عرض بال عضو ۲	۲۷	۲۳	عرض بال عضو ۵	۱۵
۹	ضخامت جان عضو ۲	۰/۶	۲۴	ضخامت جان عضو ۵	۰/۶
۱۰	ضخامت بال عضو ۲	۱/۲	۲۵	ضخامت بال عضو ۵	۲/۵
۱۱	ارتفاع جان در گره ۳ از عضو ۳	۲۲	۲۶	ارتفاع جان در گره ۶ از عضو ۶	۹۵
۱۲	ارتفاع جان در گره ۴ از عضو ۲	۹۷	۲۷	ارتفاع جان در گره ۷ از عضو ۶	۳۲
۱۳	عرض بال عضو ۳	۱۴	۲۸	عرض بال عضو ۶	۳۲
۱۴	ضخامت جان عضو ۳	۰/۶	۲۹	ضخامت جان عضو ۶	۰/۶
۱۵	ضخامت بال عضو ۳	۱	۳۰	ضخامت بال عضو ۶	۱/۵

۳۴۷۲۱۰/۹۵

حجم فولاد مصرفی -  $cm^3$

## الف-۷ بهینه‌یابی سطح مقطع و هندسه سازه فضاکار تخت دو لایه $8 \times 8$

در این مثال به فرآیند بهینه‌یابی سطح مقطع و هندسه سازه فضاکار تخت دو لایه  $8 \times 8$  با فرض

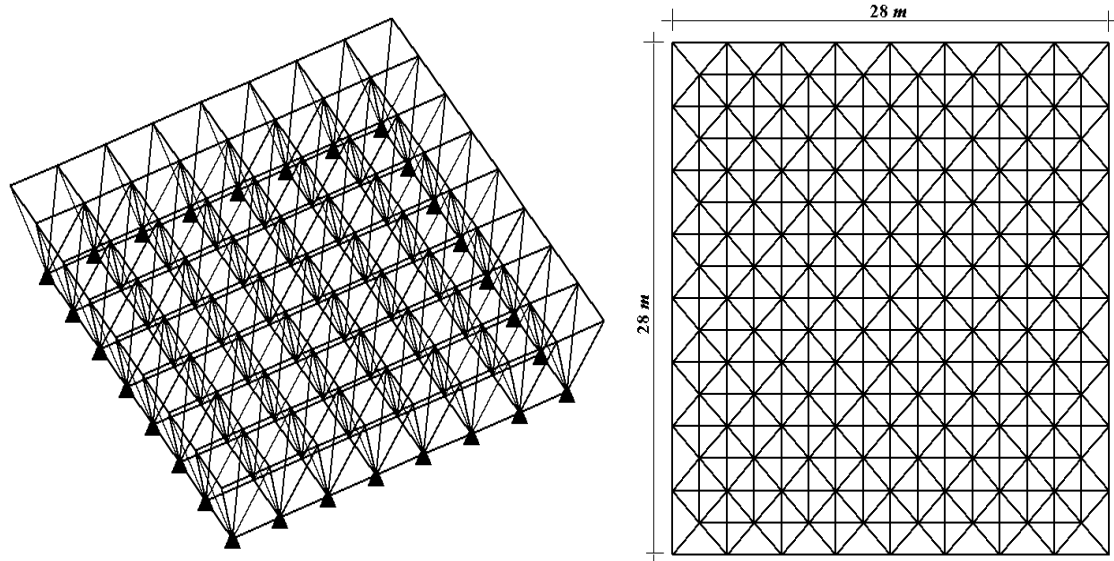
ثبت بودن توپولوژی پرداخته شده است. برای این منظور سازه‌ای با ابعاد و توپولوژی مشخص بشرح

شکل (الف-۱۳) در نظر گرفته شده است.  $E$  و  $\mu$  برای تمامی اعضا به ترتیب برابر  $2038902 kg/cm^2$

و  $7850 kg/m^3$  در نظر گرفته شده است.  $F_y$  نیز برابر  $2400 kg/cm^2$  منظور شده و بار مرده سقف

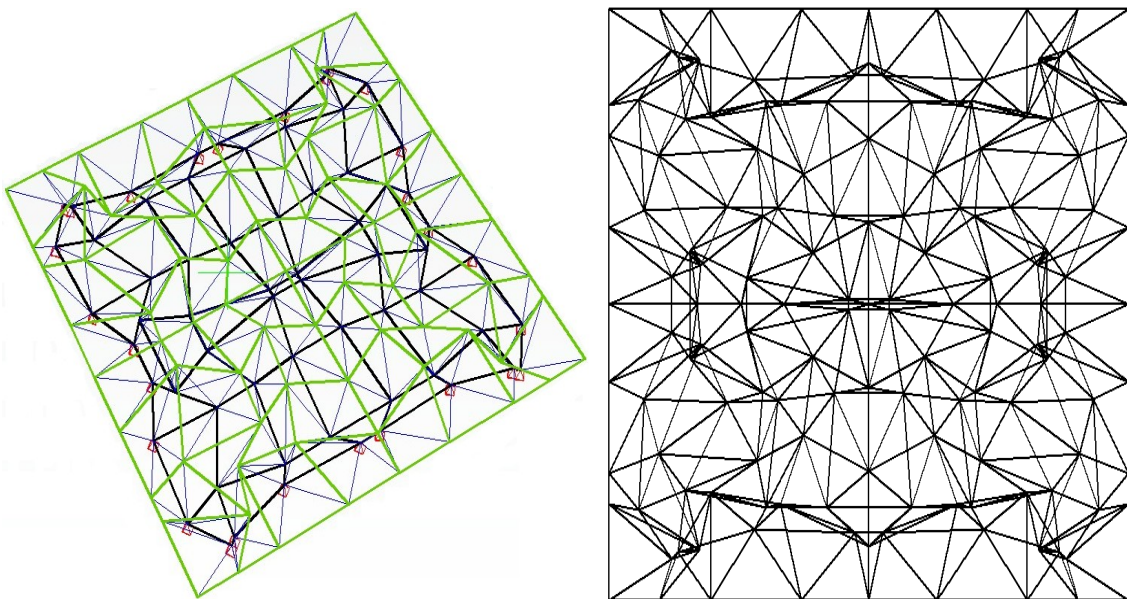
برابر  $180 kg/m^2$  فرض می‌شود. تنש مجاز فشاری و کششی مطابق آیین‌نامه ایران لحاظ شده و خیز

مجاز برابر  $\frac{L}{360}$  می‌باشد.



شکل (الف-۱۳) - نمای دو بعدی و سه بعدی سازه فضاکار تخت دو لایه  $8 \times 8$

هندسه بهینه سازه فضاکار تخت دو لایه بشرح شکل (الف-۱۴) نتیجه شده است.



شکل (الف-۱۴) - نمای دو بعدی و سه بعدی طرح هندسی بهینه سازه فضاکار تخت دو لایه  $8 \times 8$

نتایج عددی برای موقعیت گرهی و سطح مقطع اعضای سازه بهینه در جداول (الف-۱۵) و (الف-۱۶)

همراه با اطلاعات همبندی اعضای سازه ارائه شده است.

جدول (الف-۱۵) نتایج طرح بهینه متغیرهندسی سازه فضاکار تخت دو لایه ۸×۸ به روش **cm - MSM-GA**

Z	Y	X	شماره	Z	Y	X	شماره	Z	Y	X	شماره
۱۱۹	۲۵۶۳	۲۳۱۶	۷۱	۱۱۹	۱۰۳۴	۲۸۰۰	۳۶	۱۱۹	.	.	۱
۱۱۹	۲۳۴۵	۲۸۰۰	۷۲	۱۱۹	۱۴۰۰	.	۳۷	۱۱۹	.	۲۷۰	۲
۱۱۹	۲۸۰۰	.	۷۳	۱۱۹	۱۴۰۰	۴۷۳	۳۸	۱۱۹	.	۵۴۸	۳
۱۱۹	۲۸۰۰	۲۷۰	۷۴	۱۱۹	۱۴۰۰	۷۱۱	۳۹	۱۱۹	.	۱۰۳۴	۴
۱۱۹	۲۸۰۰	۵۴۸	۷۵	۱۱۹	۱۴۰۰	۹۴۳	۴۰	۱۱۹	.	۱۴۰۰	۵
۱۱۹	۲۸۰۰	۱۰۳۴	۷۶	۱۱۹	۱۴۰۰	۱۴۰۰	۴۱	۱۱۹	.	۱۷۶۶	۶
۱۱۹	۲۸۰۰	۱۴۰۰	۷۷	۱۱۹	۱۴۰۰	۱۸۵۷	۴۲	۱۱۹	.	۲۲۵۲	۷
۱۱۹	۲۸۰۰	۱۷۶۶	۷۸	۱۱۹	۱۴۰۰	۲۰۸۹	۴۳	۱۱۹	.	۲۵۳۰	۸
۱۱۹	۲۸۰۰	۲۲۵۲	۷۹	۱۱۹	۱۴۰۰	۲۳۲۷	۴۴	۱۱۹	.	۲۸۰۰	۹
۱۱۹	۲۸۰۰	۲۵۳۰	۸۰	۱۱۹	۱۴۰۰	۲۸۰۰	۴۵	۱۱۹	۴۵۵	.	۱۰
۱۱۹	۲۸۰۰	۲۸۰۰	۸۱	۱۱۹	۱۷۶۶	.	۴۶	۱۱۹	۲۳۷	۴۸۴	۱۱
.	۱۹۳	۳۳۵	۸۲	۱۱۹	۱۵۸۶	۴۹۲	۴۷	۱۱۹	۵۰۸	۵۵۰	۱۲
.	۲۲۸	۳۷۰	۸۳	۱۱۹	۱۸۱۷	۸۲۸	۴۸	۱۱۹	۴۵۶	۹۲۵	۱۳
.	۳۳۶	۷۸۱	۸۴	۱۱۹	۱۶۴۵	۱۰۹۹	۴۹	۱۱۹	۲۵۷	۱۴۰۰	۱۴
.	۳۱۸	۱۳۲۶	۸۵	۱۱۹	۱۷۹۲	۱۴۰۰	۵۰	۱۱۹	۴۵۶	۱۸۷۵	۱۵
.	۳۱۸	۱۴۷۴	۸۶	۱۱۹	۱۶۴۵	۱۷۰۱	۵۱	۱۱۹	۵۰۸	۲۲۵۰	۱۶
.	۳۳۶	۲۰۱۹	۸۷	۱۱۹	۱۸۱۷	۱۹۷۲	۵۲	۱۱۹	۲۳۷	۲۳۱۶	۱۷
.	۲۲۸	۲۴۳۰	۸۸	۱۱۹	۱۵۸۶	۲۳۰۸	۵۳	۱۱۹	۴۵۵	۲۸۰۰	۱۸
.	۱۹۶	۲۴۶۵	۸۹	۱۱۹	۱۷۶۶	۲۸۰۰	۵۴	۱۱۹	۶۰۲	.	۱۹
.	۴۲۹	۱۵۹	۹۰	۱۱۹	۲۱۹۸	.	۵۵	۱۱۹	۶۹۳	۲۶۵	۲۰
.	۵۲۲	۴۱۱	۹۱	۱۱۹	۲۱۰۷	۲۶۵	۵۶	۱۱۹	۶۶۲	۷۹۹	۲۱
.	۴۳۶	۸۴۷	۹۲	۱۱۹	۲۱۳۸	۷۹۹	۵۷	۱۱۹	۷۸۲	۱۰۴۸	۲۲
.	۴۳۹	۱۱۷۲	۹۳	۱۱۹	۲۰۱۸	۱۰۴۸	۵۸	۱۱۹	۶۱۴	۱۴۰۰	۲۳
.	۴۳۹	۱۶۲۸	۹۴	۱۱۹	۲۱۸۶	۱۴۰۰	۵۹	۱۱۹	۷۸۲	۱۷۵۲	۲۴
.	۴۳۶	۱۹۵۳	۹۵	۱۱۹	۲۰۱۸	۱۷۵۲	۶۰	۱۱۹	۶۶۲	۲۰۰۱	۲۵
.	۵۲۲	۲۳۸۹	۹۶	۱۱۹	۲۱۳۸	۲۰۰۱	۶۱	۱۱۹	۶۹۳	۲۵۳۵	۲۶
.	۴۲۹	۲۶۴۱	۹۷	۱۱۹	۲۱۰۷	۲۵۳۵	۶۲	۱۱۹	۶۰۲	۲۸۰۰	۲۷
.	۹۵۴	۱۸۸	۹۸	۱۱۹	۲۱۹۸	۲۸۰۰	۶۳	۱۱۹	۱۰۳۴	.	۲۸
.	۹۳۷	۶۳۴	۹۹	۱۱۹	۲۳۴۵	.	۶۴	۱۱۹	۱۲۱۴	۴۹۲	۲۹
.	۹۴۵	۹۱۰	۱۰۰	۱۱۹	۲۵۶۳	۴۸۴	۶۵	۱۱۹	۹۸۳	۸۲۸	۳۰
.	۹۸۱	۱۲۱۴	۱۰۱	۱۱۹	۲۲۹۲	۵۵۰	۶۶	۱۱۹	۱۱۵۵	۱۰۹۹	۳۱
.	۹۸۱	۱۵۸۶	۱۰۲	۱۱۹	۲۳۴۴	۹۲۵	۶۷	۱۱۹	۱۰۰۸	۱۴۰۰	۳۲
.	۹۴۵	۱۸۹۰	۱۰۳	۱۱۹	۲۵۴۳	۱۴۰۰	۶۸	۱۱۹	۱۱۵۵	۱۷۰۱	۳۳
.	۹۳۷	۲۱۶۶	۱۰۴	۱۱۹	۲۳۴۴	۱۸۷۵	۶۹	۱۱۹	۹۸۳	۱۹۷۲	۳۴
.	۹۵۴	۲۶۱۲	۱۰۵	۱۱۹	۲۲۹۲	۲۲۵۰	۷۰	۱۱۹	۱۲۱۴	۲۳۰۸	۳۵

**ادامه جدول (الف-١٥)**

Z	Y	X	شماره	Z	Y	X	شماره	Z	Y	X	شماره
.	٢٣٦١	١٦٢٨	١٣٤	.	١٦٥٧	٢٣٦٣	١٢٠	.	١٢٦٦	٣٣٨	١٠٦
.	٢٣٦٤	١٩٥٣	١٣٥	.	١٥٣٤	٢٤٦٢	١٢١	.	١١٤٣	٤٣٧	١٠٧
.	٢٢٧٨	٢٣٨٩	١٣٦	.	١٨٤٦	١٨٨	١٢٢	.	١٢٧١	٧٤٣	١٠٨
.	٢٣٧١	٢٦٤١	١٣٧	.	١٨٦٣	٩٣٤	١٢٣	.	١٣٧٥	١٢٩١	١٠٩
.	٢٦٠٤	٣٣٥	١٣٨	.	١٨٥٥	٩١٠	١٢٤	.	١٣٧٥	١٥٠٩	١١٠
.	٢٥٧١	٣٧٠	١٣٩	.	١٨١٩	١٢١٤	١٢٥	.	١٢٧١	٢٠٥٧	١١١
.	٢٤٦٤	٧٨١	١٤٠	.	١٨١٩	١٥٨٦	١٢٦	.	١١٤٣	٢٣٦٣	١١٢
.	٢٤٨٢	١٣٢٦	١٤١	.	١٨٥٥	١٨٩٠	١٢٧	.	١٢٦٦	٢٤٦٢	١١٣
.	٢٤٨٢	١٤٧٤	١٤٢	.	١٨٦٣	٢١٦٦	١٢٨	.	١٥٣٤	٣٣٨	١١٤
.	٢٤٦٤	٢٠١٩	١٤٣	.	١٨٤٦	٢٦١٢	١٢٩	.	١٦٥٧	٤٣٧	١١٥
.	٢٥٧٢	٢٤٣٠	١٤٤	.	٢٣٧١	١٥٩	١٣٠	.	١٥٢٩	٧٤٣	١١٦
.	٢٦٠٤	٢٤٦٥	١٤٥	.	٢٢٧٨	٤١١	١٣١	.	١٤٢٥	١٢٩١	١١٧
				.	٢٣٦٤	٨٤٧	١٣٢	.	١٤٢٥	١٥٠٩	١١٨
				.	٢٣٦١	١١٧٢	١٣٣	.	١٥٢٩	٢٠٥٧	١١٩

**جدول (الف-١٦) نتایج طرح بهینه سطح مقطع سازه فضاکار تخت دو لایه ٨×٨ به روش MSM-GA cm<sup>2</sup>**

شماره	ابتداء	انتها	سطح مقطع	شماره	ابتداء	انتها	سطح مقطع	شماره	ابتداء	انتها	سطح مقطع	شماره
١٧/٢	٤٢	٤١	٣٧	٢/٥٤	٢٢	٢١	١٩	٢/٥٤	٢	١	١	١
١٨/٩	٤٣	٤٢	٣٨	٧/٣٣	٢٣	٢٢	٢٠	٣/٧٣	٣	٢	٢	٢
٧/٠٧	٤٤	٤٣	٣٩	٧/٣٣	٢٤	٢٣	٢١	٥/٧٤	٤	٣	٣	٣
٥/٧٤	٤٥	٤٤	٤٠	٢/٥٤	٢٥	٢٤	٢٢	٨/٦٩	٥	٤	٤	٤
٥/٧٤	٤٧	٤٦	٤١	٨/٦٢	٢٦	٢٥	٢٣	٨/٦٩	٦	٥	٥	٥
٧/٢٣	٤٨	٤٧	٤٢	٢/٥٤	٢٧	٢٦	٢٤	٥/٧٤	٧	٦	٦	٦
١١/٢	٤٩	٤٨	٤٣	٥/٧٤	٢٩	٢٨	٢٥	٣/٧٣	٨	٧	٧	٧
٢٦/٧	٥٠	٤٩	٤٤	٧/٣٣	٣٠	٢٩	٢٦	٢/٥٤	٩	٨	٨	٨
٢٦/٧	٥١	٥٠	٤٥	١١/٢	٣١	٣٠	٢٧	٥/٧٤	١١	١٠	٩	٩
١١/٢	٥٢	٥١	٤٦	٢٦/٧	٣٢	٣١	٢٨	٢/٥٤	١٢	١١	١٠	١٠
٧/٢٣	٥٣	٥٢	٤٧	٢٦/٧	٣٣	٣٢	٢٩	٤/٥٣	١٣	١٢	١١	١١
٥/٧٤	٥٤	٥٣	٤٨	١١/٢	٣٤	٣٣	٣٠	٥/٧٤	١٤	١٣	١٢	١٢
٢/٥٤	٥٥	٥٥	٤٩	٧/٣٣	٣٥	٣٤	٣١	٥/٧٤	١٥	١٤	١٣	١٣
٨/٦٢	٥٧	٥٦	٥٠	٥/٧٤	٣٦	٣٥	٣٢	٤/٥٣	١٦	١٥	١٤	١٤
٢/٥٤	٥٨	٥٧	٥١	٥/٧٤	٣٨	٣٧	٣٣	٢/٥٤	١٧	١٦	١٥	١٥
٧/٢٣	٥٩	٥٨	٥٢	٧/٠٧	٣٩	٣٨	٣٤	٥/٧٤	١٨	١٧	١٦	١٦
٧/٢٣	٦٠	٥٩	٥٣	١٨/٩	٤٠	٣٩	٣٥	٢/٥٤	٢٠	١٩	١٧	١٧
٢/٥٤	٦١	٦٠	٥٤	١٧/٢	٤١	٤٠	٣٦	٨/٦٢	٢١	٢٠	١٨	١٨

**ادامه جدول (الف-١٦)**

شماره	ابتها	انتها	سطح مقطع	شماره	ابتها	انتها	سطح مقطع	شماره	ابتها	انتها	سطح مقطع	شماره	ابتها	انتها	سطح مقطع	شماره	
٥٥	٦١	٦٢	٨/٦٢	٥٣	١٢٥	٢/٥٤	٢٧	٩٠	٨/٦٢	٦٢	٦٣	٣/٧٣	٥٤	١٢٦	٣/٧٣	٢٨	٩١
٥٦	٦٢	٦٣	٣/٧٣	٥٤	١٢٦	٣/٧٣	٢٨	٩١	٢/٥٤	٦٣	٦٤	٢/٥٤	٥٤	١٢٧	٨/٦٢	٢٩	٩٢
٥٧	٦٤	٦٥	٢/٥٤	٥٥	١٢٧	٨/٦٢	٣٠	٩٣	٢/٥٤	٦٥	٦٤	٥٧	٥٦	١٢٨	٨/٦٢	٢١	٩٣
٥٨	٦٤	٦٥	٨/٦٢	٥٦	١٢٨	٨/٦٢	٣٠	٩٣	٢/٥٤	٦٦	٦٥	٥٨	٥٧	١٢٩	١٢/٣	٣١	٩٤
٥٩	٦٦	٦٧	٢/٥٤	٥٧	١٢٩	١٢/٣	٣١	٩٤	٤/٥٣	٦٧	٦٦	٥٩	٥٨	١٣٠	١٧/٢	٣٢	٩٥
٦٠	٦٧	٦٨	٥٧	٥٨	١٣٠	١٧/٢	٣٢	٩٥	٥/٧٤	٦٨	٦٧	٦٠	٥٧	١٣١	١٢/٣	٣٣	٩٦
٦١	٦٨	٦٩	٥/٧٤	٥٩	١٣١	١٢/٣	٣٣	٩٦	٥/٧٤	٦٩	٦٨	٦١	٥٦	١٣٢	٨/٦٢	٣٤	٩٧
٦٢	٦٩	٦٠	٥/٧٤	٦٠	١٣٢	٨/٦٢	٣٤	٩٧	٤/٥٣	٧٠	٦٩	٦٢	٥٥	١٣٣	٨/٦٢	٢٦	٩٨
٦٣	٦٠	٧٠	٢/٥٤	٦١	١٣٣	٨/٦٢	٣٥	٩٨	٢/٥٤	٧١	٧٠	٦٣	٦٢	١٣٤	٣/٧٣	٣٦	٩٩
٦٤	٦١	٧١	٨/٦٢	٦٢	١٣٤	٣/٧٣	٣٦	٩٩	٥/٧٤	٧٢	٧١	٦٤	٦٣	١٣٥	٣/٢٥	٣٧	١٠٠
٦٤	٦٢	٧٢	٢/٥٤	٦٣	١٣٥	٣/٢٥	٣٧	١٠٠	٢/٥٤	٧٤	٧٣	٦٤	٦٣	١٣٦	٢/٥٤	٣٨	١٠١
٦٦	٦٤	٧٣	٣/٧٣	٦٤	١٣٦	٢/٥٤	٣٨	١٠١	٣/٧٣	٧٥	٧٤	٦٦	٦٥	١٣٧	٩/٠٦	٣٩	١٠٢
٦٧	٦٤	٧٤	٥/٧٤	٦٥	١٣٧	٩/٠٦	٣٩	١٠٢	٥/٧٤	٧٦	٧٥	٦٧	٦٧	١٣٨	٢٦/٧	٤٠	١٠٣
٦٧	٦٧	٧٦	٧/٠٧	٦٧	١٣٩	٨/٨٩	٤١	١٠٤	٨/٨٩	٧٨	٧٧	٦٩	٦٧	١٤٠	٢٦/٧	٤٢	١٠٥
٦٧	٦٨	٧٧	٢/٥٤	٦٨	١٤٠	٢٦/٧	٤٢	١٠٥	٥/٧٤	٧٩	٧٨	٦٠	٦٧	١٤١	٩/٠٦	٤٣	١٠٦
٦٧	٦٩	٧٨	٧/٠٧	٦٩	١٤١	٩/٠٦	٤٣	١٠٦	٣/٧٣	٨٠	٧٩	٦١	٦١	١٤٢	٢/٥٤	٤٤	١٠٧
٦٧	٧٠	٧٩	٥/٧٤	٧٠	١٤٢	٢/٥٤	٤٤	١٠٧	٢/٥٤	٨١	٨٠	٦٢	٦٢	١٤٣	٣/٢٥	٤٥	١٠٨
٦٢	٧٠	٨٠	٣/٢٥	٧١	١٤٣	٣/٢٥	٤٥	١٠٨	٣/٧٣	١٠	١	٦٢	٦٢	١٤٤	٤٦	٣٧	١٠٩
٦٤	٧٢	٨١	٣/٧٣	٧٢	١٤٤	٣/٢٥	٤٦	١٠٩	٣/٢٥	١١	٢	٦٤	٦٤	١٤٤	٩/٠٦	٣٧	١٠٩
٦٤	٧٢	٨٢	٥/٥٧	٧٢	١٤٥	٢/٥٤	٤٧	١١٠	٥/٧٤	١٢	٣	٦٤	٦٤	١٤٥	٢/٥٤	٣٨	١٠٦
٦٤	٧٣	٨٣	٣/٧٣	٧٣	١٤٦	٩/٠٦	٤٨	١١١	٧/٠٧	١٣	٤	٦٤	٦٤	١٤٦	٤٧	٣٩	١٠٦
٦٧	٧٤	٨٤	٥/٧٤	٧٤	١٤٧	٢٦/٧	٤٩	١١٢	٢/٥٤	١٤	٥	٦٧	٦٧	١٤٧	٢٦/٧	٤٠	١١٢
٦٧	٧٤	٨٤	٣/٢٥	٧٤	١٤٨	٨/٨٩	٥٠	١١٣	٧/٠٧	١٥	٦	٦٧	٦٧	١٤٨	٤٧	٣٨	١١٣
٦٧	٧٤	٨٦	٥/٧٤	٧٤	١٤٩	٢٦/٧	٥١	١١٤	٥/٧٤	١٦	٧	٦٩	٦٩	١٤٩	٢٦/٧	٥١	١١٤
٦٧	٧٤	٨٨	٣/٧٣	٧٤	١٥٠	٩/٠٦	٥٢	١١٥	٣/٢٥	١٧	٨	٦٠	٦٠	١٥٠	٩/٠٦	٥٢	١١٥
٦٧	٧٩	٨٩	٥/٥٧	٧٩	١٥١	٢/٥٤	٥٣	١١٦	٣/٧٣	١٨	٩	٦١	٦١	١٥١	٢/٥٤	٥٣	١١٦
٦٧	٩٠	٩١	٥/٥٧	٩٠	١٥٢	٣/٢٥	٥٤	١١٧	٢/٥٤	١٩	١٠	٦٢	٦٢	١٥٢	٥٤	٥٤	١١٧
٦٢	٩١	٩١	٣/٧٣	٩١	١٥٣	٣/٧٣	٥٥	١١٨	٨/٦٢	٢٠	١١	٦٢	٦٢	١٥٣	٥٥	٥٥	١١٨
٦٤	٩٢	٩٢	٩/٠٦	٩٢	١٥٤	٨/٦٢	٥٦	١١٩	٢/٥٤	٢١	١٢	٦٤	٦٤	١٥٤	٨/٦٢	٥٦	١١٩
٦٤	٩٢	٩٤	٥/٧٤	٩٢	١٥٥	٨/٦٢	٥٧	١٢٠	٥/٧٤	٢٢	١٣	٦٥	٦٥	١٥٥	٨/٦٢	٥٧	١٢٠
٦٤	٩٤	٩٤	٩/٠٦	٩٤	١٥٦	١٢/٣	٥٨	١٢١	٥/٧٤	٢٣	١٤	٦٦	٦٦	١٥٦	١٢/٣	٥٨	١٢١
٦٤	٩٤	٩٥	٣/٧٣	٩٤	١٥٧	١٧/٢	٥٩	١٢٢	٥/٧٤	٢٤	١٥	٦٧	٦٧	١٥٧	١٧/٢	٥٩	١٢٢
٦٤	٩٤	٩٦	٥/٥٧	٩٤	١٥٨	١٢/٣	٦٠	١٢٣	٢/٥٤	٢٥	١٦	٦٨	٦٨	١٥٨	١٢/٣	٥٧	١٢٣
٦٩	٩٤	٩٨	١٣/٢	٩٩	١٥٩	٨/٦٢	٦١	١٢٤	٨/٦٢	٢٦	١٧	٦٩	٦٩	١٥٩	٨/٦٢	٥٢	١٢٤

**ادامه جدول (الف-١٦)**

شماره	ابتها	انتها	سطح مقطع	شماره	ابتها	انتها	سطح مقطع	شماره	ابتها	انتها	سطح مقطع	شماره
٢/٥٤	١١٩	١١١	٢٣٠	٣/٧٣	١٤٠	١٣٩	١٩٥	٣/٧٣	١٠٠	٩٩	١٦٠	
٥/٧٤	١٢٠	١١٢	٢٣١	٥/٧٤	١٤١	١٤٠	١٩٦	٢/٥٤	١٠١	١٠٠	١٦١	
٣/٩٤	١٢١	١١٣	٢٣٢	٣/٢٥	١٤٢	١٤١	١٩٧	٣/٢٥	١٠٢	١٠١	١٦٢	
٣/٢٥	١٢٢	١١٤	٢٣٣	٥/٧٤	١٤٣	١٤٢	١٩٨	٢/٥٤	١٠٣	١٠٢	١٦٣	
٣/٧٣	١٢٣	١١٥	٢٣٤	٣/٧٣	١٤٤	١٤٣	١٩٩	٣/٧٣	١٠٤	١٠٣	١٦٤	
٣/٢٥	١٢٤	١١٦	٢٣٥	٥/٥٧	١٤٥	١٤٤	٢٠٠	١٣/٢	١٠٥	١٠٤	١٦٥	
٣/٢٥	١٢٥	١١٧	٢٣٦	٢/٥٤	٩٠	٨٢	٢٠١	٩/٠٦	١٠٧	١٠٦	١٦٦	
٣/٢٥	١٢٦	١١٨	٢٣٧	٣/٧٣	٩١	٨٣	٢٠٢	٧/٠٧	١٠٨	١٠٧	١٦٧	
٣/٢٥	١٢٧	١١٩	٢٣٨	١٣/٢	٩٢	٨٤	٢٠٣	٥/٧٤	١٠٩	١٠٨	١٦٨	
٣/٧٣	١٢٨	١٢٠	٢٣٩	١٣/٢	٩٣	٨٥	٢٠٤	٥/٧٤	١١٠	١٠٩	١٦٩	
٣/٢٥	١٢٩	١٢١	٢٤٠	١٣/٢	٩٤	٨٦	٢٠٥	٥/٧٤	١١١	١١٠	١٧٠	
٥/٧٤	١٣٠	١٢٢	٢٤١	١٣/٢	٩٥	٨٧	٢٠٦	٧/٠٧	١١٢	١١١	١٧١	
٧/٠٧	١٣١	١٢٣	٢٤٢	٣/٧٣	٩٦	٨٨	٢٠٧	٩/٠٦	١١٣	١١٢	١٧٢	
٨/٦٢	١٣٢	١٢٤	٢٤٣	٢/٥٤	٩٧	٨٩	٢٠٨	٩/٠٦	١١٤	١١٣	١٧٣	
٥/٧٤	١٣٣	١٢٥	٢٤٤	٥/٧٤	٩٨	٩٠	٢٠٩	٧/٠٧	١١٥	١١٤	١٧٤	
٥/٧٤	١٣٤	١٢٦	٢٤٥	٧/٠٧	٩٩	٩١	٢١٠	٥/٧٤	١١٧	١١٦	١٧٥	
٨/٦٢	١٣٥	١٢٧	٢٤٦	٨/٦٢	١٠٠	٩٢	٢١١	٥/٧٤	١١٨	١١٧	١٧٦	
٧/٠٧	١٣٦	١٢٨	٢٤٧	٥/٧٤	١٠١	٩٣	٢١٢	٥/٧٤	١١٩	١١٨	١٧٧	
٥/٧٤	١٣٧	١٢٩	٢٤٨	٥/٧٤	١٠٢	٩٤	٢١٣	٧/٠٧	١٢٠	١١٩	١٧٨	
٢/٥٤	١٣٨	١٣٠	٢٤٩	٨/٦٢	١٠٣	٩٥	٢١٤	٩/٠٦	١٢١	١٢٠	١٧٩	
٣/٧٣	١٣٩	١٣١	٢٥٠	٧/٠٧	١٠٤	٩٦	٢١٥	١٣/٢	١٢٢	١٢٢	١٨٠	
١٣/٢	١٤٠	١٣٢	٢٥١	٥/٧٤	١٠٥	٩٧	٢١٦	٣/٧٣	١٢٤	١٢٣	١٨١	
١٣/٢	١٤١	١٣٣	٢٥٢	٣/٢٥	١٠٦	٩٨	٢١٧	٢/٥٤	١٢٥	١٢٤	١٨٢	
١٣/٢	١٤٢	١٣٤	٢٥٣	٣/٧٣	١٠٧	٩٩	٢١٨	٣/٢٥	١٢٦	١٢٥	١٨٣	
١٣/٢	١٤٣	١٣٥	٢٥٤	٣/٢٥	١٠٨	١٠٠	٢١٩	٢/٥٤	١٢٧	١٢٦	١٨٤	
٣/٧٣	١٤٤	١٣٦	٢٥٥	٣/٢٥	١٠٩	١٠١	٢٢٠	٣/٧٣	١٢٨	١٢٧	١٨٥	
٢/٥٤	١٤٥	١٣٧	٢٥٦	٣/٢٥	١١٠	١٠٢	٢٢١	١٣/٢	١٢٩	١٢٨	١٨٦	
٧/٣٣	٨٢	١	٢٥٧	٣/٢٥	١١١	١٠٣	٢٢٢	٥/٥٧	١٣١	١٣٠	١٨٧	
٤/٨٣	٨٢	٢	٢٥٨	٣/٧٣	١١٢	١٠٤	٢٢٣	٣/٧٣	١٣٢	١٣١	١٨٨	
٧/٣٣	٨٢	١٠	٢٥٩	٣/٢٥	١١٣	١٠٥	٢٢٤	٩/٠٦	١٣٣	١٣٢	١٨٩	
٢/٥٤	٨٢	١١	٢٦٠	٣/٩٤	١١٤	١٠٦	٢٢٥	٥/٧٤	١٣٤	١٣٣	١٩٠	
٣/٧٣	٨٣	٢	٢٦١	٥/٧٤	١١٥	١٠٧	٢٢٦	٩/٠٦	١٣٥	١٣٤	١٩١	
٧/٠٧	٨٣	٣	٢٦٢	٢/٥٤	١١٦	١٠٨	٢٢٧	٣/٧٣	١٣٦	١٣٥	١٩٢	
٣/٩٤	٨٣	١١	٢٦٣	٣/٧٣	١١٧	١٠٩	٢٢٨	٥/٥٧	١٣٧	١٣٦	١٩٣	
٥/٧٤	٨٣	١٢	٢٦٤	٣/٧٣	١١٨	١١٠	٢٢٩	٥/٥٧	١٣٩	١٣٨	١٩٤	

**ادامه جدول (الف-١٦)**

شماره	ابتها	انتها	سطح مقطع	شماره	ابتها	انتها	سطح مقطع	شماره	ابتها	انتها	سطح مقطع	شماره	ابتها	انتها	سطح مقطع	شماره
٢٦٥	٣	٨٤	٧/٣٣	٣٠٠	٢٢	٩٢	١٥/٦	٣٣٥	٣١	١٠١	٣/٢٥					
٢٦٦	٤	٨٤	٨/٦٢	٣٠١	١٣	٩٣	٢/٥٤	٣٣٦	٣٢	١٠١	٥/٧٤					
٢٦٧	١٢	٨٤	١١/٢	٣٠٢	١٤	٩٣	٧/٠٧	٣٣٧	٢٣	١٠٢	٣/٧٣					
٢٦٨	١٣	٨٤	١١/٢	٣٠٣	٢٢	٩٣	٥/٧٤	٣٣٨	٢٤	١٠٢	٣/٠٧					
٢٦٩	٤	٨٥	٧/٣٣	٣٠٤	٢٣	٩٣	٩/٠٦	٣٣٩	٢٢	١٠٢	٥/٧٤					
٢٧٠	٥	٨٥	٥/٧٤	٣٠٥	١٤	٩٤	٧/٠٧	٣٤٠	٣٣	١٠٢	٣/٢٥					
٢٧١	١٣	٨٥	١٣/٢	٣٠٦	١٥	٩٤	٢/٥٤	٣٤١	٢٤	١٠٣	٣/٧٣					
٢٧٢	١٤	٨٥	٥/٧٤	٣٠٧	٢٣	٩٤	٩/٠٦	٣٤٢	٢٥	١٠٣	٤/٨٣					
٢٧٣	٥	٨٦	٥/٧٤	٣٠٨	٢٤	٩٤	٥/٧٤	٣٤٣	٢٣	١٠٣	٤/٥٣					
٢٧٤	٦	٨٦	٧/٣٣	٣١٠	١٥	٩٥	٣/٧٣	٣٤٤	٣٤	١٠٣	٢/٥٤					
٢٧٥	١٤	٨٦	٥/٧٤	٣١٠	١٦	٩٥	٣/٢٥	٣٤٥	٢٥	١٠٤	٥/٧٤					
٢٧٦	١٥	٨٦	١٣/٢	٣١١	٢٤	٩٥	١٥/٦	٣٤٦	٢٦	١٠٤	٣/٧٣					
٢٧٧	٦	٨٧	٨/٦٢	٣١٢	٢٥	٩٥	٧/٣٣	٣٤٧	٢٤	١٠٤	٤/٥٣					
٢٧٨	٧	٨٧	٧/٣٣	٣١٣	١٦	٩٦	٢/٥٤	٣٤٨	٣٥	١٠٤	٣/٢٥					
٢٧٩	١٥	٨٧	١١/٢	٣١٤	١٧	٩٦	٢/٥٤	٣٤٩	٢٦	١٠٥	٩/٠٦					
٢٨٠	١٦	٨٧	١١/٢	٣١٥	٢٥	٩٦	٧/٣٣	٣٥٠	٢٧	١٠٥	٧/٣٣					
٢٨١	٧	٨٨	٧/٠٧	٣١٦	٢٦	٩٦	٣/٢٥	٣٥١	٣٥	١٠٥	٣/٧٣					
٢٨٢	٨	٨٨	٣/٧٣	٣١٧	١٧	٩٧	٣/٢٥	٣٥٢	٣٦	١٠٥	٤/٥٣					
٢٨٣	١٦	٨٨	٥/٧٤	٣١٨	١٨	٩٧	٣/٢٥	٣٥٣	٢٨	١٠٦	٩/٠٦					
٢٨٤	١٧	٨٨	٣/٩٤	٣١٩	٢٦	٩٧	٨/٦٩	٣٥٤	٢٩	١٠٦	٩/٠٦					
٢٨٥	٨	٨٩	٤/٨٣	٣٢٠	٢٧	٩٧	٤/٥٣	٣٥٥	٣٧	١٠٦	٨/٦٩					
٢٨٦	٩	٨٩	٧/٣٣	٣٢١	١٩	٩٨	٧/٣٣	٣٥٦	٣٨	١٠٦	٨/٦٩					
٢٨٧	١٧	٨٩	٢/٥٤	٣٢٢	٢٠	٩٨	٩/٠٦	٣٥٧	٢٩	١٠٧	٢/٥٤					
٢٨٨	١٨	٨٩	٧/٣٣	٣٢٣	٢٨	٩٨	٤/٥٣	٣٥٨	٣٠	١٠٧	٧/٣٣					
٢٨٩	١٠	٩٠	٣/٢٥	٣٢٤	٢٩	٩٨	٣/٧٣	٣٥٩	٣٨	١٠٧	٤/٨٣					
٢٩٠	١١	٩٠	٩٠	٣٢٥	٢٠	٩٩	٣/٧٣	٣٦٠	٣٩	١٠٧	١٥/٢					
٢٩١	١٩	٩٠	٤/٥٣	٣٢٦	٢١	٩٩	٥/٧٤	٣٦١	٣٠	١٠٨	٣/٢٥					
٢٩٢	٢٠	٩٠	٨/٦٩	٣٢٧	٢٩	٩٩	٣/٢٥	٣٦٢	٣١	١٠٨	٧/٣٣					
٢٩٣	١١	٩١	٢/٥٤	٣٢٨	٣٠	٩٩	٤/٥٣	٣٦٣	٣٩	١٠٨	٣/٠٧					
٢٩٤	١٢	٩١	٢/٥٤	٣٢٩	٢١	١٠٠	٤/٨٣	٣٦٤	٤٠	١٠٨	٧/٣٣					
٢٩٥	٢٠	٩١	٣/٢٥	٣٣٠	٢٢	١٠٠	٣/٧٣	٣٦٥	٣١	١٠٩	٧/٣٣					
٢٩٦	٢١	٩١	٧/٣٣	٣٣١	٣٠	١٠٠	٢/٥٤	٣٦٦	٣٢	١٠٩	٣/٢٥					
٢٩٧	١٢	٩٢	٣/٢٥	٣٣٢	٣١	١٠٠	٤/٥٣	٣٦٧	٤٠	١٠٩	٣/٩٤					
٢٩٨	١٣	٩٢	٣/٧٣	٣٣٣	٢٢	١٠١	٣/٠٧	٣٦٨	٤١	١٠٩	٢/٥٤					
٢٩٩	٢١	٩٢	٧/٣٣	٣٣٤	٢٣	١٠١	٣/٧٣	٣٦٩	٣٢	١١٠	٣/٢٥					

**ادامه جدول (الف-١٦)**

شماره	ابتها	انتها	سطح مقطع	شماره	ابتها	انتها	سطح مقطع	شماره	ابتها	انتها	سطح مقطع	شماره	ابتها	انتها	سطح مقطع	شماره	ابتها	انتها	سطح مقطع	شماره	ابتها	انتها
٤/٨٣	١٢٧	٦١	٤٤٠	٧/٣٣	١١٩	٤٢	٤٠٥	٧/٣٣	١١٠	٣٣	٣٧٠											
٤/٥٣	١٢٨	٥٢	٤٤١	٣/٠٧	١١٩	٤٣	٤٠٦	٢/٥٤	١١٠	٤١	٣٧١											
٣/٢٥	١٢٨	٥٣	٤٤٢	٧/٣٣	١١٩	٥١	٤٠٧	٣/٩٤	١١٠	٤٢	٣٧٢											
٥/٧٤	١٢٨	٦١	٤٤٣	٣/٢٥	١١٩	٥٢	٤٠٨	٧/٣٣	١١١	٣٣	٣٧٣											
٣/٧٣	١٢٨	٦٢	٤٤٤	١٥/٢	١٢٠	٤٣	٤٠٩	٣/٢٥	١١١	٣٤	٣٧٤											
٣/٧٣	١٢٩	٥٣	٤٤٥	٤/٨٣	١٢٠	٤٤	٤١٠	٧/٣٣	١١١	٤٢	٣٧٥											
٤/٥٣	١٢٩	٥٤	٤٤٦	٧/٣٣	١٢٠	٥٢	٤١١	٣/٠٧	١١١	٤٣	٣٧٦											
٩/٠٦	١٢٩	٦٢	٤٤٧	٢/٥٤	١٢٠	٥٣	٤١٢	٧/٣٣	١١٢	٣٤	٣٧٧											
٧/٣٣	١٢٩	٦٣	٤٤٨	٨/٦٩	١٢١	٤٤	٤١٣	٢/٥٤	١١٢	٣٥	٣٧٨											
٤/٥٣	١٣٠	٥٥	٤٤٩	٨/٦٩	١٢١	٤٥	٤١٤	١٥/٢	١١٢	٤٣	٣٧٩											
٨/٦٩	١٣٠	٥٦	٤٥٠	٩/٠٦	١٢١	٥٣	٤١٥	٤/٨٣	١١٢	٤٤	٣٨٠											
٣/٢٥	١٣٠	٦٤	٤٥١	٩/٠٦	١٢١	٥٤	٤١٦	٩/٠٦	١١٣	٣٥	٣٨١											
٣/٢٥	١٣٠	٦٥	٤٥٢	٤/٥٣	١٢٢	٤٦	٤١٧	٩/٠٦	١١٣	٣٦	٣٨٢											
٣/٢٥	١٣١	٥٦	٤٥٣	٣/٧٣	١٢٢	٤٧	٤١٨	٨/٦٩	١١٣	٤٤	٣٨٣											
٧/٣٣	١٣١	٥٧	٤٥٤	٧/٣٣	١٢٢	٥٥	٤١٩	٨/٦٩	١١٣	٤٥	٣٨٤											
٢/٥٤	١٣١	٦٥	٤٥٥	٩/٠٦	١٢٢	٥٦	٤٢٠	٨/٦٩	١١٤	٣٧	٣٨٥											
٢/٥٤	١٣١	٦٦	٤٥٦	٣/٢٥	١٢٣	٤٧	٤٢١	٨/٦٩	١١٤	٣٨	٣٨٦											
٧/٣٣	١٣٢	٥٧	٤٥٧	٤/٥٣	١٢٣	٤٨	٤٢٢	٩/٠٦	١١٤	٤٦	٣٨٧											
١٥/٦	١٣٢	٥٨	٤٥٨	٣/٧٣	١٢٣	٥٦	٤٢٣	٩/٠٦	١١٤	٤٧	٣٨٨											
٣/٢٥	١٣٢	٦٦	٤٥٩	٥/٧٤	١٢٣	٥٧	٤٢٤	٤/٨٣	١١٥	٣٨	٣٨٩											
٣/٧٣	١٣٢	٦٧	٤٦٠	٢/٥٤	١٢٤	٤٨	٤٢٥	١٥/٢	١١٥	٣٩	٣٩٠											
٥/٧٤	١٣٣	٥٨	٤٦١	٤/٥٣	١٢٤	٤٩	٤٢٦	٢/٥٤	١١٥	٤٧	٣٩١											
٩/٠٦	١٣٣	٥٩	٤٦٢	٤/٨٣	١٢٤	٥٧	٤٢٧	٧/٣٣	١١٥	٤٨	٣٩٢											
٢/٥٤	١٣٣	٦٧	٤٦٣	٣/٧٣	١٢٤	٥٨	٤٢٨	٣/٠٧	١١٦	٣٩	٣٩٣											
٧/٠٧	١٣٣	٦٨	٤٦٤	٣/٢٥	١٢٥	٤٩	٤٢٩	٧/٣٣	١١٦	٤٠	٣٩٤											
٩/٠٦	١٣٤	٥٩	٤٦٥	٥/٧٤	١٢٥	٥٠	٤٢٠	٣/٢٥	١١٦	٤٨	٣٩٥											
٥/٧٤	١٣٤	٦٠	٤٦٦	٣/٠٧	١٢٥	٥٨	٤٢١	٧/٣٣	١١٦	٤٩	٣٩٦											
٧/٠٧	١٣٤	٦٨	٤٦٧	٣/٧٣	١٢٥	٥٩	٤٢٢	٣/٩٤	١١٧	٤٠	٣٩٧											
٢/٥٤	١٣٤	٦٩	٤٦٨	٥/٧٤	١٢٦	٥٠	٤٢٣	٢/٥٤	١١٧	٤١	٣٩٨											
١٥/٦	١٣٥	٦٠	٤٦٩	٣/٢٥	١٢٦	٥١	٤٢٤	٧/٣٣	١١٧	٤٩	٣٩٩											
٧/٣٣	١٣٥	٦١	٤٧٠	٣/٧٣	١٢٦	٥٩	٤٢٥	٣/٢٥	١١٧	٥٠	٤٠٠											
٣/٧٣	١٣٥	٦٩	٤٧١	٣/٠٧	١٢٦	٦٠	٤٢٦	٢/٥٤	١١٨	٤١	٤٠١											
٣/٢٥	١٣٥	٧٠	٤٧٢	٤/٥٣	١٢٧	٥١	٤٢٧	٣/٩٤	١١٨	٤٢	٤٠٢											
٧/٣٣	١٣٦	٦١	٤٧٣	٢/٥٤	١٢٧	٥٢	٤٢٨	٣/٢٥	١١٨	٥٠	٤٠٣											
٣/٢٥	١٣٦	٦٢	٤٧٤	٣/٧٣	١٢٧	٦٠	٤٢٩	٧/٣٣	١١٨	٥١	٤٠٤											

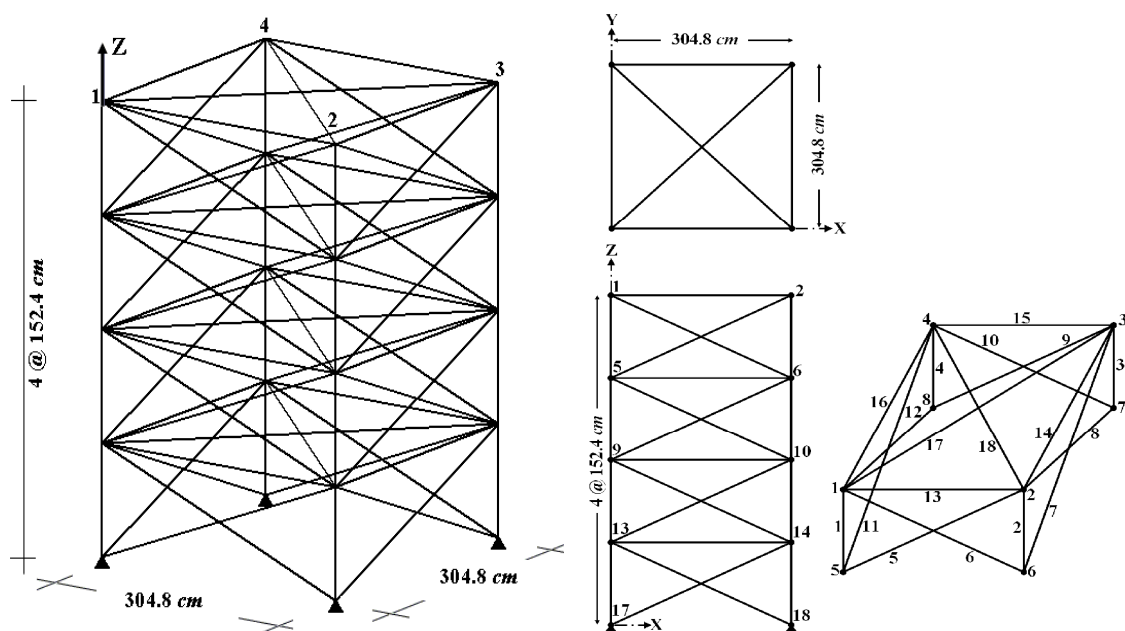
**ادامه جدول (الف-۱۶)**

شماره	ابتداء	انتها	سطح مقطع	شماره	ابتداء	انتها	سطح مقطع	شماره	ابتداء	انتها	سطح مقطع	شماره
۱۱/۲	۱۴۳	۶۹	۵۰۱	۷/۰۷	۱۳۹	۷۵	۴۸۸	۲/۵۴	۱۳۶	۷۰	۴۷۵	
۱۱/۲	۱۴۳	۷۰	۵۰۲	۱۱/۲	۱۴۰	۶۶	۴۸۹	۲/۵۴	۱۳۶	۷۱	۴۷۶	
۸/۶۲	۱۴۳	۷۸	۵۰۳	۱۱/۲	۱۴۰	۶۷	۴۹۰	۸/۶۹	۱۳۷	۶۲	۴۷۷	
۷/۳۳	۱۴۳	۷۹	۵۰۴	۷/۳۳	۱۴۰	۷۵	۴۹۱	۴/۵۳	۱۳۷	۶۳	۴۷۸	
۵/۷۴	۱۴۴	۷۰	۵۰۵	۸/۶۲	۱۴۰	۷۶	۴۹۲	۳/۲۵	۱۳۷	۷۱	۴۷۹	
۳/۹۴	۱۴۴	۷۱	۵۰۶	۱۳/۲	۱۴۱	۶۷	۴۹۳	۳/۲۵	۱۳۷	۷۲	۴۸۰	
۷/۰۷	۱۴۴	۷۹	۵۰۷	۵/۷۴	۱۴۱	۶۸	۴۹۴	۷/۳۳	۱۳۸	۶۴	۴۸۱	
۳/۷۳	۱۴۴	۸۰	۵۰۸	۷/۳۳	۱۴۱	۷۶	۴۹۵	۲/۵۴	۱۳۸	۶۵	۴۸۲	
۲/۵۴	۱۴۵	۷۱	۵۰۹	۵/۷۴	۱۴۱	۷۷	۴۹۶	۷/۳۳	۱۳۸	۷۳	۴۸۳	
۷/۳۳	۱۴۵	۷۲	۵۱۰	۵/۷۴	۱۴۲	۶۸	۴۹۷	۴/۸۳	۱۳۸	۷۴	۴۸۴	
۴/۸۳	۱۴۵	۸۰	۵۱۱	۱۳/۲	۱۴۲	۶۹	۴۹۸	۳/۹۴	۱۳۹	۶۵	۴۸۵	
۷/۳۳	۱۴۵	۸۱	۵۱۲	۵/۷۴	۱۴۲	۷۷	۴۹۹	۵/۷۴	۱۳۹	۶۶	۴۸۶	
			۷/۳۳		۱۴۲	۷۸	۵۰۰	۳/۷۳	۱۳۹	۷۴	۴۸۷	

**الف-۸- بهینه‌یابی سطح مقطع برج فولادی ۷۲ میله‌ای**

در این مثال به بهینه‌یابی برج فولادی ۷۲ میله‌ای مطابق شکل (الف-۱۵) پرداخته شده است.

برای این سازه،  $E$  و  $\rho$  به ترتیب برابر  $MPa \cdot 2767/99$  و  $kg/m^3 \cdot 68950$  در نظر گرفته شده است.



شکل (الف-۱۵) - نمای دو بعدی و سه بعدی برج فولادی ۷۲ میله‌ای

۷۲ عضو دکل فولادی در ۱۶ گروه دسته‌بندی شده و محدوده تنش برای اعضای سازه برابر  $172/375 \text{ MPa}$  ± $635 \text{ cm}$  فرض شده است.

بارهای مؤثر بر سازه در دو وضعیت بشرح جدول (الف-۱۷) به سازه وارد شده و لیست مقاطع

بشرح جدول (الف-۱۸) دسته‌بندی می‌شود.

**جدول (الف-۱۷) بارگذاری مؤثر بر برج فولادی ۷۲ میله‌ای**

نیرو در جهت Z - kN	نیرو در جهت Y - kN	نیرو در جهت X - kN	وضعیت بارگذاری شماره گره
-۲۲/۲۵	۲۲/۲۵	۲۲/۲۵	۱
--	--	--	۲
--	--	--	۳
--	--	--	۴
-۲۲/۲۵	--	--	۱
-۲۲/۲۵	--	--	۲
-۲۲/۲۵	--	--	۳
-۲۲/۲۵	--	--	۴

**جدول (الف-۱۸) مجموعه لیست مقاطع**

شماره	شماره	شماره	شماره	شماره	شماره	شماره	شماره	شماره	شماره	شماره	شماره
۱۲۱۲۹/۰۰۸	۵۶	۵۱۴۱/۹۲۵	۴۵	۲۴۹۶/۷۶۹	۳۴	۱۶۹۰/۳۱۹	۲۳	۶۴۱/۲۸۹	۱۲	۷۱/۶۱۳	۱
۱۲۸۳۸/۶۸۴	۵۷	۵۵۰۳/۲۱۵	۴۶	۲۵۰۳/۲۲۱	۳۵	۱۶۹۶/۷۷۱	۲۴	۶۴۵/۱۶۰	۱۳	۹۰/۹۶۸	۲
۱۴۱۹۳/۵۲۰	۵۸	۵۹۹۹/۹۸۸	۴۷	۲۶۹۶/۷۶۹	۳۶	۱۸۵۸/۰۶۱	۲۵	۷۹۲/۲۵۶	۱۴	۱۲۶/۴۵۱	۳
۱۴۷۷۴/۱۶۴	۵۹	۶۹۹۹/۹۸۶	۴۸	۲۷۲۲/۵۷۵	۳۷	۱۸۹۰/۳۱۹	۲۶	۸۱۶/۷۷۳	۱۵	۱۶۱/۲۹۰	۴
۱۵۸۰۶/۴۲۰	۶۰	۷۴۱۹/۴۳۰	۴۹	۲۸۹۶/۷۶۸	۳۸	۱۹۹۳/۵۴۴	۲۷	۹۳۹/۹۹۸	۱۶	۱۹۸/۰۶۴	۵
۱۷۰۹۶/۷۴۰	۶۱	۸۷۰۹/۶۶۰	۵۰	۲۹۶۱/۲۸۴	۳۹	۷۲۹/۰۳۱	۲۸	۱۰۰۸/۳۸۵	۱۷	۲۵۲/۲۵۸	۶
۱۸۰۶۴/۴۸۰	۶۲	۸۹۶۷/۷۲۴	۵۱	۳۰۹۶/۷۶۸	۴۰	۲۱۸۰/۶۴۱	۲۹	۱۰۴۵/۱۵۹	۱۸	۲۸۵/۱۶۱	۷
۱۹۳۵۴/۸۰۰	۶۳	۹۱۶۱/۲۷۲	۵۲	۳۲۰۶/۴۴۵	۴۱	۲۲۳۸/۷۰۵	۳۰	۱۱۶۱/۲۸۸	۱۹	۳۶۳/۲۲۵	۸
۲۱۶۱۲/۸۶۰	۶۴	۹۹۹۹/۹۸۰	۵۳	۳۳۰۳/۲۱۹	۴۲	۲۲۹۰/۳۱۸	۳۱	۱۲۸۳/۸۶۸	۲۰	۳۸۸/۳۸۶	۹
		۱۰۳۲۲/۵۶۰	۵۴	۳۷۰۳/۲۱۸	۴۳	۲۳۴۱/۹۳۱	۳۲	۱۳۷۴/۱۹۱	۲۱	۴۹۴/۱۹۳	۱۰
		۱۰۹۰۳/۲۰۴	۵۵	۴۶۵۸/۰۵۵	۴۴	۲۴۷۷/۴۱۴	۳۳	۱۵۳۵/۴۸۱	۲۲	۵۰۶/۴۵۱	۱۱

نتایج طرح بهینه سازه مذکور براساس دیگر مراجع در جدول (الف-۱۹) و برای ایده‌ها و روش‌های پیشنهادی رساله حاضر در جدول (الف-۲۰) ارائه شده است.

جدول (الف-۱۹) نتایج طرح بهینه برج فولادی ۷۲ میله‌ای براساس روش‌های مراجع مختلف -  $mm^2$

شماره گروه	مرجع [۴۵]	مرجع [۴۵]	مرجع [۸۶]	مرجع [۵۴]	مرجع [۵۱]	مرجع [۸۵]	مرجع [۴۵]	CSA	ICA	CSS	DHPSACO	GA	HPSO	PSOPC	PSO
۱۱۶۱/۲۸۸	۱۲۸۳/۸۶۸	۱۲۸۳/۸۶۸	۱۱۶۱/۲۸۸	۱۱۶۱/۲۸۸	۱۲۶/۴۵۱	۳۲۰۶/۴۴۵	۲۸۹۶/۷۶۸	۴۶۵۸/.۰۵۵	<i>a<sub>1-a<sub>4</sub></sub></i>						
۳۶۳/۲۲۵	۲۸۵/۱۶۱	۲۸۵/۱۶۱	۲۸۵/۱۶۱	۲۸۵/۱۶۱	۳۸۸/۳۸۶	۷۹۲/۲۵۶	۹۳۹/۹۹۸	۱۱۶۱/۲۸۸	<i>a<sub>5-a<sub>12</sub></sub></i>						
۷۱/۶۱۳	۷۱/۶۱۳	۷۱/۶۱۳	۹۰/۹۶۸	۹۰/۹۶۸	۱۹۸/۰۶۴	۷۱/۶۱۳	۷۱/۶۱۳	۷۱/۶۱۳	<i>a<sub>13-a<sub>16</sub></sub></i>						
۷۱/۶۱۳	۹۰/۹۶۸	۷۱/۶۱۳	۷۱/۶۱۳	۴۹۴/۱۹۳	۷۱/۶۱۳	۷۱/۶۱۳	۷۱/۶۱۳	۱۲۶/۴۵۱	<i>a<sub>17-a<sub>18</sub></sub></i>						
۸۱۶/۷۷۳	۷۹۲/۲۵۶	۶۴۱/۲۸۹	۷۹۲/۲۵۶	۲۵۲/۲۵۸	۱۸۵۸/۰۶۱	۱۶۹/۳۱۹	۱۹۹۳/۵۴۴	۱۹۹۳/۵۴۴	<i>a<sub>19-a<sub>22</sub></sub></i>						
۳۶۳/۲۲۵	۳۸۸/۳۸۶	۳۶۳/۲۲۵	۳۶۳/۲۲۵	۲۵۲/۲۵۸	۹۳۹/۹۹۸	۷۲۹/۰۳۱	۵۰۶/۴۵۱	۱۱۶۱/۲۸۸	<i>a<sub>23-a<sub>30</sub></sub></i>						
۷۱/۶۱۳	۷۱/۶۱۳	۷۱/۶۱۳	۷۱/۶۱۳	۹۰/۹۶۸	۹۰/۹۶۸	۱۲۶/۴۵۱	۳۶۳/۲۲۵	۱۱۶۱/۲۸۸	<i>a<sub>31-a<sub>34</sub></sub></i>						
۷۱/۶۱۳	۹۰/۹۶۸	۷۱/۶۱۳	۷۱/۶۱۳	۷۱/۶۱۳	۷۱/۶۱۳	۷۱/۶۱۳	۵۰۶/۴۵۱	۱۱۶۱/۲۸۸	<i>a<sub>35-a<sub>36</sub></sub></i>						
۳۶۳/۲۲۵	۳۶۳/۲۲۵	۳۶۳/۲۲۵	۳۶۳/۲۲۵	۱۱۶۱/۲۸۸	۱۰۰۸/۳۸۵	۸۱۶/۷۷۳	۱۹۹۳/۵۴۴	۱۹۹۳/۵۴۴	<i>a<sub>37-a<sub>40</sub></sub></i>						
۲۸۵/۱۶۱	۳۶۳/۲۲۵	۳۶۳/۲۲۵	۳۶۳/۲۲۵	۳۸۸/۳۸۶	۷۹۲/۲۵۶	۹۳۹/۹۹۸	۷۹۲/۲۵۶	۱۱۶۱/۲۸۸	<i>a<sub>41-a<sub>48</sub></sub></i>						
۷۱/۶۱۳	۷۱/۶۱۳	۷۱/۶۱۳	۷۱/۶۱۳	۹۰/۹۶۸	۹۰/۹۶۸	۷۱/۶۱۳	۷۱/۶۱۳	۱۱۶۱/۲۸۸	<i>a<sub>49-a<sub>52</sub></sub></i>						
۷۱/۶۱۳	۷۱/۶۱۳	۷۱/۶۱۳	۱۶۱/۲۹	۱۹۸/۰۶۴	۱۲۶/۴۵۱	۷۱/۶۱۳	۳۶۳/۲۲۵	۱۱۶۱/۲۸۸	<i>a<sub>53-a<sub>54</sub></sub></i>						
۱۲۶/۴۵۱	۱۲۶/۴۵۱	۱۲۶/۴۵۱	۱۲۶/۴۵۱	۱۰۰۸/۳۸۵	۲۵۲/۲۵۸	۲۸۵/۱۶۱	۱۲۸۳/۸۶۸	۱۲۸۳/۸۶۸	<i>a<sub>55-a<sub>58</sub></sub></i>						
۳۸۸/۳۸۶	۳۶۳/۲۲۵	۳۶۳/۲۲۵	۳۶۳/۲۲۵	۴۹۴/۱۹۳	۹۳۹/۹۹۸	۹۳۹/۹۹۸	۱۰۴۵/۱۵۹	۱۰۴۵/۱۵۹	<i>a<sub>59-a<sub>66</sub></sub></i>						
۲۵۲/۲۵۸	۱۹۸/۰۶۴	۲۸۵/۱۶۱	۲۸۵/۱۶۱	۹۰/۹۶۸	۴۹۴/۱۹۳	۷۹۲/۲۵۶	۱۰۰۸/۳۸۵	۱۰۰۸/۳۸۵	<i>a<sub>67-a<sub>70</sub></sub></i>						
۳۶۳/۲۲۵	۳۸۸/۳۸۶	۴۹۴/۱۹۳	۳۶۳/۲۲۵	۷۱/۶۱۳	۱۰۰۸/۳۸۵	۹۳۹/۹۹۸	۸۱۶/۷۷۳	۸۱۶/۷۷۳	<i>a<sub>71-a<sub>72</sub></sub></i>						
۱۷۸/۸۴۲	۱۷۸/۱۸۹	۱۷۸/۲۸۴	۱۷۸/۴۳۴	۱۹۳/۷۷۶	۴۲۲/۲۴۳	۴۲۷/۲۰۲	۵۴۸/۶۱۱	وزن -							

جدول (الف-۲۰) نتایج طرح بهینه برج فولادی ۷۲ میله‌ای براساس ایده‌ها و روش‌های پیشنهادی رساله

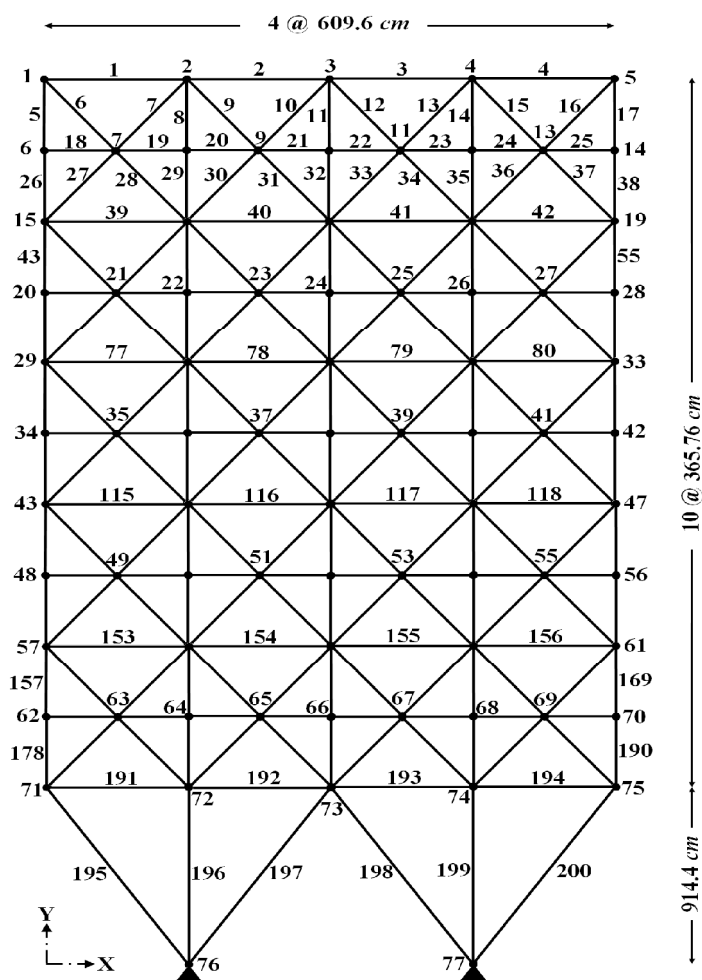
شماره گروه	MSM-GA	حالت ۲ ایده انصال	حالت ۲ ایده انصال	روش پیشنهادی	فضای طراحی در GA	فضای طراحی در HACOHSGA-T ACO	MHSM	روش	MP	بیشنهادی
۱۲۸۳/۸۶۸	۱۲۸۳/۸۶۸	۱۰۰۸/۳۸۵	۱۱۶۱/۲۸۸	۱۳۷۴/۱۹۱	۱۲۸۳/۸۶۸	<i>a<sub>1-a<sub>4</sub></sub></i>				
۳۶۳/۲۲۵	۲۸۵/۱۶۱	۳۶۳/۲۲۵	۳۶۳/۲۲۵	۳۶۳/۲۲۵	۳۶۳/۲۲۵	<i>a<sub>5-a<sub>12</sub></sub></i>	۳۸۸/۳۸۶			
۷۱/۶۱۳	۷۱/۶۱۳	۷۱/۶۱۳	۷۱/۶۱۳	۷۱/۶۱۳	۷۱/۶۱۳	<i>a<sub>13-a<sub>16</sub></sub></i>				
۷۱/۶۱۳	۷۱/۶۱۳	۷۱/۶۱۳	۷۱/۶۱۳	۷۱/۶۱۳	۷۱/۶۱۳	<i>a<sub>17-a<sub>18</sub></sub></i>				
۷۹۲/۲۵۶	۸۱۶/۷۷۳	۸۱۶/۷۷۳	۸۱۶/۷۷۳	۷۹۲/۲۵۶	۸۱۶/۷۷۳	<i>a<sub>19-a<sub>22</sub></sub></i>				
۲۸۵/۱۶۱	۳۶۳/۲۲۵	۳۶۳/۲۲۵	۳۶۳/۲۲۵	۲۸۵/۱۶۱	۲۸۵/۱۶۱	<i>a<sub>23-a<sub>30</sub></sub></i>				
۷۱/۶۱۳	۷۱/۶۱۳	۷۱/۶۱۳	۷۱/۶۱۳	۷۱/۶۱۳	۷۱/۶۱۳	<i>a<sub>31-a<sub>34</sub></sub></i>				
۷۱/۶۱۳	۷۱/۶۱۳	۷۱/۶۱۳	۷۱/۶۱۳	۷۱/۶۱۳	۷۱/۶۱۳	<i>a<sub>35-a<sub>36</sub></sub></i>				
۳۶۳/۲۲۵	۲۸۵/۱۶۱	۲۵۲/۲۵۸	۲۸۵/۱۶۱	۲۸۵/۱۶۱	۲۸۵/۱۶۱	<i>a<sub>37-a<sub>40</sub></sub></i>				
۳۶۳/۲۲۵	۳۶۳/۲۲۵	۳۶۳/۲۲۵	۳۶۳/۲۲۵	۳۶۳/۲۲۵	۳۶۳/۲۲۵	<i>a<sub>41-a<sub>48</sub></sub></i>				
۹۰/۹۶۸	۷۱/۶۱۳	۷۱/۶۱۳	۷۱/۶۱۳	۷۱/۶۱۳	۷۱/۶۱۳	<i>a<sub>49-a<sub>52</sub></sub></i>				
۷۱/۶۱۳	۹۰/۹۶۸	۷۱/۶۱۳	۹۰/۹۶۸	۷۱/۶۱۳	۷۱/۶۱۳	<i>a<sub>53-a<sub>54</sub></sub></i>				
۱۲۶/۴۵۱	۱۲۶/۴۵۱	۱۲۶/۴۵۱	۱۲۶/۴۵۱	۱۲۶/۴۵۱	۱۲۶/۴۵۱	<i>a<sub>55-a<sub>58</sub></sub></i>				

روش پیشنهادی MP	MHSMS	حالت ۲ ایده انصال HACOHSGA-T ACO	حالت ۲ ایده انصال فضای طراحی در GA	فشاره گروه
۳۶۳/۲۲۵	۳۶۳/۲۲۵	۳۶۳/۲۲۵	۳۶۳/۲۲۵	۳۶۳/۲۲۵ $a_{59}-a_{66}$
۲۵۲/۲۵۸	۲۵۲/۲۵۸	۲۵۲/۲۵۸	۲۵۲/۲۵۸	۲۵۲/۲۵۸ $a_{67}-a_{70}$
۳۶۳/۲۲۵	۳۸۸/۳۸۶	۳۸۸/۳۸۶	۲۵۲/۲۵۸	۲۸۵/۱۶۱ $a_{71}-a_{72}$
۱۷۷/۲۵	۱۷۶/۷۵۸	۱۷۶/۹۸۳	۱۷۷/۳۳۲	وزن - kg
۱۷۹/۵۵۲	--	--	--	-- میانگین

### الف-۹ بھینه یابی سطح مقطع خرپای مستوی ۲۰۰ میله‌ای

در این مثال به بھینه یابی خرپای مستوی ۲۰۰ میله‌ای بشرح شکل (الف-۱۶) پرداخته شده

است. مقادیر  $E$  و  $\rho$  به ترتیب برابر  $206842/8 \text{ MPa}$  و  $7833/412 \text{ kg/m}^3$  در نظر گرفته شده است.



شکل (الف-۱۶) - خرپای مستوی ۲۰۰ میله‌ای

اعضای سازه در ۲۹ گروه دسته‌بندی شده و تنها قید تنش برای کلیه اعضاي خرپا با مقدار مجاز  $\pm 68/9476 \text{ MPa}$  فرض شده است. بارهای مؤثر بر سازه در سه وضعیت به خرپا وارد می‌شوند. در وضعیت ۱ بار  $4/448 \text{ kN}$  به گره‌های ۱، ۱۵، ۶، ۴۸، ۴۳، ۳۴، ۲۹، ۲۰، ۵۷، ۶۲ و ۷۱ در جهت X وارد می‌شود. در وضعیت دوم بارگذاری، بار  $4/48 \text{ kN}$  به گره‌های ۱، ۲، ...، ۶، ۸، ۱۰، ۱۲، ۱۵، ۱۴، ...، ۲۰، ۲۲، ۲۴، ۲۵، ۲۶، ۷۳، ۷۴ و ۷۵ در جهت Y وارد می‌شود. وضعیت سوم نیز ترکیب وضعیت‌های ۱ و ۲ است. لیست مقاطع موجود برای بهینه‌یابی خرپای ۲۰۰ میله‌ای بشرح جدول (الف-۲۱) تعریف می‌شود.

**جدول (الف-۲۱) مجموعه لیست مقاطع برای خرپای مستوی ۲۰۰ میله‌ای**

شماره	$\text{mm}^2$	شماره	$\text{mm}^2$	شماره	$\text{mm}^2$	شماره	$\text{mm}^2$	شماره	$\text{mm}^2$	شماره	$\text{mm}^2$	شماره
۱	۶۴/۵۱۶	۷	۷۵۷/۴۱۷۸	۱۳	۱۸۰۶/۴۴۸	۱۹	۴۲۲۹/۹۹۱۵	۲۵	۹۲۱۹/۳۳۶۳	۲۵	۴۶۲۹/۹۹۰۷	۲۶
۲	۲۲۳/۸۷۰۵	۸	۸۵۹/۹۹۸۲	۱۴	۲۰۱۹/۹۹۵۹	۲۰	۴۶۲۹/۹۹۰۷	۲۶	۱۱۰۷۷/۳۹۷۲	۲۶	۵۴۹۹/۹۸۹	۲۷
۳	۲۸۳/۸۷۰۴	۹	۹۵۹/۹۹۸	۱۵	۲۲۹/۹۹۵۴	۲۱	۵۴۹۹/۹۸۹	۲۷	۱۲۲۷۴/۱۶۸۸	۲۷	۵۹۹۹/۹۸۸	۲۸
۴	۳۴۷/۷۴۱۲	۱۰	۱۱۳۸/۰۶۲۲	۱۶	۲۴۵۹/۹۹۵	۲۲	۵۹۹۹/۹۸۸	۲۸	۱۵۲۷۷/۳۸۸۷	۲۸	۶۹۹۹/۹۸۶	۲۹
۵	۶۱۵/۴۸۲۶	۱۱	۱۳۸۱/۹۳۲۷	۱۷	۳۰۹۹/۹۹۳۷	۲۳	۶۹۹۹/۹۸۶	۲۹	۱۸۱۱۶/۰۹۲۸	۲۹	۸۵۹۹/۹۸۲۸	۳۰
۶	۶۹۷/۴۱۷۹	۱۲	۱۷۳۹/۹۹۶۵	۱۸	۳۸۳۹/۹۹۲۳	۲۴	۸۵۹۹/۹۸۲۸	۳۰	۲۱۷۴۱/۸۹۲	۳۰		

نتایج مربوط به طرح بهینه برای خرپای ۲۰۰ میله‌ای بشرح جدول (الف-۲۲) براساس روش‌های مختلف پیشنهادی در قیاس با دیگر مراجع ارائه شده است.

**جدول (الف-۲۲) نتایج طرح بهینه خرپای ۲۰۰ میله‌ای براساس روش نوین ترکیباتی HACOHSGA-T**

شماره	شماره اعضا	مرجع [۸۸] روش پیشنهادی	مرجع [۳۰] روش پیشنهادی	شماره	شماره
HACOHSGA-T	MSM-GA	GA	GA	HACOHSGA-T	MSM-GA
۱	۴، ۳، ۲، ۱	--	۲۲۳/۸۷۰۵	۶۴/۵۱۶	۲۲۳/۸۷۰۵
۲	۱۷، ۱۴، ۱۱، ۸، ۵	--	۶۹۷/۴۱۷۹	۶۱۵/۴۸۲۶	۶۹۷/۴۱۷۹
۳	۲۴، ۲۳، ۲۲، ۲۱، ۲۰، ۱۹	--	۶۴/۵۱۶	۶۴/۵۱۶	۶۴/۵۱۶
۴	۱۷۰، ۱۳۹، ۱۳۲، ۱۰۱، ۹۴، ۶۳، ۵۶، ۲۵، ۱۸، ۱۷۷	--	۶۴/۵۱۶	۶۴/۵۱۶	۶۴/۵۱۶
۵	۳۸، ۳۵، ۳۲، ۲۹، ۲۶	--	۱۳۸۱/۹۳۲۷	۱۳۸۱/۹۳۲۷	۱۳۸۱/۹۳۲۷
۶	۳۱، ۳۰، ۲۸، ۲۷، ۱۶، ۱۵، ۱۳، ۱۲، ۱۰، ۹، ۷، ۶	--	۲۲۳/۸۷۰۵	۲۲۳/۸۷۰۵	۲۲۳/۸۷۰۵
	۳۷، ۳۶، ۳۴، ۳۳				

**ادامه جدول (الف-۲۲)**

HACOHSAGA-T	MSM-GA	GA	GA	مرجع [۸۸] روش پیشنهادی	مرجع [۳۰] روش پیشنهادی	شماره اعضا	شماره
۶۴/۵۱۶	۶۴/۵۱۶	۶۴/۵۱۶	--			۴۲، ۴۱، ۴۰، ۳۹	۷
۲۰۱۹/۹۹۵۹	۲۰۱۹/۹۹۵۹	۲۰۱۹/۹۹۵۹	--			۵۵، ۵۲، ۴۹، ۴۶، ۴۳	۸
۶۴/۵۱۶	۶۴/۵۱۶	۲۲۳/۸۷۰۵	--			۶۲، ۶۱، ۶۰، ۵۹، ۵۸، ۵۷	۹
۳۰۹۹/۹۹۳۷	۳۰۹۹/۹۹۳۷	۳۰۹۹/۹۹۳۷	--			۷۶، ۷۳، ۷۰، ۶۷، ۶۴	۱۰
۲۸۳/۸۷۰۴	۲۸۳/۸۷۰۴	۲۸۳/۸۷۰۴	--			۶۸، ۶۶، ۶۵، ۵۴، ۵۳، ۵۱، ۵۰، ۴۸، ۴۷، ۴۵، ۴۴ ۷۵، ۷۴، ۷۲، ۷۱، ۶۹	۱۱
۶۴/۵۱۶	۲۲۳/۸۷۰۵	۲۸۳/۸۷۰۴	--			۸۰، ۷۹، ۷۸، ۷۷	۱۲
۳۸۳۹/۹۹۲۳	۳۸۳۹/۹۹۲۳	۳۸۳۹/۹۹۲۳	--			۹۳، ۹۰، ۸۷، ۸۴، ۸۱	۱۳
۶۴/۵۱۶	۶۴/۵۱۶	۲۲۳/۸۷۰۵	--			۱۰۰، ۹۹، ۹۸، ۹۷، ۹۶، ۹۵	۱۴
۴۲۳۹/۹۹۱۵	۴۲۳۹/۹۹۱۵	۴۲۳۹/۹۹۱۵	--			۱۱۴، ۱۱۱، ۱۰۸، ۱۰۵، ۱۰۲	۱۵
۳۴۷/۷۴۱۲	۶۱۵/۴۸۲۶	۶۱۵/۴۸۲۶	--			۱۰۴، ۱۰۳، ۹۲، ۹۱، ۸۹، ۸۸، ۸۶، ۸۵، ۸۳، ۸۲ ۱۱۳، ۱۱۲، ۱۱۰، ۱۰۹، ۱۰۷، ۱۰۶	۱۶
۱۱۳۸/۰۶۲۲	۲۲۳/۸۷۰۵	۲۲۳/۸۷۰۵	--			۱۱۸، ۱۱۷، ۱۱۶، ۱۱۵	۱۷
۵۴۹۹/۹۸۹	۵۴۹۹/۹۸۹	۵۴۹۹/۹۸۹	--			۱۳۱، ۱۲۸، ۱۲۵، ۱۲۲، ۱۱۹	۱۸
۶۴/۵۱۶	۶۴/۵۱۶	۶۴/۵۱۶	--			۱۳۸، ۱۳۷، ۱۳۶، ۱۳۵، ۱۳۴، ۱۳۳	۱۹
۵۹۹۹/۹۸۸	۵۹۹۹/۹۸۸	۵۹۹۹/۹۸۸	--			۱۵۲، ۱۴۹، ۱۴۶، ۱۴۳، ۱۴۰	۲۰
۸۵۹/۹۹۸۲	۶۱۵/۴۸۲۶	۶۱۵/۴۸۲۶	--			۱۳۰، ۱۲۹، ۱۲۷، ۱۲۶، ۱۲۴، ۱۲۳، ۱۲۱، ۱۲۰ ۱۵۱، ۱۵۰، ۱۴۸، ۱۴۷، ۱۴۵، ۱۴۴، ۱۴۲، ۱۴۱	۲۱
۳۴۷/۷۴۱۲	۹۵۹/۹۹۸	۱۱۳۸/۰۶۲۲	--			۱۵۶، ۱۵۵، ۱۵۴، ۱۵۳	۲۲
۸۵۹۹/۹۸۲۸	۸۵۹۹/۹۸۲۸	۸۵۹۹/۹۸۲۸	--			۱۶۹، ۱۶۶، ۱۶۳، ۱۶۰، ۱۵۷	۲۳
۱۱۳۸/۰۶۲۲	۲۸۳/۸۷۰۴	۲۲۳/۸۷۰۵	--			۱۷۶، ۱۷۵، ۱۷۴، ۱۷۳، ۱۷۲، ۱۷۱	۲۴
۸۵۹۹/۹۸۲۸	۸۵۹۹/۹۸۲۸	۸۵۹۹/۹۸۲۸	--			۱۹۰، ۱۸۷، ۱۸۴، ۱۸۱، ۱۷۸	۲۵
۱۷۳۹/۹۹۶۵	۱۷۳۹/۹۹۶۵	۱۳۸۱/۹۳۲۷	--			۱۶۸، ۱۶۷، ۱۶۵، ۱۶۴، ۱۶۲، ۱۶۱، ۱۵۹، ۱۵۸ ۱۸۹، ۱۸۸، ۱۸۶، ۱۸۵، ۱۸۳، ۱۸۲، ۱۸۰، ۱۷۹	۲۶
۲۲۹/۹۹۵۴	۲۴۵۹/۹۹۵	۳۰۹۹/۹۹۳۷	--			۱۹۴، ۱۹۳، ۱۹۲، ۱۹۱	۲۷
۵۴۹۹/۹۸۹	۵۴۹۹/۹۸۹	۵۹۹۹/۹۸۸	--			۲۰۰، ۱۹۸، ۱۹۷، ۱۹۵	۲۸
۱۱۰۷۷/۳۹۷۲	۱۱۰۷۷/۳۹۷۲	۱۱۰۷۷/۳۹۷۲	--			۱۹۹، ۱۹۶	۲۹
۱۲۷۱۴/۲۸۵	۱۲۷۱۸/۰۷۷	۱۲۹۴۷/۳۴۷	۱۶۰۸۸۲/۰۷			وزن - kg	

**الف-۱۰- بهینه‌یابی پیکربندی خرپای ۱۰ میله‌ای**

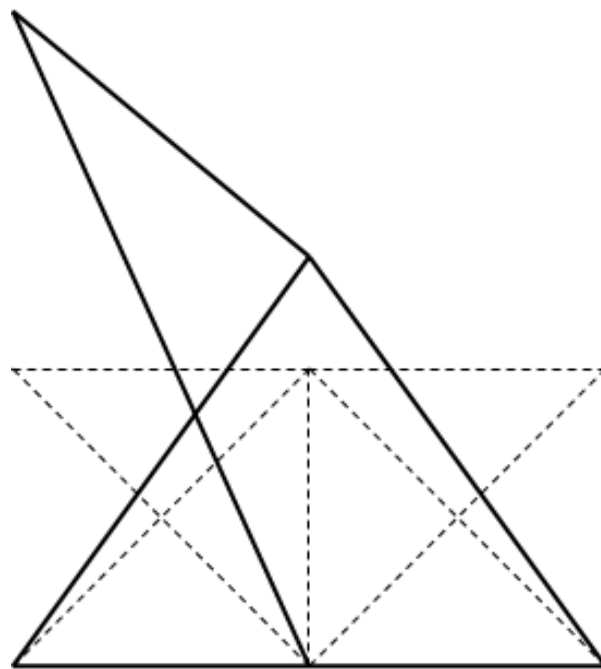
در این مثال به بهینه‌یابی سطح مقطع، توپولوژی و هندسه (پیکربندی) خرپای ۱۰ میله‌ای

پرداخته شده است. شکل (الف-۱) سازه موردنظر را نمایش داده و مقادیر بارهای اعمالی و مشخصات

مصالح مصرفی بشرح بخش الف-۲ در نظر گرفته می‌شود. مقادیر مجاز تنש‌های فشاری و کششی و نیز مقدار تغییرمکان مجاز گرهی نیز بشرح بخش الف-۲ منظور شده است. لیست مقاطع موجود بشرح جدول (الف-۱) تعریف شده و محدوده مجاز متغیرهای طراحی هندسی نیز با ضریب دقت  $25/4 \text{ cm}$  بشرح زیر در نظر گرفته می‌شود.

$$254 \text{ cm} < y_1 < 457.2 \text{ cm}, \quad 254 \text{ cm} < y_3 < 457.2 \text{ cm}, \quad 254 \text{ cm} < y_5 < 457.2 \text{ cm}$$

نتایج عددی طرح بهینه سطح مقطع اعضای سازه مذکور به همراه نتایج دیگر مراجع در جدول (الف-۲۳) و طرح بهینه توپولوژی و هندسی بشرح شکل (الف-۱۷) ارائه شده است.



شکل (الف-۱۷) - طرح بهینه توپولوژی و هندسی خرپای ۱۰ میله‌ای

جدول (الف-۲۳) نتایج طرح بهینه پیکربندی خرپای ۱۰ میله‌ای براساس روش MHSM

MHSM	مرجع [۷۲]	مرجع [۷۱]	مرجع [۷۵]	شماره گروه
۸۷/۱	۷۴/۱۹	۸۷/۱	۶۳/۸۷۱	$a_1 - \text{cm}^2$
--	--	--	۶۰/۶۴۵	$a_2 - \text{cm}^2$
۷۴/۱۹	۷۴/۱۹	۵۱/۴۲	۷۴/۱۹	$a_3 - \text{cm}^2$
۴۶/۵۸	۳۷/۰۳	۴۶/۵۸	۹/۶۷۷	$a_4 - \text{cm}^2$
--	--	۱۰/۴۵	--	$a_5 - \text{cm}^2$
--	--	--	۷۷/۴۲	$a_6 - \text{cm}^2$
<hr/>				

ادامه جدول (الف-۲۳)					شماره گروه
MHSM	مرجع [۷۲]	مرجع [۷۱]	مرجع [۷۵]		
۳۷/۰۳	۳۷/۰۳	۲۸/۹۷	۷۴/۱۹	$a_7 - cm^2$	
۲۱/۸۱	۲۴/۷۷	۲۰/۱۹	۲۳/۲۲۶	$a_8 - cm^2$	
۷۴/۱۹	۸۷/۱	۸۷/۱	--	$a_9 - cm^2$	
--	--	--	۶۷/۰۹۷	$a_{10} - cm^2$	
--	--	--	۴۷۳/۷۱	$y_1 - cm$	
۱۲۶۰/۸	۱۲۸۶/۳۰۸	۱۳۴۰/۸۶۶	۱۴۰۸/۴۳	$y_3 - cm$	
۲۰۱۵/۱۲۴	۲۰۰۵/۹۱۶	۲۲۵۷/۵۵۲	۱۹۹۸/۷۲۶	$y_5 - cm$	
۱۲/۰۸۳	۱۲/۱۱۳	۱۲/۵۱۶	۱۴/۴۷۴	وزن - $kN$	

### الف-۱۱ بهینه‌یابی پیکربندی خرپای فضایی ۲۵ میله‌ای

در این مثال به بهینه‌یابی سطح مقطع، تopolوژی و هندسه خرپای فضایی ۲۵ میله‌ای پرداخته می‌شود. این سازه در شکل (الف-۳) قابل مشاهده است. برای تمامی اعضای خرپا،  $E$  و  $\gamma$  به ترتیب برابر  $10^4 MPa$  و  $6/895 \times 10^4 N/cm^3$  فرض می‌شود. اعضای سازه مذکور در ۸ گروه بشرح جدول (الف-۴) دسته‌بندی شده و مقدار تنش مجاز کششی و فشاری برای تمامی اعضا برابر  $MPa 275/8 \pm 275/8$  و تغییر مکان مجاز گرهی برای تمامی گرهات فعال سازه برابر  $cm 0/89$  در نظر گرفته می‌شود. بارهای وارد بر سازه در یک وضعیت بشرح جدول (الف-۴) تعریف شده است.

جدول (الف-۴) بارگذاری مؤثر بر خرپای فضایی ۲۵ میله‌ای

شماره گره	نیرو در جهت X	نیرو در جهت Y	نیرو در جهت Z	شماره گردهای مؤثر بر خرپای فضایی ۲۵ میله‌ای
۱	۴/۴۵۴	-۴۴/۵۳۷	-۴۴/۵۳۷	
۲	--	-۴۴/۵۳۷	-۴۴/۵۳۷	
۳	۲/۲۲۷	--	--	
۶	۲/۶۷۲	--	--	

لیست مقاطع به صورت مجموعه  $\{S\}$  بشرح زیر در نظر گرفته می‌شود.

$$\{S\} = \{0.645 \times I (I=1, \dots, 26), 18.064, 19.335, 20.645, 21.935\}; cm^2$$

محدوده مجاز متغیرهای طراحی هندسی نیز با ضریب دقت  $0/۰۲۵۴ cm$  بشرح زیر تعریف می‌شود.

$$50.8 \text{ cm} < x_4 = x_5 = -x_3 = -x_6 < 152.4 \text{ cm} , \quad 101.6 \text{ cm} < x_8 = x_9 = -x_7 = -x_{10} < 203.2 \text{ cm}$$

$$101.6 \text{ cm} < y_3 = y_4 = -y_5 = -y_6 < 203.2 \text{ cm} , \quad 254 \text{ cm} < y_7 = y_8 = -y_9 = -y_{10} < 355.6 \text{ cm}$$

$$228.6 \text{ cm} < z_3 = z_4 = z_5 = z_6 < 330.2 \text{ cm}$$

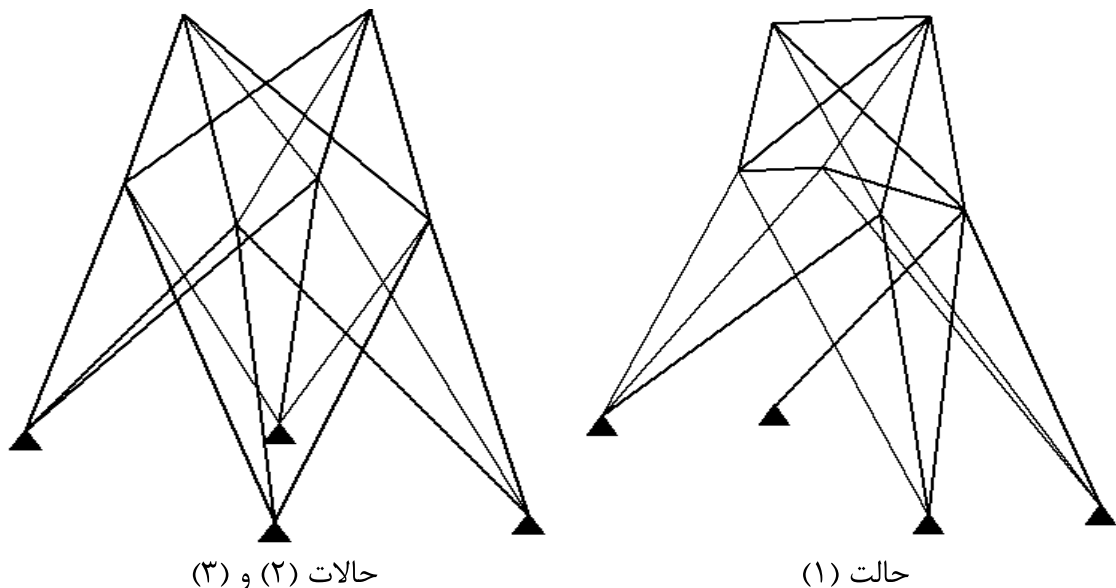
در این مثال فرآیند بهینه‌یابی در سه حالت انجام شده است. در حالت (۱)، امکان حذف هر عضو در فرآیند بهینه‌یابی توپولوژی در نظر گرفته شده است. در اکثر مقالات فرآیند بهینه‌یابی توپولوژی برای هر گروه در نظر گرفته می‌شود که امکان تولید طرح‌های ناپایدار را بواسطه حذف هر گروه افزایش می‌دهد. بدین ترتیب برای حالت (۲)، فرضیات مسئله دقیقاً مشابه دیگر مراجع در نظر گرفته شده است و امکان حذف هر گروه در فرآیند بهینه‌یابی توپولوژی لحاظ شده است. این مسئله سبب ایجاد طرح بهینه با اشکال منظم‌تر می‌شود. در حالت (۳)، بازه نقاط گرهی برای متغیرهای هندسی به استناد نقاط بهینه حاصل از حالت (۲)، بشرح زیر تغییر داده شده و مجدداً فضای طراحی با بازه‌های جدید برای متغیرهای هندسی، به صورت دقیق‌تر مورد کاوش قرار گرفته است.

$$190.5 \text{ cm} < x_4 = x_5 = -x_3 = -x_6 < 292.1 \text{ cm} , \quad 254 \text{ cm} < x_8 = x_9 = -x_7 = -x_{10} < 355.6 \text{ cm}$$

$$355.6 \text{ cm} < y_3 = y_4 = -y_5 = -y_6 < 457.2 \text{ cm} , \quad 838.2 \text{ cm} < y_7 = y_8 = -y_9 = -y_{10} < 939.8 \text{ cm}$$

$$675.64 \text{ cm} < z_3 = z_4 = z_5 = z_6 < 777.24 \text{ cm}$$

نتایج حاصل از طرح بهینه در اشکال (الف-۱۸) و جدول (الف-۲۵) قابل مشاهده است.



شکل (الف-۱۸)-طرح بهینه توپولوژی و هندسی خربای ۲۵ میله‌ای در حالات مختلف براساس روش MHSM

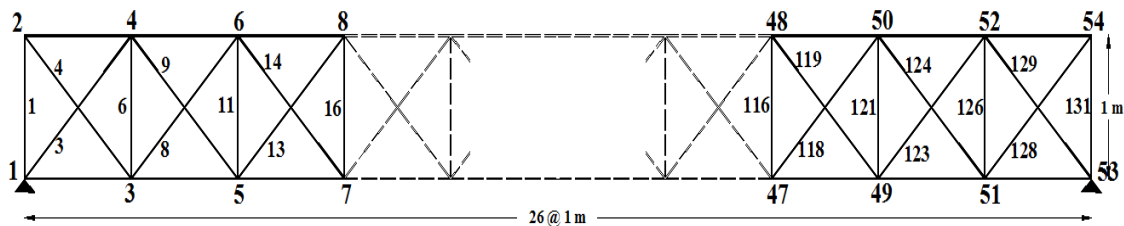
جدول (الف-۲۵) نتایج طرح بهینه پیکربندی خرپای ۲۵ میله‌ای براساس روش MHSM

MHSM							شماره گروه
حالت (۳)	حالت (۲)	حالت (۱)	مرجع [۷۲]	مرجع [۷۱]	مرجع [۷۰]		
--	--	۰/۶۴۵	--	--	۰/۶۴۵	$a_1 - cm^2$	
۰/۶۴۵	۰/۶۴۵	--	۰/۶۴۵	۰/۶۴۵	۱/۲۹	$a_2 - cm^2$	
۰/۶۴۵	۰/۶۴۵	۵/۱۶	۰/۶۴۵	۰/۶۴۵	۱/۲۹	$a_3 - cm^2$	
۰/۶۴۵	۰/۶۴۵	۵/۱۶	۰/۶۴۵	۰/۶۴۵	۱/۲۹	$a_4 - cm^2$	
۰/۶۴۵	۰/۶۴۵	۵/۱۶	۰/۶۴۵	۰/۶۴۵	۱/۲۹	$a_5 - cm^2$	
۶/۴۵	۵/۸۰۵	۳/۸۷	۵/۸۰۵	۵/۸۰۵	۷/۰۹۵	$a_6 - cm^2$	
۶/۴۵	۵/۸۰۵	۳/۸۷	۵/۸۰۵	۵/۸۰۵	۷/۰۹۵	$a_7 - cm^2$	
۶/۴۵	۵/۸۰۵	۳/۸۷	۵/۸۰۵	۵/۸۰۵	۷/۰۹۵	$a_8 - cm^2$	
۶/۴۵	۵/۸۰۵	۳/۸۷	۵/۸۰۵	۵/۸۰۵	۷/۰۹۵	$a_9 - cm^2$	
--	--	--	--	--	۱/۲۹	$a_{10} - cm^2$	
--	--	۰/۶۴۵	--	--	۱/۲۹	$a_{11} - cm^2$	
--	--	۰/۶۴۵	--	--	۱/۹۳۵	$a_{12} - cm^2$	
--	--	--	--	--	۱/۹۳۵	$a_{13} - cm^2$	
۰/۶۴۵	۰/۶۴۵	۰/۶۴۵	۰/۶۴۵	۰/۶۴۵	۰/۶۴۵	$a_{14} - cm^2$	
۰/۶۴۵	۰/۶۴۵	۰/۶۴۵	۰/۶۴۵	۰/۶۴۵	۰/۶۴۵	$a_{15} - cm^2$	
۰/۶۴۵	۰/۶۴۵	۰/۶۴۵	۰/۶۴۵	۰/۶۴۵	۰/۶۴۵	$a_{16} - cm^2$	
۰/۶۴۵	۰/۶۴۵	۰/۶۴۵	۰/۶۴۵	۰/۶۴۵	۰/۶۴۵	$a_{17} - cm^2$	
۰/۶۴۵	۰/۶۴۵	--	۰/۶۴۵	۰/۶۴۵	۱/۲۹	$a_{18} - cm^2$	
۰/۶۴۵	۰/۶۴۵	۱/۲۹	۰/۶۴۵	۰/۶۴۵	۱/۲۹	$a_{19} - cm^2$	
۰/۶۴۵	۰/۶۴۵	۱/۲۹	۰/۶۴۵	۰/۶۴۵	۱/۲۹	$a_{20} - cm^2$	
۰/۶۴۵	۰/۶۴۵	۱/۲۹	۰/۶۴۵	۰/۶۴۵	۱/۲۹	$a_{21} - cm^2$	
۵/۸۰۵	۶/۴۵	۵/۸۰۵	۶/۴۵	۶/۴۵	۵/۸۰۵	$a_{22} - cm^2$	
۵/۸۰۵	۶/۴۵	--	۶/۴۵	۶/۴۵	۵/۸۰۵	$a_{23} - cm^2$	
۵/۸۰۵	۶/۴۵	۵/۸۰۵	۶/۴۵	۶/۴۵	۵/۸۰۵	$a_{24} - cm^2$	
۵/۸۰۵	۶/۴۵	۵/۸۰۵	۶/۴۵	۶/۴۵	۵/۸۰۵	$a_{25} - cm^2$	
۹۸/۷۱۵۸	۹۸/۸۵۸۳	۵۰/۸	۹۸/۵۲۹۹	۱۰۱/۳۷۱	۱۰۴/۳۱۸	$x_4 - cm$	
۱۶۰/۰۰۹۶	۱۵۳/۶۵۲۷	۱۵۲/۴۱۲	۱۶۷/۹۲۲	۱۵۷/۴۵۵	۱۳۵/۸۱۴	$y_4 - cm$	
۲۹۹/۷۶۶۵	۳۰۵/۶۱۲۵	۳۱۱/۱۴۵	۲۸۶/۹۶۶	۳۰۰/۳۰۴	۳۱۶/۴۸۴	$z_4 - cm$	
۱۳۰/۰۱۴۴	۱۲۷/۰۰۶۱	۱۰۵/۲۷۱۸	۱۲۳/۹۳۳	۱۳۴/۹۵	۱۲۹/۰۳۲	$x_8 - cm$	
۳۵۵/۴۸۱۱	۳۴۹/۶۷۰۱	۳۵۰/۳۱۵	۳۵۲/۷۸۳۱	۳۵۱/۷۶۴	۳۳۳/۹۶	$y_8 - cm$	
۵۰۴/۹۰۹	۵۰۸/۹۶۵	۴۹۷/۹۸۱	۵۰۸/۷۴۳	۵۱۰/۳۸۸	۶۰۵/۸۴۷	وزن	

## الف-۱۲ بهینه‌یابی پیکربندی خرپای ۱۳۱ میله‌ای

برای بهینه‌یابی سطح مقطع، توپولوژی و هندسه خرپای ۱۳۱ میله‌ای سازه اولیه‌ای مشابه شکل

(الف-۱۹) در نظر گرفته شده است.



شکل (الف-۱۹) - سازه مبنا خرپای ۱۳۱ میله‌ای

برای این مسئله مقادیر تنش مجاز فشاری و کششی و نیز تغییرمکان مجاز گرهی بر طبق آییننامه

AISC-ASD در نظر گرفته شده است [۸۹]. بر اساس این آییننامه تنش مجاز فشاری بشرح روابط

زیر تعریف می‌شود:

در حالتی که  $\lambda_{max} < C_c$  است.

$$\sigma_{all(com)} = \left( F_y \left[ 1 - \frac{\lambda_{max}^2}{2C_c^2} \right] \right) / \left( \frac{5}{3} + \frac{3\lambda_{max}}{8C_c} - \frac{\lambda_{max}^3}{8C_c} \right) \quad (\text{الف-۱})$$

و در صورتی که  $\lambda_{max} \geq C_c$  است.

$$\sigma_{all(com)} = \frac{12\pi^2 E}{23\lambda_{max}^2} \quad (\text{الف-۲})$$

در روابط فوق  $F_y$  برابر  $2400 \text{ kg/cm}^2$  لحاظ شده است.  $\lambda_{max}$  لاغری حداکثر است که برای عضو

فساری حول محورهای X و Y بشرح رابطه (الف-۳) محاسبه می‌شود.

$$\lambda_{max} = l/r_i \quad i = X, Y \quad (\text{الف-۳})$$

در رابطه فوق l طول عضو و  $r_i$  شعاع زیراسیون است. قید لاغری نیز برای اعضای سازه در روند طراحی

بهینه لحاظ شده است. بدین منظور ضریب لاغری برای اعضای فشاری برابر ۲۰۰ و برای

اعضای کششی برابر ۳۰۰ در نظر گرفته شده است.

در رابطه (الف-۱)،  $C_c$  لاغری مرزی بین کمانش ارجاعی و غیرارجاعی می‌باشد که بشرح

رابطه (الف-۴) محاسبه می‌شود.

$$C_c = \sqrt{\frac{2\pi^2 E}{F_y}} \quad (\text{الف-۴})$$

از سوی دیگر براساس آییننامه، مقدار تنش مجاز کششی بشرح رابطه (الف-۵) تعیین خواهد شد.

$$\sigma_{all(Ten)} = 0.6F \quad (\text{الف-۵})$$

مقدار تغییرمکان مجاز گرهی نیز برای خرپای ۱۳۱ میله‌ای برابر  $cm 10/83$  در نظر گرفته می‌شود.

بار اعمالی به سازه به صورت گستردۀ بوده و با مقدار  $kN/m 17/5$  - بر اعضا فوکانی سازه وارد

می‌شود.  $E$  و  $\rho$  نیز بترتیب برابر  $kg/cm^2 203890 1/2$  و  $kg/cm^3 785 0/00$  در نظر گرفته خواهد شد.

در فرآیند طراحی بهینه خرپای ۱۳۱ میله‌ای، برای نیل به اهداف اجرایی و زیبایی سازه، کلیه

متغیرهای طراحی به نحوی گروه‌بندی می‌شوند که طرح نهایی متقارن باشد. برای این منظور مبنای

سازه در گره وسط (گره ۲۷) در نظر گرفته شده است. بدینسان سازه از وسط دارای تقارن می‌باشد.

در این راستا متغیرهای طراحی سطح‌قطع در ۶۶ گروه دسته‌بندی می‌شوند که تمامی گروه‌ها دارای

دو عضو بوده و تنها آخرین گروه دارای یک عضو است که مربوط به عضو قائم واصل بین گره‌های ۲۷

و ۲۸ است. برای هر گروه یک متغیر توپولوژی در نظر گرفته می‌شود. هر متغیر طراحی سطح‌قطع

نیز متناسب با موقعیت براساس لیست مقاطع  $\{S_1\}$  و  $\{S_2\}$  مقداردهی خواهد شد. برای این منظور

اعضا فوکانی و تحتانی براساس لیست مقاطع  $\{S_1\}$  و اعضای مورب و قائم براساس لیست مقاطع

$\{S_2\}$  مقداردهی می‌شود. لیست مقاطع  $\{S_1\}$  و  $\{S_2\}$  بشرح زیر در نظر گرفته شده است.

$$\{S_1\} = \{2UNP80, 2UNP100, 2UNP120, 2UNP140, 2UNP160, 2UNP180, 2UNP200, \\ 2UNP220, 2UNP240\}$$

$$\{S_2\} = \{UNP80, UNP100, UNP120, UNP140, 2UNP80, 2UNP180, 2UNP100, \\ 2UNP120, 2UNP140, 2UNP160\}$$

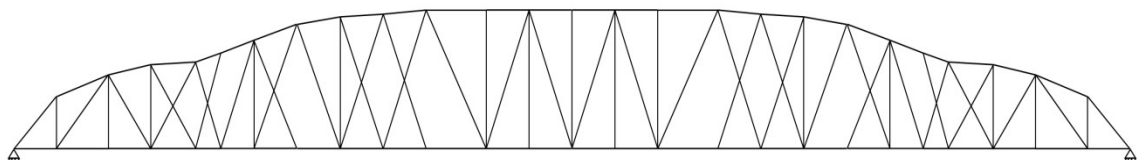
از سوی دیگر متغیرهای طراحی هندسی نیز متناسب با تقارن سازه در ۱۳ گروه دسته‌بندی شده و

محدوده مجاز برای هر یک با ضریب دقت  $cm 1$  بشرح زیر تعریف می‌شوند.

$-1340 \text{ cm} < x_2 = x_{54} < -1260 \text{ cm}$  ,  $-1240 \text{ cm} < x_3 = x_4 = -x_{51} = -x_{52} < -1160 \text{ cm}$   
 $-1140 \text{ cm} < x_5 = x_6 = -x_{49} = -x_{50} < -1060 \text{ cm}$   
 $-1040 \text{ cm} < x_7 = x_8 = -x_{47} = -x_{48} < -960 \text{ cm}$   
 $-940 \text{ cm} < x_9 = x_{10} = -x_{45} = -x_{46} < -860 \text{ cm}$   
 $-840 \text{ cm} < x_{11} = x_{12} = -x_{43} = -x_{44} < -760 \text{ cm}$   
 $-740 \text{ cm} < x_{13} = x_{14} = -x_{41} = -x_{42} < -660 \text{ cm}$   
 $-640 \text{ cm} < x_{15} = x_{16} = -x_{39} = -x_{40} < -560 \text{ cm}$   
 $-540 \text{ cm} < x_{17} = x_{18} = -x_{37} = -x_{38} < -460 \text{ cm}$   
 $-440 \text{ cm} < x_{19} = x_{20} = -x_{35} = -x_{36} < -360 \text{ cm}$   
 $-340 \text{ cm} < x_{21} = x_{22} = -x_{33} = -x_{34} < -260 \text{ cm}$   
 $-240 \text{ cm} < x_{23} = x_{24} = -x_{31} = -x_{32} < -160 \text{ cm}$   
 $-140 \text{ cm} < x_{25} = x_{26} = -x_{29} = -x_{30} < -60 \text{ cm}$  ,  $50 \text{ cm} < y_2 = y_{54} < 150 \text{ cm}$

لازم به ذکر است که در روند طراحی بهینه خرپای ۱۳۱ میله‌ای، برای رسیدن به طرحی اجرایی‌تر، مختصات گرهی اعضای فوکانی در راستای محور قائم، براساس شیب مثبت هر عضو نسبت به افق تعیین می‌شوند. بدین ترتیب در پیکربندی طرح نهایی، شیب هیچ یک از اعضای فوکانی نسبت به افق منفی نخواهد شد و طرحی اجرایی حاصل می‌گردد. در این راستا متغیرهای طراحی شیب با ضریب دقت ۱ درجه دارای محدوده مجاز صفر تا ۳۰ درجه بوده و براساس تقارن سازه نسبت به وسط خرپا در ۱۴ گروه دسته‌بندی می‌شوند.

شکل (الف-۲۰) طرح بهینه توپولوژی، هندسه و شیب را برای خرپای ۱۳۱ میله‌ای، نشان می‌دهد.



شکل (الف-۲۰) - طرح بهینه خرپای ۱۳۱ میله‌ای

نتایج حاصل برای مقادیر متغیرهای طراحی سطح مقطع، هندسه و شیب در جدول (الف-۲۶) قابل مشاهده است.

جدول (الف-۲۶) نتایج طرح بهینه پیکربندی خرپای ۱۳۱ میله‌ای براساس روش MHSM

متغیر طراحی هندسی و شبیه				متغیر طراحی تپیلوژی و سطح مقطع					
--	$y_2$	--	$x_2$	2UNP160	$a_{45}$	UNP80	$a_{23}$	--	$a_1$
۸۸/۷۶	$y_4$	-۱۲۰۱	$x_4$	--	$a_{46}$	UNP80	$a_{24}$	2UNP80	$a_2$
۱۲۵/۶۶۶	$y_6$	-۱۰۸۰	$x_6$	2UNP80	$a_{47}$	2UNP140	$a_{25}$	2UNP100	$a_3$
۱۴۳/۱۲۲	$y_8$	-۹۸۱	$x_8$	UNP80	$a_{48}$	--	$a_{26}$	--	$a_4$
۱۴۶/۷۸۸	$y_{10}$	-۸۷۶	$x_{10}$	UNP80	$a_{49}$	2UNP80	$a_{27}$	--	$a_5$
۱۶۲/۵۹۷	$y_{12}$	-۸۱۷	$x_{12}$	2UNP160	$a_{50}$	UNP80	$a_{28}$	2UNP80	$a_6$
۱۸۳/۲۲۸	$y_{14}$	-۷۴۰	$x_{14}$	--	$a_{51}$	--	$a_{29}$	2UNP100	$a_7$
۲۱۰/۰۲۲	$y_{16}$	-۶۴۰	$x_{16}$	2UNP80	$a_{52}$	2UNP160	$a_{30}$	UNP140	$a_8$
۲۲۲/۳	$y_{18}$	-۵۴۰	$x_{18}$	--	$a_{53}$	UNP80	$a_{31}$	--	$a_9$
۲۲۷/۵۴۱	$y_{20}$	-۴۴۰	$x_{20}$	UNP80	$a_{54}$	2UNP80	$a_{32}$	2UNP80	$a_{10}$
۲۳۴/۵۳۴	$y_{22}$	-۳۴۰	$x_{22}$	2UNP160	$a_{55}$	UNP80	$a_{33}$	UNP80	$a_{11}$
۲۳۴/۵۳۴	$y_{24}$	-۲۰۰	$x_{24}$	UNP80	$a_{56}$	UNP80	$a_{34}$	2UNP80	$a_{12}$
۲۳۴/۵۳۴	$y_{26}$	-۱۰۰	$x_{26}$	2UNP80	$a_{57}$	2UNP160	$a_{35}$	--	$a_{13}$
۲۲۳۸۱/۳۷	وزن سازه (kg)			UNP80	$a_{58}$	--	$a_{36}$	UNP80	$a_{14}$
				--	$a_{59}$	2UNP80	$a_{37}$	2UNP120	$a_{15}$
				2UNP160	$a_{60}$	--	$a_{38}$	UNP80	$a_{16}$
				UNP80	$a_{61}$	UNP80	$a_{39}$	2UNP80	$a_{17}$
				2UNP80	$a_{62}$	2UNP160	$a_{40}$	2UNP80	$a_{18}$
				--	$a_{63}$	UNP80	$a_{41}$	UNP80	$a_{19}$
				UNP80	$a_{64}$	2UNP80	$a_{42}$	2UNP120	$a_{20}$
				2UNP160	$a_{65}$	UNP80	$a_{43}$	--	$a_{21}$
				UNP80	$a_{66}$	UNP80	$a_{44}$	2UNP80	$a_{22}$

### الف-۱۳ بهینه‌یابی سطح مقطع برج فولادی ۹۴۲ میله‌ای

در این مثال به طراحی بهینه سطح مقطع برج فولادی ۹۴۲ میله‌ای (۲۶ طبقه) مطابق شکل

(الف-۲۱) پرداخته شده است. برای کلیه اعضای سازه  $E$ ,  $\rho$  و  $F_y$  به ترتیب برابر  $2038936 \text{ kg/cm}^2$

و  $2531 \text{ kg/cm}^2$  لحاظ شده است. تغییرمکان مجاز کلیه گره‌های فعل سازه در

تمام جهات برابر  $38/1 \text{ cm}$  فرض شده است. مقادیر مجاز تنش‌های فشاری و کششی نیز براساس آین

نامه AISD-ASD مطابق روابط (الف-۱)، (الف-۲) و (الف-۵) تعیین می‌شود [۸۹]. از سوی دیگر

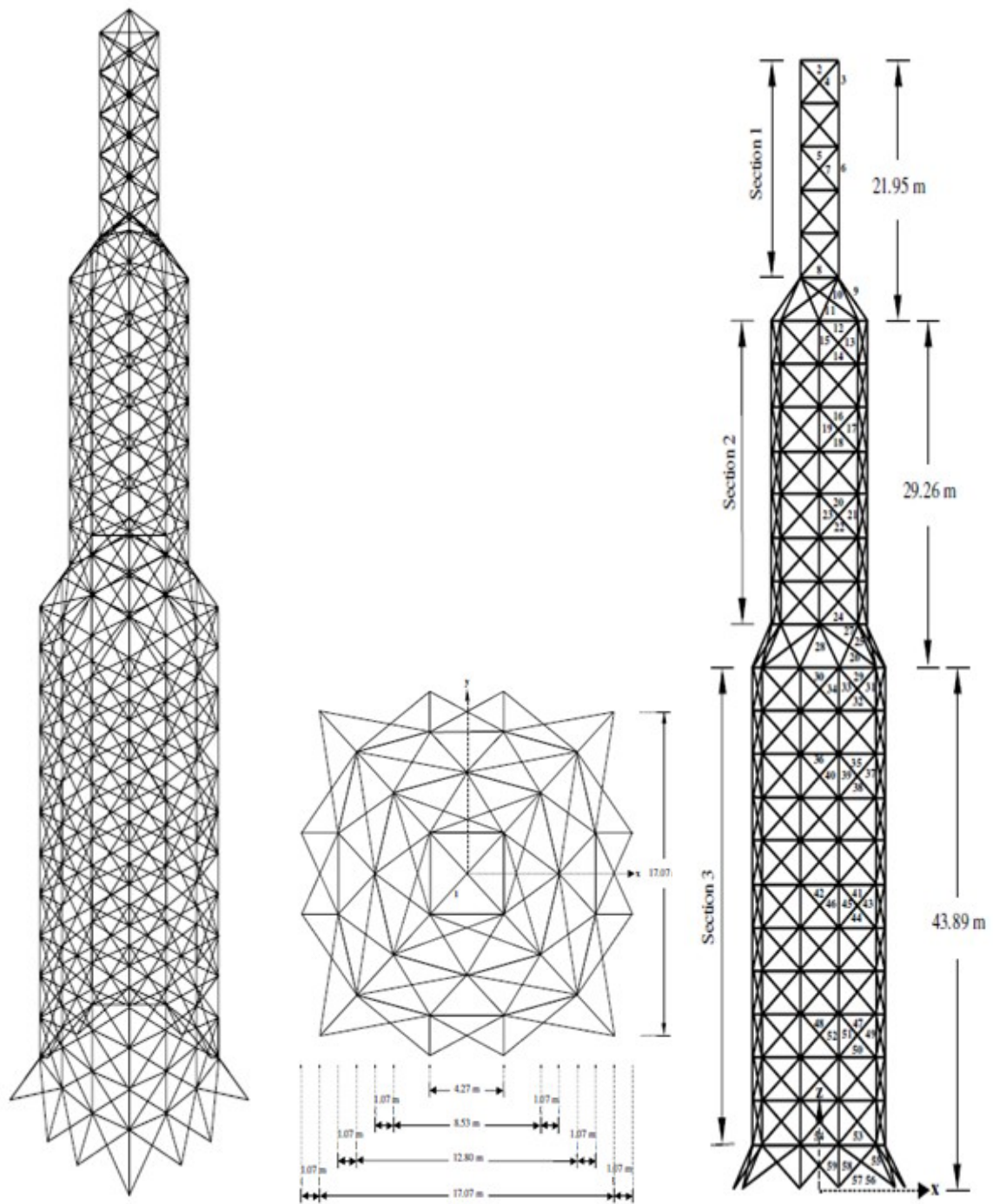
اعضای سازه در ۵۹ گروه بشرح شکل (الف-۲۱) دسته‌بندی شده و برای فرآیند طراحی بهینه از لیست ۲۹۵ تایی مقاطع W بشرح جدول (الف-۲۷) استفاده می‌شود [۸۹].

جدول (الف-۲۷) اعضای لیست مقاطع بر طبق آیین‌نامه AISC-ASD برای برج ۹۴۲ میله‌ای

S <sub>y</sub> - cm <sup>3</sup>	I <sub>y</sub> - cm <sup>4</sup>	S <sub>x</sub> - cm <sup>3</sup>	I <sub>x</sub> - cm <sup>4</sup>	A - cm <sup>2</sup>	نام مقطع	شماره
۱۳۶۰/۱۲۶	۲۰۳۹۵/۳۴	۱۸۳۵۳/۵۱۱	۱۰۲۳۹۲۹/۳۰۷	۵۴۰/۶۴۴	W 44 x 285	۱
۱۲۱۲/۶۴۲	۱۸۱۰۶/۰۶۷	۱۶۱۰۸/۴۸۴	۸۹۰۷۳۵/۲۵۱	۴۶۹/۶۷۶	W 44 x 248	۲
⋮	⋮	⋮	⋮	⋮	⋮	⋮
۴۹/۱۶۱	۳۱۲/۵۸۹	۱۳۹/۴۵۴	۸۸۶/۵۷۳	۳۰/۱۹۳۴	W 5 x 16	۲۹۴
۳۱/۱۳۵	۱۶۰/۶۶۵	۸۹/۴۷۳	۴۷۰/۳۴۱	۲۴/۷۰۹۶	W 4 x 13	۲۹۵

سازه در معرض یک وضعیت بارگذاری قرار داشته و بر این اساس بارهای قائم و افقی به گرههای سازه اعمال می‌شود. بدین ترتیب بار قائم  $13/344 \text{ kN}$ - به گرههای بخش‌های<sup>۱</sup> ۱ و ۳ و بار قائم  $4/448 \text{ kN}$ - به گرههای بخش ۲ سازه در راستای محور Z اعمال شده و بار جانبی برابر  $4/448 \text{ kN}$  به کلیه گرههای فعال سازه در راستای محور Y وارد می‌شود. از سوی دیگر بار جانبی برابر با  $6/672 \text{ kN}$  به گرههای سمت چپ سازه و بار جانبی برابر با  $4/448 \text{ kN}$  به گرههای سمت راست سازه در راستای محور X اعمال می‌شود.

<sup>1</sup>. Sections



نمای سه بعدی

نمای بالا

نمای پهلو

شکل (الف-۲۱) - برج فولادی ۹۴۲ میله‌ای

نتایج مربوط به طرح بهینه برج فولادی ۹۴۲ میله‌ای در قیاس با دیگر مراجع در جدول

(الف-۲۸) قابل مشاهده می‌باشد.

جدول (الف-۲۸) نتایج طرح بهینه برج فولادی ۹۴۲ میله‌ای براساس روش  $cm^2$  – MHSM

MHSM	مرجع [۳۶]	مرجع [۹۰]	شماره گروه	MHSM	مرجع [۳۶]	مرجع [۹۰]	شماره گروه
۱۱۳/۵۴۸	۱۶۵/۱۶	۱۲۹/۰۳۲	۳۱	۱۷/۲۹	۱۷/۲۹	۴۱/۸۷	۱
۴۵/۶۷۷	۳۷/۸۷	۴۵/۶۷۷	۳۲	۱۷/۲۹	۱۷/۲۹	۱۷/۲۹	۲
۳۵/۷۴۱	۳۷/۸۷	۲۸/۵۸	۳۳	۱۷/۲۹	۱۷/۲۹	۱۷/۲۹	۳
۲۸/۵۸	۲۸/۵۸	۲۸/۵۸	۳۴	۲۸/۵۸	۲۸/۵۸	۲۸/۵۸	۴
۲۲/۹۰۳	۱۷/۲۹	۱۷/۲۹	۳۵	۱۷/۲۹	۱۷/۲۹	۱۷/۲۹	۵
۱۷/۲۹	۱۷/۲۹	۱۷/۲۹	۳۶	۲۸/۵۸	۲۸/۵۸	۳۵/۷۴۱	۶
۱۸۷/۷۴۱	۱۸۷/۷۴۱	۱۹۷/۴۱۸	۳۷	۲۸/۵۸	۲۸/۵۸	۳۰/۱۹۳	۷
۴۵/۶۷۷	۴۵/۶۷۷	۴۵/۶۷۷	۳۸	۱۷/۲۹	۱۷/۲۹	۴۱/۸۷	۸
۳۰/۱۹۳	۲۸/۵۸	۲۸/۵۸	۳۹	۴۵/۶۷۷	۳۷/۸۷	۹۴/۸۳۸	۹
۳۷/۸۷	۳۷/۸۷	۳۷/۸۷	۴۰	۴۵/۶۷۷	۴۵/۶۷۷	۴۵/۶۷۷	۱۰
۲۲/۹۰۳	۱۷/۲۹	۱۷/۲۹	۴۱	۲۸/۵۸	۲۸/۵۸	۲۸/۵۸	۱۱
۱۷/۲۹	۱۷/۲۹	۲۴/۷۰۹	۴۲	۱۷/۲۹	۱۷/۲۹	۱۷/۲۹	۱۲
۲۴۸/۳۸۶	۲۴۸/۳۸۶	۲۵۷/۴۱۸	۴۳	۴۵/۶۷۷	۳۷/۸۷	۴۱/۸۷	۱۳
۵۸/۹	۵۸/۹	۵۸/۹	۴۴	۲۸/۵۸	۲۸/۵۸	۲۸/۵۸	۱۴
۳۵/۷۴۱	۲۸/۵۸	۲۸/۵۸	۴۵	۲۸/۵۸	۲۴/۷۰۹	۳۰/۱۹۳	۱۵
۴۵/۶۷۷	۴۵/۶۷۷	۴۵/۶۷۷	۴۶	۱۷/۲۹	۱۷/۲۹	۱۷/۲۹	۱۶
۲۴/۷۰۹	۲۴/۷۰۹	۳۳/۹۳۵	۴۷	۵۳/۲۲۵	۵۳/۲۲۵	۵۳/۲۲۵	۱۷
۱۹/۰۹۶	۱۷/۲۹	۳۷/۸۷	۴۸	۲۸/۵۸	۲۸/۵۸	۲۸/۵۸	۱۸
۲۷۵/۴۸۳	۲۷۵/۴۸۳	۲۷۵/۴۸۳	۴۹	۲۸/۵۸	۲۸/۵۸	۲۸/۵۸	۱۹
۵۸/۹	۵۸/۹	۵۸/۹	۵۰	۱۷/۲۹	۱۷/۲۹	۱۷/۲۹	۲۰
۵۳/۲۲۵	۵۳/۲۲۵	۳۷/۸۷	۵۱	۶۶/۴۵۱	۶۶/۴۵۱	۶۶/۴۵۱	۲۱
۵۳/۲۲۵	۴۵/۶۷۷	۵۸/۹	۵۲	۳۷/۸۷	۳۷/۸۷	۳۷/۸۷	۲۲
۱۲۳/۲۲۵	۱۱۳/۵۴۸	۱۱۵/۴۸۳	۵۳	۴۵/۶۷۷	۴۷/۳۵۴	۵۸/۹	۲۳
۱۱۸/۰۶۴	۱۲۹/۶۷۷	۹۰/۹۶۷	۵۴	۷۲/۲۵۷	۶۶/۴۵۱	۷۶/۱۲۸	۲۴
۲۷۵/۴۸۳	۲۵۰/۳۲۲	۲۲۷/۷۴۱	۵۵	۹۲/۹۰۳	۹۲/۹۰۳	۱۱۰/۳۲۲	۲۵
۵۸/۹	۶۶/۴۵۱	۵۸/۹	۵۶	۵۸/۹	۵۸/۹	۶۲/۶۴۵	۲۶
۱۲۳/۲۲۵	۱۴۹/۶۷۷	۱۸۹/۶۷۷	۵۷	۳۷/۸۷	۲۸/۵۸	۲۸/۵۸	۲۷
۴۵/۶۷۷	۴۵/۶۷۷	۶۲/۶۴۵	۵۸	۴۵/۶۷۷	۴۵/۶۷۷	۴۹/۳۵۴	۲۸
۱۰۰/۶۴۴	۶۶/۴۵۱	۶۲/۶۴۵	۵۹	۴۵/۶۷۷	۴۹/۶۱۲	۴۵/۶۷۷	۲۹
			۴۱/۸۷	۳۹/۷۴۱	۴۱/۸۷	۳۰	

۲۲۴۰۵۸۱۷/۹۴ ۲۱۹۹۷۱۷۷ ۲۲۸۳۶۹۳۸/۶۵

$cm^3$  – حجم

## الف-۱۴ بهینه‌یابی سطح مقطع برج فولادی ۵۸۲ میله‌ای

در این مثال به ارزیابی فرآیند بهینه‌یابی سطح مقطع برج فولادی ۵۸۲ میله‌ای با ۸۰ متر ارتفاع مطابق شکل (الف-۲۲) پرداخته شده است. براساس تقارن سازه حول محورهای X و Y، اعضای سازه

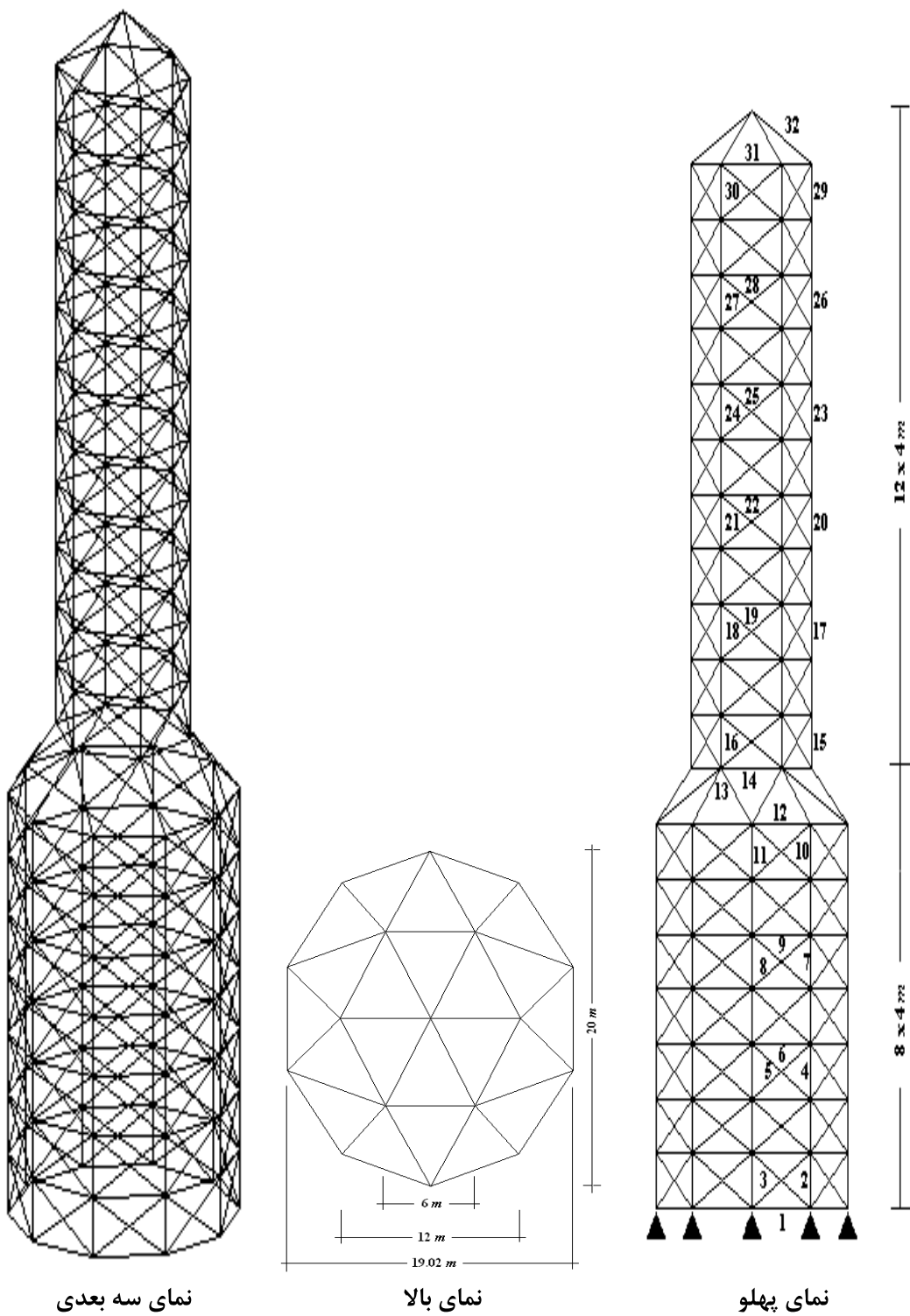
در ۳۲ گروه بشرح شکل (الف-۲۲) دسته‌بندی می‌شوند.

بارهای وارد بر سازه در یک وضعیت تعريف شده است که شامل یک بار  $kN$  در جهات X و Y و نیز یک بار  $kN$ -۳۰ در جهت Z وارد بر تمامی گره‌های فعال سازه می‌باشد. لیست مقاطع موجود براساس مجموعه ۱۳۷ تایی مقاطع اقتصادی و استاندارد W شکل (W8 - W27) با حدود بالا و پایین

$$1387/0.9 \text{ cm}^2 \text{ و } 39/74 \text{ cm}^2$$

مقادیر تنش‌های فشاری و کششی مجاز بر طبق آیین‌نامه AISC-ASD در نظر گرفته شده است که براساس این آیین‌نامه تنش مجاز فشاری با استفاده از روابط (الف-۱) و (الف-۲) و تنش مجاز کششی با استفاده از رابطه (الف-۵) تعیین می‌شود. لاغری حداکثر ( $\lambda_{max}$ ) نیز حول محورهای X و Y بشرح رابطه (الف-۳) محاسبه شده و حداکثر ضریب لاغری برای اعضای فشاری ۲۰۰ و اعضای کششی ۳۰۰ منظور می‌شود [۸۹]. علاوه بر قیود فوق، قید تغییرمکان نیز با مقدار مجاز ۸ cm برای تمامی گره‌های فعال سازه در جهات X، Y و Z لحاظ شده است.

در فرآیند طراحی بهینه برج فولادی ۵۸۲ میله‌ای،  $E$  و  $F_y$  به ترتیب برابر  $203893/6 \text{ MPa}$  و  $253/1 \text{ MPa}$  در نظر گرفته شده است.



شکل (الف-۲۲) - برج فولادی ۵۸۲ میله‌ای

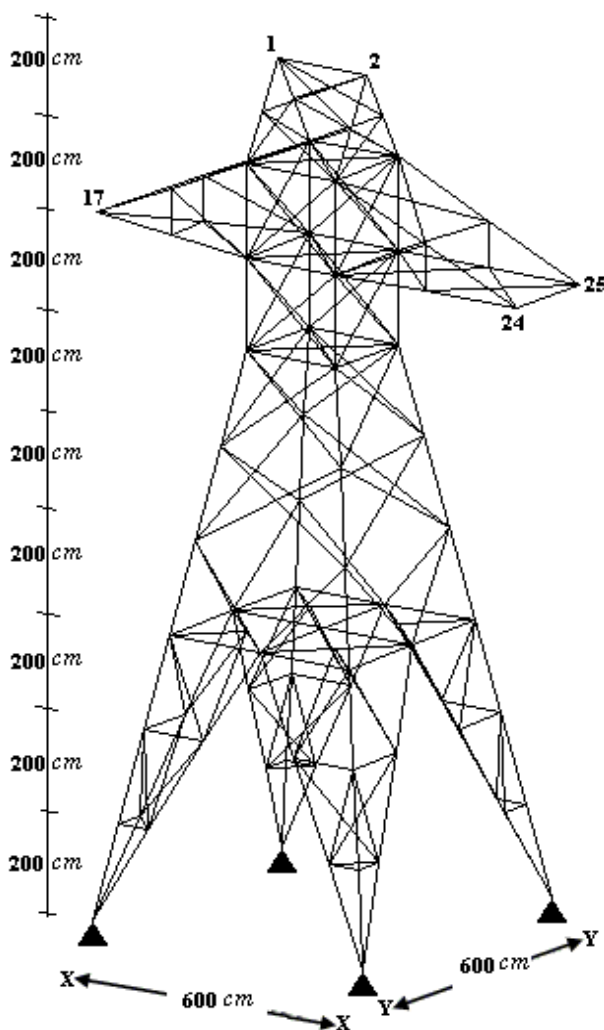
نتایج مربوط به طرح بهینه در قیاس با دیگر مراجع در جدول (الف-۲۹) قابل مشاهده است.

### جدول (الف-۲۹) نتایج طرح بهینه برج فولادی ۵۸۲ میله‌ای براساس روش MHSM

MHSM	[۵۴]	شماره گروه	مرجع [۳۵]	MHSM	[۵۴]	شماره گروه	مرجع [۳۵]
W21 x 62	W14 x 61	W8 x 21	۱۷	W8 x 21	W8 x 24	W8 x 21	۱
W8 x 24	W8 x 24	W16 x 67	۱۸	W12 x 72	W12 x 72	W12 x 79	۲
W8 x 21	W8 x 21	W8 x 24	۱۹	W8 x 28	W8 x 28	W8 x 24	۳
W8 x 40	W12 x 40	W8 x 21	۲۰	W10 x 54	W12 x 58	W10 x 60	۴
W8 x 24	W8 x 24	W8 x 40	۲۱	W8 x 24	W8 x 24	W8 x 24	۵
W8 x 21	W14 x 22	W8 x 24	۲۲	W8 x 21	W8 x 24	W8 x 21	۶
W12 x 26	W8 x 31	W8 x 21	۲۳	W10 x 49	W10 x 49	W8 x 48	۷
W8 x 24	W8 x 28	W10 x 22	۲۴	W8 x 24	W8 x 24	W8 x 24	۸
W8 x 21	W8 x 21	W8 x 24	۲۵	W8 x 21	W8 x 24	W8 x 21	۹
W8 x 21	W8 x 21	W8 x 21	۲۶	W8 x 40	W12 x 40	W10 x 45	۱۰
W8 x 24	W8 x 24	W8 x 21	۲۷	W8 x 24	W12 x 30	W8 x 24	۱۱
W8 x 21	W8 x 28	W8 x 24	۲۸	W12 x 72	W12 x 72	W10 x 68	۱۲
W8 x 21	W16 x 36	W8 x 21	۲۹	W18 x 76	W18 x 76	W14 x 74	۱۳
W8 x 24	W8 x 24	W8 x 21	۳۰	W10 x 49	W10 x 49	W8 x 48	۱۴
W8 x 21	W8 x 21	W8 x 24	۳۱	W14 x 82	W14 x 82	W18 x 76	۱۵
W8 x 24	W8 x 24	W8 x 24	۳۲	W8 x 31	W8 x 31	W8 x 31	۱۶
۲۱/۲۳۷۳	۲۲/۰۶۰۷	۲۲/۳۹۵۸				$m^3$ - حجم	

### الف-۱۵ بهینه‌یابی سطح مقطع دکل انتقال نیرو ۲۴۴ میله‌ای

در این مثال به بهینه‌یابی سطح مقطع دکل انتقال نیرو ۲۴۴ میله‌ای مطابق شکل (الف-۲۳) پرداخته شده است. اعضای سازه در ۲۶ گروه دسته‌بندی شده و بارهای مؤثر بر سازه در دو وضعیت بشرح جدول (الف-۳۰) در نظر گرفته شده است. قید تغییر مکان نیز برای برخی از گره‌های سازه بشرح جدول (الف-۳۰) لحاظ شده و مقادیر تنش‌های فشاری و کششی نیز بر طبق آیین‌نامه AIS-C-ASD بشرح روابط (الف-۱)، (الف-۲) و (الف-۵) منظور شده است [۸۹]. برای روابط مذکور مقادیر  $E$  و  $F_y$  به ترتیب برابر  $210 \text{ kN/mm}^2$  و  $233/3 \text{ N/mm}^2$  فرض شده است. بدین ترتیب براساس رابطه (الف-۵) مقدار تنش کششی مجاز برابر  $140 \text{ N/mm}^2$  بدست می‌آید. در فرآیند طراحی قید لاغری نیز برای اعضای سازه براساس آیین‌نامه تعریف شده است. بنابراین حداکثر ضریب لاغری برای اعضای فشاری و کششی به ترتیب برابر  $200$  و  $300$  منظور می‌شود.



شکل (الف-۲۳) - دکل انتقال نیرو ۲۴۴ میله‌ای

جدول (الف-۳۰) تغییر مکان مجاز و بارگذاری مؤثر بر دکل انتقال نیرو ۲۴۴ میله‌ای

قید تغییر مکان (mm)		بار اعمالی (kN)		شماره گره	وضعیت بارگذاری
Z	X	Z	X		
۱۵	۴۵	-۳۰	۱۰	۱	
۱۵	۴۵	-۳۰	۱۰	۲	
۱۵	۳۰	-۹۰	۳۵	۱۷	۱
۱۵	۳۰	-۴۵	۱۷۵	۲۴	
۱۵	۳۰	-۴۵	۱۷۵	۲۵	
۱۵	۴۵	-۳۶۰	--	۱	
۱۵	۴۵	-۳۶۰	--	۲	
۱۵	۳۰	-۱۸۰	--	۱۷	۲
۱۵	۳۰	-۹۰	--	۲۴	
۱۵	۳۰	-۹۰	--	۲۵	

لیست مجموعه مقاطع برای فرآیند طراحی بهینه بشرح جدول (الف-۳۱) می‌باشد.

جدول (الف-۳۱) لیست مجموعه مقاطع برای دکل انتقال نیرو ۲۴۴ میله‌ای

شماره	نام مقطع	$\frac{r}{mm} A - mm^2$	شماره	نام مقطع	$\frac{r}{mm} A - mm^2$	شماره	نام مقطع	$\frac{r}{mm} A - mm^2$
۱	L 6 x 6 x 1	۲۹/۷۲ ۷۰۹۶/۷۶	۱۶	۲۹/۷۲ ۷۰۹۶/۷۷	L 3 1/2 x 3 1/2 x 1/2	۳۱	۲۵/۲۵ ۱۹۵۴/۸۳ L 5 x 5 x 5/16	۲۰/۹۶/۷۷
۲	L 6 x 6 x 7/8	۲۹/۷۲ ۶۲۷۷/۴۱	۱۷	۲۹/۷۲ ۶۲۷۷/۴۱	L 3 1/2 x 3 1/2 x 7/16	۳۲	۱۹/۷۶ ۳۵۰۹/۶۷	۱۸۵۱/۶۱
۳	L 6 x 6 x 3/4	۲۹/۷۲ ۵۴۴۵/۱۵	۱۸	۲۹/۷۲ ۵۴۴۵/۱۵	L 4 x 4 x 5/8	۳۳	۱۹/۷۹ ۲۹۷۴/۱۹	۱۶۰۰
۴	L 6 x 6 x 5/8	۲۹/۷۲ ۴۵۸۷/۰۹	۱۹	۲۹/۷۲ ۴۵۸۷/۰۹	L 4 x 4 x 1/2	۳۴	۱۹/۸۶ ۳۵۲۴۱۹	۱۳۴۸/۳۸
۵	L 6 x 6 x 9/16	۲۹/۷۲ ۴۱۴۸/۳۸	۲۰	۲۹/۷۲ ۴۱۴۸/۳۸	L 3 1/2 x 3 1/2 x 1/4	۳۵	۱۹/۹۴ ۲۱۳۵/۴۸	۱۰۹۰/۳۲
۶	L 6 x 6 x 1/2	۲۹/۷۲ ۳۷۰۹/۶۷	۲۱	۲۹/۷۲ ۳۷۰۹/۶۷	L 2 1/2 x 2 1/2 x 1/2	۳۶	۲۰/۰۲ ۱۸۴۵/۱۶	۱۴۵۱/۶۱
۷	L 6 x 6 x 7/16	۳۰/۲۳ ۳۲۶۴/۵۱	۲۲	۳۰/۲۳ ۳۲۶۴/۵۱	L 2 1/2 x 2 1/2 x 3/8	۳۷	۲۰/۰۹ ۱۵۴۸/۳۸	۱۱۱۶/۱۳
۸	L 6 x 6 x 3/8	۳۰/۲۳ ۲۸۱۲/۹	۲۳	۳۰/۲۳ ۲۸۱۲/۹	L 2 1/2 x 2 1/2 x 5/16	۳۸	۲۰/۱۹ ۱۲۵۱/۶۱	۹۴۱/۹۳
۹	L 6 x 6 x 5/16	۳۰/۴ ۲۲۵۴/۸۳	۲۴	۳۰/۴ ۲۲۵۴/۸۳	L 2 1/2 x 2 1/2 x 1/4	۳۹	۱۴/۸۳ ۱۷۷۴/۱۹	۷۶۷/۷۴
۱۰	L 5 x 5 x 7/8	۲۴/۷۱ ۵۱۴۸/۳۸	۲۵	۲۴/۷۱ ۵۱۴۸/۳۸	L 2 1/2 x 2 1/2 x 3/16	۴۰	۱۴/۸۶ ۱۵۶۷/۷۴	۵۸۱/۹۳
۱۱	L 5 x 5 x 3/4	۲۴/۷۷ ۴۴۷۷/۴۱	۲۶	۲۴/۷۷ ۴۴۷۷/۴۱	L 2 x 2 x 5/16	۴۱	۱۴/۹۱ ۱۳۶۱/۲۹	۷۴۱/۹۳
۱۲	L 5 x 5 x 5/8	۲۴/۸۴ ۳۷۸۰/۶۴	۲۷	۲۴/۸۴ ۳۷۸۰/۶۴	L 2 x 2 x 1/4	۴۲	۱۴/۹۶ ۱۱۴۸/۳۸	۶۰۵/۱۶
۱۳	L 5 x 5 x 1/2	۲۴/۹۷ ۳۰۶۴/۵۱	۲۸	۲۴/۹۷ ۳۰۶۴/۵۱	L 2 x 2 x 3/16	۴۳	۱۵/۰۴ ۹۲۹/۰۳	۴۶۱/۲۹
۱۴	L 5 x 5 x 7/16	۲۵/۰۴ ۲۶۹۶/۷۷	۲۹	۲۵/۰۴ ۲۶۹۶/۷۷	L 2 x 2 x 1/8	۴۴	۱۵/۱۴ ۷۰۳/۲۲	۳۱۲/۲۶
۱۵	L 5 x 5 x 3/8	(۲۵/۱۵ ۲۳۲۹/۰۳)	۳۰	(۲۵/۱۵ ۲۳۲۹/۰۳)	L 1 1/4 x 1 1/4 x 3/16	۴۵	۹/۸۸ ۸۷۷/۴۲	۲۸۰

مختصات گرهی دکل انتقال نیرو ۲۴۴ میله‌ای بشرح جدول (الف-۳۲) تعریف می‌شود.

جدول (الف-۳۲) مختصات گرهی دکل انتقال نیرو ۲۴۴ میله‌ای – mm

شماره	X	Y	Z	شماره	X	Y	Z	شماره	X	Y	Z
۱	۹۱۵	-۲۷۴۵	۱۲۸۱۰	۲۳	۹۱۵	-۹۱۵	۱۲۸۱۰	۱۲	۹۱۵	.	۱۶۴۷۰
۲	-۹۱۵	-۴۵۷۵	۱۲۸۱۰	۲۴	-۴۵۷۵	-۴۵۷/۵	۱۲۸۱۰	۱۳	-۹۱۵	.	۱۶۴۷۰
۳	-۴۵۷۵	-۹۱۵	۱۲۸۱۰	۲۵	-۴۵۷۵	-۴۵۷/۵	-۴۵۷/۵	۱۴	۹۱۵	۴۵۷/۵	۱۵۵۵۵
۴	-۹۱۵	۹۱۵	۱۰۹۸۰	۲۶	۹۱۵	۹۱۵	۱۲۸۱۰	۱۵	-۹۱۵	۴۵۷/۵	۱۵۵۵۵
۵	۹۱۵	-۹۱۵	۱۰۹۸۰	۲۷	۹۱۵	-۴۵۷/۵	-۴۵۷/۵	۱۶	۹۱۵	-۴۵۷/۵	۱۵۵۵۵
۶	-۹۱۵	-۹۱۵	۱۰۹۸۰	۲۸	-۹۱۵	-۹۱۵	۱۲۸۱۰	۱۷	-۹۱۵	-۴۵۷/۵	۱۵۵۵۵
۷	-۹۱۵	-۹۱۵	۱۰۹۸۰	۲۹	-۹۱۵	-۹۱۵	۱۲۸۱۰	۱۸	۹۱۵	۹۱۵	۱۴۶۴۰
۸	-۹۱۵	-۹۱۵	۹۱۵۰	۳۰	-۹۱۵	-۹۱۵	۱۲۸۱۰	۱۹	-۹۱۵	۹۱۵	۱۴۶۴۰
۹	-۹۱۵	-۹۱۵	۹۱۵۰	۳۱	-۹۱۵	-۹۱۵	-۹۱۵	۲۰	-۹۱۵	۹۱۵	۱۴۶۴۰
۱۰	-۹۱۵	-۹۱۵	۹۱۵۰	۳۲	-۹۱۵	-۹۱۵	-۹۱۵	۲۱	-۹۱۵	۹۱۵	۱۴۶۴۰
۱۱	-۹۱۵	-۹۱۵	۹۱۵۰	۳۳	-۹۱۵	-۹۱۵	-۹۱۵	۲۲	-۹۱۵	۹۱۵	۱۲۸۱۰

**ادامه جدول (الف-۳۲)**

Z	Y	X	شماره	Z	Y	X	شماره	Z	Y	X	شماره
۱۸۳۰	-۲۴۴۰	۲۴۴۰	۶۴	۵۴۹۰	۹۱۵	-۹۱۵	۴۹	۷۳۲۰	۱۵۲۵	۱۵۲۵	۳۴
۱۸۳۰	۲۴۴۰	۲۴۴۰	۶۵	۳۶۶۰	۲۱۳۵	۹۱۵	۵۰	۷۳۲۰	-۱۵۲۵	۱۵۲۵	۳۵
۱۸۳۰	۱۸۳۰	۲۴۴۰	۶۶	۳۶۶۰	۹۱۵	۲۱۳۵	۵۱	۷۳۲۰	-۱۵۲۵	-۱۵۲۵	۳۶
۱۸۳۰	۲۴۴۰	۱۸۳۰	۶۷	۳۶۶۰	۲۱۳۵	۲۱۳۵	۵۲	۷۳۲۰	۱۵۲۵	-۱۵۲۵	۳۷
۱۸۳۰	-۲۴۴۰	-۱۸۳۰	۶۸	۳۶۶۰	-۲۱۳۵	۲۱۳۵	۵۳	۵۴۹۰	۱۸۳۰	.	۳۸
۱۸۳۰	-۱۸۳۰	-۲۴۴۰	۶۹	۳۶۶۰	-۹۱۵	۲۱۳۵	۵۴	۵۴۹۰	-۱۸۳۰	.	۳۹
۱۸۳۰	-۲۴۴۰	-۲۴۴۰	۷۰	۳۶۶۰	-۲۱۳۵	۹۱۵	۵۵	۵۴۹۰	-۱۸۳۰	۱۸۳۰	۴۰
۱۸۳۰	۱۸۳۰	-۲۴۴۰	۷۱	۳۶۶۰	-۲۱۳۵	-۹۱۵	۵۶	۵۴۹۰	.	۱۸۳۰	۴۱
۱۸۳۰	۲۴۴۰	-۱۸۳۰	۷۲	۳۶۶۰	-۹۱۵	-۲۱۳۵	۵۷	۵۴۹۰	۱۸۳۰	۱۸۳۰	۴۲
۱۸۳۰	۲۴۴۰	-۲۴۴۰	۷۳	۳۶۶۰	-۲۱۳۵	-۲۱۳۵	۵۸	۵۴۹۰	۱۸۳۰	-۱۸۳۰	۴۳
.	-۲۷۴۵	۲۷۴۵	۷۴	۳۶۶۰	۹۱۵	-۲۱۳۵	۵۹	۵۴۹۰	.	-۱۸۳۰	۴۴
.	۲۷۴۵	۲۷۴۵	۷۵	۳۶۶۰	۲۱۳۵	-۹۱۵	۶۰	۵۴۹۰	-۱۸۳۰	-۱۸۳۰	۴۵
.	-۲۷۴۵	-۲۷۴۵	۷۶	۳۶۶۰	۲۱۳۵	-۲۱۳۵	۶۱	۵۴۹۰	-۹۱۵	-۹۱۵	۴۶
.	۲۷۴۵	-۲۷۴۵	۷۷	۱۸۳۰	-۲۴۴۰	۱۸۳۰	۶۲	۵۴۹۰	-۹۱۵	۹۱۵	۴۷
۱۸۳۰	-۱۸۳۰	۲۴۴۰	۶۳	۵۴۹۰	۹۱۵	۹۱۵	۴۸				

نتایج حاصل برای طرح بهینه در جدول (الف-۳۳) قابل مشاهده است.

**جدول (الف-۳۳) نتایج طرح بهینه دکل انتقال نیرو ۲۴۴ میله‌ای براساس روش MHSM**

MHSM	مرجع [۹۱]	شماره گروه	MHSM	مرجع [۹۱]	شماره گروه
L 2 x 2 x 1/8	--	۱۴	L 1 1/4 x 1 1/4 x 3/16	--	۱
L 6 x 6 x 3/4	--	۱۵	L 4 x 4 x 3/8	--	۲
L 4 x 4 x 5/16	--	۱۶	L 2 1/2 x 2 1/2 x 3/16	--	۳
L 2 x 2 x 1/8	--	۱۷	L 4 x 4 x 5/16	--	۴
L 2 x 2 x 1/8	--	۱۸	L 3 x 3 x 3/16	--	۵
L 2 1/2 x 2 1/2 x 3/16	--	۱۹	L 5 x 5 x 7/16	--	۶
L 5 x 5 x 7/8	--	۲۰	L 1 1/4 x 1 1/4 x 3/16	--	۷
L 3 1/2 x 3 1/2 x 1/4	--	۲۱	L 6 x 6 x 3/8	--	۸
L 2 1/2 x 2 1/2 x 3/16	--	۲۲	L 2 1/2 x 2 1/2 x 3/16	--	۹
L 2 1/2 x 2 1/2 x 3/16	--	۲۳	L 3 x 3 x 3/16	--	۱۰
L 2 x 2 x 1/8	--	۲۴	L 4 x 4 x 7/16	--	۱۱
L 1 1/4 x 1 1/4 x 3/16	--	۲۵	L 5 x 5 x 3/8	--	۱۲
L 1 1/4 x 1 1/4 x 3/16	--	۲۶	L 2 1/2 x 2 1/2 x 3/16	--	۱۳

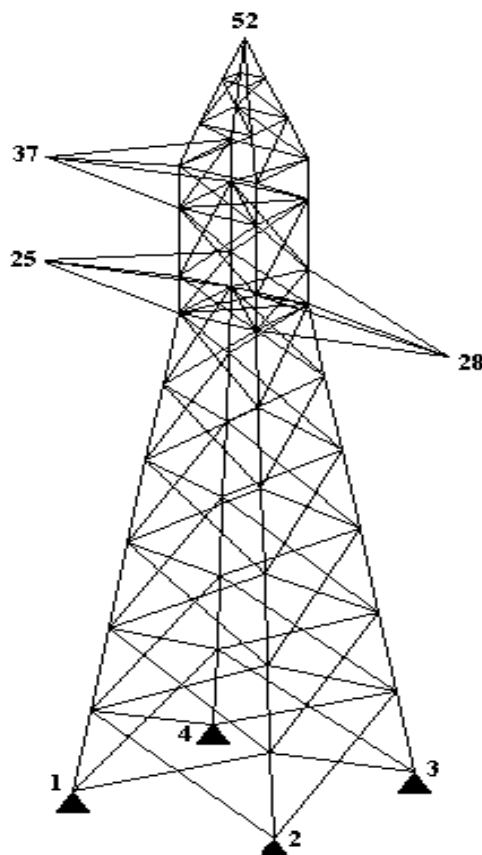
۷۵۷۶۳۷/۳۵      ۹۲۰۰۵۰      حجم  $cm^3$

### الف-۱۶ بهینه‌یابی سطح مقطع دکل انتقال نیرو ۱۶۰ میله‌ای

در این مثال به بهینه‌یابی سطح مقطع دکل انتقال نیرو ۱۶۰ میله‌ای بشرح شکل (الف-۲۴)

پرداخته شده است.  $E$  و  $\rho$  برای اعضای سازه به ترتیب برابر  $2047 \times 10^6 \text{ kg/cm}^2$  و

$0.00785 \text{ kg/cm}^3$  در نظر گرفته شده است.



شکل (الف-۲۴) - دکل انتقال نیرو ۱۶۰ میله‌ای

اعضای دکل انتقال نیرو ۱۶۰ میله‌ای در ۳۸ گروه بشرح جدول (الف-۳۴) دسته‌بندی شده و مقادیر

تنش مجاز کششی و فشاری برای تمامی اعضا برابر  $1500 \text{ kg/cm}^2 \pm$  منظور می‌شود. قید کمانش

اعضای فشاری نیز بشرح روابط زیر تعریف شده است.

در حالی که  $kl/r \leq 120$  است:

$$\sigma_{all} = 1300 - \frac{(kl/r)^2}{24} \quad (\text{الف-۶})$$

و در صورتی که  $kl/r > 120$  است:

$$\sigma_{all} = \frac{10^7}{(kl/r)^2} \quad (\text{الف-7})$$

در روابط فوق  $k$  برابر یک فرض می‌شود.

**جدول (الف-۳۴) گروه‌بندی و همبندی اعضای دکل انتقال نیرو ۱۶۰ میلی‌متر**

شماره ابتداء انتها گروه شماره ابتداء انتها گروه شماره ابتداء انتها گروه شماره ابتداء انتها گروه
۳۱ ۳۶ ۳۵ ۱۲۹ ۲۱ ۲۹ ۲۶ ۹۷ ۱۳ ۲۷ ۲۱ ۶۵ ۶ ۱۶ ۱۱ ۳۳ ۱ ۵ ۱ ۱
۳۱ ۳۸ ۳۶ ۱۳۰ ۲۱ ۳۰ ۲۷ ۹۸ ۱۳ ۲۶ ۲۲ ۶۶ ۶ ۱۵ ۱۲ ۳۴ ۱ ۶ ۲ ۲
۳۱ ۳۹ ۳۸ ۱۳۱ ۲۲ ۳۵ ۳۱ ۹۹ ۱۳ ۳۰ ۲۳ ۶۷ ۶ ۱۳ ۱۲ ۳۵ ۱ ۷ ۳ ۳
۳۱ ۳۵ ۳۹ ۱۳۲ ۲۲ ۳۶ ۳۲ ۱۰۰ ۱۳ ۲۹ ۲۴ ۶۸ ۶ ۱۶ ۹ ۳۶ ۱ ۸ ۴ ۴
۳۲ ۴۴ ۴۰ ۱۳۳ ۲۲ ۳۸ ۳۳ ۱۰۱ ۱۴ ۲۹ ۲۲ ۶۹ ۷ ۱۸۱۷ ۱۳ ۳۷ ۲ ۶ ۱ ۵
۳۲ ۴۵ ۴۱ ۱۳۴ ۲۲ ۳۹ ۳۴ ۱۰۲ ۱۴ ۲۷ ۲۳ ۷۰ ۷ ۱۹۱۸ ۱۴ ۳۸ ۲ ۵ ۲ ۶
۳۲ ۴۶ ۴۲ ۱۳۵ ۲۳ ۳۹ ۳۳ ۱۰۳ ۱۴ ۲۶ ۲۴ ۷۱ ۷ ۲۰۱۹ ۱۵ ۳۹ ۲ ۷ ۲ ۷
۳۲ ۴۷ ۴۳ ۱۳۶ ۲۳ ۳۵ ۳۲ ۱۰۴ ۱۴ ۳۰ ۲۱ ۷۲ ۷ ۲۰ ۱۶ ۴۰ ۲ ۶ ۳ ۸
۳۳ ۴۵ ۴۰ ۱۳۷ ۲۳ ۳۶ ۳۱ ۱۰۵ ۱۵ ۲۷ ۲۶ ۷۳ ۸ ۱۸ ۱۳ ۴۱ ۲ ۸ ۳ ۹
۳۳ ۴۶ ۴۱ ۱۳۸ ۲۳ ۳۸ ۳۴ ۱۰۶ ۱۵ ۲۹ ۲۷ ۷۴ ۸ ۱۷ ۱۴ ۴۲ ۲ ۷ ۴ ۱۰
۳۳ ۴۷ ۴۲ ۱۳۹ ۲۴ ۳۸ ۳۲ ۱۰۷ ۱۵ ۳۰ ۲۹ ۷۵ ۸ ۱۹ ۱۴ ۴۳ ۲ ۵ ۴ ۱۱
۳۳ ۴۴ ۴۳ ۱۴۰ ۲۴ ۳۶ ۳۳ ۱۰۸ ۱۵ ۲۶ ۳۰ ۷۶ ۸ ۱۸ ۱۵ ۴۴ ۲ ۸ ۱ ۱۲
۳۴ ۴۵ ۴۴ ۱۴۱ ۲۴ ۳۵ ۳۴ ۱۰۹ ۱۶ ۲۶ ۲۵ ۷۷ ۸ ۲۰ ۱۵ ۴۵ ۳ ۹ ۵ ۱۳
۳۴ ۴۶ ۴۵ ۱۴۲ ۲۴ ۳۹ ۳۱ ۱۱۰ ۱۶ ۲۸ ۲۷ ۷۸ ۸ ۱۹ ۱۶ ۴۶ ۳ ۱۰ ۶ ۱۴
۳۴ ۴۷ ۴۶ ۱۴۳ ۲۵ ۳۵ ۳۷ ۱۱۱ ۱۶ ۳۰ ۲۵ ۷۹ ۸ ۱۷ ۱۶ ۴۷ ۳ ۱۱ ۷ ۱۵
۳۴ ۴۷ ۴۴ ۱۴۴ ۲۵ ۳۹ ۳۷ ۱۱۲ ۱۶ ۲۸ ۲۹ ۸۰ ۸ ۲۰ ۱۳ ۴۸ ۳ ۱۲ ۸ ۱۶
۳۵ ۴۸ ۴۴ ۱۴۵ ۲۶ ۴۰ ۳۷ ۱۱۳ ۱۷ ۳۱ ۲۵ ۸۱ ۹ ۲۱ ۱۷ ۴۹ ۴ ۱۰ ۵ ۱۷
۳۵ ۴۹ ۴۵ ۱۴۶ ۲۶ ۴۳ ۳۷ ۱۱۴ ۱۷ ۲۲ ۲۸ ۸۲ ۹ ۲۲ ۱۸ ۵۰ ۴ ۹ ۶ ۱۸
۳۵ ۵۰ ۴۶ ۱۴۷ ۲۷ ۴۰ ۳۵ ۱۱۵ ۱۷ ۲۳ ۲۸ ۸۳ ۹ ۲۳ ۱۹ ۵۱ ۴ ۱۱ ۶ ۱۹
۳۵ ۵۱ ۴۷ ۱۴۸ ۲۷ ۴۱ ۳۶ ۱۱۶ ۱۷ ۲۴ ۲۵ ۸۴ ۹ ۲۴ ۲۰ ۵۲ ۴ ۱۰ ۷ ۲۰
۳۶ ۴۸ ۴۵ ۱۴۹ ۲۷ ۴۲ ۳۸ ۱۱۷ ۱۸ ۳۱ ۲۶ ۸۵ ۱۰ ۲۲ ۱۷ ۵۳ ۴ ۱۲ ۷ ۲۱
۳۶ ۴۹ ۴۶ ۱۵۰ ۲۷ ۴۳ ۳۹ ۱۱۸ ۱۸ ۲۲ ۲۷ ۸۶ ۱۰ ۲۱ ۱۸ ۵۴ ۴ ۱۱ ۸ ۲۲
۳۶ ۵۰ ۴۷ ۱۵۱ ۲۸ ۳۸ ۳۵ ۱۱۹ ۱۸ ۳۳ ۲۹ ۸۷ ۱۱ ۲۳ ۱۸ ۵۵ ۴ ۹ ۸ ۲۳
۳۶ ۵۱ ۴۴ ۱۵۲ ۲۸ ۳۹ ۳۶ ۱۲۰ ۱۸ ۳۴ ۳۰ ۸۸ ۱۱ ۲۲ ۱۹ ۵۶ ۴ ۱۲ ۵ ۲۴
۳۷ ۴۹ ۴۸ ۱۵۳ ۲۹ ۴۰ ۳۶ ۱۲۱ ۱۹ ۳۲ ۲۶ ۸۹ ۱۰ ۲۴ ۱۹ ۵۷ ۵ ۱۳ ۹ ۲۵
۳۷ ۵۰ ۴۹ ۱۵۴ ۲۹ ۴۱ ۳۸ ۱۲۲ ۱۹ ۳۱ ۲۷ ۹۰ ۱۰ ۲۳ ۲۰ ۵۸ ۵ ۱۴ ۱۰ ۲۶
۳۷ ۵۱ ۵۰ ۱۵۵ ۲۹ ۴۲ ۳۹ ۱۲۳ ۱۹ ۳۴ ۲۹ ۹۱ ۱۱ ۲۱ ۲۰ ۵۹ ۵ ۱۵ ۱۱ ۲۷
۳۷ ۵۱ ۴۸ ۱۵۶ ۲۹ ۴۳ ۳۵ ۱۲۴ ۱۹ ۳۳ ۳۰ ۹۲ ۱۱ ۲۴ ۱۷ ۶۰ ۵ ۱۶ ۱۲ ۲۸
۳۸ ۵۲ ۴۸ ۱۵۷ ۳۰ ۴۱ ۴۰ ۱۲۵ ۲۰ ۳۳ ۲۷ ۹۳ ۱۲ ۲۶ ۲۱ ۶۱ ۶ ۱۴ ۹ ۲۹
۳۸ ۵۲ ۴۹ ۱۵۸ ۳۰ ۴۲ ۴۱ ۱۲۶ ۲۰ ۳۲ ۲۹ ۹۴ ۱۲ ۲۷ ۲۲ ۶۲ ۶ ۱۳ ۱۰ ۳۰
۳۸ ۵۲ ۵۰ ۱۵۹ ۳۰ ۴۳ ۴۲ ۱۲۷ ۲۰ ۳۱ ۳۰ ۹۵ ۱۲ ۲۹ ۲۳ ۶۳ ۶ ۱۵ ۱۰ ۳۱
۳۸ ۵۲ ۵۱ ۱۶۰ ۳۰ ۴۰ ۴۳ ۱۲۸ ۲۰ ۳۴ ۲۶ ۹۶ ۱۲ ۳۰ ۲۴ ۶۴ ۶ ۱۴ ۱۱ ۳۲

بارهای مؤثر بر سازه در هشت وضعیت بشرح جدول (الف-۳۵) به سازه وارد و لیست مقاطع بشرح

جدول (الف-۳۶) در نظر گرفته می‌شود.

جدول (الف-۳۵) بارهای مؤثر بر دکل انتقال نیرو ۱۶۰ میله‌ای

$P_Z - kg$	$P_Y - kg$	$P_X - kg$	وضعیت بارگذاری شماره گره	$P_Z - kg$	$P_Y - kg$	$P_X - kg$	وضعیت بارگذاری شماره گره
-۵۴۶		-۱۰۱۵	۲۵	-۵۴۶	--	-۱۰۹۱	۲۵
-۴۲۸	۱۲۵۹	-۶۳۶	۲۸	-۵۴۶	--	-۱۰۹۱	۲۸
-۵۴۶	--	-۹۵۱	۳۷	-۵۴۶	--	-۹۹۶	۳۷
-۴۹۱	--	-۹۱۷	۵۲	-۴۹۱	--	-۸۶۸	۵۲
-۵۴۶	--	-۱۰۱۵	۲۵	-۵۴۶	--	-۱۰۹۱	۲۵
-۵۴۶	--	-۱۰۱۵	۲۸	-۵۴۶	--	-۱۰۹۱	۲۸
-۴۲۸	۱۳۰۳	-۵۷۲	۳۷	-۵۴۶	--	-۹۹۶	۳۷
-۴۹۱	--	-۹۱۷	۵۲	-۳۶۳	۱۲۴۵	-۴۹۳	۵۲
-۵۴۶	--	-۱۰۱۵	۲۵	-۵۴۶	--	-۱۰۱۵	۲۵
-۴۲۸	۱۳۰۳	-۶۳۶	۲۸	-۵۴۶	--	-۱۰۱۵	۲۸
-۵۴۶	--	-۹۵۱	۳۷	-۵۴۶	--	-۹۵۱	۳۷
-۴۹۱	--	-۹۱۷	۵۲	-۴۹۱	--	-۹۱۷	۵۲
-۵۴۶	--	-۱۰۱۵	۲۵	-۵۴۶	--	-۱۰۱۵	۲۵
-۵۴۶	--	-۱۰۱۵	۲۸	-۵۴۶	--	-۱۰۱۵	۲۸
-۵۴۶	--	-۹۵۱	۳۷	-۴۲۸	۱۲۵۹	-۵۷۲	۳۷
-۳۶۳	۱۴۶۰	-۴۹۸	۵۲	-۵۴۶	--	-۹۱۷	۵۲

جدول (الف-۳۶) لیست مقاطع موجود برای دکل انتقال نیرو ۱۶۰ میله‌ای

r - cm	A - $cm^2$	شماره	r - cm	A - $cm^2$	شماره	r - cm	A - $cm^2$	شماره	r - cm	A - $cm^2$	شماره
۲/۹۴	۴۶/۹۴	۳۴	۲/۱۶	۲۱/۱۲	۲۳	۱/۲۶	۷/۴۴	۱۲	۰/۴۷	۱/۸۴	۱
۲/۹۲	۵۱	۳۵	۲/۳۶	۲۲/۲	۲۴	۱/۳۶	۸/۰۶	۱۳	۰/۵۷	۲/۲۶	۲
۳/۵۴	۵۲/۱	۳۶	۲/۵۷	۲۵/۱۲	۲۵	۱/۴۶	۸/۶۶	۱۴	۰/۶۷	۲/۶۶	۳
۳/۹۶	۶۱/۸۲	۳۷	۲/۳۵	۲۷/۵	۲۶	۱/۳۵	۹/۴	۱۵	۰/۷۷	۳/۰۷	۴
۳/۵۲	۶۱/۹	۳۸	۲/۵۶	۲۹/۸۸	۲۷	۱/۳۶	۱۰/۴۷	۱۶	۰/۸۷	۳/۴۷	۵
۳/۵۱	۶۸/۳	۳۹	۲/۱۴	۳۲/۷۶	۲۸	۱/۴۵	۱۱/۳۸	۱۷	۰/۹۷	۳/۸۸	۶
۳/۹۳	۷۶/۳۸	۴۰	۲/۳۳	۳۳/۹	۲۹	۱/۵۵	۱۲/۲۱	۱۸	۰/۹۷	۴/۷۹	۷
۳/۹۲	۹۰/۶	۴۱	۲/۹۷	۳۴/۷۷	۳۰	۱/۷۶	۱۳/۷۹	۱۹	۱/۰۶	۵/۲۷	۸
۳/۹۲	۹۴/۱۳	۴۲	۲/۵۴	۳۹/۱۶	۳۱	۱/۹۵	۱۵/۳۹	۲۰	۱/۱۶	۵/۷۵	۹
			۲/۹۳	۴۳	۳۲	۱/۷۴	۱۷/۰۳	۲۱	۱/۲۶	۶/۲۵	۱۰
			۲/۹۴	۴۵/۶۵	۳۳	۱/۹۴	۱۹/۰۳	۲۲	۱/۱۵	۶/۸۴	۱۱

مختصات گرهی دکل ۱۶۰ میله‌ای بشرح جدول (الف-۳۷) تعریف شده است.

جدول (الف-۳۷) مختصات گرهی دکل انتقال نیرو ۱۶۰ میله‌ای - cm

Z	Y	X	شماره	Z	Y	X	شماره	Z	Y	X	شماره
۱۲۵۶/۵	۰	-۲۰۷	۳۷	۷۱۰	۶۰/۰۸۵	۶۰/۰۸۵	۱۹	۰	-۱۰۵	-۱۰۵	۱
۱۲۵۶/۵	۴۰	۴۰	۳۸	۷۱۰	۶۰/۰۸۵	-۶۰/۰۸۵	۲۰	۰	-۱۰۵	۱۰۵	۲
۱۲۵۶/۵	۴۰	-۴۰	۳۹	۸۷۲/۵	-۴۹/۸۰۵	-۴۹/۸۰۵	۲۱	۰	۱۰۵	۱۰۵	۳
۱۳۴۶/۵	-۴۰	-۴۰	۴۰	۸۷۲/۵	-۴۹/۸۰۵	۴۹/۸۰۵	۲۲	۰	۱۰۵	-۱۰۵	۴
۱۳۴۶/۵	-۴۰	۴۰	۴۱	۸۷۲/۵	۴۹/۸۰۵	۴۹/۸۰۵	۲۳	۱۷۵	-۹۳/۹۲۹	-۹۳/۹۲۹	۵
۱۳۴۶/۵	۴۰	۴۰	۴۲	۸۷۲/۵	۴۹/۸۰۵	-۴۹/۸۰۵	۲۴	۱۷۵	-۹۳/۹۲۹	۹۳/۹۲۹	۶
۱۳۴۶/۵	۴۰	-۴۰	۴۳	۱۰۲۷/۵	۰	-۲۱۴	۲۵	۱۷۵	۹۳/۹۲۹	۹۳/۹۲۹	۷
۱۴۳۶/۵	-۲۶/۵۹۲	-۲۶/۵۹۲	۴۴	۱۰۲۷/۵	-۴۰	-۴۰	۲۶	۱۷۵	۹۳/۹۲۹	-۹۳/۹۳۹	۸
۱۴۳۶/۵	-۲۶/۵۹۲	۲۶/۵۹۲	۴۵	۱۰۲۷/۵	-۴۰	۴۰	۲۷	۳۵۰	-۸۲/۸۵۹	-۸۲/۸۵۹	۹
۱۴۳۶/۵	۲۶/۵۹۲	۲۶/۵۹۲	۴۶	۱۰۲۷/۵	۰	۲۱۴	۲۸	۳۵۰	-۸۲/۸۵۹	۸۲/۸۵۹	۱۰
۱۴۳۶/۵	۲۶/۵۹۲	-۲۶/۵۹۲	۴۷	۱۰۲۷/۵	۴۰	۴۰	۲۹	۳۵۰	۸۲/۸۵۹	۸۲/۸۵۹	۱۱
۱۵۲۶/۵	-۱۲/۷۳۷	-۱۲/۷۳۷	۴۸	۱۰۲۷/۵	۴۰	-۴۰	۳۰	۳۵۰	۸۲/۸۵۹	-۸۲/۸۵۹	۱۲
۱۵۲۶/۵	-۱۲/۷۳۷	۱۲/۷۳۷	۴۹	۱۱۰۵/۵	-۴۰	-۴۰	۳۱	۵۳۵	-۷۱/۱۵۶	-۷۱/۱۵۶	۱۳
۱۵۲۶/۵	۱۲/۷۳۷	۱۲/۷۳۷	۵۰	۱۱۰۵/۵	-۴۰	۴۰	۳۲	۵۳۵	-۷۱/۱۵۶	۷۱/۱۵۶	۱۴
۱۵۲۶/۵	۱۲/۷۳۷	-۱۲/۷۳۷	۵۱	۱۱۰۵/۵	۴۰	۴۰	۳۳	۵۳۵	۷۱/۱۵۶	۷۱/۱۵۶	۱۵
۱۶۱۵	۰	۰	۵۲	۱۱۰۵/۵	۴۰	-۴۰	۳۴	۵۳۵	۷۱/۱۵۶	-۷۱/۱۵۶	۱۶
			۱۲۵۶/۵	-۴۰	-۴۰	۳۵	۷۱۰	-۶۰/۰۸۵	-۶۰/۰۸۵	۱۷	
			۱۲۵۶/۵	-۴۰	۴۰	۳۶	۷۱۰	۶۰/۰۸۵	۶۰/۰۸۵	۱۸	

نتایج حاصل برای طرح بهینه دکل انتقال نیرو ۱۶۰ میله‌ای در جدول (الف-۳۸) همراه با نتایج دیگر

مراجع ارائه شده است.

### جدول (الف-۳۸) نتایج طرح بهینه دکل انتقال نیرو ۱۶۰ میله‌ای براساس روش $cm^2$ – MHSM

MHSM	[۷۴] مرجع [۹۲] شماره گروه مرجع [۴۴] مرجع [۷۴] شماره گروه مرجع [۹۲] مرجع [۴۴] مرجع [۷۴]	۳/۰۷	۳/۰۷	۳/۰۷	۳/۰۷	۲۰	۱۹/۰۳	۱۹/۰۳	۱۹/۰۳	۱۹/۰۳	۱
۲/۶۶	۳/۰۷	۳/۰۷	۳/۰۷	۲/۶۶	۲۱	۵/۲۷	۵/۲۷	۵/۲۷	۵/۲۷	۵/۲۷	۲
۸/۰۶	۸/۰۶	۸/۶۶	۸/۰۶	۸/۰۶	۲۲	۱۹/۰۳	۱۹/۰۳	۱۹/۰۳	۱۹/۰۳	۱۹/۰۳	۳
۵/۲۷	۵/۲۷	۵/۷۵	۵/۲۷	۵/۲۷	۲۳	۵/۲۷	۵/۲۷	۵/۲۷	۵/۲۷	۵/۲۷	۴
۶/۲۵	۶/۲۵	۶/۲۵	۷/۴۴	۷/۴۴	۲۴	۱۹/۰۳	۱۹/۰۳	۱۹/۰۳	۱۹/۰۳	۱۹/۰۳	۵
۵/۷۵	۵/۷۵	۵/۷۵	۶/۲۵	۶/۲۵	۲۵	۵/۷۵	۵/۷۵	۵/۷۵	۵/۷۵	۵/۷۵	۶
۱/۸۴	۱/۸۴	۱/۸۴	۱/۸۴	۱/۸۴	۲۶	۱۵/۳۹	۱۵/۳۹	۱۵/۳۹	۱۵/۳۹	۱۷/۰۳	۷
۴/۷۹	۴/۷۹	۴/۷۹	۴/۷۹	۴/۷۹	۲۷	۵/۷۵	۵/۷۵	۵/۷۵	۵/۷۵	۶/۲۵	۸
۲/۶۶	۲/۶۶	۲/۶۶	۲/۶۶	۲/۶۶	۲۸	۱۳/۷۹	۱۳/۷۹	۱۳/۷۹	۱۳/۷۹	۱۳/۷۹	۹
۳/۴۷	۳/۴۷	۳/۴۷	۳/۴۷	۳/۴۷	۲۹	۵/۷۵	۵/۷۵	۵/۷۵	۵/۷۵	۶/۲۵	۱۰
۱/۸۴	۱/۸۴	۱/۸۴	۱/۸۴	۱/۸۴	۳۰	۵/۷۵	۵/۷۵	۵/۷۵	۵/۷۵	۵/۷۵	۱۱
۲/۲۶	۲/۲۶	۲/۲۶	۲/۲۶	۲/۲۶	۳۱	۱۲/۲۱	۱۲/۲۱	۱۲/۲۱	۱۲/۲۱	۱۲/۲۱	۱۲
۳/۸۸	۳/۸۸	۳/۸۸	۳/۸۸	۳/۸۸	۳۲	۶/۲۵	۶/۲۵	۶/۲۵	۶/۲۵	۶/۸۴	۱۳
۱/۸۴	۱/۸۴	۱/۸۴	۱/۸۴	۱/۸۴	۳۳	۵/۷۵	۵/۷۵	۵/۷۵	۵/۷۵	۵/۷۵	۱۴
۱/۸۴	۱/۸۴	۲/۲۶	۱/۸۴	۱/۸۴	۳۴	۲/۶۶	۲/۶۶	۳/۴۷	۲/۶۶	۲/۶۶	۱۵
۳/۸۸	۳/۸۸	۳/۸۸	۳/۸۸	۳/۸۸	۳۵	۷/۴۴	۷/۴۴	۷/۴۴	۷/۴۴	۷/۴۴	۱۶
۱/۸۴	۱/۸۴	۱/۸۴	۱/۸۴	۱/۸۴	۳۶	۱/۸۴	۱/۸۴	۱/۸۴	۱/۸۴	۱/۸۴	۱۷
۱/۸۴	۳/۴۷	۱/۸۴	۱/۸۴	۱/۸۴	۳۷	۸/۶۶	۸/۶۶	۹/۴۰	۸/۶۶	۸/۶۶	۱۸
۳/۸۸	۳/۸۸	۳/۸۸	۳/۸۸	۳/۸۸	۳۸	۲/۶۶	۲/۶۶	۲/۶۶	۲/۶۶	۲/۶۶	۱۹

وزن – kg ۱۳۲۹/۷۱۵ ۱۳۳۱/۷۵ ۱۳۳۶/۷۴۹۳ ۱۳۵۹/۷۸۱

### الف-۱۷ بهینه‌یابی سطح مقطع خرپای مستوی ۵۲ میله‌ای

در این مثال به بهینه‌یابی خرپای ۵۲ میله‌ای پرداخته شده است. شکل (الف-۲۵) سازه مورد

نظر را نمایش می‌دهد.  $E$  و  $\rho$  برای خرپای ۵۲ میله‌ای به ترتیب برابر  $MPa \times ۱۰^۵ \times ۲/۰۷$  و

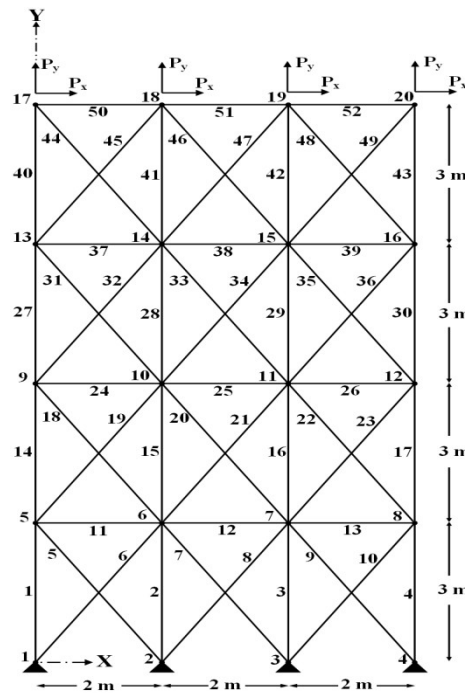
$kg/m^3$  ۷۸۶۰ فرض می‌شود. در شکل (الف-۲۵) مقادیر  $P_X$  و  $P_Y$  به ترتیب برابر  $kN$  ۱۰۰ و  $kN$  ۲۰۰

در نظر گرفته شده است.

از سوی دیگر اعضای خرپا در ۱۲ گروه دسته‌بندی شده و تنها قید تنش با محدوده مجاز

$MPa$   $180 \pm 180$  برای اعضای خرپا لحاظ شده است. لیست مقاطع برای فرآیند بهینه‌یابی خرپای ۵۲

میله‌ای بشرح جدول (الف-۱۸) می‌باشد.



شکل (الف-۲۵) - خرپای مستوی ۵۲ میله‌ای

نتایج طرح بهینه برای طرح بهینه خرپای ۵۲ میله‌ای براساس دیگر مراجع در جدول (الف-۳۹) و برای ایده‌ها و روش‌های پیشنهادی رساله حاضر در جدول (الف-۴۰) قابل مشاهده می‌باشد.

جدول (الف-۳۹) نتایج طرح بهینه خرپای ۵۲ میله‌ای براساس روش‌های مراجع مختلف-  $mm^2$

[۵۱] مرجع	[۴۴] مرجع	[۵۰] مرجع	[۴۵] مرجع	[۵۴] مرجع	[۸۵] مرجع	شماره گروه
CSS	RBAS <sub>LU,2</sub>	HS	HPSO	DHPSACO	GA	
۴۶۵۸/۰۵۵	۴۶۵۸/۰۵۵	۴۶۵۸/۰۵۵	۴۶۵۸/۰۵۵	۴۶۵۸/۰۵۵	۴۶۵۸/۰۵۵	$a_1-a_4$
۱۱۶۱/۲۸۸	۱۱۶۱/۲۸۸	۱۱۶۱/۲۸۸	۱۱۶۱/۲۸۸	۱۱۶۱/۲۸۸	۱۱۶۱/۲۸۸	$a_5-a_{10}$
۳۸۸/۳۸۶	۵۰۶/۴۵۱	۴۹۴/۱۹۳	۳۶۳/۲۲۵	۴۹۴/۱۹۳	۶۴۵/۱۶	$a_{11}-a_{13}$
۳۳۰.۳/۲۱۹	۳۳۰.۳/۲۱۹	۳۳۰.۳/۲۱۹	۳۳۰.۳/۲۱۹	۳۳۰.۳/۲۱۹	۳۳۰.۳/۲۱۹	$a_{14}-a_{17}$
۹۴۰	۹۴۰	۹۳۹/۹۹۸	۹۴۰	۱۰۰.۸/۳۸۵	۱۰۴۵/۱۵۹	$a_{18}-a_{23}$
۴۹۴/۱۹۳	۵۰۶/۴۵۱	۶۴۱/۲۸۹	۴۹۴/۱۹۳	۲۸۵/۱۶۱	۴۹۴/۱۹۳	$a_{24}-a_{26}$
۲۲۳۸/۷۰۵	۲۲۳۸/۷۰۵	۲۲۳۸/۷۰۵	۲۲۳۸/۷۰۵	۲۲۹۰/۳۱۸	۲۴۷۷/۴۱۴	$a_{27}-a_{30}$
۱۰۰.۸/۳۸۵	۱۰۰.۸/۳۸۵	۱۰۰.۸/۳۸۵	۱۰۰.۸/۳۸۵	۱۰۰.۸/۳۸۵	۱۰۴۵/۱۵۹	$a_{31}-a_{36}$
۴۹۴/۱۹۳	۳۸۸/۳۸۶	۳۶۳/۲۲۵	۳۸۸/۳۸۶	۳۸۸/۳۸۶	۲۸۵/۱۶۱	$a_{37}-a_{39}$
۱۲۸۳/۸۶۸	۱۲۸۳/۸۶۸	۱۲۸۳/۸۶۸	۱۲۸۳/۸۶۸	۱۲۸۳/۸۶۸	۱۶۹۶/۷۷۱	$a_{40}-a_{43}$
۱۱۶۱/۲۸۸	۱۱۶۱/۲۸۸	۱۱۶۱/۲۸۸	۱۱۶۱/۲۸۸	۱۱۶۱/۲۸۸	۱۰۴۵/۱۵۹	$a_{44}-a_{49}$
۴۹۴/۱۹۳	۵۰۶/۴۵۱	۴۹۴/۱۹۳	۷۹۲/۲۵۶	۵۰۶/۴۵۱	۶۴۱/۲۸۹	$a_{50}-a_{52}$
۰/۰۰۱۱۴۳	۰/۰۰۰۱۱۶	--	--	۰/۰۰۲۷۲۵	--	نقض قید
۱۸۹۷/۶۲	۱۸۹۹/۳۵	۱۹۰.۳/۳۶	۱۹۰.۵/۴۹۵	۱۹۰.۴/۸۳	۱۹۷۰/۱۴۲	وزن - kg -

جدول (الف-۴۰) نتایج طرح بهینه خرپای ۵۲ میله‌ای براساس ایده‌ها و روش‌های پیشنهادی رساله

شماره گروه	حالت ۲ ایده انفصال فضای طراحی در GA	حالت ۲ ایده انفصال فضای طراحی در ACO	روش پیشنهادی HACOHSGA-T	روش پیشنهادی MP
۱ - $mm^2$	۴۶۵۸/۰۵۵	۴۶۵۸/۰۵۵	۴۶۵۸/۰۵۵	۴۶۵۸/۰۵۵
۲ - $mm^2$	۱۱۶۱/۲۸۸	۱۱۶۱/۲۸۸	۱۱۶۱/۲۸۸	۱۱۶۱/۲۸۸
۳ - $mm^2$	۴۹۴/۱۹۳	۴۹۴/۱۹۳	۴۹۴/۱۹۳	۴۹۴/۱۹۳
۴ - $mm^2$	۳۳۰۳/۲۱۹	۳۳۰۳/۲۱۹	۳۳۰۳/۲۱۹	۳۳۰۳/۲۱۹
۵ - $mm^2$	۹۳۹/۹۹۸	۹۳۹/۹۹۸	۹۳۹/۹۹۸	۹۳۹/۹۹۸
۶ - $mm^2$	۴۹۴/۱۹۳	۴۹۴/۱۹۳	۴۹۴/۱۹۳	۴۹۴/۱۹۳
۷ - $mm^2$	۲۲۳۸/۷۰۵	۲۲۳۸/۷۰۵	۲۲۳۸/۷۰۵	۲۲۳۸/۷۰۵
۸ - $mm^2$	۱۰۰۸/۳۸۵	۱۰۰۸/۳۸۵	۱۰۰۸/۳۸۵	۱۰۰۸/۳۸۵
۹ - $mm^2$	۴۹۴/۱۹۳	۴۹۴/۱۹۳	۵۰۶/۴۵۱	۴۹۴/۱۹۳
۱۰ - $mm^2$	۱۲۸۳/۸۶۸	۱۲۸۳/۸۶۸	۱۲۸۳/۸۶۸	۱۲۸۳/۸۶۸
۱۱ - $mm^2$	۱۱۶۱/۲۸۸	۱۱۶۱/۲۸۸	۱۱۶۱/۲۸۸	۱۱۶۱/۲۸۸
۱۲ - $mm^2$	۴۹۴/۱۹۳	۴۹۴/۱۹۳	۴۹۴/۱۹۳	۴۹۴/۱۹۳
نقض قید	--	--	--	--
وزن kg	۱۹۰۲/۶۰۵	۱۹۰۲/۶۰۵	۱۹۰۳/۱۸۳	۱۹۰۲/۶۰۵
میانگین	۱۹۴۶/۶۴۱	--	--	--



## **Abstract**

Reach to maximum efficiency and minimum expenditure by choosing a proper system is an art in engineering. This issue results in appearance and development of optimization in different fields of engineering. In this regard, this thesis is established on five investigative lines to develop the optimization of structures using meta-heuristic methods and subsequently operation improvement of these methods. Novel achievements are obtained by trying purposive steps. Therefore, some of most common meta-heuristic methods in optimization problems of structures are studied in first investigative line. In this part, different dimensions and challenges of each method and sensitivity of algorithms to current parameters are trying to be determined and relevant suggestions are also proposed to improve the operation and to use the algorithms properly. In second investigative line, Multi Search Method (MSM) is offered to advance the operation of meta-heuristic algorithms using the results of previous line. Proficiency of this idea is evaluated in Genetic Algorithm based on various current structures. Afterwards, Multi Heuristic Search Method (MHSM) is presented to develop MSM takes advantage of different algorithms of meta-heuristic as the structure of each island. This method is one of the most successful algorithms for searching design spaces with remarkable precision and it could be beneficial in important fields of engineering. This method is studied in various domains and issues. Third investigative line proposes novel idea of sampling the searching space inspired by meshing process in finite element method. This concept, utilizing design space partitioning and seek the search space in two steps (global and local), can improve the operation speed and obtain desirably precise answers. Hybrid algorithm of HACOHSGA, which is resulted by combination of ACO, HS and GA methods, is offered as forth line of investigation. This method also has suitable speed for process of optimum design and employs the advantages of each method appropriately. Finally, at the last investigative step of this thesis, Moving Points (MP) method is suggested after a proper observation to meta-heuristic optimization methods. This method carries out the optimization

operation as an evolutionary process by mapping members and designs of each population to vector space and moving based on current population features. Characteristic of MP methods is stability in different performances, accordingly, after one performance can rely on obtaining suitable answer of optimization.

**Keywords:**

Optimization, Meta-heuristic algorithms, Multi search method, Multi heuristic search method, Sampling search space method, HACOHSGA method, Moving points method.



**Shahrood University of Technology**

**Faculty of Civil Engineering**

# **Optimization of Structures by Combinatorial Meta-heuristic Methods**

**Mohammad Hosein Talebpour**

**Supervisor:**

**Dr. Vahid Reza Kalatjari**

**Date: February, 2014**